

# Радиоаматор

Издается с января 1993 г.  
№ 10 (227)  
октябрь 2012

Ежемесячный научно-популярный журнал  
Зарегистрирован Госкоминформполитики,  
телевидения и радиовещания Украины  
сер. КВ, №507, 17.03.94 г.  
Киев, Издательство «Радиоаматор»

## Редакционная коллегия:

Главный редактор  
**И.Б. Безверхний**

В.Г. Бондаренко  
С.Г. Бунин, UR5UN  
М.П. Власюк  
А.М. Зиновьев  
А.А. Перевертайло, UT4UM  
С.М. Рюмик  
Э.А. Салахов  
А.Ю. Саулов (аудио-видео)  
Е.Т. Скорик  
Е.Л. Яковлев

## Адрес редакции:

Киев, ул. Krakovskaya, 13A  
Для писем:  
а/я 50, 03110, Киев-110, Украина  
тел. (044) 291-00-29  
ra@sea.com.ua  
http://www.ra-publish.com.ua

**Издатель: Издательство «Радиоаматор»**  
**В.В. Моторный**, директор,  
тел.: 291-00-31, ra@sea.com.ua,  
А.М. Зиновьев, лит. ред., az@sea.com.ua  
Ю.В. Сухоруков, верстка  
С.В. Латыш, реклама,  
тел. 291-00-30, lat@sea.com.ua  
С.А. Ковалевская, подписка и реализация,  
тел.: 291-00-29, svetlana@sea.com.ua

Подписано в печать: 05.10.2012 г.  
Дата выхода номера: 15.10.2012 г.  
Формат 60x84/8. Усл. печ. лист. 7,54  
Учетн. изд. лист. 9,35.  
Подписной индекс через  
ДП «Пресса» – 74435, 01567  
Общий тираж по странам СНГ –  
12 000 экз.  
Цена договорная

Отпечатано с компьютерного макета  
в типографии «Аврора Принт»  
г. Киев, ул. Причальная, 5,  
тел.: (044) 550-52-44

Реферируется ВИНИТИ (Москва):  
Журнал «Радиоаматор», Киев.  
Издательство «Радиоаматор»,  
Украина, г. Киев, ул. Krakovskaya, 13A

При перепечатке ссылки на «Радиоаматор»  
обязательны. За содержание рекламы и  
 объявлений ответственность несет  
рекламодатель. При переписке вместе с  
письмом вкладывайте конверт с обратным  
адресом для гарантированного  
 получения ответа.

## аудио-видео

- |    |  |             |
|----|--|-------------|
| 2  | Предварительный усилитель для DVD-плеера .....                     | А. Бутов    |
| 5  | Простой коммутатор видеосигналов для систем видеонаблюдения .....  | Е. Яковлев  |
| 6  | Резервирование опорного генератора .....                           | В. Рентюк   |
| 10 | Устройство и ремонт цифровых СТВ ресиверов TOPFIELD TF5000CI ..... | В. Фёдоров  |
| 13 | Две схемы простых генераторов шума .....                           | И. Зайцев   |
| 14 | Цифровое телевидение набирает ход .....                            | Е. Скорик   |
| 17 | Активный «DI box» .....  | J. Nyuszika |
| 18 | Драйвер С. Шпака .....   | А. Петров   |



## электроника и компьютер

- |    |  |                                |
|----|--|--------------------------------|
| 20 | О применении автомобильного GPS/GPRS трекера BM8009L .....                       |                                |
| 21 | О некоторых особенностях PIC-программатора MP9012 .....                          | А. Каменский                   |
| 24 | EX-25 – автомобильная тепловизионная камера от DALI .....                        | Н. Тимчук                      |
| 25 | Терморегулятор с электронным термометром<br>для павильона зимовки пчел .....     | А.И. Лесовой                   |
| 29 | Почему перестал работать поиск в Windows XP<br>и как его восстановить? .....     | И. Безверхний                  |
| 31 | Принципиальная схема телевизора SATURN-1402 .....                                |                                |
| 32 | Принципиальная схема телевизора SATURN ST-2104 (шасси PX20043) .....             |                                |
| 35 | Прибор-приставка к мультиметру для контроля<br>содержания углекислого газа ..... | Е.Л. Яковлев                   |
| 38 | Модернизация строительного фена для нужд радиолюбителя .....                     | А. Сахненко                    |
| 43 | Высоковольтный тестер діодів та транзисторів .....                               | Я. І. Мамчур                   |
| 44 | Триггеры на оптронах .....   | О.В. Белоусов                  |
| 46 | Симисторный таймер .....   | В.Г. Никитенко, О.В. Никитенко |
| 48 | Микроконтроллеры STM32. Барьер 7 .....   | С.М. Рюмик                     |



## современные телекоммуникации

- |    |  |              |
|----|--|--------------|
| 52 | Модуль дистанционной коммутации нагрузок по GSM-каналу связи ..... | А. Слободчук |
|----|--|--------------|



## КВ + УКВ

- |    |                          |                 |
|----|--------------------------|-----------------|
| 54 | Бюллетень КВ + УКВ ..... | А. Перевертайло |
|----|--------------------------|-----------------|



## новости, информация, комментарии

- |    |  |  |
|----|--|--|
| 59 | Отвечаем на вопросы и письма наших читателей ..... |  |
| 60 | Визитные карточки .....                            |  |
| 62 | Электронные наборы и приборы почтой .....          |  |
| 64 | Книга-почтой .....                                 |  |



## Дорогие друзья!

На дворе второй месяц осени – и у вас в руках октябрьский номер нашего журнала.

В начале сентября в Украине началась подписная кампания на газеты и журналы на 2013 год. Полное название нашего журнала в этом году несколько изменилось. Теперь он называется «Радиоаматор. Международный Радиолюбительский Журнал», но подписной индекс через ГП «Пресса» остался прежний – 74435, 01567 по «Каталогу изданий Украины». Подписаться можно в любом почтовом отделении Украины.

Заинтересованные читатели могут оформить подписку на «Эконом-комплект» (подписные индексы **08045** или **08046**), состоящий из журналов «Радиоаматор. Международный Радиолюбительский Журнал», «Электрик. Международный Электротехнический Журнал» и «Радиокомпоненты». Стоимость журналов в «Эконом-комплекте» ниже их стоимости при раздельной подписке.

## Внимание АКЦИЯ!

Издательство «Радиоаматор» проводит традиционную акцию «Будь в первой сотне» среди наших подписчиков, как частных лиц, так и организаций. В акции принимают участие подписчики, оформившие годовую подписку на «Эконом-комплект».

Для участия в акции вам необходимо отправить ксерокопию подписного абонемента на «Эконом-комплект» по адресу: 03110, Киев-110, а/я 50. Издательство «Радиоаматор», акция «Будь в первой сотне», или сканированную копию (можно фото) этого абонемента на электронный адрес редакции: ra@sea.com.ua.

Среди первых 100 подписчиков, приславших копии подписного абонемента на годовую подписку «Эконом-комплекта», будут разыграны 10 призов. В качестве призов разыгрываются наборы «Мастер КИТ»: металлоискатели, преобразователи напряжения, конструкторы и много других занимательных устройств. Остальным 90 участникам разыгрыша будут бесплатно высланы каталоги «Энергетика и электротехника Украины 2012».

Любые предложения читателей по улучшению нашего журнала принимаются. Присылайте их на адрес редакции: а/я 50, 03110, Киев-110, Украина, или на электронный адрес: ra@sea.com.ua.



# Предварительный усилитель для DVD-плеера

Андрей Бутов, с. Курба, Ярославской обл.

аудио-видео

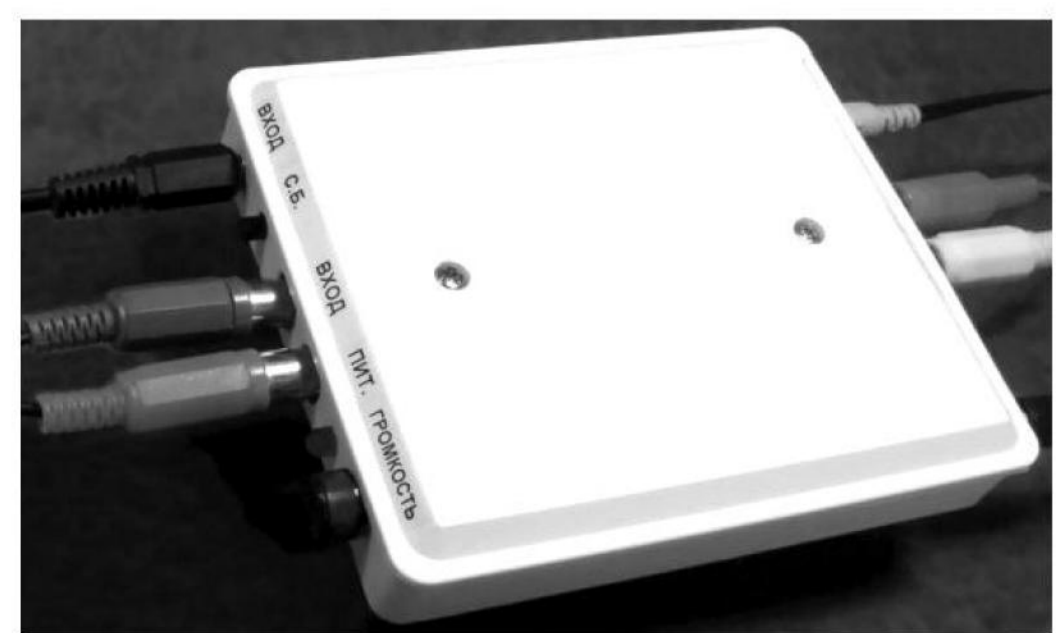
конструкции

При подключении некоторых мультимедийных проигрывателей к телевизорам иногда случается так, что звуковое сопровождение видеозаписей оказывается очень тихим, из-за чего приходится устанавливать громкость в настройках телевизионного меню на максимум. Это может привести к появлению хорошо заметных шумов, фона и помех. Чтобы избежать таких неприятностей, можно изготовить миниатюрный предварительный двухканальный усилитель звуковой частоты.

Принципиальная схема такого усилителя показана на **рис. 1**. Устройство совмещает в себе узлы двухканального предварительного усилителя сигналов звуковой частоты, расширитель стереобазы и стереоусилитель для головных телефонов. Применение расширителя стереобазы позволяет субъективно улучшить качество звука, особенно при прослушивании фонограмм через встроенные в телевизор динамические головки.

Напряжение звуковой частоты поступает на вход устройства – гнездо XS1 или XS2 и XS3. Применение двух гнёзд разной конструкции позволяет не только подключать к усилителю провода со штекерами разных типов, но и использовать устройство как линейный переходник-удлинитель.

С входных гнёзд сигнал звуковой частоты поступает на сдвоенный регулятор громкости R6 через защитные резисторы R2, R3. Конденсаторы C1, C2 предотвращают поступление на вход усилителя радиочастот. С подвижных контактов переменного резистора R6 стереосигнал через разделительные конденсаторы C5, C6 поступает на неинвертирующие входы операционных усилителей DA1.1, DA1.2. Коэффициент усиления по напряжению DA1.1, DA1.2 зависит от соотношения сопротивлений резисторов R7/R4, R17/R12 и при указанных на схеме номиналах будет



около 8. Напряжение смещения, равное 0,5 от напряжения питания, поступает на неинвертирующие входы DA1.1, DA1.2 через резисторы R1, R11. Половинное напряжение питания создаёт делитель напряжения на резисторах R9, R10.

С выходов DA1.1, DA1.2 усиленный стереосигнал через резисторы R16 и R19 поступает на не-

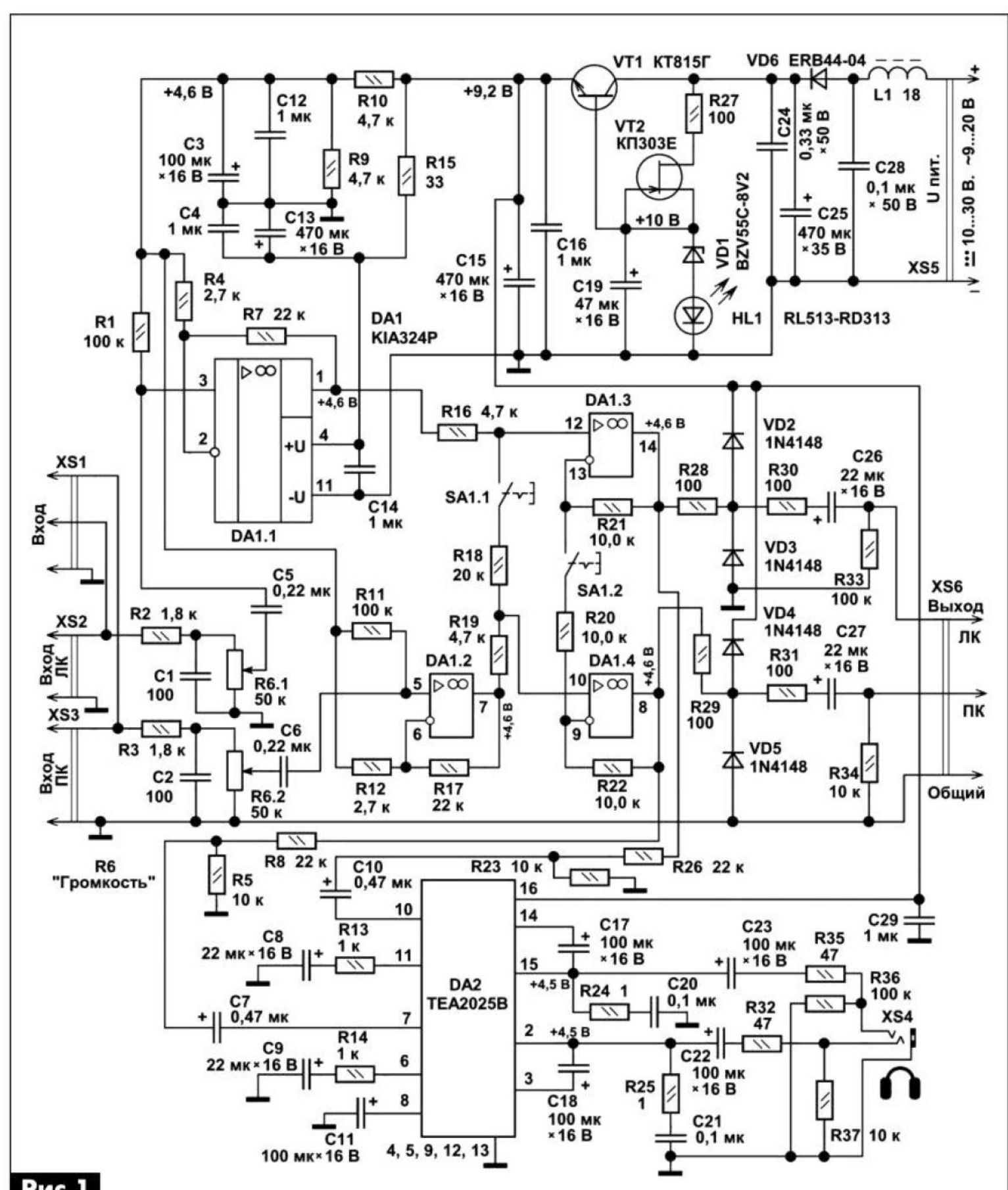


Рис. 1



инвертирующие входы операционных усилителей DA1.3, DA1.4. На ИМС DA1.3, DA1.4 собран узел расширителя стереобазы, аналогичный [1]. При разомкнутых контактах SA1 узел на DA1.3, DA1.4 работает как обычный неинвертирующий повторитель сигнала. При замкнутых контактах SA1 этот узел работает как расширитель стереобазы, благодаря чему стереосигнал приобретает более объёмное звучание, становятся хорошо заметны звуки тех инструментов, которые в обычном стереосигнале «терялись» на фоне других звуков.

С выходов DA1.3, DA1.4 стереосигнал поступает на линейный выход XS6. Резисторы R28–R31 и диоды VD2–VD5 предназначены для защиты микросхемы DA1 от повреждения импульсами высокого напряжения, которые могут возникать при подключении устройства к работающему телевизору.

На интегральной микросхеме DA2 типа TEA2025B [2] собран узел телефонного стереоусилителя, к выходу которого, гнездо XS4, подключают стереонаушники. Коэффициент усиления DA1 по напряжению зависит от сопротивления резисторов R13, R14 и выбран около 10. Стереосигнал на входы DA2 поступает с выходов DA1.3, DA1.4 через разделительные конденсаторы C23, C22. Резисторы R32, R35 ограничивают поступающую на наушники мощность. Демпфирующие цепочки R24C20 и R25C21 предотвращают самовозбуждение DA2 на ультразвуковых частотах. Конденсаторы C17, C18 – вольтодобавка, увеличивают максимальный размах амплитуды сигнала на выходах микросхемы. Резисторы R33, R34, R36, R37 предотвращают появление щелчка при подключении к выходам работающего усилителя нагрузок.

Узлы на микросхемах DA1, DA2 питаются стабильным напряжением +9,2 В от параметрического стабилизатора напряжения, собранного на транзисторах VT1, VT2. Выходное напряжение стабилизатора зависит от напряжения стабилизации последовательно включенных стабилитрона VD1 и светодиода HL1. Полевой транзистор VT2 включен как генератор стабильного тока, что позволяет использовать для питания устройства сетевых адаптеров с широким диапазоном выходных напряжений. Диод VD6 не только защищает устройство от переполюсовки напряжения питания постоянного тока, но и позволяет использовать для питания конструкции напряжение переменного тока. Дроссель L1 снижает уровень помех, которые могут поступить от источника питания, а также выполняет функцию предохранителя. Конденсаторы C3, C4, C12–C16, C19, C24, C25, C28, C29 – блокировочные по цепям питания.

### Конструкция и детали

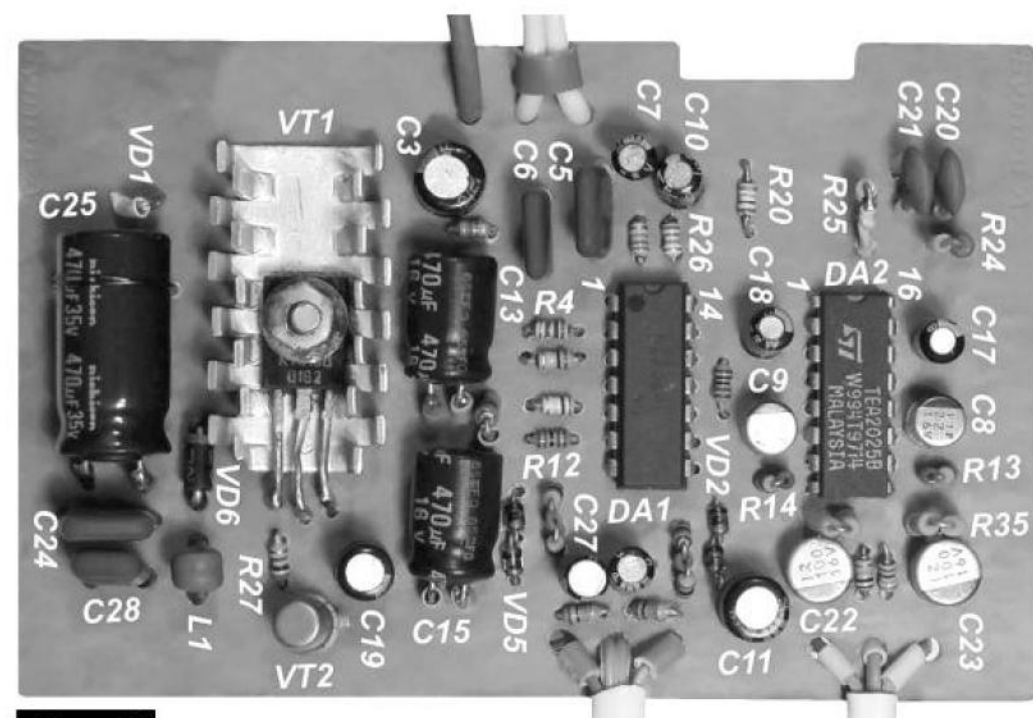
Большинство деталей конструкции размещено на монтажной плате размерами 92x60 мм, монтаж двусторонний навесной с применением элементов для поверхностного монтажа (рис.2).

Постоянные резисторы любого типа общего применения, например, С1–4, С1–14, С2–23, МЛТ. Резисторы R20–R22 и R16, R17 должны иметь отклонение сопротивлений не более 1%. Резисторы R7, R17, R20, R21 – SMD, распаяны между выводов микросхем. Переменный резистор R6 импортный сдвоенный малогабаритный, корпус переменного резистора соединён с общим проводом. Регулятор громкости подключен экранированными проводами. Резисторы R2, R3 припаиваются непосредственно к соответствующим контактам гнезда XS2.

Оксидные конденсаторы – импортные аналоги K50-35, K50-68. Для минимизации высоты монтажа применяют низкопрофильные оксидные конденсаторы или устанавливают их на монтажной плате горизонтально. Остальные конденсаторы любые керамические на напряжение не менее указанного на схеме, например K10-17, K10-50, SMD. Конденсаторы C14, C29 припаиваются непосредственно к выводам питания соответствующих микросхем. Конденсаторы C1, C2 припаиваются к соответствующим контактам переменного резистора R6.

Вместо диодов 1N4148 подойдут любые из 1N914, 1SS176S, КД510, КД521, КД522. Диод ERB44-04 можно заменить любым из 1N4001–1N4007, UF4001–UF4007, MUR120–MUR160, КД243, КД247, КД105. Стабилитрон BZV55C-8V2 заменим 1N4738A, TZMC-8V2, KC182A, KC182Ж, 2C182A, 2C182Ж. Вместо светодиода RL513-RD313 красного цвета свечения, диаметр линзы 5 мм, подойдет любой непрерывного свечения с прямым рабочим напряжением 1,6...2,2 В при прямом токе 1 мА, без встроенных резисторов, например, из серий КИПД21, КИПД40, КИПД66.

Полевой транзистор КП303Е выбран с начальным током стока 1,5 мА, можно заменить транзисторами КП303А, 2П303А, КП303В, 2П303В, КП303 с начальным током стока 1...3 мА. Транзистор KT815Г можно заменить любым из серий KT815, KT817, KT683, KT961, 2SD882, BD137-16 с коэффициентом передачи тока базы не менее 100. Этот транзистор устанавливают на небольшой дюралюминиевый или медный теплоотвод. Микросхему KIA324Р можно заменить LM324, LM124, LM224, для удобства





монтажа предпочтительнее применить эту микросхему в стандартном корпусе DIP-14. Микросхема TEA2025B в этой конструкции работает без теплоотвода. Кнопка SA1 любая малогабаритная с фиксацией положения и двумя группами контактов. Металлический корпус кнопки соединяют с общим проводом. Кнопка подключена экранированным четырёхжильным проводом. Дроссель L1 любой конструкции малогабаритный, с сопротивлением обмотки не более 5 Ом.

Все детали устройства размещены в пластмассовом корпусе размерами 120x102x22 мм (рис.3). Часть деталей закреплена в коробке термоклеем, растворённым в ацетоне полистиролом и полимерным kleem «Момент-кристалл». Внутренние нижняя и верхняя плоскости корпуса экранированы самоклеящейся алюминиевой фольгой, электрически соединённой с общим проводом. Внешний вид конструкции в сборе показан на фото. Безошибочно собранное из исправных деталей устройство начинает работать сразу и не требует налаживания. Усилитель работоспособен при снижении напряжения питания на входе XS5 до 6 В постоянного тока. Оптимальное напряжение питания 12...18 В, ток потребления в режиме покоя 40 мА. В качестве источника питания можно применять не только многочисленные сетевые адаптеры, лабораторные блоки питания, но и внутренние блоки питания медиапроигрывателей и телевизоров,

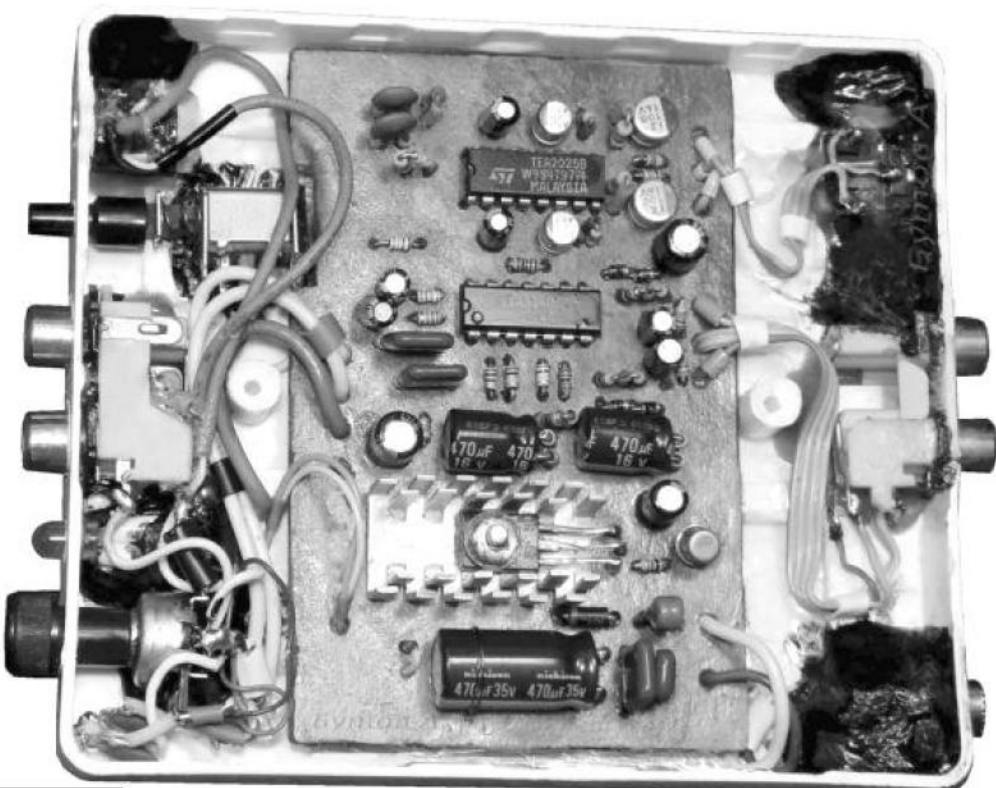


Рис.3

для чего подходящее напряжение выводится через самовосстанавливающийся предохранитель на разъём, закреплённый на задней стенке аппарата.

#### Литература

- Атаев Д.И. Болотников В.А. Функциональные узлы усилителей высококачественного звукоспроизведения. – М.: Радио и связь, 1989. – С.68–70.
- Бутов А. Телефонный усилитель для DVD-плеера // Радиомастер. – 2008. – №3. – С.6–7.

### Возвращаясь к напечатанному

В журнале «Радиомастер» № 7-8 за 2012 г. на стр. 5 была опубликована статья «Простой УКВ радиоприемник». В схеме, показанной на рис.2 этой статьи (мы его повторяем вновь), автор ошибочно указал подключение к схеме вариакапа VD1.

Это заметил наш читатель из Ужгорода. Он пишет: «Естественно, что для изменения емкости вариакапа необходимо обеспечить возможность регулировки его запирающего напряжения. Для этого в схеме были предусмотрены переменное сопротивление PR1 и развязывающий резистор R1. Напряжение настройки – постоянное регулируемое. Из-за наличия в цепи вариакапа конденсаторов постоянной емкости C15 и C16 постоянное напряжение настройки на вариакап VD1 подаваться не может.

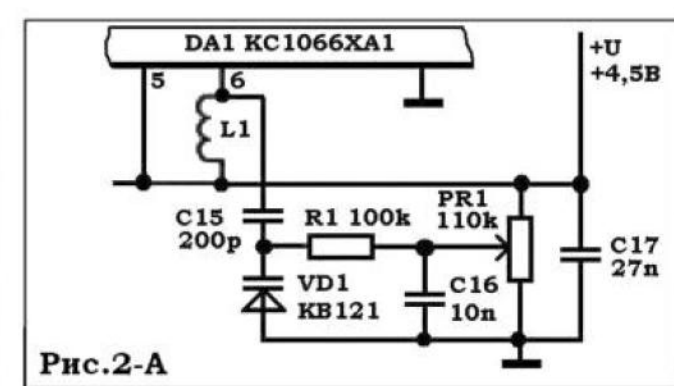
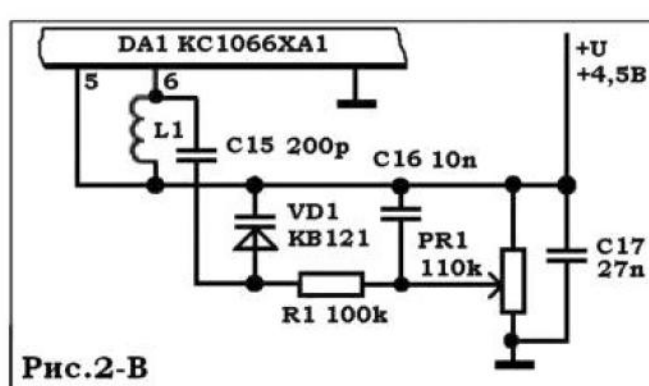
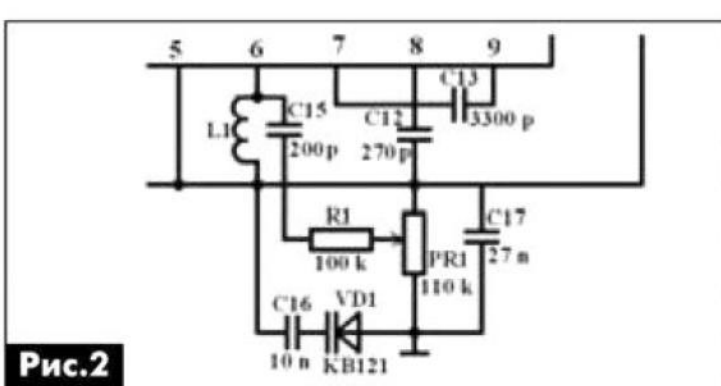
С целью устранения ошибки необходимо, на-

пример, выполнить стандартную процедуру: обеспечить обратное смещение вариакапа постоянным (регулируемым) напряжением и подключить вариакап к контуру гетеродина микросхемы DA1 как реактивный элемент через развязывающий (разделительный) конденсатор C15.

Схемы рис.2,а и рис.2,б отличаются лишь характером изменения емкости вариакапа в зависимости от способа подключения одного из выводов вариакапа к «плюсу» или «минусу» источника питания схемы.

В заключение хотелось бы отметить, что в сети Интернет имеется очень большое количество схем УКВ радиоприемников, выполненных на достаточно устаревших микросхемах KC1066XA1 и TDA7000. Имеются в этих схемах и ошибки. На это надо обращать внимание при их повторении».

Редакция приносит свои извинения за допущенную не по нашей вине ошибку.





# Простой коммутатор видеосигналов для систем видеонаблюдения

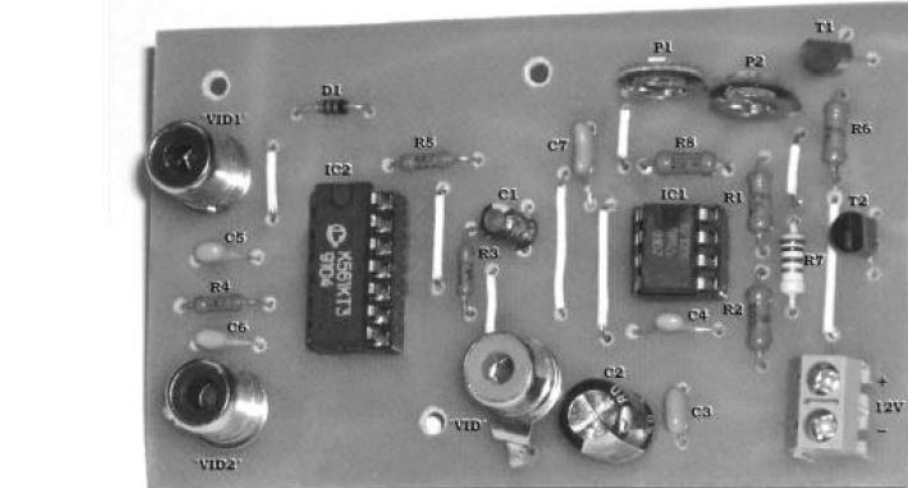
Евгений Яковлев, г. Ужгород

Недостатком подавляющего большинства бытовых видеоконтрольных устройств является то, что производится контроль только в одной зоне, например, непосредственно перед дверью квартиры дома. Как значительно расширить зону видеоконтроля, было рассказано в английском радиолюбительском журнале «Elektor» [1].

Расширение зоны контроля видеосистемы возможно несколькими способами. Простейший из них – применить более широкоугольный объектив для камеры видеонаблюдения. Это реально, но что делать, если вам желательно иметь информацию из двух зон пространства, которые не пересекаются? Выход – надо устанавливать две видеосистемы. При этом видеокамер, конечно, действительно требуется две, но вот сократить количество оборудования, на которое они работают (видеоконтрольных устройств) вполне реально. Об этом и было рассказано в статье [1].

В схеме **рис. 1** сигналы двух видеокамер подключаются к выходу устройства через коммутатор. При этом информация с видеокамер слежения передается поочередно и может контролироваться одним видеоконтрольным устройством системы (монитором).

Видеосигналы камер «VID1» и «VID2» коммутируются электронными ключами, выполненными на двух элементах IC2.A и IC2.D микросхемы типа CD4066. Эти элементы – ключи, которые включаются и выключаются поочередно по сигналам управляющих элементов IC2.C и IC2.B. На микросхеме IC1 типа NE555 выполнен задающий генератор (мультивибратор) схемы. Заряд конденсатора C1 производится через резисторы R1 и R2, а его разряд – через резистор R2 и насыщенный



разрядный транзистор микросхемы IC1. Номинал R1 – 1 кОм, а R2 – 100 кОм, поэтому скважность импульсов генератора примерно равна 1:1. Изображение каждой из камер поочередно транслируется на монитор системы контроля каждые 1,5...2 с. Время указано примерно, поскольку фактическая емкость времязадающего оксидного конденсатора C1 генератора может иметь значительный разброс относительно указанного на конденсаторе номинала.

Управляющие сигналы для ключей, коммутирующих видеосигнал, IC2.A и IC2.D в этой схеме противофазны.

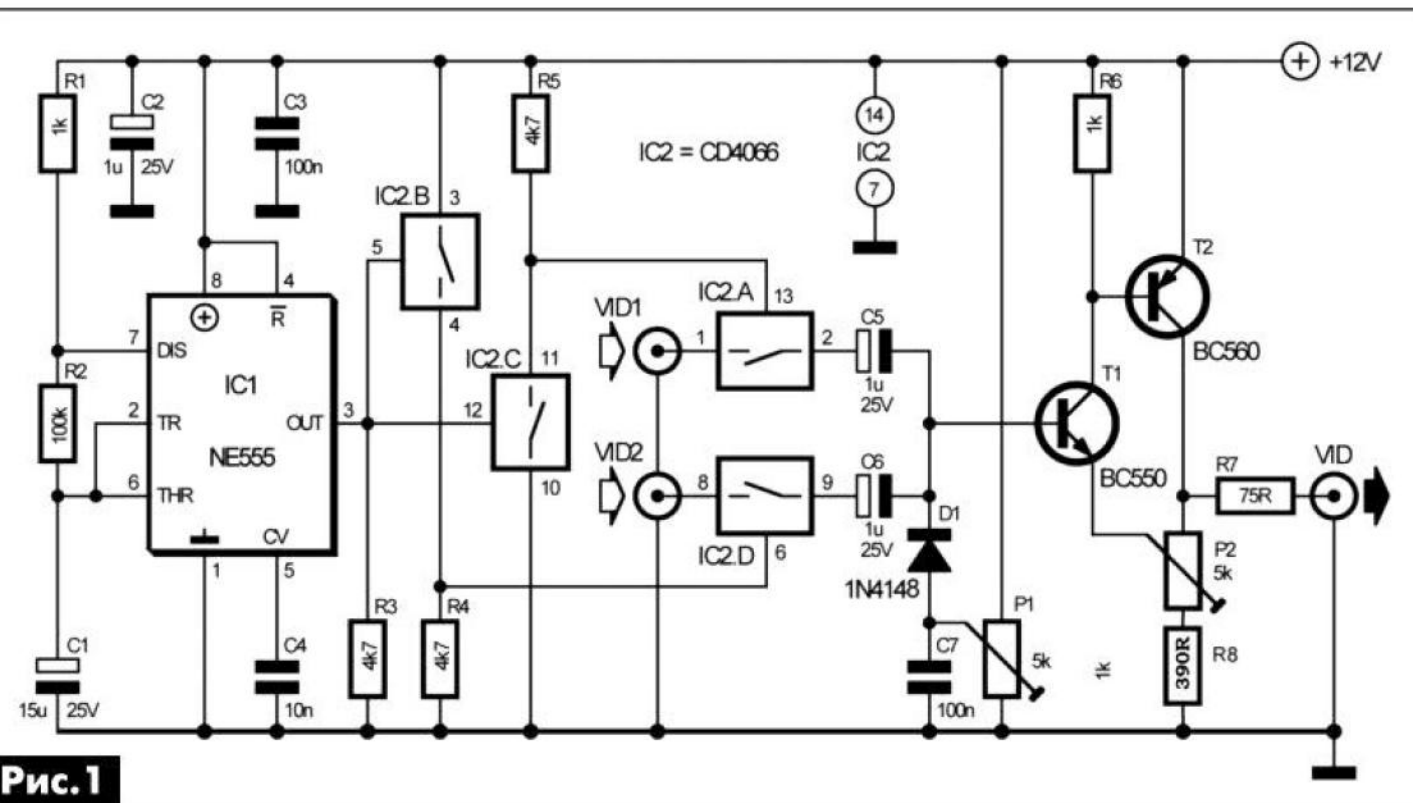
На транзисторах T1 и T2 выполнен усилитель видеосигналов. Его необходимость обусловлена тем, что очень часто коммутатор по схеме **рис. 1** располагается вблизи видеокамер системы, а само видеоконтрольное устройство (монитор) находится в помещении, т.е. весьма удалено от камер.

Регулировкой подстроечных сопротивлений Р1 и Р2 добиваются наилучшего качества изображения контролируемого видеокамерами пространства на контролльном мониторе системы.

Примененные в схеме **рис. 1** микросхемы при необходимости могут быть заменены их отечественными или зарубежными аналогами:

- NE555 – KP1006ВИ1 или ИМС серии 555 любого производителя;
- CD4066 – K561KT3, TC4066, MC14066BPC, LC4066, HCF4066BE, HEF4066 и др.

Коммутатор видеосигналов для системы «Интерком» был повторен на макете (**фото** в начале статьи). Рисунок печатной платы макета показан на **рис. 2**, а расположение радиокомпонентов на плате – на **рис. 3**. В качестве транзисторов T1 и T2 при макетировании использовались импортные транзисторы типа BC547C и BC640 соответственно. Микросхемы использовались отечественные – KP1006ВИ1 и K561KT3.



**Рис. 1**



Вместо электролитических конденсаторов С5 и С6 (1 мкФ 25 В) на макете были установлены импортные малогабаритные неполярные конденсаторы такой же емкости. Емкость конденсатора фильтра питания С2 (по схеме **рис.1** – 1 мкФ) была увеличена до 100 мкФ 25 В.

Топография печатной платы (**рис.2**) разрабатывалась с учетом последовательного включения с подстроечным сопротивлением Р2 ограничительного резистора R8 номиналом 390 Ом. Это обусловлено необходимостью защиты транзистора T1 от выхода из строя при установке движка подстроечного сопротивления Р2 в «нижнее» по схеме **рис.1** положение при настройке устройства.

#### Литература

1. Jacob Gestman Geraarts. Video Switch for Intercom System // Elektor. – 2011. – №7–8. – P.29–30.

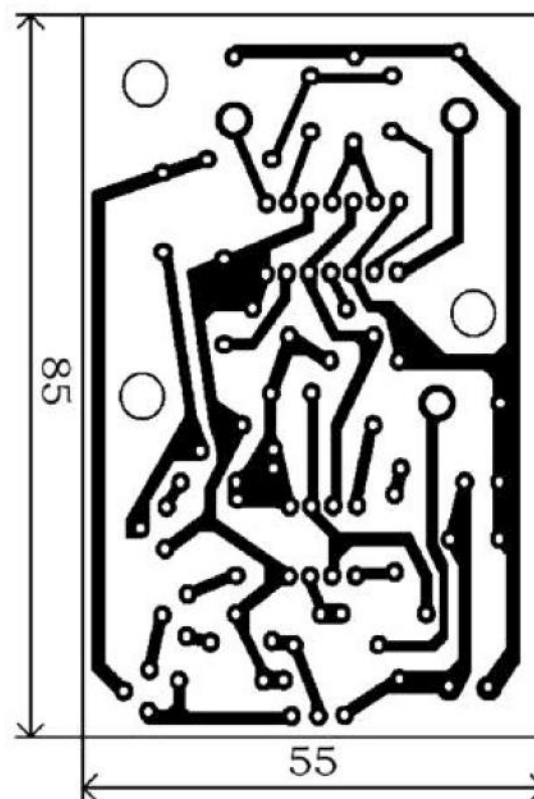


Рис.2

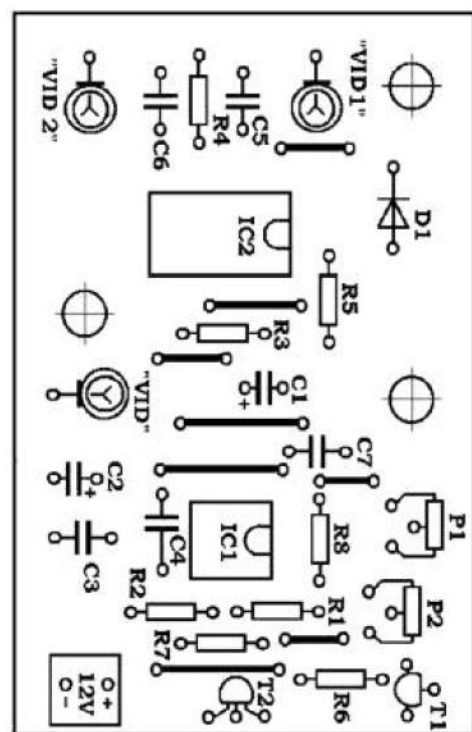


Рис.3

## Резервирование опорного генератора

**Владимир Рентюк, г. Запорожье**

*Опорный генератор является одним из самых слабых звеньев в многоканальных системах радиосвязи, измерительных приборах и особенно в групповых генераторах, которые обслуживают одновременно несколько рабочих мест.*

Нарушение работы такого генератора приводит к отказу системы в целом, а его ремонт может занять недопустимо длительное время. Таким образом, при проектировании опорного генератора ставится несколько задач.

Во-первых, должны быть обеспечены заданные спецификацией (техническими условиями) характеристики.

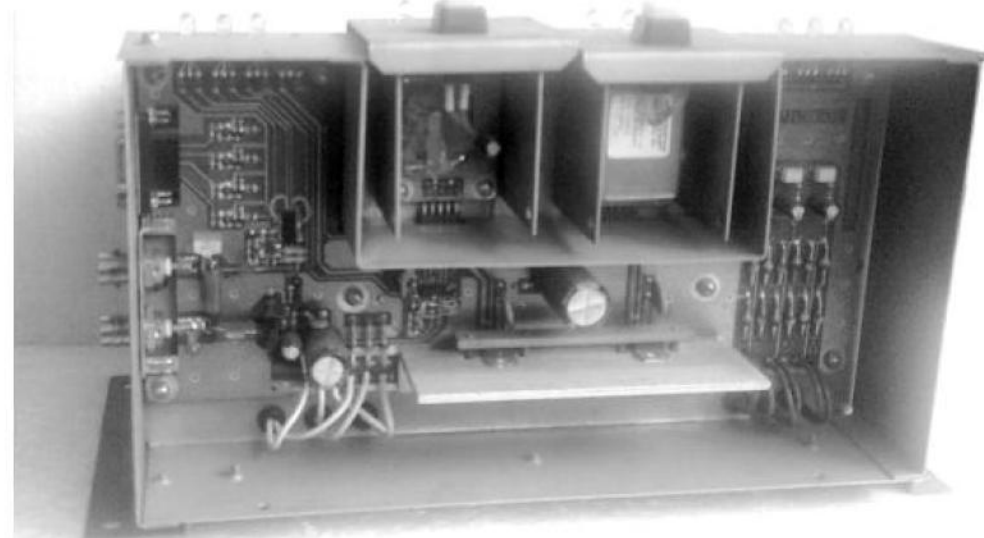
Во-вторых, должна быть четкая однозначная сигнализация о неисправности, как самого опорного генератора, так и цепей его питания.

В-третьих, необходимо обеспечить резервирование, как по питанию, так и схемы генерирования опорной частоты. К тому же необходимо обеспечить, так называемую, горячую замену отказавшего генератора без отключения всей системы в целом. Именно такая задача и была поставлена автору статьи при проектировании общего задающего генератора системы многоканальной радиотелефонной связи специального назначения.

#### Генерирующий узел

Схема генерирующего узла опорного генератора показана на **рис.1**.

В общей схеме используется два генерирующих узла – основной и вспомогательный (резервный). В качестве основного генератора опорной частоты использовался прецизионный кварцевый тер-



мостатированный генератор ОСХО 131-1004 частотой 10 МГц. Форма выходного напряжения генератора прямоугольная (меандр), соответствующая по уровням требованиям к HCMOS-логике. Подстройка частоты генератора осуществляется подстроечным резистором R16. В схеме для точной настройки используется многооборотный резистор типа PV23P.

Контроль напряжения питания осуществляется с помощью двухцветного индикатора HL1. Зеленое свечение индикатора указывает на то, что питающее напряжение схемы +5 В подано, красное свечение индикатора указывает на то, что на генераторный модуль подано питающее напряжение, однако сама схема генератора обесточена (неисправна ИМС DA1). Отсутствие свечения индикатора указывает на то, что на модуль не подается напряжение от источника питания. На исправность генератора указывает двухцветный индикатор HL2. Зеленое свечение индикатора свидетельствует о том, что генератор исправен, а красное – на то, что генератор не выдает на выход напряжение опорной частоты.

Анализатор работы генератора построен на транзисторе VT1. Импульсы выходного напряжения



генератора управляют ключом VT1, который периодически разряжает накопительный конденсатор C8. Как только импульсы по какой-либо причине перестанут поступать на ключ VT1, конденсатор зарядится до порога срабатывания ИМС D1-3, и на ее выходе установится уровень лог. «0». Таким образом, индикатор HL2 поменяет цвет свечения с зеленого на красный, а на выходе 2 разъема X1 появится сигнал о том, что генератор по какой-то причине заблокирован. На транзисторах VT2, VT3 выполнены каскады сопряжения для команд телеметрии. Резисторы R5, R10 и диоды VD2, VD3 защитные, конденсаторы C6, C9 препятствуют попаданию в цепи телеметрии ВЧ-сигнала. Такое построение интерфейса телеметрии необходимо использовать при длинных линиях связи. Если линии связи короткие, например, команды подаются на процессор, то использование этих элементов излишне. В схеме **рис. 1** и далее переход от низкого сопротивления к высокому (разрыв линии) является сигнализацией о неисправности.

Выходной сигнал формирует ИМС D1-2. Во-первых, это необходимо для исключения влияния цепей нагрузки на опорный генератор G, во-вторых, этот логический элемент позволяет реализовать функцию управления выбором генератора и тестировать схему анализа и телеметрии. Тестирование и принудительный выбор в качестве ведущего генерирующего узла генератора осуществляется выключателем S1. При включенном выключателе S1 сигнал от соответствующего узла прерывается, таким образом можно имитировать неисправность и проверить цепи управления и индикации.

Обращаю внимание, что в качестве логических элементов в схеме применены ИМС 74HC132, имеющие входы с триггером Шмитта. Это важный момент, так как такие ИМС позволяют не только повысить помехоустойчивость схемы, сделать ее проще, но и минимизируют фазовые шумы выходного ВЧ-сигнала. Конструктивных особенностей модуль опорного генератора не имеет. Однако

ИМС стабилизатора напряжения DA1 должна обязательно иметь теплоотвод, так как ток потребления термостатом генератора ОСХО 131-1004 может в начальный момент набора температуры достигать 0,7 А. Для вспомогательного (резервного) опорного генератора может использоваться менее дорогой задающий генератор, например, подходящий по параметрам не термостатированный задающий генератор производства компании Golledge. В оригинальной схеме в качестве резервного использовался генератор GTXO-536T/HN.

В схеме **рис. 1** и далее двухцветные индикаторы использовались исходя из требований по эргономике. Одноцветные индикаторы, которые указывали только на присутствие контролируемого параметра, на практике плохо воспринимались оператором.

### Опорный генератор

Включение генерирующих узлов генератора в схему с резервированием можно выполнить по схеме, показанной на **рис. 2**. Построение схемы позволяет осуществлять «горячую замену» генерирующих узлов опорного генератора, т. е. при отказе любого из задающих узлов опорного генератора отключать изделие нет необходимости. Предлагаемое схемное решение, кроме автоматической замены отказавшего основного генераторного узла на вспомогательный за время, не превышающее 100 нс, обеспечивает обслуживающий персонал информацией о работоспособности опорного генератора в целом и по интерфейсу телеметрии передает информацию о состоянии всех его составных узлов.

Интерфейс телеметрии и анализаторы выполнены аналогично описанным выше при рассмотрении генерирующего узла опорного генератора. Кроме передачи команд по интерфейсу телеметрии генератор имеет и световую индикацию. Индикатор HL1 зеленым цветом указывает на наличие питающего напряжения на опорном генераторе, а красным цветом – на отказ стабилизатора напряжения DA1. Индикатор HL2 зеленым цветом указывает на нор-

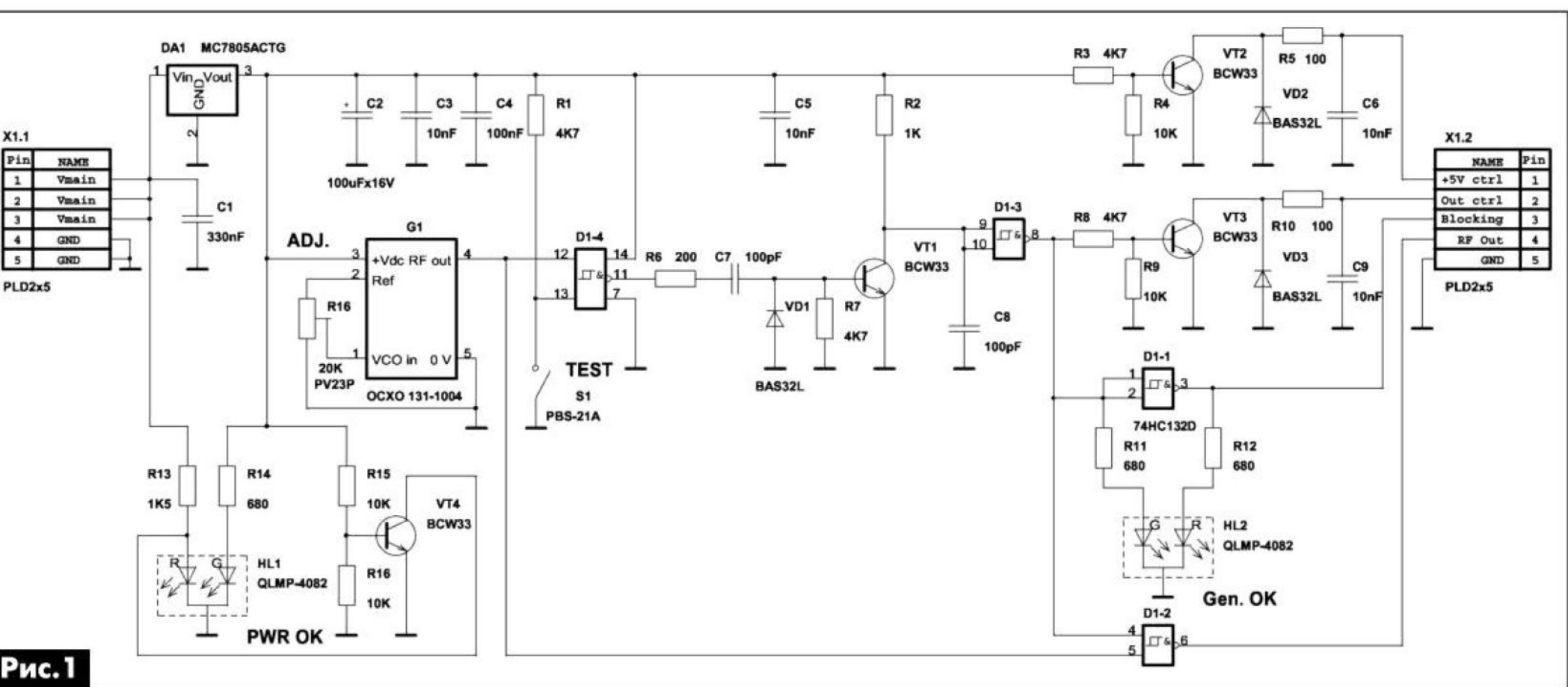


Рис. 1

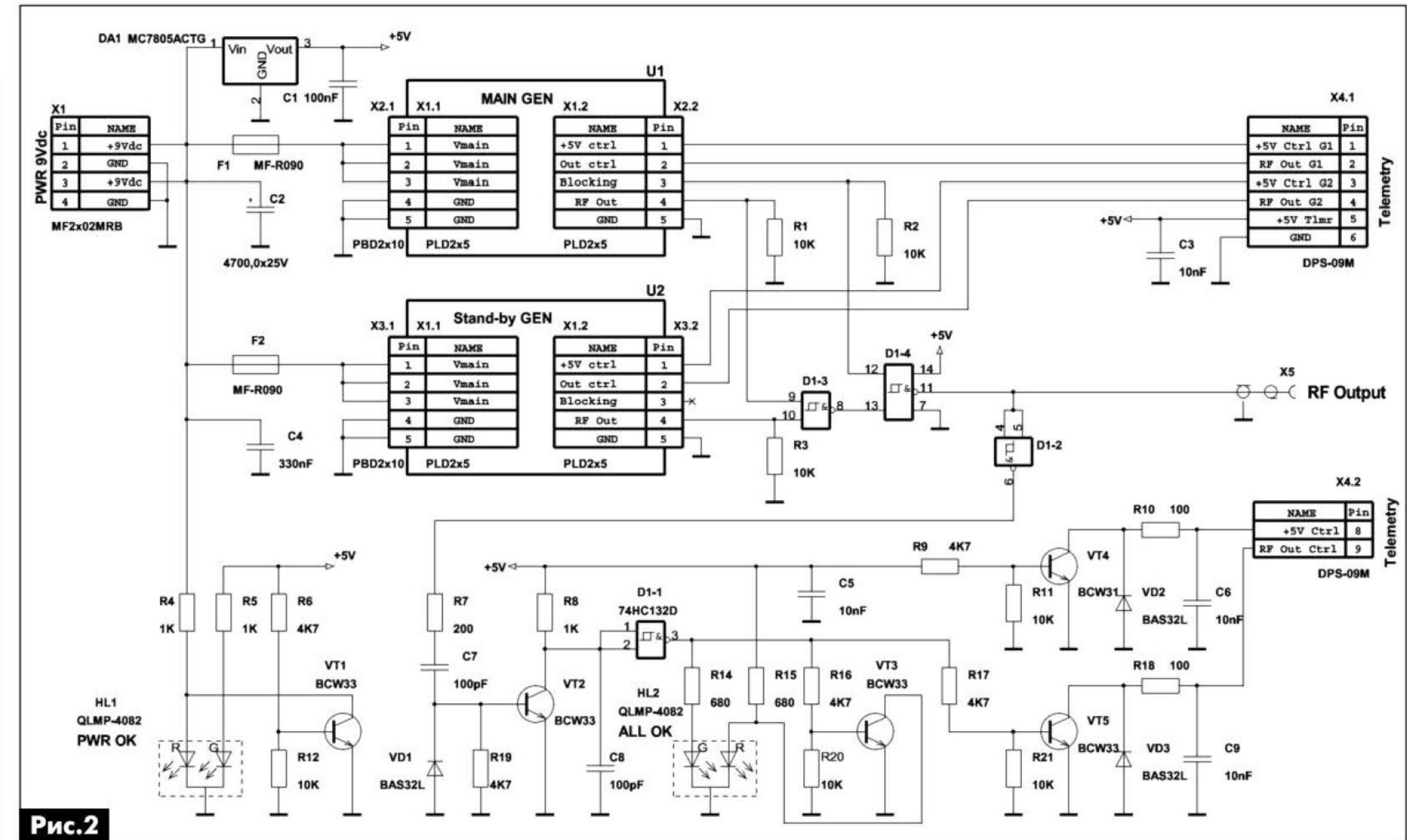


Рис.2

мальное функционирование узла в целом, а красным – на его отказ.

### Дополнительный драйвер

На практике может возникнуть необходимость передачи сигнала по кабелю. Это характерно для общего измерительного генератора в случае его одновременного использования на нескольких рабочих местах при регулировке радиоаппаратуры. Такое решение значительно дешевле, чем приобретение нескольких стационарных универсальных и дорогостоящих генераторов. В этом случае подключать кабель непосредственно к выходу ИМС 74HC132, естественно, нельзя. Для этого необходимо воспользоваться драйвером, показанном на рис.3.

Собственно драйвер обведен пунктирной линией и не имеет каких-либо значительных особенностей. Элементы С11, R22, С12 образуют выходное согласующее звено для коаксиального кабеля с волновым сопротивлением 50 Ом. Конденсаторы

С11, С12 керамические с отклонением от nominalного значения не более 5% и, если используются элементы для монтажа на поверхность, типоразмера 1206. Возможно, потребуется подборка конденсаторов С11, С12 под конкретный кабель с учетом длины линии связи.

В любом случае входное сопротивление нагрузок должно быть не менее 500 Ом, кроме самой удаленной нагрузки. Ее сопротивление должно быть равно 50 Ом или необходимо использовать на конце кабеля специальную 50-омную заглушку. Поскольку выходное напряжение драйвера может (при отказе VT5 и обрыве кабельной линии) превысить +5 В, то с целью защиты схемы анализа в нее добавлены элементы VD4, VD5 и R23 (рис.3).

### Схема контроля кабельного шлейфа

Следующая проблема в этом случае – контроль шлейфа. Его можно осуществить с помощью схемы, показанной на рис.4. Эта же схема будет осуществлять и необходимое согласование по выходному и входному сопротивлениям.

Входной каскад анализатора также имеет диодную защиту, его рабочая точка дополнительно смешена делителем R3R4. Это необходимо потому, что выходное сопротивление драйвера и входное сопротивление анализатора образуют делитель на 2, таким образом, необходимо искусственно повысить чувствительность анализатора. Светодиодная индикация дает информацию о целостности петли. Зеленый цвет индикатора указывает на отсутствие обрыва петли, красный – на ее обрыв или короткое замыкание, то есть на отсутствие сигнала в линии. Информация о состоянии петли может

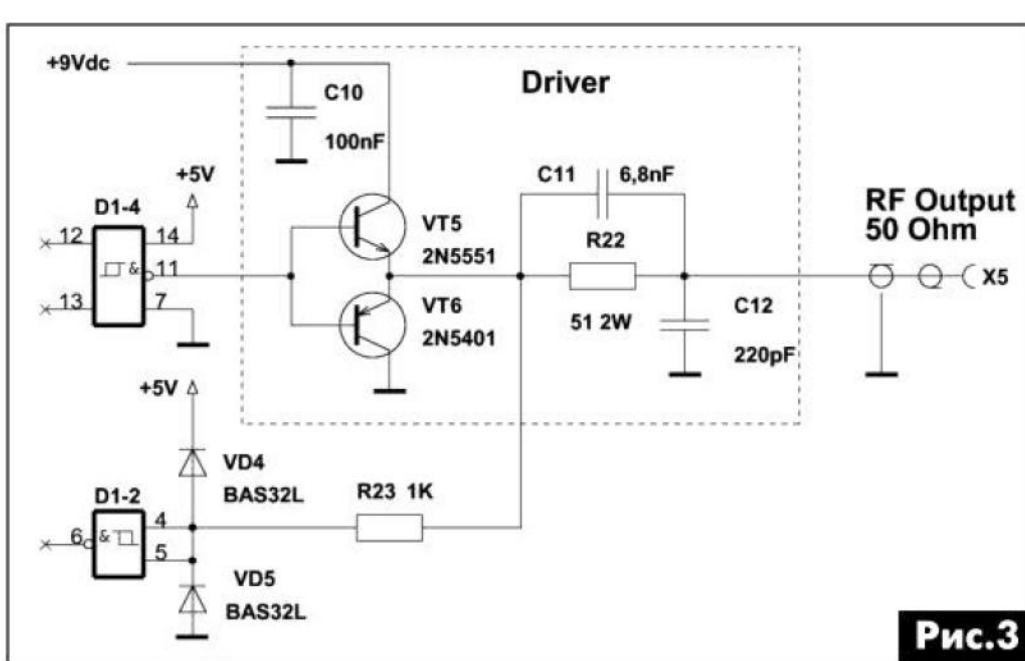
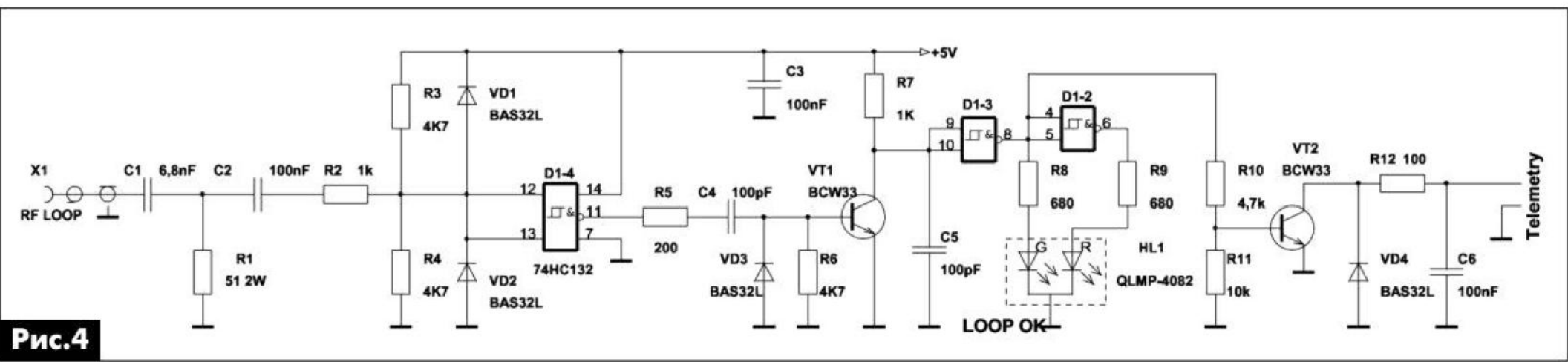


Рис.3



**Рис.4**

быть снята с выхода интерфейса телеметрии. Конденсаторы С1, С2 – керамические. Если используются элементы поверхностного монтажа, то конденсатор С1 необходимо выбирать типоразмером 1206. Заметьте, что анализатор схемы **рис.3** дает информацию о работе драйвера даже при коротком замыкании, в то время как анализатор схемы **рис.4** дает информацию именно о работе шлейфа. То есть по показаниям индикаторов обнаружение отказавшего звена будет однозначным.

### Индикатор обрыва фаз

Естественно, что питание такого ответственно-го узла, как опорный генератор, должно также иметь резервирование. В оригинальной конструкции питание опорного генератора осуществлялось от трехфазной сети переменного тока с соединением фаз по схеме «звезда» с заземлением. Таким образом, при обрыве даже двух фаз питающее напряжение на блок подавалось бесперебойно. При необходимости индикации обрыва фаз питающего напряжения можно использовать несложное добавочное устройство, показанное на **рис.5**.

На входы А, В и С подаются напряжения от понижающей обмотки трансформатора соответствующей фазы. Вход анализатора подключается к нижнему плечу мостового выпрямителя. Отметим, что в оригинальной конструкции с целью ее упрощения использовались три отдельных однофазных трансформатора. При исправности фазы соответ-

ствующий ей индикатор HL будет светиться зеленым, при обрыве – красным. Сигнал телеметрии будет давать информацию об обрыве любой из фаз.

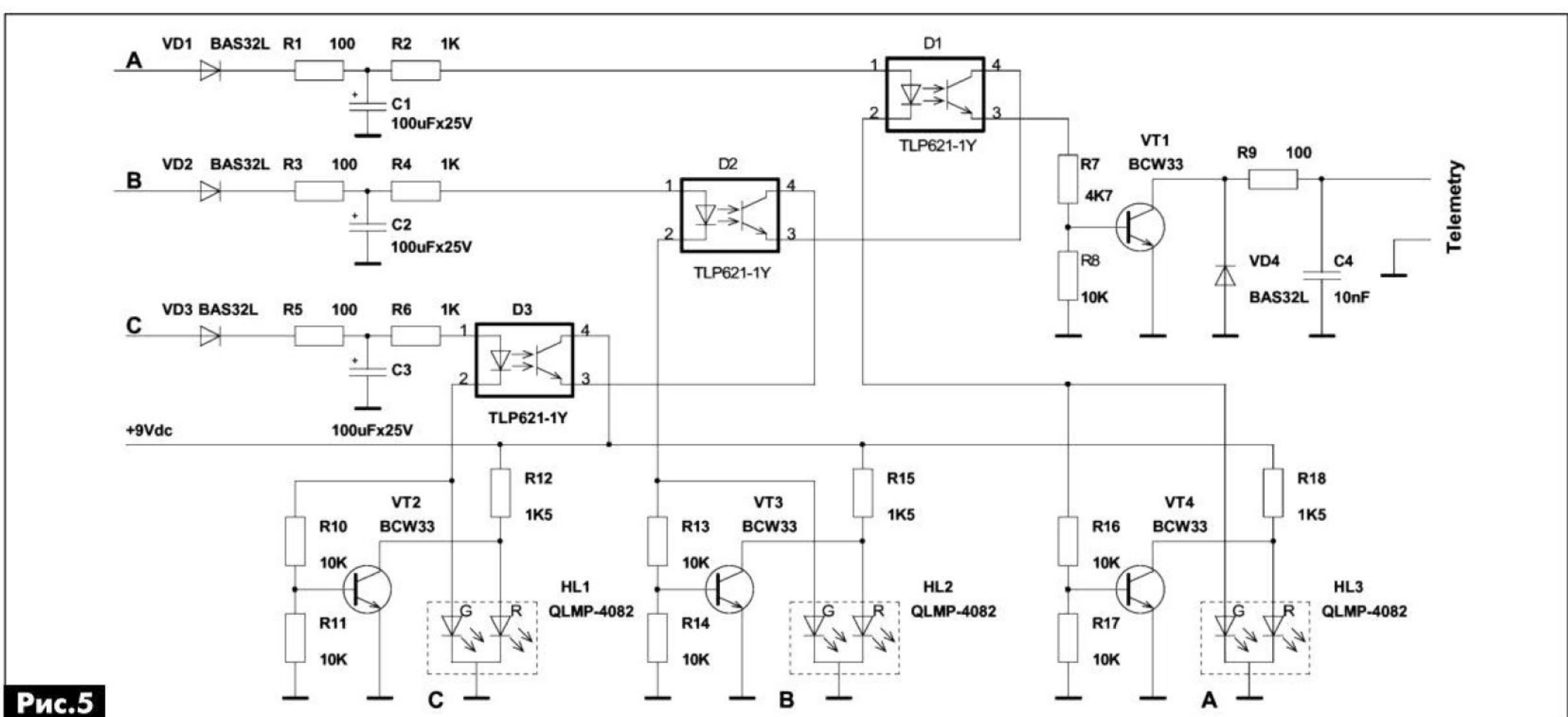
### Детали

В приведенных выше схемах, кроме элементов, упомянутых отдельно, могут использоваться электролитические конденсаторы с малым собственным импедансом (LOW ESR), остальные конденсаторы исключительно керамические. Они, как и резисторы (кроме оговоренных особо), могут иметь отклонение от номинальных значений  $\pm 5\ldots 10\%$ . Согласующие резисторы номиналом 51 Ом должны иметь отклонение, не превышающее  $\pm 5\%$ . Транзисторы в схемах анализаторов и интерфейса – любые кремниевые с коэффициентом усиления по току не менее 200 и рабочей частотой не ниже 100 МГц. Транзисторы в драйвере желательно использовать указанного типа. При разводке печатных плат устройства должны приниматься меры, отвечающие требованиям по компоновке высокочастотных узлов.

Применение представленных выше узлов не ограничивается изложенным в статье вариантом их использования. Они могут найти и свое самостоятельное применение.

### Ссылки:

1. OCXO 131-1004 CRYSTAL OSCILLATOR SPECIFICATION, Charlottesville, VA USA, [www.isotemp.com](http://www.isotemp.com)



**Рис.5**



# Устройство и ремонт цифровых СТВ ресиверов TOPFIELD TF5000CI

**Василий Фёдоров, г. Липецк**

(Окончание. Начало см. РА 9/2012)

Формирование опорной частоты 27 МГц, синхронизирующей работу узлов ИМС U5, осуществляется схемой на монолитном кварцевом генераторе VCXO1 с внутренним задающим кварцем и охваченным петлёй ФАПЧ. Частота генератора изменяется под воздействием напряжения коррекции ошибки, приходящего с U5 на управляющий вход генератора. Возможно исполнение генератора с внешним кварцевым резонатором на ИМС D6 фирмы KAWASAKI. Сброс ресивера при включении осуществляется цепью U11, R65, C24. Аппаратный сброс ресивера при ремонте активизируют, замкнув контрольную точку TP\_RST1 на корпус устройства.

Управление ресивером осуществляется ИМС декодера U5. Управляющая программа записывается в 8 Мбит FLASH память MBM29LW800B фирмы FUJITSU MEDIA DEVICE Ltd. Программу можно модифицировать с помощью интерфейса RS-232 (без модификации загрузчика). К сожалению, JTAG интерфейс на данном ресивере не предусмотрен, хотя ИМС U5 имеет соответствующие выводы интерфейса. Для сопряжения уровней интерфейса RS-232 с уровнями, необходимыми для работы U5, используют ИМС U15 (MAX232ACPE фирмы MAXIM).

ЭСППЗУ (U8 24LC02) хранит пользовательские настройки ресивера и участвует в процессе верификации пользователя при приёме скремблированных программ. 64 Мбит ИМС динамического ОЗУ U9 (K4S61632K-UC60 фирмы SAMSUNG) используется MPEG-2 декодером, управляющим процессором, цифровым кодером (DENC).

Цифровые сигналы звукового сопровождения с выхода U5 поступают на ИМС ЦАП U31 (или U32). Декодированные аналоговые сигналы изображения ТВ канала поступают на коммутатор U33, который представляет собой активную буферную видео- и аудиоматрицу. ПЦТС с сигналами звука поступают на RCA-разъёмы и вместе с сигналами RGB – на SCART (PERITEL) разъём SCART 1-2. Для подключения видеомагнитофона или другого источника видеопрограмм (например, DVD проигрыватель, рекордер) используется второй SCART разъём (SCART 1-1). ВЧ модулятор DM3 переносит сигна-



лы изображения и звукового сопровождения на любой ДМВ канал. Модулятор управляет по отдельной шине I<sup>2</sup>C.

Плата панели управления предназначается для вывода основной информации о работе ресивера, а также для управления ресивером без ПДУ. Вывод символов на дисплей и ввод информации о состоянии клавиатуры осуществляют центральный процессор в составе U5 основной платы по классической схеме. При этом процессор по последовательнойшине посылает соответствующую комбинацию импульсов на ИМС дешифраторов U3, U4 (рис.4). Одновременно с этим сканируется состояние управляющих кнопок S1–S7.

Источник питания ресивера собран по стандартной схеме импульсного преобразователя напряжений (рис.5). Сетевое напряжение через выключатель (подключаемый к разъёму CN2), предохранитель F1 и помехоподавляющий фильтр C1–C4, LF1, препятствующий проникновению помех от ИП в сеть, поступает на диодный мост D1–D4. Токоограничивающий резистор TH1 ограничивает ток через диодный мост в момент зарядки PC3 при включении тюнера в сеть. Варистор VR1 осуществляет защиту источника питания от

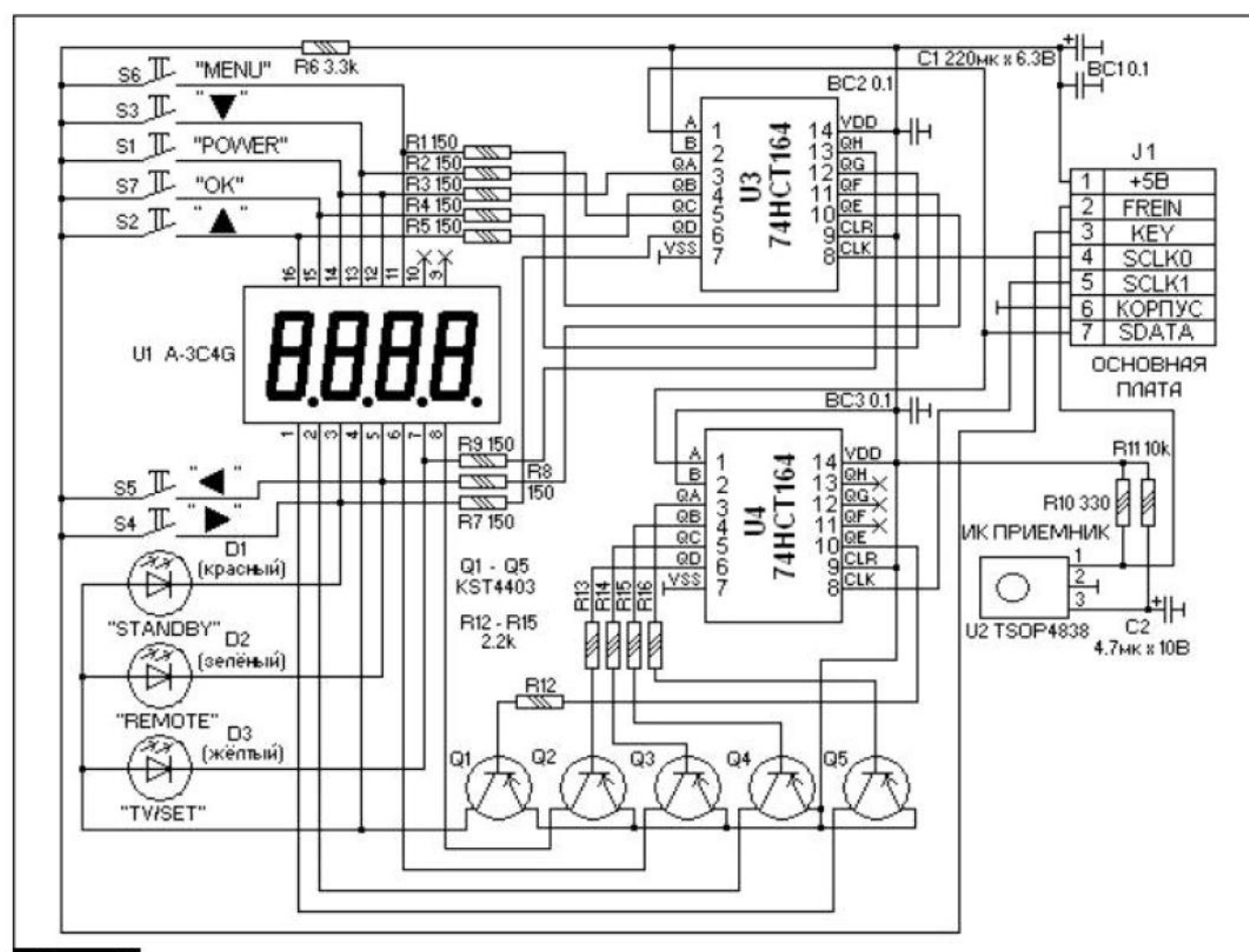


Рис.4

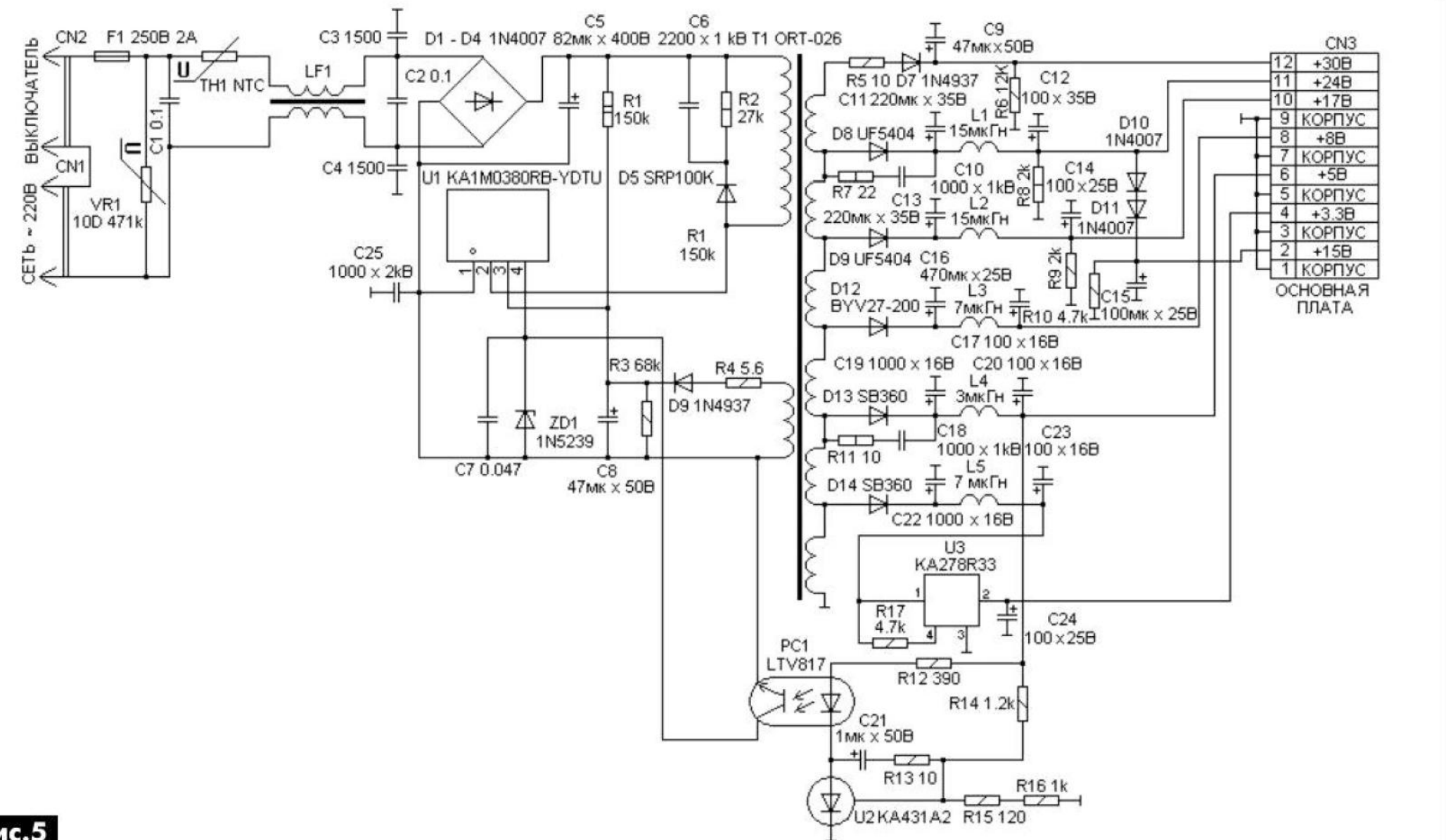


Рис.5

перенапряжения, при повышении питающего напряжения выше нормы, сопротивление варистора уменьшается, ток, протекающий через него, увеличивается, и F1 сгорает. Сглаживание пульсаций осуществляется конденсатором С5.

Подаваемое на первичную обмотку трансформатора Т1 выпрямленное напряжение, коммутируется мощным ключевым транзистором, входящим в состав U1, и передаётся во вторичные обмотки. Ключевой транзистор управляет схемой ШИМ контроллера ИМС U1. При включении источника питания в сеть U1 запускается выпрямленным сетевым напряжением, подаваемым через ограничивающий резистор R1. После запуска источника питания и появления напряжений во вторичных обмотках, U1 питается напряжением от трансформатора Т1, выпрямленного диодом D9. Стабилизация напряжения обеспечивается элементами РС1 (оптопара, гальванически развязывающая первичные и вторичные цепи источника питания), U2 (прецзионная ИМС стабилизатора напряжения). При увеличении выходных напряжений открывается транзистор, входящий в состав оптопары, ШИМ ИМС IC1 уменьшает длительность импульса, управляющего выходным транзистором. При этом уменьшается энергия, передаваемая во вторичные цепи, и, соответственно, уменьшаются выходные напряжения источника питания. D7-D9, D12-D14 выпрямляют напряжения с вторичных обмоток Т1. ИМС U3 формирует напряжение +3,3 В.

#### Поиск неисправностей

Производят по стандартной методике. Вкратце напомним её.

Вначале проверяют качество соединительных

разъёмов. Демонтируют платы из корпуса и производят их визуальный осмотр. Убеждаются в целостности плат, отсутствии у них сколов и изгибов. При наличии посторонних предметов, их удаляют. Если в ресивер попали какие-либо жидкости, необходимо протереть место их попадания спиртом и убедиться в отсутствии повреждения печатного монтажа из-за этих жидкостей.

Затем визуально проверяют качество монтажа, отсутствие «холодных» пак, коротких замыканий между печатными проводниками. Далее осматривают электролитические конденсаторы. Вздутые и залитые электролитом конденсаторы удаляют, а остатки электролита смывают спиртом. Наиболее часто выходят из строя конденсаторы в источнике питания, поэтому осмотр начинают с него. Внимательно осматривают индуктивности, резисторы и микросхемы на предмет отсутствия прогаров.

После этого подключают к входу ресивера кабель снижения, подключенный к заведомо исправному конвертору, и включают ресивер в сеть. Антенна должна быть настроена на любой спутник, доступный для приёма.

#### Характерные неисправности ресивера

**Ресивер не включается в дежурный режим, индикаторы на передней панели не светятся. При отключенной основной плате источник питания выдаёт требуемые напряжения.**

Проверяют линии питания на наличие короткого замыкания на корпус устройства. Низкое сопротивление порядка нескольких Ом свидетельствует о пробое одного или нескольких полупроводниковых приборов, питающихся по этим цепям. Изначально проверяют работоспособность ИМС стаби-



лизаторов U2, U12–U14, U34 на основной плате. Так как к дефектной цепи может быть подключено несколько элементов, очень важно выявить из них неисправный. Признаками выхода из строя элемента может служить вздутие, обугливание, уничтожение его корпуса. Если внешне эти признаки не выявлены, вышедший из строя элемент определяется путём исключения. При этом, контролируя сопротивление между цепью питания и корпусом, последовательно выпаивают элементы, питающиеся от данной линии. Если в цепи питания элемента включена фильтрующая индуктивность, достаточно выпаять только её. Наиболее сложной представляется проверка цепи +3,3 В. Выявленный дефектный элемент заменяют.

*Ресивер не включается в дежурный режим, индикаторы на передней панели не светятся. Предохранитель F1 цел.*

Если при проверке обнаружено, что во вторичных цепях короткое замыкание отсутствует, то необходимо проверить схему первоначального запуска/питания U1 (**рис.5**). Для устранения дефекта проверяют R1, C8. Часто встречается дефект в виде обрыва R1 и потери ёмкости C8. К подобному дефекту может привести неисправность схемы стабилизации напряжения. При этом необходимо проверить и при необходимости заменить элементы U2, PC1, C21. Реже встречаются случаи обрыва диода D9. При этом в «холодном» состоянии он при проверке «прозванивается» как исправный.

*Ресивер не включается в дежурный режим, индикаторы на передней панели мерцают.*

Контроль напряжений на выходе источника питания показал, что они хаотически изменяются, либо сильно занижены. Преимущественно данный дефект возникает при выходе из строя одного из элементов U2, PC1, C5, C7, C21, либо одной из фильтрующих ёмкостей во вторичных цепях питания.

*Ресивер включается, на передней панели отображается номер принимаемой программы, звук имеется, изображения нет.*

Осциллографом производят проверку наличия ПЦТВ и компонентных сигналов на выводах ёмкостей C82–C85, C86. При их отсутствии, измеряют сопротивление между указанными выводами и общим проводом ресивера. Если проверка показывает короткое замыкание, заменяют ИМС U5 или U33 (замыкание соответственно левых выводов соответствующей ёмкости на корпус или правых выводов на корпус). При наличии сигналов на выходе U5 и входе U33 необходимо проверить на короткое замыкание выходы U33, а также на обрыв ограничительные резисторы, включенные последовательно в цепях входов-выходов SCART разъёмов. Пробой выходных цепей ресивера происходит обычно при неправильной его эксплуатации.

*Ресивер включается, OSD-графика есть, звук и изображение отсутствуют, индикатор уровня принимаемого сигнала показывает его отсутствие.*

Проверяют сигналы I<sup>2</sup>CCLK и I<sup>2</sup>CDAT, а также напряжение питания NIM модуля U1. Если они в норме для восстановления работоспособности селектора используют рекомендации [1].

*Ресивер включается, OSD-графика есть, звук и изображение отсутствуют, индикатор уровня принимаемого сигнала показывает его наличие, индикатор качества – 0%.*

В случае проявления данного дефекта контролируют прохождение сигналов TS от NIM модуля U1 до процессора U5, включая цепи коммутации CI интерфейсов (мультиплексоры и шинные буферные элементы). Необходимо проверить качество пайки резисторных сборок и одиночных резисторов в этих цепях, а также наличие электрических схемных связей между указанными элементами и при их нарушении пропаять.

Другие неисправности данного ресивера описаны в [3].

### Восстановление и обновление программного обеспечения

Необходимое ПО для восстановления или обновления можно найти на сайте [2].

Подключают ресивер к компьютеру через последовательный порт нуль-модемным кабелем Female<->Female, разводка которого показана в [1]. Запускают программу TFD DownLoad Manager (**рис.6**) и опцией **Port Setup** выбирают требуемый СОМ порт и скорость передачи данных (115,2 Кбит/с). Находят (**Find**) требуемый файл на диске (у файла должно быть расширение \*.tfd). Выбирают опцию **Download**, при этом программа переходит в режим ожидания (**Waiting For Request. Reset SetTop Box**). Необходимо включить ресивер, при этом начнётся процесс загрузки, который будет отображаться индикатором на экране монитора. На индикаторе ресивера при этом последовательно будут появляться сообщения от Dn99 до Dn01 (загрузка в ОЗУ) и затем (от Ap19 до Ap01). После появления на индикаторе ресивера сообщения **End** его перезагружают.

При передаче данных ресивер категорически запрещается выключать!

Последнюю версию ПО тюнера 12.11.08 с корректной поддержкой DRE и IRDETO2 САМ модулей можно найти в [2].

### Литература

- Фёдоров В.К. Ремонт спутниковых ресиверов. – М.: СОЛОН, 2010.
- <http://connectiv.narod.ru>.
- Федоров В.К. Ремонт цифровых тюнеров спутникового ТВ // Радиоаматор. – 2010. – №9. – С.19.



**Рис.6**



# Две схемы простых генераторов шума

Иван Зайцев, г. Киев

Для всех радиокомпонентов, через которые протекает электрический ток, характерно наличие флюктуаций этого тока даже, если протекающий ток «считается» постоянным. Или, как принято говорить, «шумят» все радиокомпоненты во время своей работы. Если добавить усилитель этого шума, то получится генератор шума, который часто используется при проверке и настройке аудиоаппаратуры.

В зарубежных радиолюбительских журналах [1, 2] были приведены две простые схемы генераторов шума. В качестве шумового генератора в одной из них было предложено использовать микросхему стабилизатора напряжения, а во второй – р-п-переход транзистора.

На **рис. 1** показана схема из журнала английских радиолюбителей [1]. В ней микросхема IC1 типа LM2931Z-5.0 включена по типовой схеме стабилизатора напряжения. Флюктуации выходного напряжения микросхемы зависят от многих факторов, в том числе от емкости конденсатора фильтра на выходе. Чем больше емкость этого конденсатора, тем меньше по амплитуде флюктуации (изменения) выходного напряжения. Для того чтобы радиолюбители могли поэкспериментировать с этой схемой, ее автор предусмотрел возможность подключения к конденсатору C2 «дополнительных» конденсаторов фильтра C3 и C4. При этом суммарная емкость конденсатора фильтра стабилизатора будет равна 22 мкФ, 44 мкФ или 66 мкФ.

При минимальной емкости фильтра (22 мкФ) амплитуда колебаний выходного напряжения ста-

билизатора IC1 составляет примерно 0,5 мВ в частотном диапазоне от 10 Гц до 100 кГц. Такая емкость «хороша» для достижения приемлемой амплитуды флюктуаций на выходе стабилизатора напряжения, но явно «маловата» как емкость выходного фильтра стабилизатора напряжения при питании от нее нагрузки. Именно поэтому в схеме используется развязывающий диод D3. Емкость конденсатора C6 после него может быть выбрана достаточно большой, но на работе IC1 как генератора шума это не отразится.

При протекании через диод D3 тока нагрузки стабилизатора на нем происходит падение напряжения примерно 0,6 В. Чтобы к нагрузке было приложено напряжение 5 В, а не 4,4 В, в цепь общего вывода микросхемы стабилизатора IC1 включена цепочка D2R1. Благодаря ей выходное напряжение стабилизатора будет порядка 5,6 В, а на нагрузку стабилизатора после диода D3 поступит именно 5 В.

Диод D1 является элементом типовой защиты микросхемы стабилизатора IC1 от пробоя при отключении входного напряжения всей схемы.

Напряжение флюктуаций выходного напряжения микросхемы стабилизатора IC1 через конденсатор C7 и резистор R2 подается на базу транзистора T1. На транзисторах T1 и T2 собран усилитель напряжения. Он имеет относительно большое входное сопротивление и относительно небольшое выходное.

Как отмечает автор в статье [1], схема **рис. 1** работоспособна как генератор шума не только с микросхемой стабилизатора LM2931Z-5.0, но и с другими стабилизаторами, например микросхемой 78L05.

В схеме **рис. 2** [2] генератором шума является обратно смещенный р-п-переход транзистора T1. Известно, что он может работать в режиме обратного лавинного пробоя. Ток через переход база-эмиттер этого транзистора ограничивается резистором R2 (100 кОм) на безопасном для этого транзистора уровне.

Операционный усилитель IC1-A включен как неинвертирующий усилитель. Его коэффициент усиления в широкой полосе частот примерно равен десяти.

Через конденсатор C4 и резистор R1 усиленный ОУ IC1-A широкополосный шумовой сигнал подается на инвертирующий вход ОУ IC1-B. RC-цепочки (R6C1, R7C2, R8C3) в цепи обратной связи ОУ обеспечивают спад амплитудно-частотной характеристики этого каскада.

Амплитуда выходного сигнала генератора шума, выполненного по схеме **рис. 2**, регулируется потенциометром P1. С его движка сигнал подается

аудио-видео

ДАЙДЖЕСТ

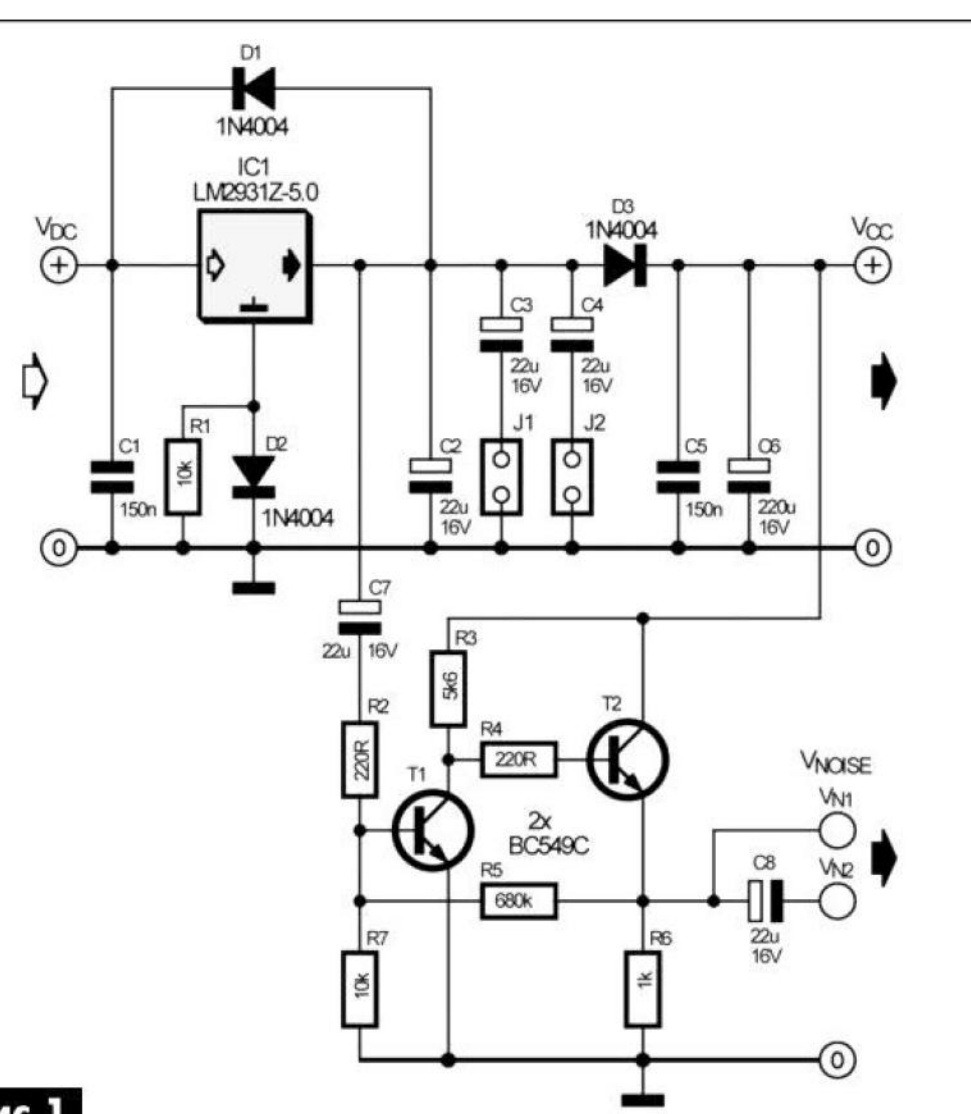


Рис. 1



на два гнезда – K1 и K2. Резисторы R9 и R10 – развязывающие.

Питание микросхемы IC1 двухполярное. Каждое напряжение (+15 В и –15 В) стабилизировано микросхемами интегральных стабилизаторов напряжения IC2 (78L15) и IC3 (79L15).

В заключение можно порекомендовать читателям попробовать произвести питание схемы **рис.2** после незначительной доработки от однополярного источника. Также возможна замена микросхемы типа NE5532 (IC1) более распространенными типами микросхем сдвоенных операционных усилителей.

### Литература

1. Petre Tzvetanov Petrov LM2931-5.0 is a Random Noise Generator too // Elektor. – №7/8. – P.22–23.
2. Externi zdroj 48V // PE-AR. – 2012. – №2. – S.35–37.

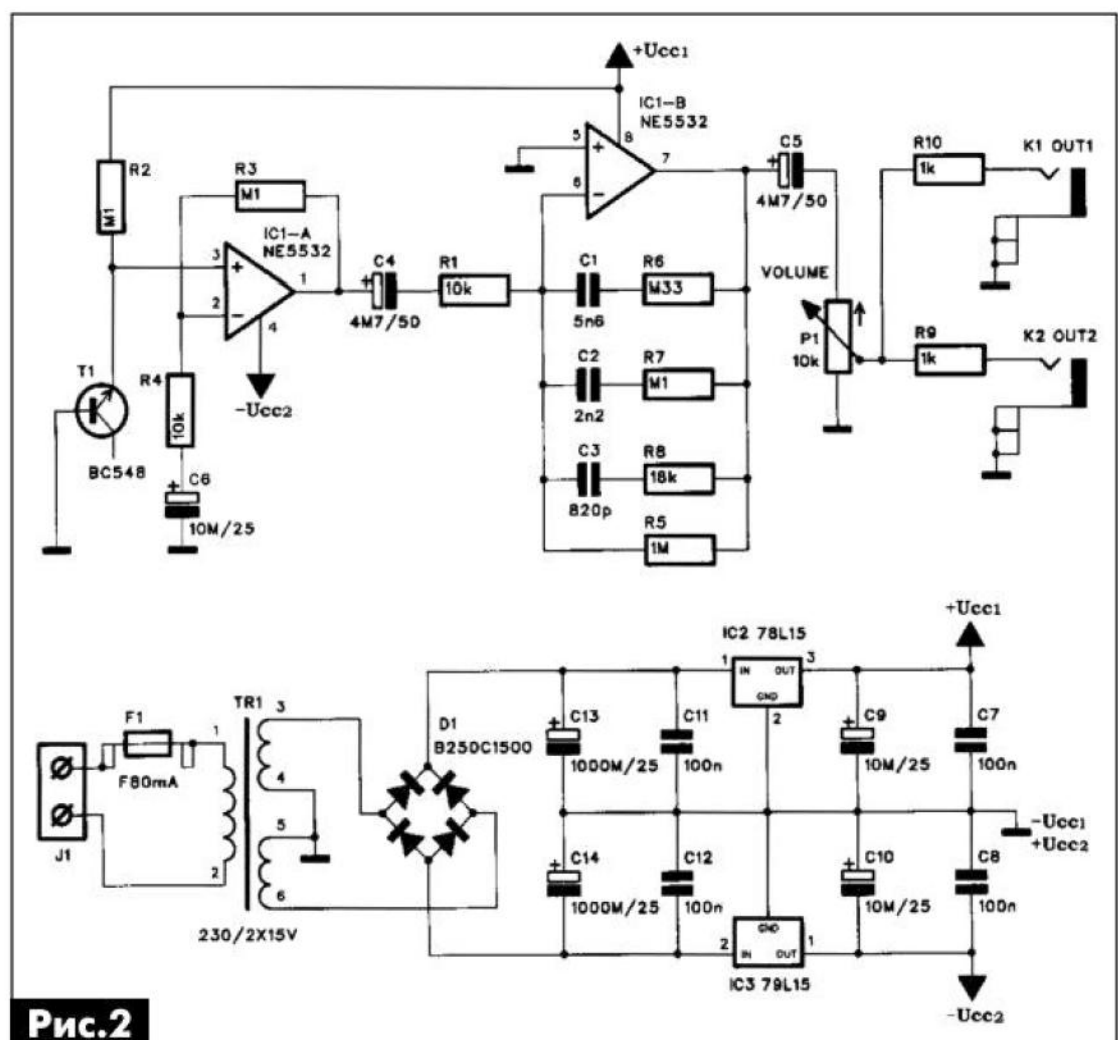


Рис.2

## Цифровое телевидение набирает ход

**Евгений Скорик, г. Киев**

(Окончание. Начало см. в РА 9/2012)

### Помехоустойчивость модуляции OFDM

Наш журнал описывал цифровую модуляцию OFDM [2]. Было наглядно показано, как при этом типе модуляции эффективно устраняются влияния фединга и многократных отражений на изображение на экране при приеме ТВ с эфира. Последнее явление в аналоговом ТВ в городских условиях без применения внешних антенн на крышах домов с высокой направленностью и особенно при использовании комнатных антенн, очень сильно ухудшает качество изображения.

В аналоговом приемнике ТВ применяется автоматическое регулирование усиления (АРУ), которое по своему принципу действия срабатывает по наиболее сильному принимаемому сигналу относительно гауссового, так называемого, «белого» шумового сигнала приемника, и «давит» все остальные более слабые паразитные отраженные сигналы от окружающей природной среды (деревья) или городской структуры (высокие здания). Если же ярко выраженный наиболее сильный сигнал не принимается, то АРУ срабатывает по суммарному сигналу от всех отражений, и изображение на экране представляет собой многократные смещенные изображения видеокадра.

При цифровой модуляции OFDM паразитные сигналы, как получившие при отражениях дополнительную задержку по времени относительно основного сигнала, полностью устраняются цифровой



фильтрацией по времени прихода. В этом случае сигналы фединга и повторных отражений представляются как радиочастотные помехи релеевского типа и эффективно отсекаются. В результате изображение цифрового приемника ТВ отличается высокой четкостью и чистотой. На **рис.3** наглядно показано, как формируется сигнал фединга при отражении ТВ сигнала от габаритных местных предметов – крупных массивов деревьев и зданий.

На **рис.3** обозначено:

- $a_0$  – прямой луч с задержкой  $\tau_0$ ;
- $a_n$  – отраженные лучи с задержкой  $\tau_n$ ;
- МП – местные предметы.

Даже при приеме цифрового ТВ на подвижных объектах стандарта DVB-H, наиболее чувствительного к федингу из-за дуплеровского смеще-

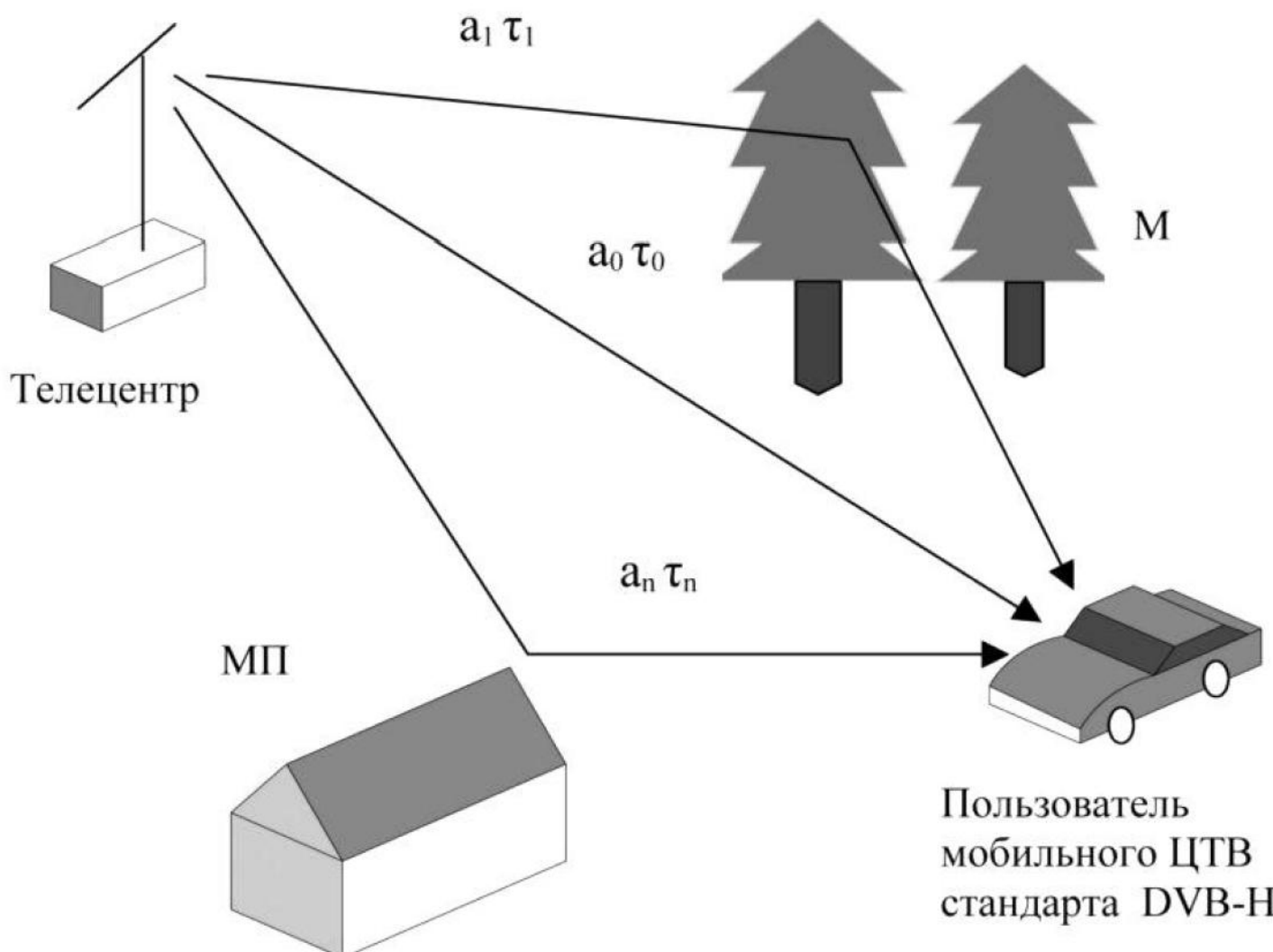


Рис.3

ния несущей частоты, применение любого стандарта ЦТВ полностью устраняет помеху фединга.

#### Что такое мультиплексы?

Под мультиплексом в данном случае понимается радиоканал – частотная точка с полосой частот, на которой размещаются уплотненные (мультиплексированные) каналы ЦТВ, разделяемые затем в кодах. Для Украины в настоящее время в дециметровом диапазоне официально выделены пока четыре мультиплекса, приведенные в **табл.2**.

Табл.2

Мультиплекс	MX - 1	MX - 2	MX - 3	MX - 5
Средняя частота, мГц	634	650	714	818

Сравнивая **табл. 1** и **табл. 2**, отмечаем, что при переходе на ЦТВ будут освобождены для других служб полностью метровые диапазоны I, II и III, а также часть дециметрового в диапазонах IV и V.

В каждом мультиплексе размещаются  $N=8$  программ эфирного ЦТВ. Это позволило с марта 2012 г. обеспечить в Киеве вещание 55 телеканалов. На остальной территории Украины возможен прием еще 32 телеканалов, которые вещают в других 4-х мультиплексах.

По используемой полосе частот ЦТВ эффективнее аналогового ТВ по крайней мере в четыре раза. При упомянутых выше высокоэффективных типах модуляции минимальный защитный частотный интервал между мультиплексами по стандарту DVB-T2 составляет всего лишь 1,7 МГц.

#### Сет-топ-боксы

Пользователи кабельного и спутникового телевидения, которое уже давно цифровое, привычно применяют приемные приставки – тюнеры к своим аналоговым ТВ приемникам. При планировании в

Украине внедрения эфирного наземного ЦТВ в обиходе появился новый англоязычный термин – «сет-топ-бокс», под которым подразумевается тот самый автономный тюнер, только нового эфирного стандарта DVB-T2. Те из читателей РА, которые приобрели тюнер DVB-T2, могут в Киеве смотреть передачи ЦТВ на частотах 514, 558, 554 и 698 МГц.

Особенности цифрового эфирного тюнера, «сет-топ-бокса» описаны в [4].

#### Антенны для приема ЦТВ

Как альтернатива, работа телевизоров старого образца без тюнеров DVB-T2 может обеспечиваться как в каналах ЦТВ кабельного и спутникового ТВ, так и через беспроводной доступ в Интернет. Известно, что Интернет в качестве универсальной информационной сети предоставляет пользователям возможность получать, наряду с текущей информацией справочные данные и другие услуги, а также принимать телевизионные программы регионального, общенационального и межгосударственного вещания в режиме оперативного доступа «on line» при использовании персональных компьютеров (ПК).

Так как эфирное ЦТВ использует дециметровый диапазон и часть метрового на стандарте DVB-T, которые были заняты много лет аналоговым ТВ, то оставшиеся в некоторых городских домах коллективные антенны с усилителями и кабельной разводкой по квартирам вполне могут использоваться при переходе на ЦТВ после приобретения пользователями сет-топ-боксов. Если такая кабельная разводка из эфира у пользователей не сохранилась, то им рано или поздно следует позаботиться об установке индивидуальных домашних приемных дециметровых антенн на частоты мультиплексов. Таким образом, для приема ЦТВ с эфира, кроме сет-топ-боксов, понадобится достаточно большое количе-



ство индивидуальных не настраиваемых в эксплуатации антенн дециметрового диапазона. Это понимают производители соответствующего оборудования и уже оперативно выпустили в продажу в Украине комнатные антенны, рекламируемые как сугубо «антенны для ЦТВ». Одна из таких разработок продается в Киеве со встроенным усилителем с питанием от сет-топ-бокса.

В Интернете и в доступной для радиолюбителей технической литературе имеется достаточное количество информации по антеннам дециметрового диапазона, из которой можно выбрать конструкцию антенны для приема с эфира ЦТВ, пригодную для самостоятельного изготовления.

По мнению автора и с учетом его опыта, наиболее успешно своими руками можно изготовить плоскую самодополнительную дипольную антенну – «бабочку» [3]. Эта антenna не требует симметрирующего устройства. Другая популярная антenna – это рамочная антenna, одиночная или двойная, известная как антenna Харченко. Обе антенны могут быть использованы с отражающим экраном.

Автор по материалам из Интернета изготовил и опробовал два макета дециметровых антенн для индивидуального применения в ЦТВ. Особенностью этих антенн является использование проволочной структуры в виде фрактала – кривой Коха. Эти антennы пока еще мало знакомы радиолюбителям. Одна из них представляет собой синфазную двухэлементную решетку с подключением кабеля посередине конструкции. В качестве симметрирующего устройства автор применил трансформатор на основе двух отрезков ленточного кабеля длиной  $\lambda_{\text{ср}}/4$ , соединенных по известной схеме: к кабелю – в параллель, к антенне – последовательно. Второй образец антенны имеет более разветвленную форму и подключается к кабелю с

нижнего конца структуры. Здесь, как вариант, используется симметрирующее устройство в виде 3-х ферритовых колец диаметрами наружным 10 мм, внутренним 5 мм и толщиной каждого 3 мм, плотно надетых на наружную оплетку кабеля. Антенны опробованы во всем дециметровом диапазоне передач ТВ в Киеве совместно с антенным усилителем типа «In-line amplifier» с усилением 18 dB, полосой частот 40...900 МГц и регулировкой усиления посредством изменения напряжения источника питания с номинальным напряжением 15 В.

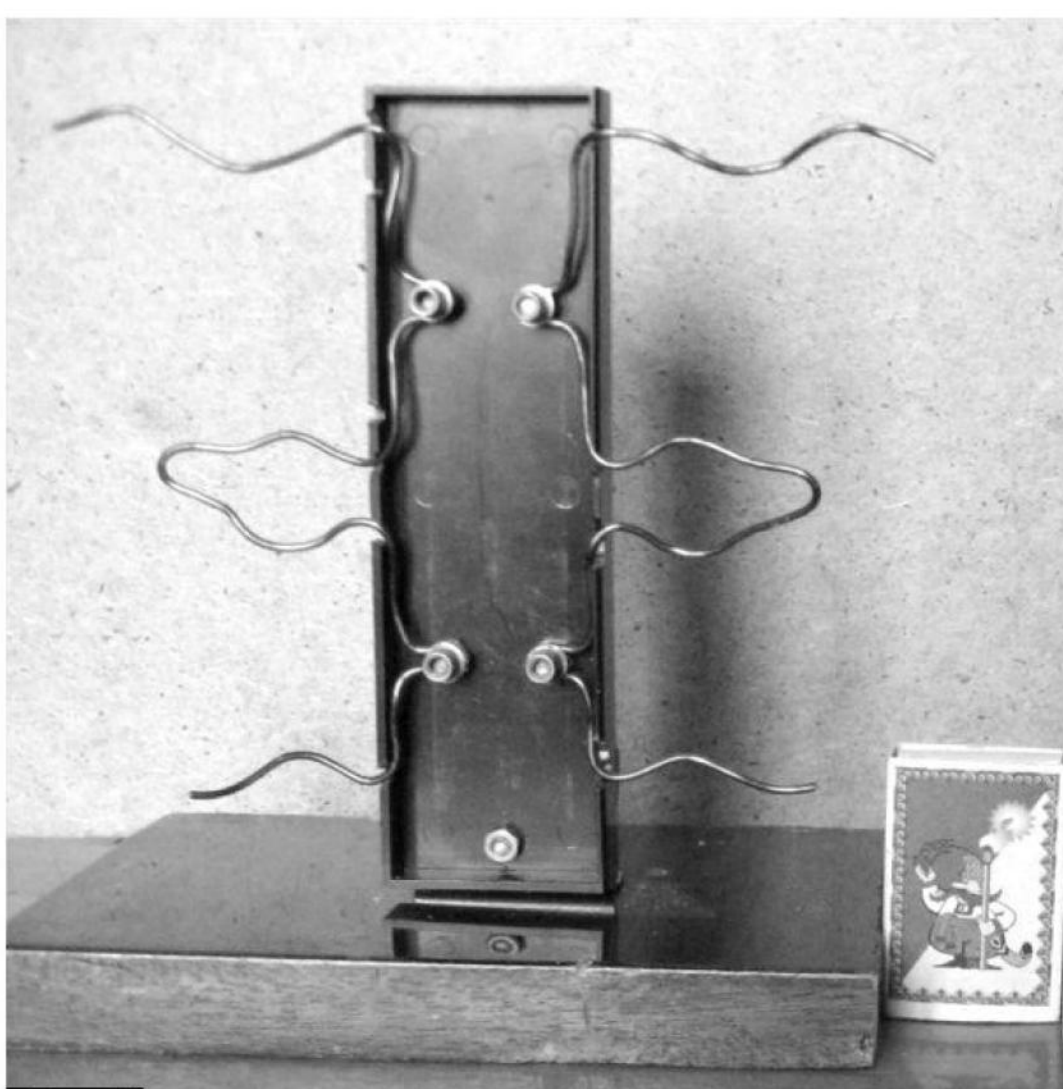
На **рис.4** показано фото этих антенн. Первая антenna с отражающим экраном и подключением кабеля посередине структуры антенны и вторая – с подключением кабеля снизу структуры. Антенны некритичны к размерам структур и могут быть рекомендованы читателям для повторения.

### Заключение

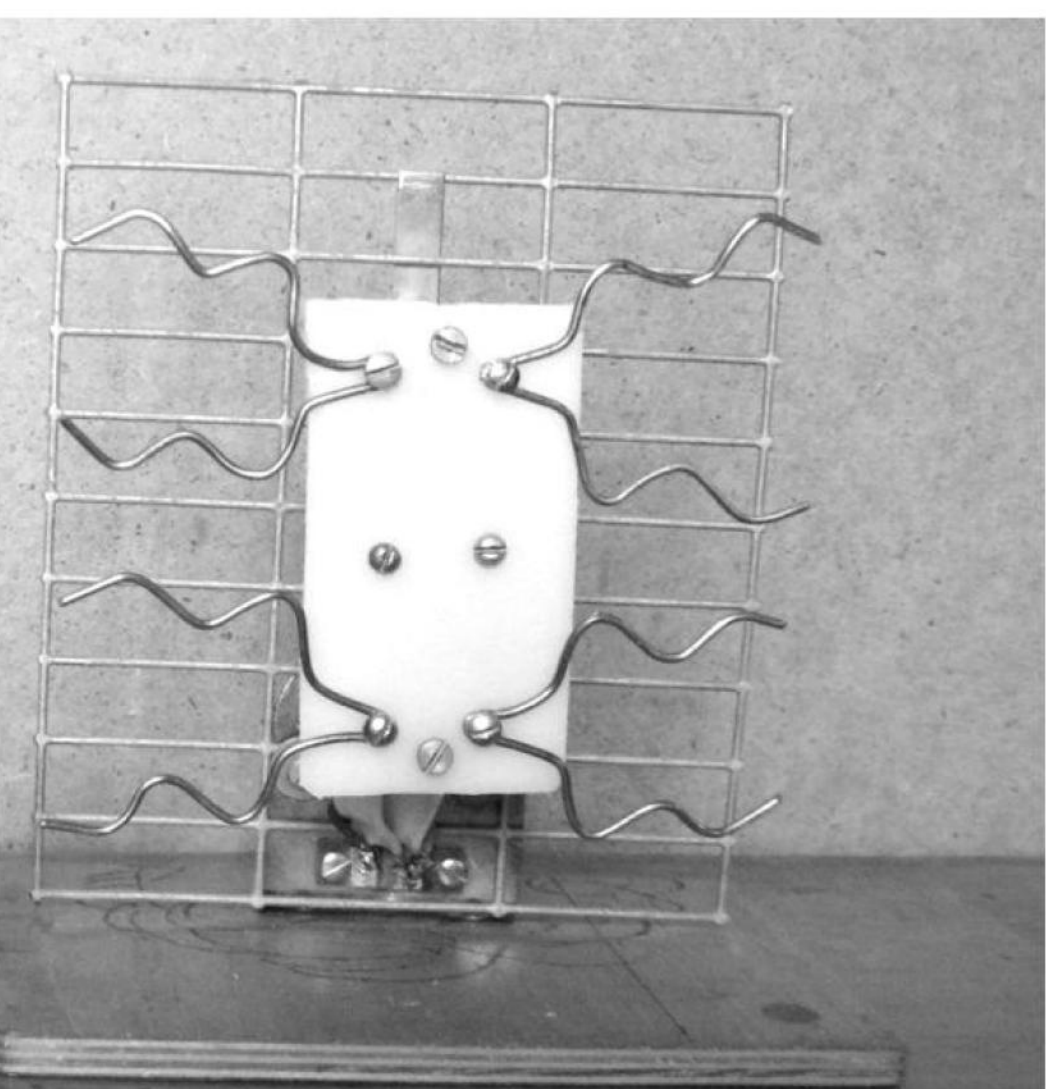
Переход эфирного ТВ на цифровой формат затронет всех нас. Поэтому все мы должны уже сегодня быть к этому готовы. При подготовке материалов статьи кроме цитируемой литературы были использованы также материалы провайдера ЦТВ в Украине «Зеонбуд» и Интернета по тематике ЦТВ.

### Литература

1. Скорик Е. Радиоаматорам о цифровой радиосвязи // Радиоаматор. – 2001. – №5. – С.49.
2. Скорик Е. Техника модуляции OFDM // Радиоаматор. – 2006. – №3. – С.51.
3. Скорик Е., Кондратюк В. Широкополосные антенны для цифровых систем радиосвязи и телевидения // Радиоаматор. – 2012. – №2. – С.51.
4. Синицын А. Цифровой эфирный тюнер Openbox FT-6144 // Радиоаматор. – 2012. – №6. – С.5.



**Рис.4**





# Активный «DI box»

J. Nyuszika

«Direkt box», или сокращенно «DI box», чаще всего служит для подсоединения электромузикальных инструментов с несимметричным выходом к усилителям звуковых частот пультов с симметричным входом.

Подавляющее большинство электромузикальных инструментов имеет несимметричный выход. При подключении их к различным устройствам, в частности к микшерским пультам, на соединительном кабеле наводятся различные сигналы помех. При этом экранирование соединительного кабеля мало улучшает ситуацию. Особенно большие наводки будут при работающих вблизи электроинструментов и микшерского пульта устройствах световых эффектов.

Симметричные входы микшерских пультов предназначены для подавления синфазных наводок. Самым простым решением сопряжения несимметричных выходов электроинструментов с симметричным входом микшерского пульта является использование симметрирующего разделительного трансформатора, однако его стоимость достаточно высока из-за необходимости тщательного и кропотливого изготовления. Гораздо дешевле использовать, так называемый, «DI box». Схема одного из таких устройств показана на **рис. 1**.

На входе устройства включены два параллельно соединенных гнезда K1-A и K2-A, что позволяет, например, осуществлять контроль сигналов электроинструментов без их обработки.

Переключатель S1-A позволяет подавать на вход схемы или непосредственно полный сигнал электромузикального инструмента (ЭМИ) или ослабленный потенциометром P1.

Конденсатор C1 – разделительный. ОУ микросхемы IC1-A типа LME49720 включен как повтори-

тель напряжения, а ОУ IC1-B – как инвертирующий усилитель.

Диоды D1 и D2 – защитные.

Гнездо K3 – выходное. Оно имеет стандартную для техники ЭМИ распайку.

Переключателем S2-A задается питание устройства по схеме **рис. 1** от двух последовательно соединенных 9-вольтовых гальванических батарей, например, типа «Крона-ВЦ» или от «phantomного» источника питания микшерского пульта, если такой источник там, конечно, предусмотрен.

Резисторы R12 и R13 обеспечивают искусственную среднюю точку однополярного напряжения питания 18 В.

В схеме **рис. 2** входной сигнал так же подается на одно из гнезд K1-A или K3-A. Переключателем S1-A можно ослабить входной сигнал на 20 дБ. Возможно, это потребуется для исключения перегрузки усилителя микшерского пульта.

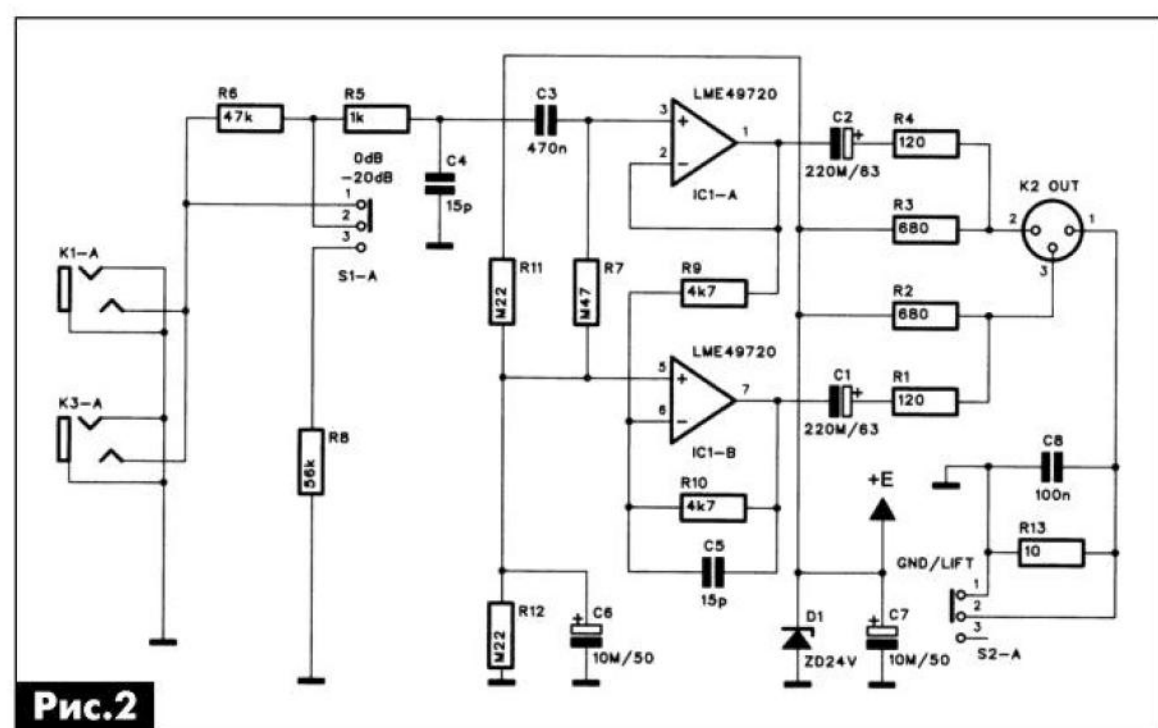


Рис.2

Как и в предшествующей схеме операционные усилители IC1-A и IC1-B обеспечивают два противофазных сигнала ЭМИ на выходе – K2 «OUT». Питание схемы **рис. 2** производится только от «phantomного» источника питания микшерского пульта.

Питание от других источников, в частности батарей, в этой схеме не предусмотрено. Как отмечает автор [1], переключателем S2-A можно «частично» разделить «земли» «DI box» и микшерского пульта по сигналам. При этом, естественно, о разделении по питанию речь не идет.

## Литература

- Alan Kraus. Aktivni DI boxy // Prakticka elektronika. – AR. – 2012. – №02. – S.38–40.

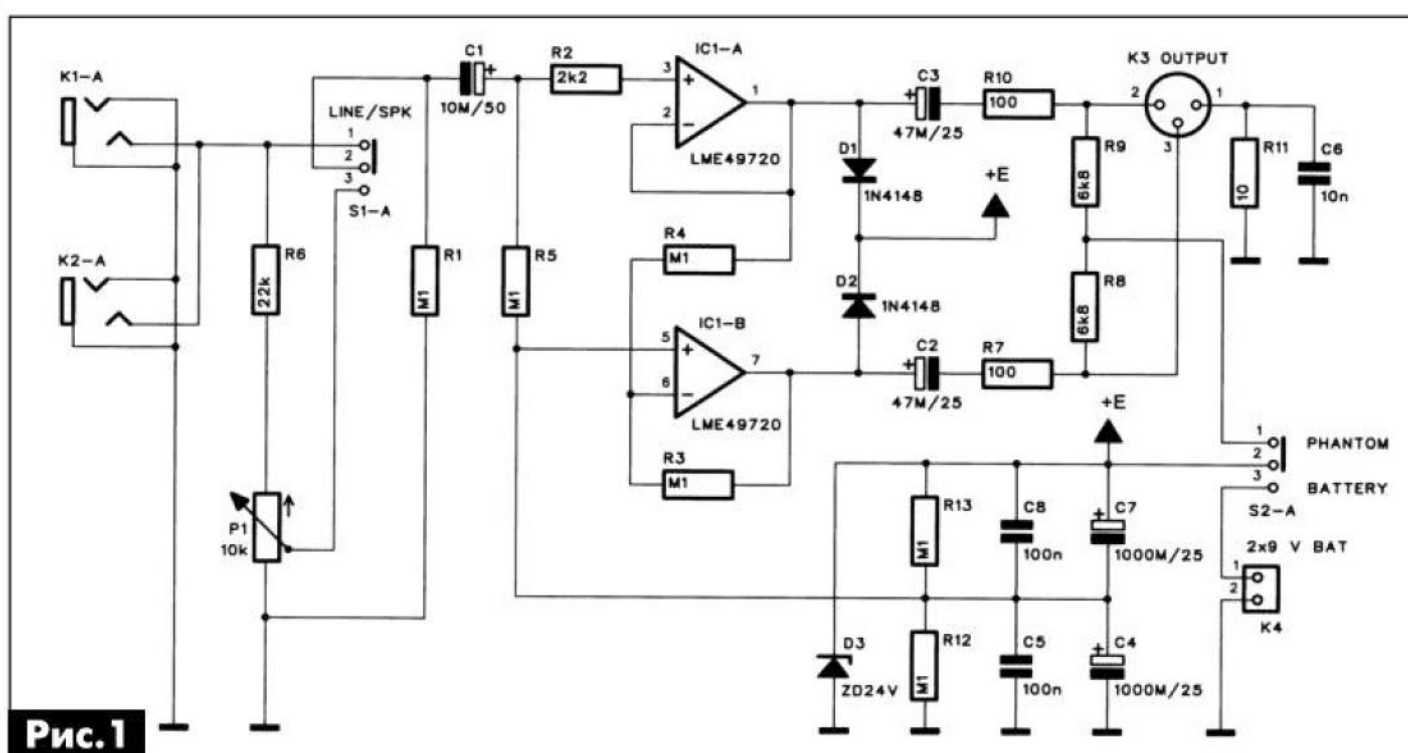


Рис.1



# Драйвер С. Шпака

Александр Петров, г. Минск

аудио-видео

**ВЫСОКОКАЧЕСТВЕННОЕ ЗВУКОВОСПРОИЗВЕДЕНИЕ**

Поводом к написанию этого материала стала одна амбициозная статья, бросающая вызов всем мировым производителям аудиотехники. Автор обижается, что его никто в мире не понимает. Судя по полученным патентам, его понимают только в патентном бюро РФ.

Анализ наиболее распространенных простых драйверов приведен в [1]. Рассмотрим еще один амбициозный вариант, равного которому, как утверждает автор, нет в мире [2]. Поскольку, согласно патенту, это дифференциальный усилитель (т.е. имеет равноправные прямой и инверсный

Зачем просто, когда можно сложно...

входы), то для начала проверим его в неинвертирующем включении (рис.1) [3].

Как видим из рис.1, эта схема имеет параллельный ВЧ канал, выполненный на повторителе на полевом транзисторе Q1 и конденсаторе C2. Очевидно, автор разрабатывал свой драйвер под впечатлением от прецизионных усилителей сигналов низкой частоты А. Данилова, которые к усиливанию звука не имеют отношения. Снимем, используя компьютерную программу Micro Cap 9.0, диаграмму Боде (т.е. АЧХ и ФЧХ) при коэффициенте усиления 30 дБ.

Как видно из диаграммы (рис.2), усилитель

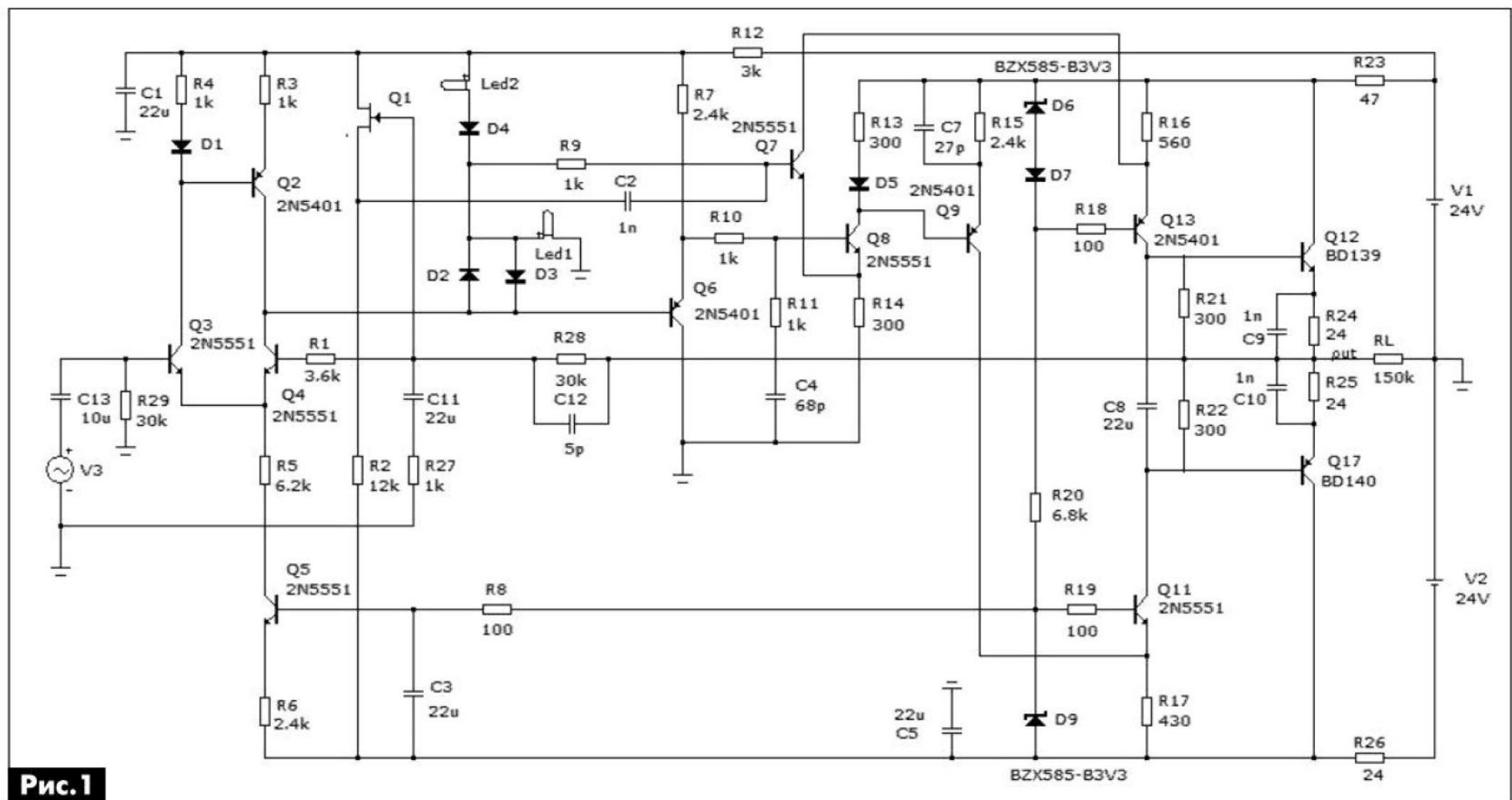


Рис.1

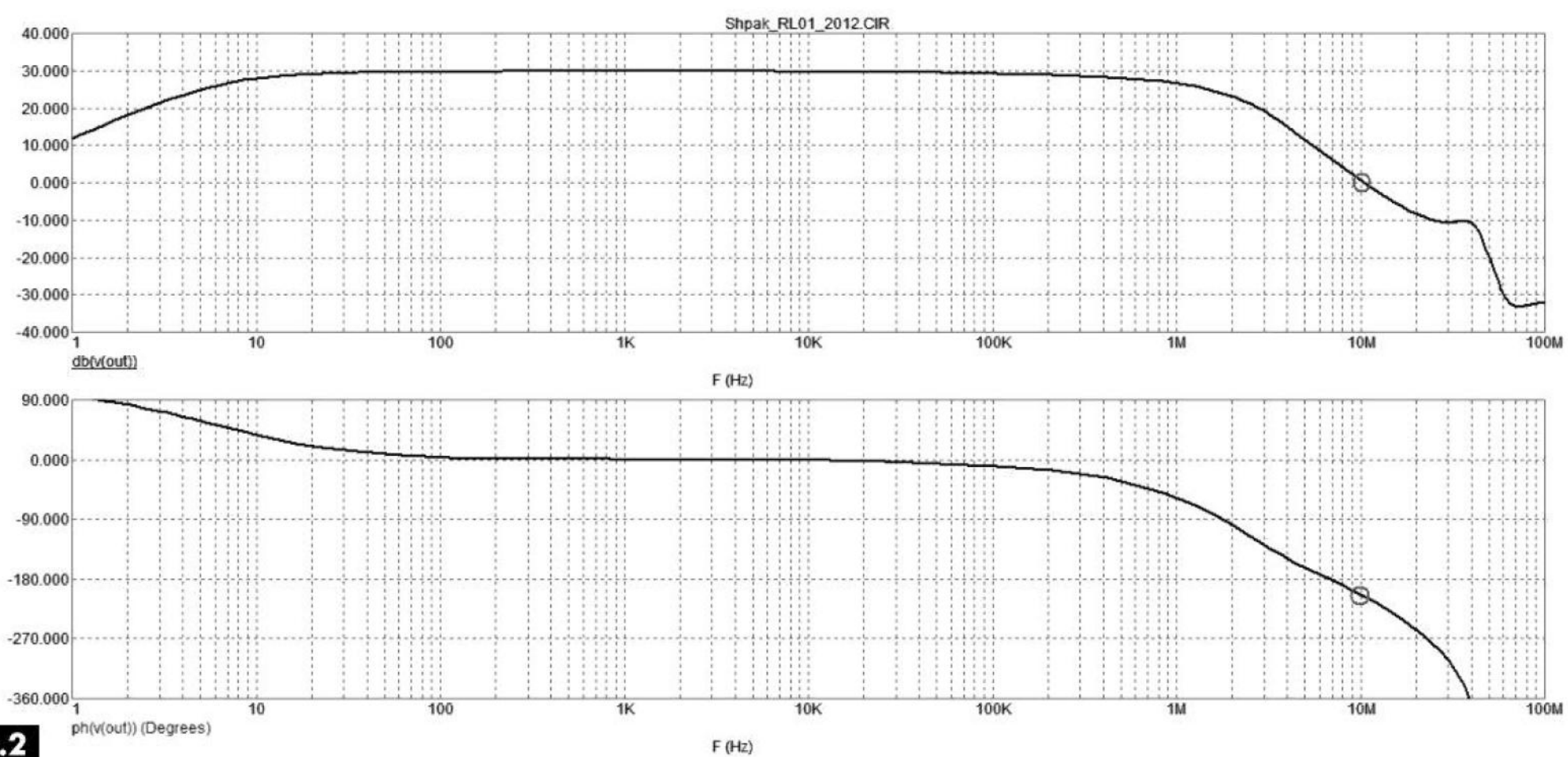


Рис.2

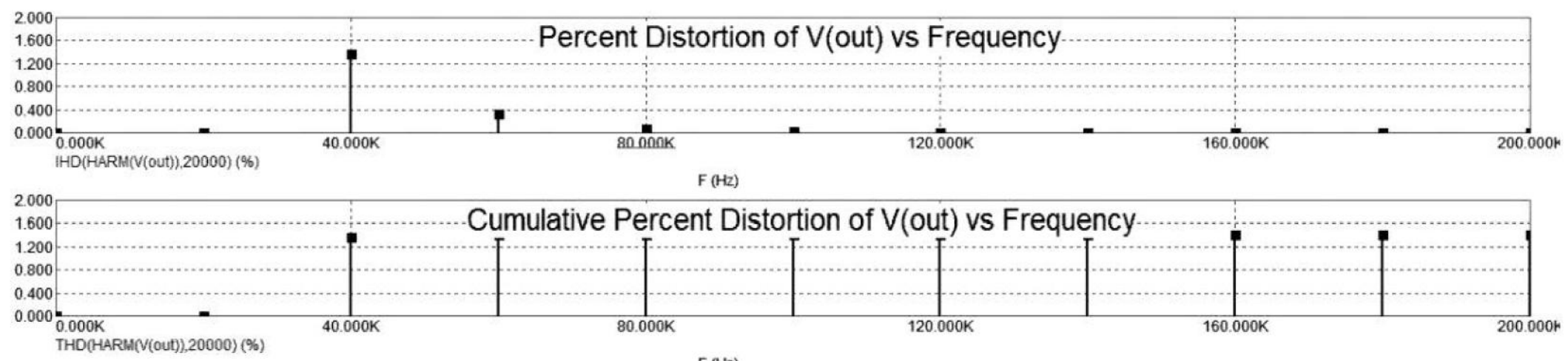


Рис.3

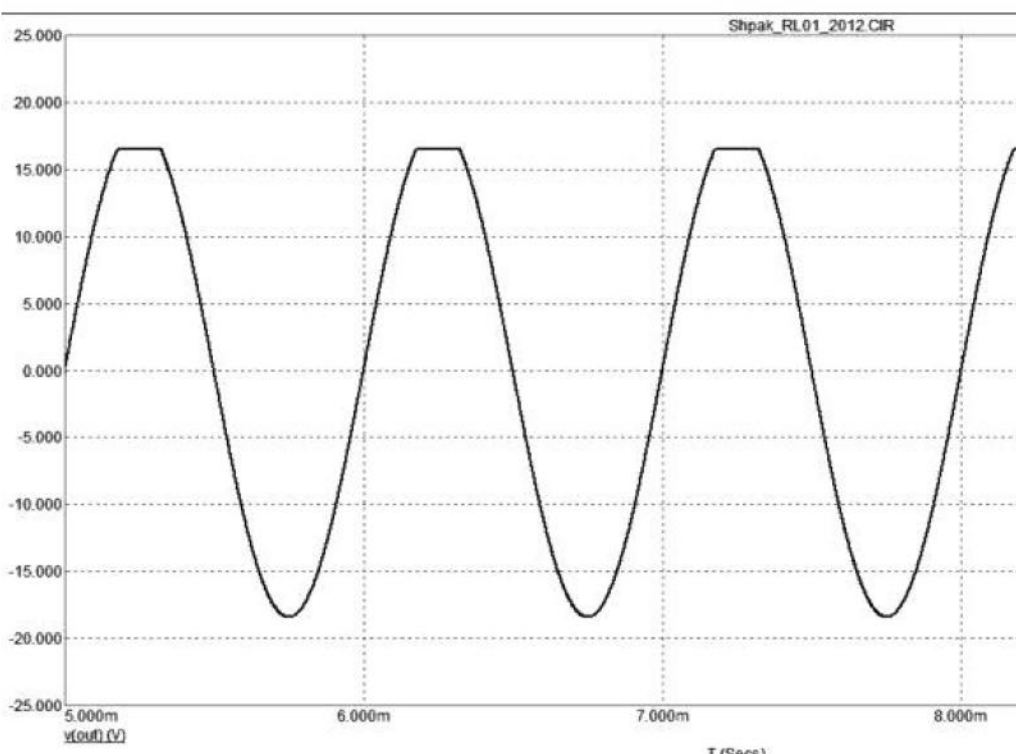


Рис.4

имеет «перелет» фазы на частоте единичного усиления (примерно 10 МГц), составляющий около 30 град., в то время как рассмотренные типовые схемы в [1] при той же частоте среза и частоте единичного усиления имеют запасы по фазе не менее 60...90 град. Можно, конечно, увеличить емкость корректирующего конденсатора С12, но тогда появляется выброс выше 0 дБ на частотах в несколько десятков МГц, что может быть причиной «мягкого» подвозбуда.

Проверим этот драйвер на нелинейные искаже-

ния на частоте 20 кГц (рис.3). Как видим, драйвер вносит достаточно большие искажения – около 1,5%, из них вторая гармоника составляет около 1,3% и третья – около 0,4%.

При проверке драйвера на перегрузку выяснилось, что из-за несимметричной структуры он имеет также и несимметричное ограничение сигнала, что никуда не годится (рис.4).

Как видим, в неинвертирующем включении этот драйвер никуда не годится. Ну что же, тогда проверим его в инвертирующем включении, для чего заземлим прямой вход и подадим сигнал от генератора через резистор R27 и вновь снимем диаграмму Боде (рис.5).

Как видно из рис.5, и в инверсном включении устойчивость драйвера к возбуждению под сомнением. Что касается нелинейных искажений, то на частоте 20 кГц Кг=0,02%. Более простые схемы [1] имеют искажения на один-два порядка ниже.

#### Литература

- Петров А. Эволюция транзисторных УМЗЧ // Радиомир. – 2012. – №2–6.
- Шпак С. Линейный широкополосный усилитель, патент RU 2387074 C1, H03F1/42 (2006.01).
- Шпак С. Архитектура абсолютного УМЗЧ // Радиолюбитель. – 2011. – №12; 2012. – №1–3.

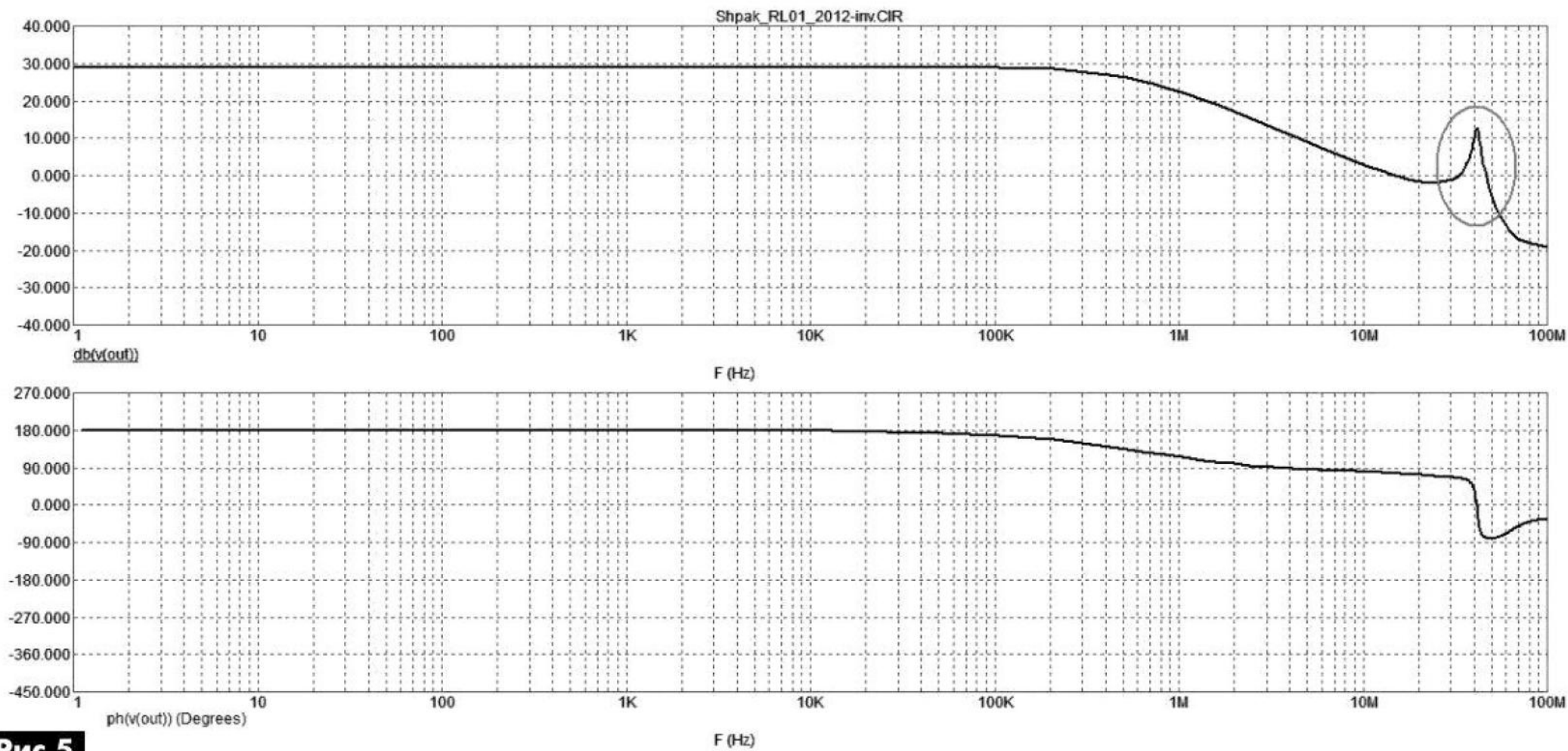


Рис.5

# О применении автомобильного GPS/GPRS трекера BM8009L

В 7-8 номерах журнала мы напечатали статью «Автомобильный GPS/GPRS трекер BM8009L». К нам приходят отзывы о работе с этим устройством. Предлагаем их вашему вниманию. (информация взята из Конференции сайта МАСТЕР КИТ)

## Vlad

Купил, подключил – на подоконнике через сайт место показал. Надо на машинуставить своему студенту – и поприсматривать, куда и быстро ли ездит, ну и знать где: мало ли когда подъехать, если помочь нужна. На машину думаю на постоянку прикрутить, вроде потребление в покое действительно небольшое.

Пока не понял, можно ли узнать остаток счета на карте. И можно ли, послав на номер трекера смс, получить ответную смс с координатами на случай, если инета не будет под рукой?

## Консультант

Баланс автоматически определяется каждые 3 часа. Чтобы его видеть, нужно в настройках на сайте включить опцию «Отображение параметров».

Запрос координат можно делать звонком на номер телефона трекера, в ответ придет SMS с ссылками гугл- и яндекс-карты. Но предварительно внесите свой номер в конфиг-файл на трекере в поле **My phone**. И еще, рекомендую обновить прошивку, скачивается отсюда: [http://guard-master.ru/load/obnovlenija\\_bm8009/7](http://guard-master.ru/load/obnovlenija_bm8009/7).

## Vladalexbel

Обновил прошивку, покатался сам, пока через usb-переходник с прикуривателя питание. Трек вечером посмотрел – думаю как это, не был я в том районе, а потом – ааа, что это я! Точки со скоростью видно. Баланс можно запросить. По смс координаты присыпает, по ссылке на винмобиле у меня Яндекс отработал. Можно ручками, если вдруг понадобится пересчитать и в градусы-минуты для Навитела, если найти надо будет место, ну, надеюсь не понадобится. Надо теперь ставить по хорошему и питание прикрутить, а то через usb сам переходник у меня нечетко контактирует в розетке 12 В. В целом интересная игруш-

ка. Кому надо за транспортом следить (да хоть бы и как реле использовать удаленное) – дешево и сердито.

## Заключение

BM8009L является очень эффективным решением для контроля и охраны как личных, так и коммерческих автомобилей, маршрутных такси и автотоездов.

Заказать BM8009L, а также другую продукцию МАСТЕР КИТ в России Вы можете, позвонив бесплатно с мобильного или стационарного телефона на горячую линию 8-800-200-09-34 (с 9.00 до 18.00, кроме выходных), либо оформив заказ с курьерской или почтовой доставкой на сайте: [WWW.MASTERKIT.RU](http://WWW.MASTERKIT.RU). Продажа в Украине осуществляется через посыльторг «Радиоаматор»: тел.: (044) 291-00-31, (067) 796-19-53 и (050) 187-62-20.

## Литература:

Описание трекера BM8009L: [http://www.masterkit.ru/main/set.php?code\\_id=1042268](http://www.masterkit.ru/main/set.php?code_id=1042268)

Ссылка на конференцию: <http://www.masterkit.ru/forum/viewtopic.php?t=1644&postdays=0&postorder=asc&start=15>

# О некоторых особенностях PIC-программатора MP9012

**А. Каменский, г. Зеленоград**

В апрельском номере нашего журнала была опубликована статья с описанием программатора MP9012 для PIC-микроконтроллеров, а в настоящей статье автор рассматривает некоторые особенности этого программатора.

Внешний вид программатора MP9012 для PIC-микроконтроллеров показан на **фото 1**. Напомним, что этот программатор работает с микроконтроллерами семейств: PIC10F, PIC12F5xx, PIC16F5xx, PIC12F6xx, PIC16F, PIC18F, PIC24, dsPIC30, dsPIC33 и PIC32, а также с микросхемами памяти (Serial EEPROM) от Microchip.

## Технические характеристики программатора

Диапазон напряжений питания, В	4,75...5,25
Потребляемый ток, мА	не более 100
Функция обновления прошивки	есть
Совместимость по выводам выходного разъема с PICKit 2	да
Диапазон рабочих температур, °C	+10...+45
Относительная влажность без конденсации, %	не более 35
USB разъем	miniUSB типа B
Габаритные размеры (Д x Ш x В), мм	68x40x6

Многих радиолюбителей и профессионалов интересует ответ на вопрос: «Может ли программатор-отладчик микроконтроллеров являться одновременно многофункциональным логическим анализатором/генератором и терминалом UART-интерфейса?».

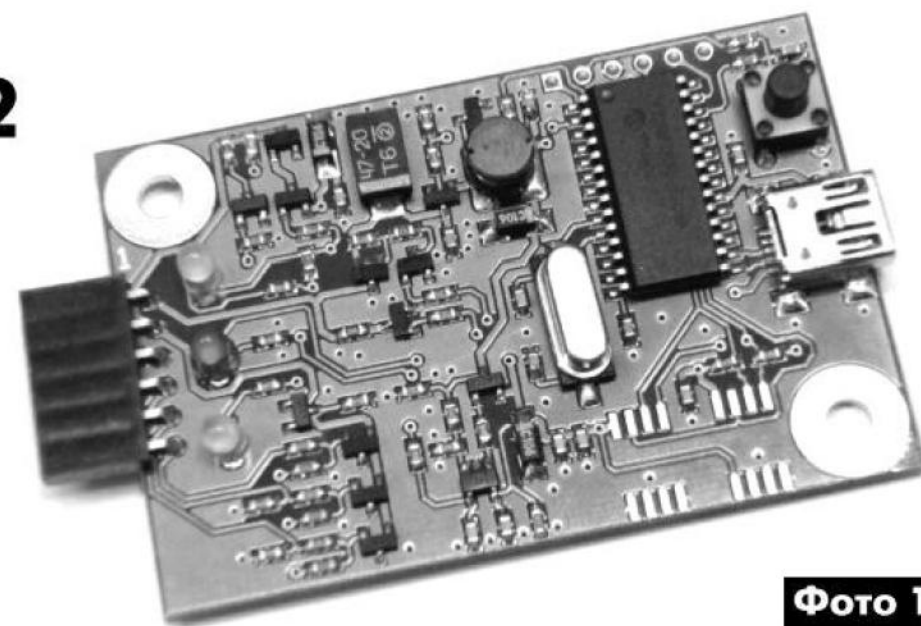
Ответим положительно: «Конечно, может, если это популярный модуль от **«МАСТЕР КИТ» MP9012**».

Программирование PIC-микроконтроллеров и отладка разрабатываемого для них программного обеспечения, несомненно, являются основными задачами набора MP9012. Но согласитесь, очень приятно, когда прибор обладает дополнительными полезными функциями. В данной статье пойдет речь о логическом анализаторе/генераторе (Logic Tool) с частотой дискретизации до 1 МГц и терминале UART (UART Tool), которые могут быть реализованы на основе MP9012 и специализированного программного обеспечения PICkit2 Programmer.

**Logic Tool** – это функция логического анализатора/генератора позволяет отслеживать до трех линий на исследуемом устройстве и формировать цифровые сигналы непосредственно через разъем для программирования. Функция может быть запущена из программы **PICkit2 Programmer** путем выбора пункта меню **Tools>Logic Tool**.

В наличии имеется два режима работы:

1. Режим **Logic I/O** может быть полезен для непосредственного формирования сигналов и их от-



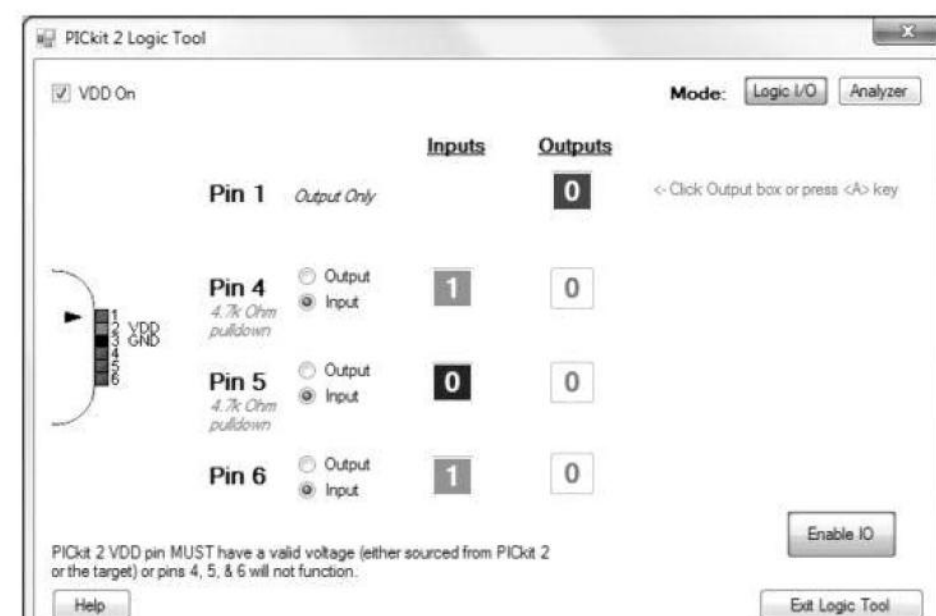
**Фото 1**

слеживания, выступая в виде аналога кнопок и светодиодов, которые обычно используют разработчики для отладки своих устройств.

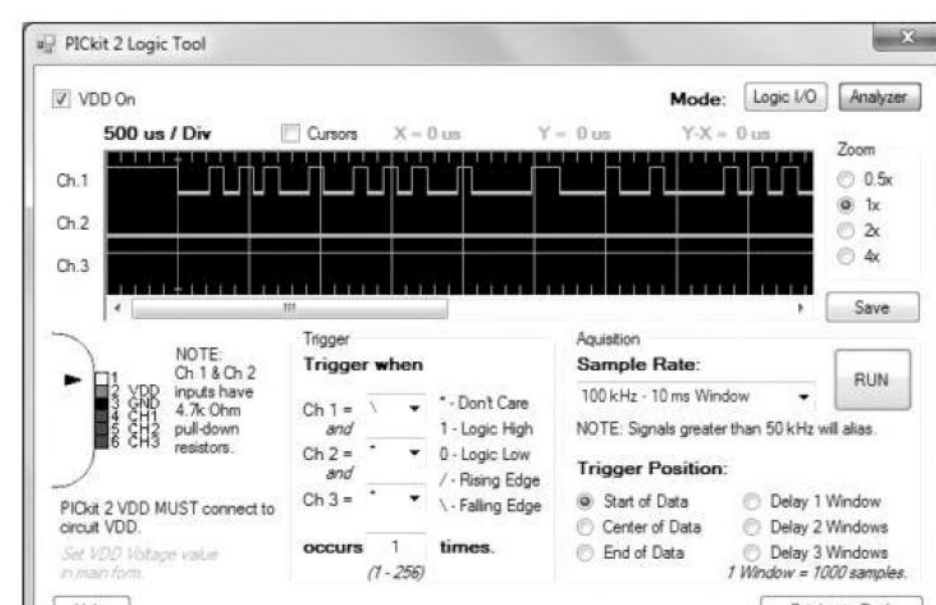
На **рис.1** показано окно этого режима с графическими подсказками в виде схематичного изображения разъема программатора, номиналов определяющих входных резисторов и т.п.

2. Режим **Analyzer mode** позволяет отображать осциллографмы с трех входных цепей разъема с использованием запуска (триггера) по событию, например по фронту или уровню одного из сигналов. В качестве входных цепей используются выводы с четвертого по шестой разъема, о чем свидетельствует графическая подсказка в левой части рабочего окна (**рис.2**). Окно разделено на три секции:

- основная область осциллографм (Display);
- область настроек триггера (Trigger);
- область настроек захвата (Aquisition).



**Рис.1**



**Рис.2**

В основной области осциллографа возможно включить/отключить отображение курсора (Cursor), установить увеличение (Zoom), а также сохранить текущие данные (кнопка Save).

В области настроек триггера можно задать условие срабатывания:

- '\*' (Don't Care) – анализатор игнорирует данный канал в качестве источника триггера;
- '1' (Logic High) – канал должен быть в состоянии лог. «1» для формирования условия триггера;
- '0' (Logic Low) – канал должен быть в состоянии лог. «0» для формирования условия триггера;
- '/' (Rising Edge) – канал должен перейти из лог. «0» в лог. «1» для формирования условия триггера;
- '\' (Falling Edge) – канал должен перейти из лог. «1» в лог. «0» для формирования условия триггера.

Поле **Occurs Times** позволяет задать количество пропусков условий триггера до того, как осциллограф будет захвачена, что может быть удобно, например, в случае, когда нужно пропустить первые десять положительных фронтов сигнала.

В области настроек захвата задаются частота выборок (Sample Rate) и позиция триггера (Trigger Position), которая используется для отслеживания событий, происходящих после условия, до условия или когда необходимо отцентрировать момент срабатывания относительно исследуемого участка. В области настроек захвата задается также количество пропущенных окон (Delay Windows). Здесь же расположена кнопка запуска захвата (RUN).

Таким образом, элементы управления, навигации и настройки достаточно просты, что позволит даже новичку освоить режим в кратчайшие сроки.

В любом случае, всегда можно воспользоваться справкой, нажав кнопку Help, расположенную в левом нижнем углу.

### UART Tool

Функция терминала UART бывает очень полезной при разработке устройств и позволяет:

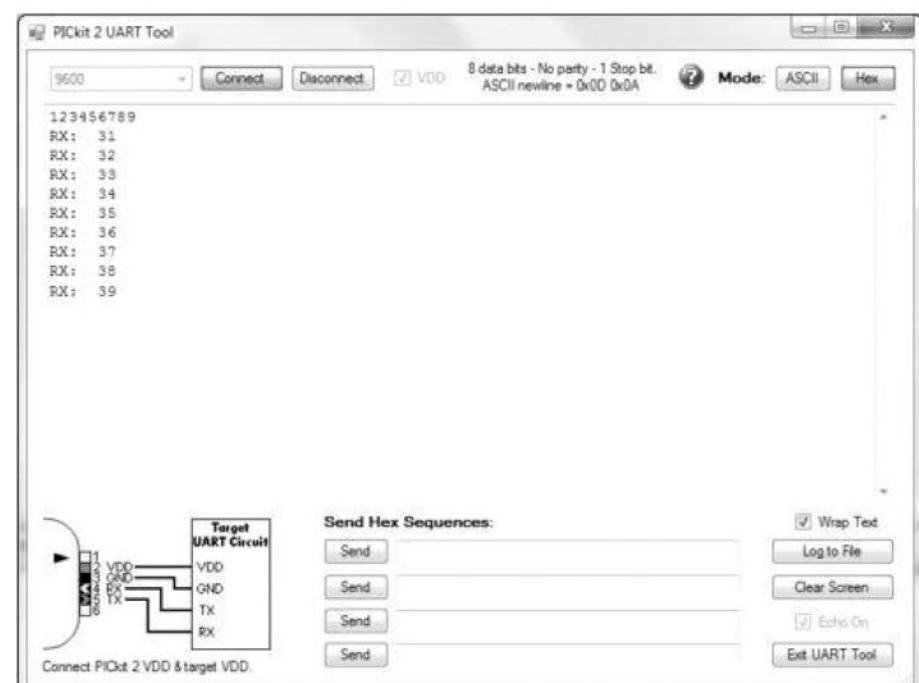
- отображать отладочные данные от микроконтроллеров;
- сохранять данные в текстовый файл;
- программировать и отлаживать UART-интерфейс микроконтроллеров;
- управлять работой микроконтроллеров путем передачи команд.

Вызов **UART Tool** производится из основного меню **Tools>UART Tool**, после чего открывается основное окно (**рис.3**).

Подключение должно осуществляться согласно графической информации, расположенной в левой части основного окна **UART Tool**.

Хочу обратить внимание, что в данном случае прибор работает с сигналами, имеющими уровни напряжения лог. «1» от 2,5 до 5 В, т.е. подключать прибор непосредственно к порту RS-232 не допускается.

В левом верхнем углу основного окна (**рис.3**) задается скорость соединения и расположены кнопки подключения и отключения (Connect и Dis-



**Рис.3**

connect), а в верхнем правом – элементы выбора режима отображения данных в символьном (ASCII) либо шестнадцатеричном (HEX) коде. В центре располагается дисплей терминала, на который выводится вся информация.

В левой нижней части окна расположена памятка для правильного подключения программатора к исследуемой плате, а внизу по центру – средство для отправки строк данных. Справа можно увидеть следующие элементы: чекбокс Wrap Text, включающий автоматический перевод каретки на новую строчку, кнопку Log To File запуска записи данных в файл, кнопку очистки экрана Clear Screen, чекбокс Echo On включения эха и кнопку выхода.

Из изложенного выше можно сделать вывод, что, приобретя модуль MP9012, пользователь получает программатор-отладчик с функциями логического анализатора и UART-терминала.

Описание и схему устройства MP9012 можно найти на веб-странице [http://www.masterkit.ru/main/set.php?code\\_id=903046](http://www.masterkit.ru/main/set.php?code_id=903046), которую можно открыть, используя QR-код, показанный на **рис.4**.

Более подробную информацию об использовании описанных режимов можно получить из официальных документов разработчиков ПО PICkit2 Programmer: «PICKIT 2 LOGIC TOOL USER GUIDE» и «PICkit2 Programmer/Debugger User's Guide».

Заказать MP9012, а также другую продукцию «МАСТЕР КИТ» в России Вы можете, позвонив бесплатно с мобильного или стационарного телефона на горячую линию 8-800-200-09-34 (с 9:00 до 18:00, кроме выходных), а также на номер (495) 741-65-70, либо оформив заказ с курьерской или почтовой доставкой на сайте: [WWW.MASTERKIT.RU](http://WWW.MASTERKIT.RU).

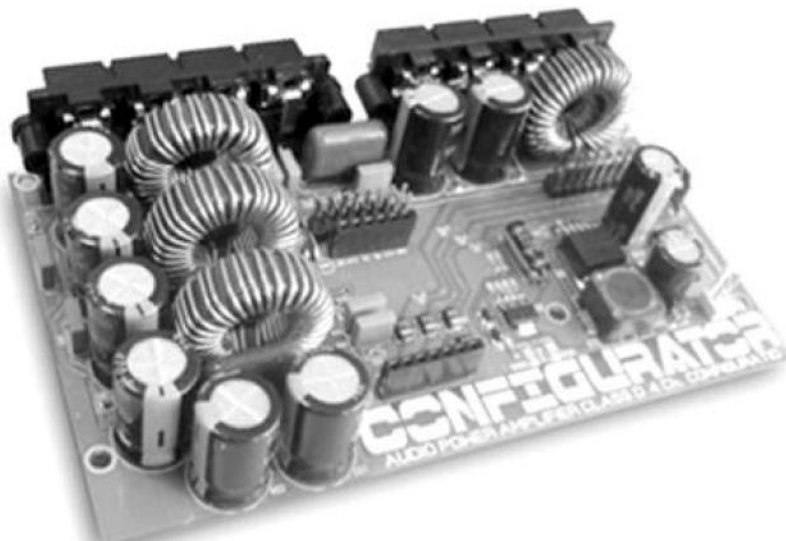
Готовые устройства «МАСТЕР КИТ» приведены на сайте: [GADGETS.MASTERKIT.RU](http://GADGETS.MASTERKIT.RU), детские электронные конструкторы – [WWW.CHUDOKIT.RU](http://WWW.CHUDOKIT.RU).



**Рис.4**

Продажа в Украине осуществляется через посыльторг «Радиоаматор»: тел.: (044) 291-00-31, (067) 796-19-53 и (050) 187-62-20.

**MP5630C4 – Конфигуратор для построения мощного четырехканального усилителя НЧ**

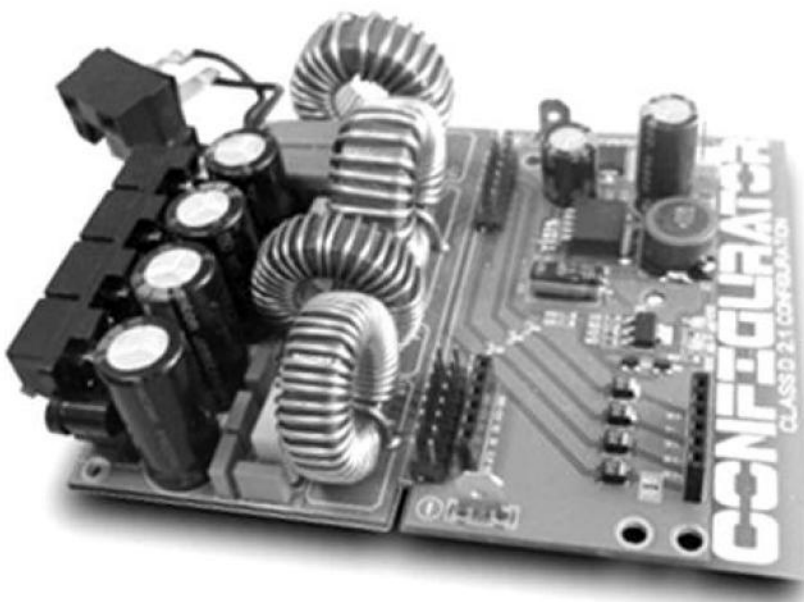


MP5630C4 – конфигуратор для построения четырехканального усилителя НЧ качества Hi-Fi с аналоговыми входами.

Модуль работает совместно с драйверами MP5613D, MP5630D, MP5630DKD.

При установке на MP5630C4 любого из перечисленных драйверов он конфигурирует их для работы в режиме «четыре асимметричных канала (2 \* SE)». При этом, с драйвером MP5613D и питанием 36 В, вы получите четыре канала по 70 Вт, а с драйверами MP5630D, MP5630DKD и питанием в 48 В, вы получаете четыре канала на 150 Вт.

**MP5630C21 – Конфигуратор для построения мощного трёхканального (2.1) усилителя НЧ**

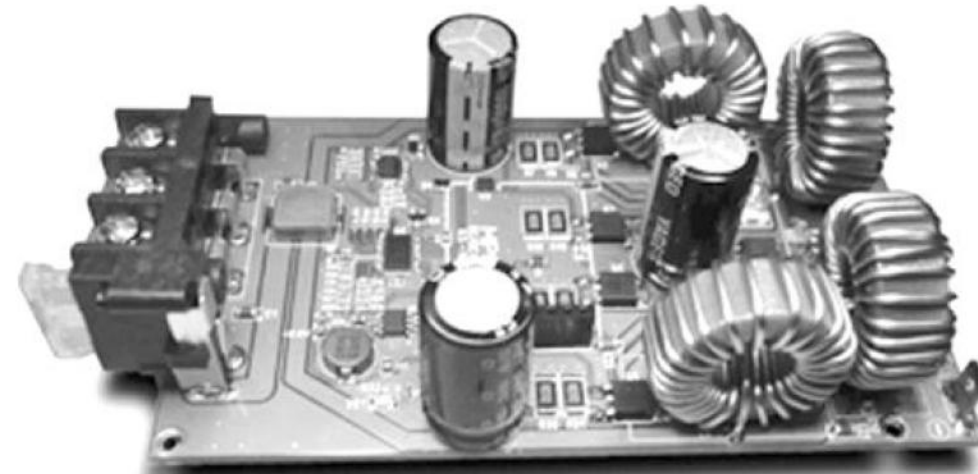


MP5630C21 – конфигуратор для построения усилителя НЧ с конфигурацией 2.1 качества Hi-Fi с аналоговыми входами.

Модуль работает совместно с драйверами MP5613D, MP5630D, MP5630DKD.

При установке на MP5630C21 любого из перечисленных драйверов он конфигурирует их для работы в режиме «два асимметричных канала + один мост (2 \* SE + 1 \* BTL)». При этом, с драйвером MP5613D и питанием 36 В, вы получите два канала по 70 Вт + один 150 Вт, а с драйверами MP5630D, MP5630DKD и питанием в 48 В, вы получаете два канала по 150 Вт и один на 300 Вт.

**MP605 – Импульсный преобразователь напряжения 8...18 В/24 В, 320 Вт, 13 А**



Преобразователь преобразует постоянное напряжение в диапазоне 8...18 В в постоянное напряжение 24 В. Основа преобразователя – четырехфазный контроллер ШИМ TPS40090 производства Texas Instruments. Преобразователь спроектирован для питания мощных усилителей НЧ (BM2071, BM2072, BM2073, MP5613, MP5630C1, MP5630C2, MP5630C21, MP5630C4) от аккумулятора 12-14 В при встраивании в автомобиль или уличном использовании. Встроенная защита от заниженного напряжения (8 В) не позволит полностью разрядить аккумулятор. Преобразователь отключится при достижении 8 В на входе.

**MP350 – Реле времени (4 канала)**



Технические характеристики	
Напряжение питания, В	+12
Ток потребления не более, мА	100
Количество каналов	4
Возможность обновления ПО	есть
Размеры печатной платы, мм	67x75

Устройство предназначено для управления электромагнитными клапанами NT8048 DC12V или NT8078 DC12V при создании системы автоматического полива садового участка или загородного дома.

Гибкая система расписания управлением нагрузкой позволит Вам производить полив в оптимальное время суток.

# EX-25 – автомобильная тепловизионная камера от DALI

**Николай Тимчук, г. Киев**



Компания ZHEJIANG DALI TECHNOLOGY CO., LTD разработала тепловизионную камеру EX-25, которая обеспечивает четкое и более дальнее видение, чем при свете фар в темноте автомобилей, пешеходов, животных и других объектов. EX-25 может устанавливаться на частные автомобили, коммерческий транспорт и технику специального назначения.

Испытания камеры EX-25 показали, что водитель со средним опытом может уверенно управлять автомобилем в темноте (с выключенными фарами) на скорости до 70 км/ч.

Тепловизионная камера EX-25 не требует обслуживания и крепится к крыше или кузову автомобиля с помощью магнита (**фото 1**). В этих камерах используются неохлаждаемый микроболометр с разрешением 320x240 пикселей и объективы с полем зрения 24x18°. Благодаря этим характеристикам EX-25 создает четкие видеоизображения, которые могут выводиться фактически на любой дисплей с поддержкой композитного видеосигнала системы PAL (ПЦТС PAL).



На **фото 2** можно увидеть два примера изображений от тепловизора на экране монитора. На **фото 3** показано для сравнения как изображение с тепловизора (внизу), так и с обычной камеры (вверху).

Стоит отметить также способность EX-25 рабо-



**Фото 2**



**Фото 3**

тать в неблагоприятных условиях. Эта тепловизионная камера может работать при температуре от -40 до +60°C. В камеру встроен обогреватель защитного стекла, который автоматически включается, когда температура снижается ниже +4°C, и отключается, когда температура повышается выше +6°C. Это обеспечивает чистоту объектива и способствует созданию отличных инфракрасных изображений даже в экстремально холодных условиях. Обогреватель удаляет двухмиллиметровый слой льда за 15 мин при температуре -30°C и скорости ветра 100 км/ч. Благодаря малым размерам (60x60x95 мм) и весу (600 г), EX-25 может быть установлена в самых разных местах транспортного средства, например за радиаторной решеткой автомобиля.

## Технические характеристики и возможности автомобильной тепловизионной камеры EX-25

Дальность	до 100 м
Тип детектора	неохлаждаемый FPA микроболометр
Размеры матрицы	384x288
Поле зрения	24x18°
Пространственное разрешение	1,3 мрад.
Тепловая чувствительность	$\leq 0,08^{\circ}\text{C}$ @ 30°C
Частота обновления кадров	50 Гц
Фокус	фиксированный
Спектральный диапазон	8...14 мкм
Настройка резкости изображения	автоматическая
Время до появления изображения после включения	$\leq 5$ с при 30°C
Автоматический подогреватель	включается, когда температура $\leq 4^{\circ}\text{C}$
Источник внешнего питания	8...15 В DC
Мощность	$\leq 2,5$ Вт, 10 Вт – максимальная потребляемая мощность с включенным подогревом
Рабочая температура	-40...+60°C
Температура хранения	-45...+65°C
Влажность	6500 ч при относительной влажности 81%, при температуре и солевом тумане
IP67	
Обледенение	нагреватель удаляет 2-мм слой льда за 15 мин при -30°C и скорости ветра 100 км/ч
Ударная нагрузка	5 ударов 30 г в двух направлениях по трем осям (30 в сумме) длительностью 11 мс по стандарту IEC 60068-2-27Еа
Вибрации	по стандарту IEC 60068-2-64
Вес	менее 600 г
Размеры	60x60x95 мм
Видеовыход	PAL

Видеодемонстрацию работы автомобильной тепловизионной камеры EX-25 можете посмотреть на сайте: <http://www.sea.com.ua/news/view1378.html>

По вопросам приобретения продукции торговой марки DALI обращайтесь в отдел измерительных приборов компании СЭА по тел. (044) 291-00-41, e-mail: [info@sea.com.ua](mailto:info@sea.com.ua)

# Терморегулятор с электронным термометром для павильона зимовки пчел

**А.И. Лесовой**, п.г.т. Золочев, Харьковской обл.

Предлагаем нашим читателям очередную публикацию из цикла статей для пчеловодов-радиолюбителей (см. [1 и 2]). Как известно, при содержании пчел в утепленных павильонах (с учетом правильной подготовки семей) зимовка проходит успешно. Однако, если средняя температура в регионе в зимние месяцы относительно низка, то потребление корма увеличивается, а значит, наполнение кишечника у пчел к весне может быть больше, чем у их сородичей, обитающих в добротных зимовниках. Для надежного контроля и поддержания температуры в павильоне зимовки служит описываемое устройство.

Терморегулятор с электронным термометром, описание которого приведено в этой статье, позволяет обеспечить оптимальные условия для зимовки пчел.

Основные технические характеристики этого устройства следующие:

Напряжение питания	220 В
Диапазон рабочих температур	от -10 до +85°C
Мощность нагрузки	120 Вт
Максимальный ток нагрузки	6 А

## Немного теории

В большинстве учебных пособий оптимальной температурой для зимовки пчел, исходя из условий минимальных энергетических затрат семьи, считается температура в пределах от 5 до 9°C для среднерусских пчел и от 4 до 6°C для серых горных кавказских пчел, что и рекомендуется обеспечивать автоматическим регулированием температуры в павильоне. Из [3] вытекает, что наименьшее количество энергии клуб пчел выделяет при температуре наружного воздуха около 8°C, а значит, именно такая температура соответствует наименьшему потреблению корма, наименьшему наполнению кишечника к весне и лучшей сохранности пчел при зимовке, поскольку потребление корма семьей пропорционально ее энерговыделению. На рис.1

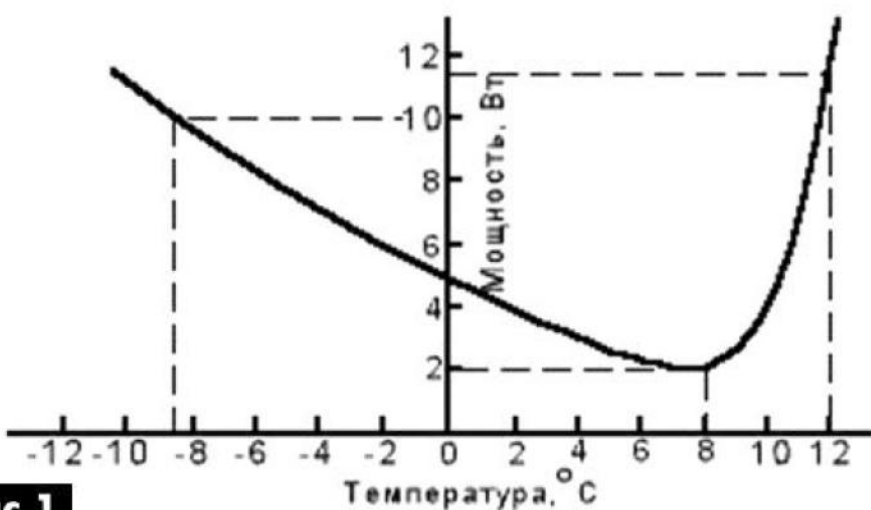


Рис.1

показан график зависимости между тепловой энергией, выделяемой зимующей пчелосемьей, от температуры в зимовнике. Как видно из рис.1, наиболее оптимальная температура в помещении для зимовки пчел может поддерживаться только при искусственном обогреве.

Начинать использовать данное устройство можно с начала периода устойчивого понижения температуры до -3...-5°C (примерно с середины ноября). А в марте, при повышении температуры воздуха в павильоне до 6...8°C, терморегулятор необходимо отключить до следующего сезона.

В зимовник не должны проникать посторонние звуки, дневной и электрический свет, так как он раздражает пчел, выманивает их из улья. При осмотре ульев нужно пользоваться красным светом. Даже незначительный стук по улью может вызвать сильное возбуждение пчел, сопровождающееся повышением температуры в гнезде, которая длительное время не приходит в норму. Потревоженные пчелы отрываются от клуба и застывают.

Хранение в зимовнике картофеля, овощей, а также продуктов с резким запахом не допускается.

При посещении зимовника пчеловоду необходимо прослушать пчелосемьи. Ровное и спокойное журчание свидетельствует о хорошей зимовке. Общий повышенный шум семей может быть при высокой температуре в зимовнике. Убедившись в этом, необходимо открыть вентиляционный коллектор, а при необходимости и двери зимовника.

Для определения требуемой мощности нагревательного элемента в зависимости от размеров зимовника, воспользуемся нижеследующими терминами и формулами.

Как известно теплопередача павильона или улья  $W$  равняется сумме теплопередач теплопроводящих поверхностей павильона или улья, при этом вынос тепла с воздухом при вентиляции не учитывается. Теплопередача отдельной поверхности  $W_t$  определяется как произведение коэффициента теплопроводности данной поверхности  $K_t$  на ее площадь  $S_t$  и на требуемую величину повышения температуры в павильоне  $T^\circ$  (то есть  $T^\circ$  равна разности заданной температуры в павильоне температуры и на улице). Следовательно, из выше сказанного вытекает:

$$W_t = K_t \cdot S_t \cdot T^\circ; \quad (1)$$

$$W = \sum_i K_i \cdot S_i \cdot T^\circ. \quad (2)$$

Коэффициент теплопроводности  $K_t$  равен отношению удельного коэффициента теплопроводности материала:

$$K_i = \frac{\Lambda_i}{a_i} . \quad (3)$$

При двухслойной или более сложной термоизоляции коэффициент К последовательно определяется для двух слоев по формуле:

$$K_{1-2} = \frac{K_1 + K_2}{K_1 \cdot K_2} . \quad (4)$$

Ориентировочный расчет мощности нагревательного элемента (без учета выноса тепла вентиляцией) производится по приведенным выше формулам. Для павильона с размерами 2,5x2,5x2 м (Д x Ш x В), площадь всех теплоизлучающих поверхностей будет равна:

$$\begin{aligned} S_{\text{поля}} &= 2,5 \cdot 2,5 = 6,25 \text{ м}^2; \\ S_{\text{стен}} &= 4 \cdot 2 \cdot 2,5 = 20 \text{ м}^2; \\ S_{\text{потолка}} &= 6,25 + 6,25 + 20 = 32,5 \text{ м}^2. \end{aligned}$$

При проведении расчета учитываем, что павильон выполнен из кирпича с толщиной стен 100 мм (0,1 м). Удельный коэффициент керамического пустотелого кирпича равен

$$\Lambda = 0,35 \text{ Вт} \cdot \text{м}^{-1} \cdot \text{К}^{-1}.$$

Внутри павильон оббит гипсокартоном толщиной в 1 см (0,01 м), удельный коэффициент которого определяется формулой:

$$\Lambda = 0,15 \text{ Вт} \cdot \text{м}^{-1} \cdot \text{К}^{-1}.$$

Для определения удельного коэффициента теплопроводности других материалов, наиболее часто применяющихся в качестве утеплителя, предлагаю воспользоваться сведениями, приведенными в **табл. 1**.

Коэффициент теплопроводности для кирпича и гипсокартона определяется по формуле (3):

$$K_1 = \frac{0,35}{0,1} = 3,5 \text{ [Вт} \cdot \text{м}^{-2} \cdot \text{К}^{-1}] - \text{для кирпича};$$

**Табл. 1**

Материал	Теплопроводность, Вт/(м·°C)
Сосна, ель поперек волокон	0,09
Дуб поперек волокон	0,10
Сосна, ель вдоль волокон	0,18
Дуб вдоль волокон	0,23
Фанера kleеная	0,12
ДСП, ОСП	0,15
Гипсокартон	0,15
Картон облицовочный	0,18
Минвата	0,048
Пенополистирол	0,038
Пенопласт ПВХ	0,052
Рубероид, пергамин	0,17
Полиэтилен	0,30
Линолеум	0,33
Битум	0,27
Бетон	1,51
Керамзитобетон	0,66
Кирпич красный глиняный	0,56
Кирпич силикатный	0,70
Кирпич керамический пустотелый	0,35
Пенобетон	0,29
Стекло	0,76

$$K_2 = \frac{0,15}{0,01} = 15 \text{ [Вт} \cdot \text{м}^{-2} \cdot \text{К}^{-1}] - \text{для гипсокартона.}$$

Суммарный коэффициент теплопроводности определяется по формуле (4) для двух слоев:

$$K_{1-2} = \frac{K_1 + K_2}{K_1 \cdot K_2} = \frac{3,5 + 15}{3,5 \cdot 15} = 0,35 \text{ [Вт} \cdot \text{м}^{-2} \cdot \text{К}^{-1}].$$

Из расчетов следует, что для поддержания оптимальной температуры в 8°C для зимовки пчел необходим нагревательный элемент мощность около 100 Вт.

### Схема и конструкция терморегулятора с электронным термометром

Устройство содержит три конструктивных узла:

- блок питания;
- терморегулятор;
- цифровой термометр.

Рассмотрим их подробнее.

#### Блок питания

Принципиальная схема блока питания показана на **рис. 2**. Он обеспечивает получение стабилизованных напряжений питания 5 и 12 В из переменного напряжения сети 220 В. Его схема проста и понятна без объяснения.

Трансформатор питания Т1 изготовлен на магнитопроводе ШЛ16x25. Его первичная обмотка (I) содержит 1710 витков провода ПЭВ-1-0,23, а вторичная (II) наматывается проводом ПЭВ -1-0,41 и содержит 125 витков.

Выпрямительные диоды VD1-VD4 типа КД202Д можно заменить КД208 или же установить выпрямительный мост КЦ405. Интегральные стабилизаторы напряжения DA1, DA2 в корпусах TO-220 необходимо установить на радиаторы площадью 50 см<sup>2</sup>, предварительно нанеся термопасту.

#### Терморегулятор

Принципиальная схема терморегулятора показана на **рис. 3**.

Напряжение на управляемом электроде 1 регулируемого стабилитрона VD3 определяется делителем R1R2R3, в состав которого входит терморезистор R3 с отрицательным ТКС и регулятор порога срабатывания R1. VD3 нагружен на катушку электромагнитного реле K1. В качестве индикатора включенной нагрузки в устройстве служит светодиод HL1. Диод VD1 обеспечивает защиту VD3 и контактов реле от большой ЭДС, возникающей в катушке электромагнитного реле K1 в момент запирания VD3. Конденсатор C1 – форсирующий. Он обеспечивает получение увеличенного тока через реле в момент пуска. Резистор R5 определяет значения тока удержания реле.

В качестве терморезистора R3 возможно использовать ММТ-1, СТ-1 или зарубежный типа NTC. Заметим также, что зарубежным аналогом KP142ЕН19А является TL431.

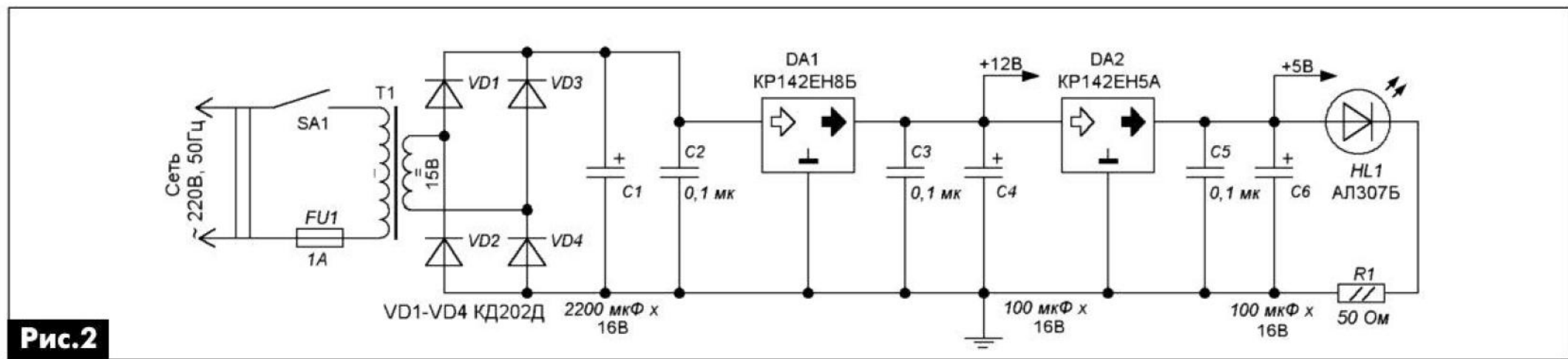


Рис.2

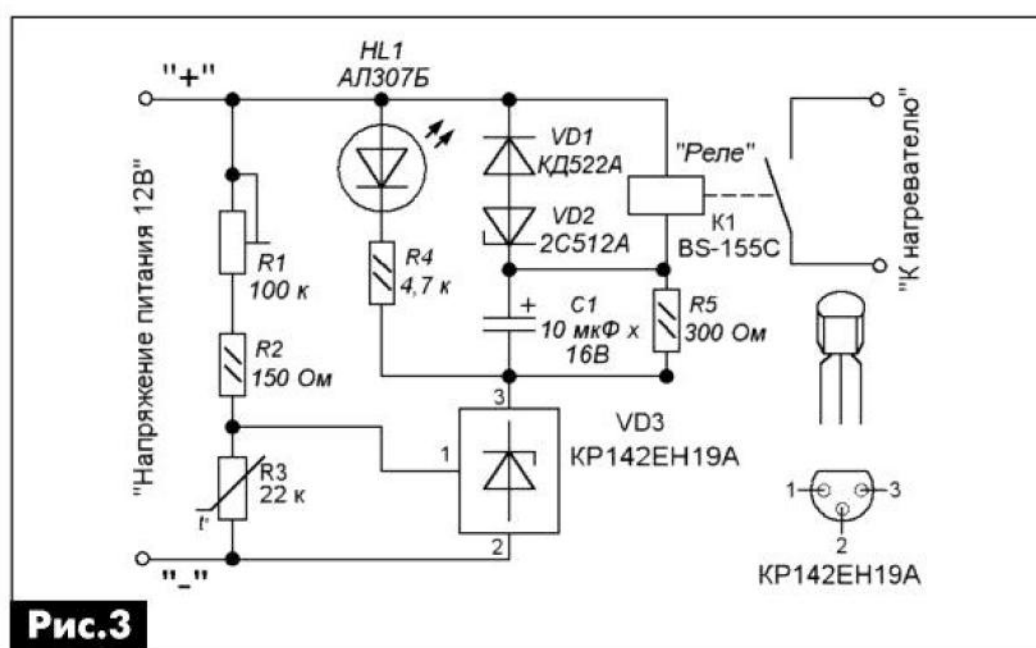


Рис.3

Терморегулятор изготовлен на монтажной плате, которая помещена в корпус подходящих размеров. Термодатчик необходимо разместить вне корпуса, что позволит более точно контролировать температуру. В описываемом устройстве применено реле с мощностью подключаемой на-

грузки, не превышающей 120 Вт. Если же при расчетах нагревательный элемент оказался большей мощности, необходимо заменить реле K1 более мощным, оставляя регулирующую часть прежней.

При отсутствии опыта по сборке подобных конструкций, в качестве регулятора температуры можно использовать готовый базовый блок NM4022 от «МАСТЕР КИТ».

### Цифровой термометр

Для отображения температуры внутри помещения зимовки пчел служит цифровой термометр с датчиком температуры DS18B20 фирмы Dallas Semiconductor. Он обеспечивает измерение температуры в диапазоне от -55 до +125°C с погрешностью ±1°C.

Принципиальная схема термометра показана на **рис.4**, расположение элементов на монтажной плате – на **рис.5**, а печатная плата – на **рис.6**.

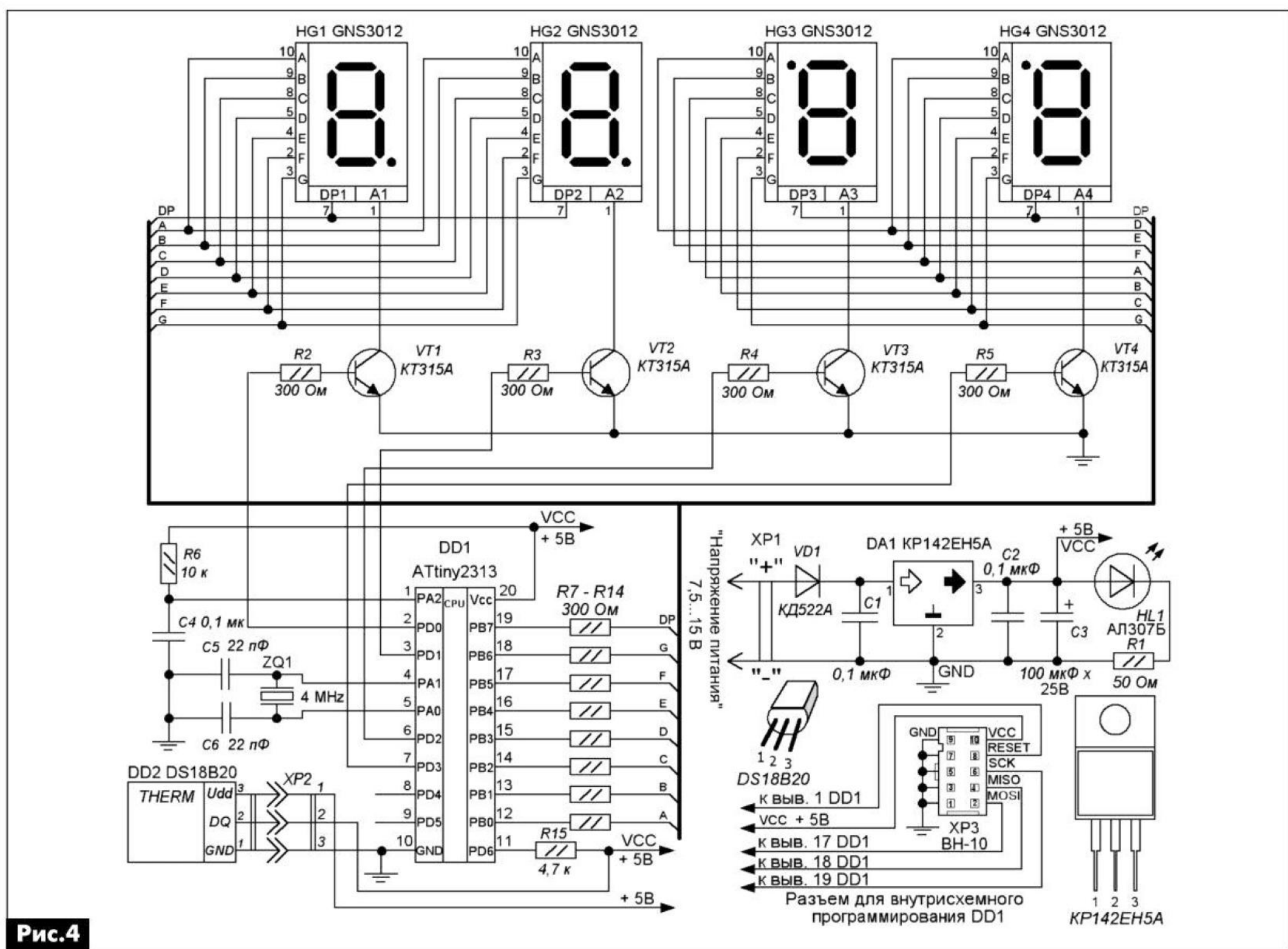


Рис.4

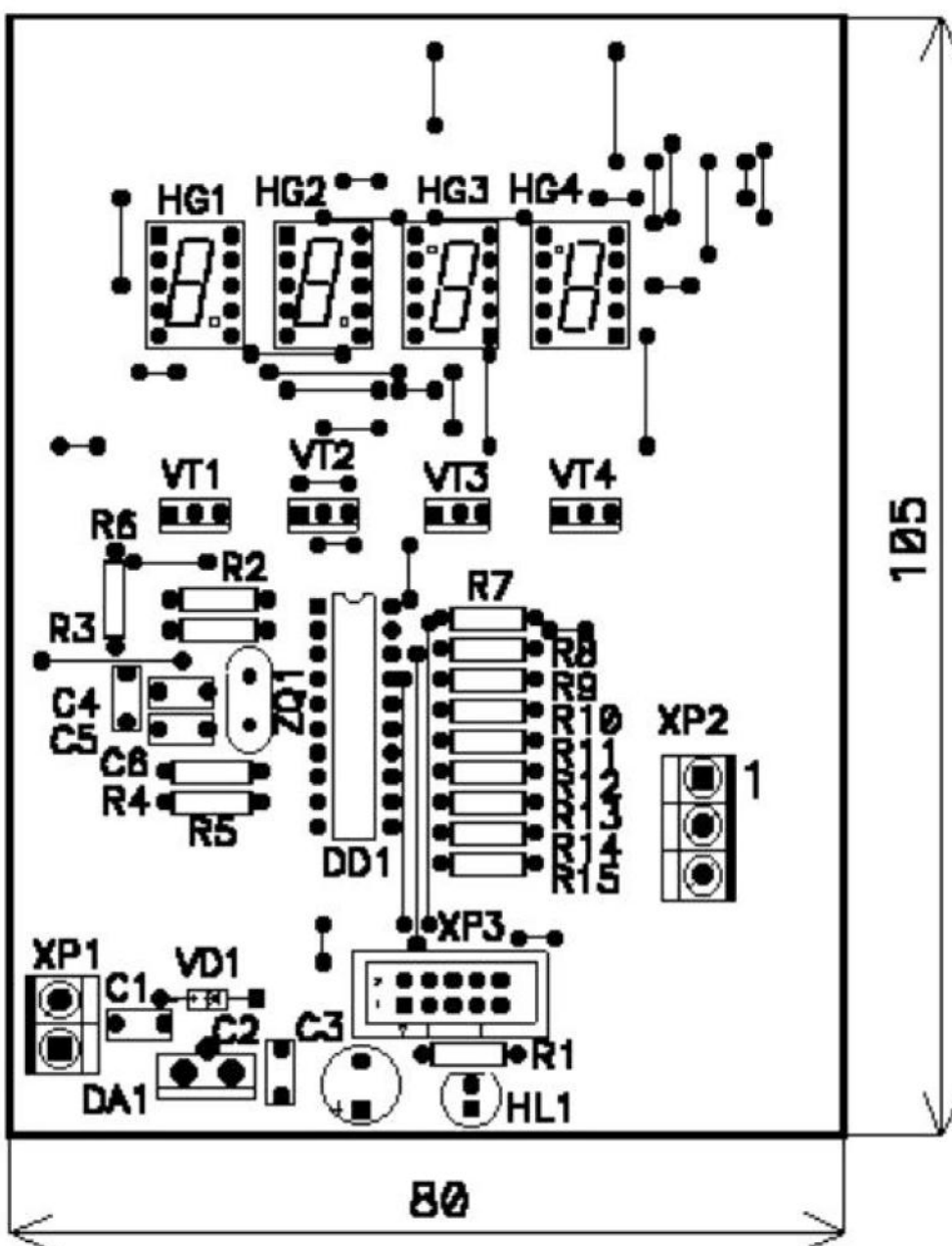


Рис.5

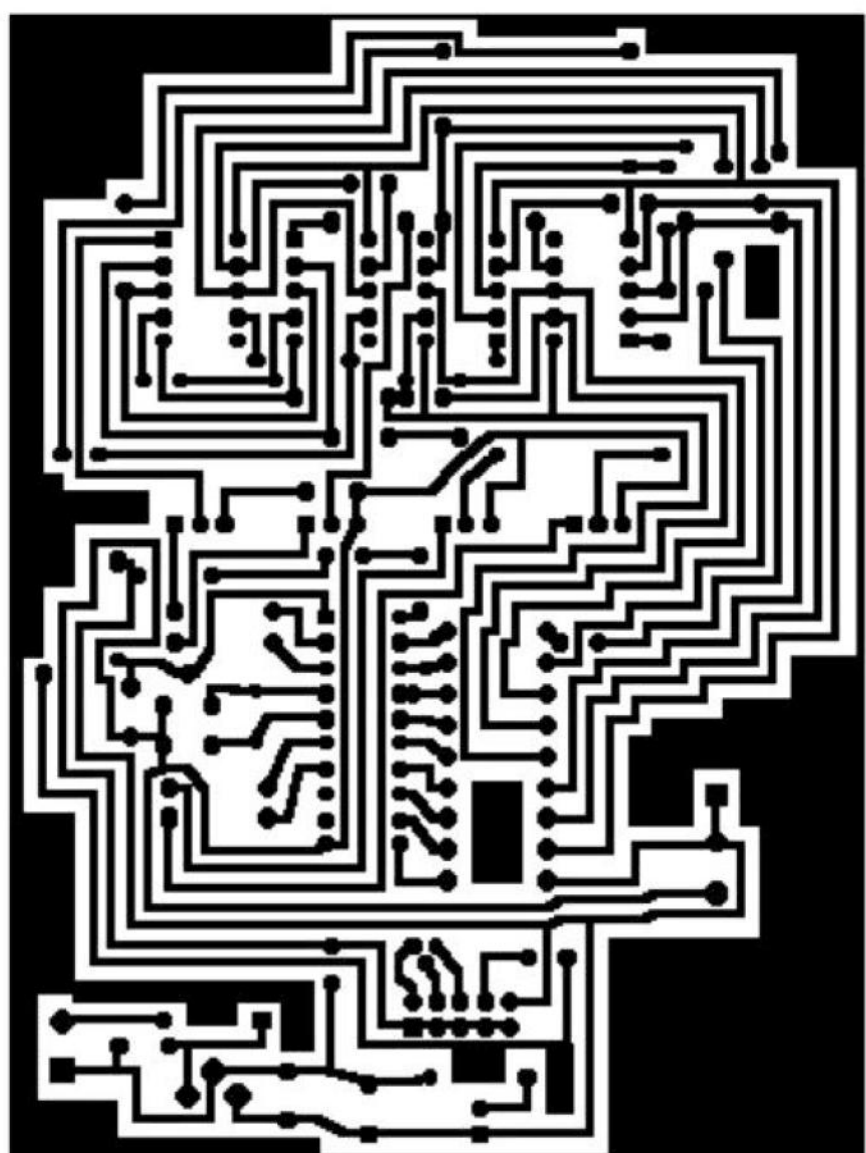


Рис.6

Сердцем схемы является микроконтроллер DD1 типа ATtiny2313 фирмы Atmel, с внешним кристаллическим резонатором ZQ1 4 МГц. Более детально ознакомиться с техническими характеристиками этого МК можно в [4]. Применение внешнего кристаллического резонатора позволяет добиться более высокой точности измерения. К выводу 1 DD1 (PA2-RESET) подключена стандартная цепочка сброса R6C4. При подаче питания на входе 1 DD1

устанавливается низкий логический уровень на время, которое задается цепочкой сброса. Это необходимо для инициализации МК, после чего начинается выполнение управляемой программы.

Для индикации измеренной температуры в устройстве задействовано четыре семисегментных индикатора HG1-HG4 GNS-3012 с общим анодом. Знакомства A1-A4 выбираются с выводов 2, 3, 6, 7 порта PD микроконтроллера DD1. Линии порта PB0-PB7 через токоограничивающие резисторы R7-R14 соединяются с сегментами индикаторов HG1-HG4.

Печатная плата термометра разведена так, что цифровые семисегментные индикаторы HG3-HG4 необходимо установить на печатную плату перевернутыми на 180°. Эта особенность отражена и на принципиальной схеме **рис.4**.

Опрос датчика температуры DD2 происходит с дискретностью в 1 с.

В позициях VT1-VT4 можно применять транзисторы KT315Г, KT312, KT306 или другие высокочастотные кремниевые транзисторы структуры n-p-n. Вместо GNS-3012 можно использовать SA04-11, SC04-12, GNS 2811Ax, GNS3012, однако необходимо уточнить назначение выводов. Разъемы: XP1 – KLEMMA 2(5ММ), XP2 – KLEMMA 3(5ММ), XP3 – BH-10-1.

Для программирования Flash-памяти микроконтроллера DD1 непосредственно через разъем XP3 BH-10, обеспечивающий внутрисхемное программирование, а также совместимый с типовыми адаптерами STK200/STK300, можно воспользоваться программатором, который очень хорошо описан в [5]. Файл с HEX-кодом для программирования Flash-памяти микроконтроллера DD1 можно скачать с сайта нашего издательства [6]. При программировании МК необходимо установить галочки возле следующих фьюз-битов: CKSEL3, CKSEL2, CKSEL0 и SUT0.

Устройство в наладке не нуждается и начинает работать сразу после подачи напряжения питания. После монтажа устройство необходимо поместить в корпус подходящих размеров.

### Литература

1. Лесовой А.И. Электрический нож для распечатывания сотов // Радиоаматор. – 2011. – №5.
2. Лесовой А.И. Электропривод для медогонки // Радиоаматор. – 2011. – №10/11.
3. Есько Е.К. Микроклимат пчелиного жилища. – М.: Россельхозиздат, 1983.
4. Голубцов М.С. Микроконтроллеры AVR: от простого к сложному. – М.: СОЛОН-Пресс, 2003. – С.13-14.
5. Кравченко А.В. Опыт работы с программатором STK200 // Радиоаматор. – 2006 №4 – С.36-37.
6. [www.ra-publish.com.ua](http://www.ra-publish.com.ua) – сайт издательства «Радиоаматор».

# Почему перестал работать поиск в Windows XP и как его восстановить?

Игорь Безверхний, г. Киев

Причина возникновения данной статьи – это редакционная почта. Вопрос, приведенный в качестве заголовка статьи, один из самых задаваемых нашими читателями по компьютерам. Мы несколько десятков раз отвечали на него по телефону и по электронной почте в течение года. Поэтому решили обобщить собранную информацию в виде этой статьи.

При нормальной работе поиска в Windows помощник (мультперсонаж: щенок, котенок и т.д.) проявляет активность: движется, виляет хвостом, листает книгу (**рис. 1**) и т.п., а при подобном дефекте помощник обычно замирает в позе ожидания (**рис. 2**) и не шевелится.

Причин возникновения проблем с поиском множество. Все они приводят, как правило, к нарушению связей внутри операционной системы Windows XP.

Одна из причин нарушения нормальной работы компьютера – это вирусы. Поэтому первое, что надо сделать (и не только при этом дефекте), – это проверить ПК на наличие вирусов любой антивирусной программой с обновленной до последней версии вирусной базой. Зараженные вирусами файлы следует полечить. В некоторых случаях этого достаточно для восстановления нормальной работы поиска и всего ПК в целом, но чаще после этого нормальная работа системы «Поиск» не восстанавливается. Происходит это из-за того, что вирусом, или по иной причине, безнадежно повреждены некоторые файлы. Как правило, это файлы библиотек (с расширением \*.dll).

В Windows XP надо проверить пять таких файлов:

- regsvr32 jscript.dll;
- regsvr32 vbscript.dll;
- regsvr32 mshtml.dll;
- regsvr32 msxml3.dll;
- regsvr32 msxml3r.dll.

Проверка этих файлов проводится одинаково и поочередно по следующему алгоритму:

1. В меню «Пуск» Windows XP выбрать строку «Выполнить». В открывшемся окне «Запуск программы», в окошко «Обзор», ввести полное название проверяемого файла, как это показано на **рис.3**, и кликнуть левой кнопкой «мыши» на кнопку «OK».

2. Если ПК выдает сообщение: «DllRegisterServer в \*.dll завершено успешно», в котором вместо звездочки «\*» указано название проверяемого файла, то следует проверить, заработал ли поиск, закрыв или перезапустив перед проверкой все ра-

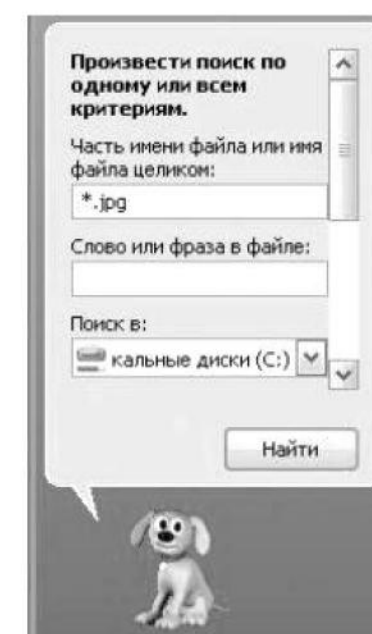


**Рис.1**

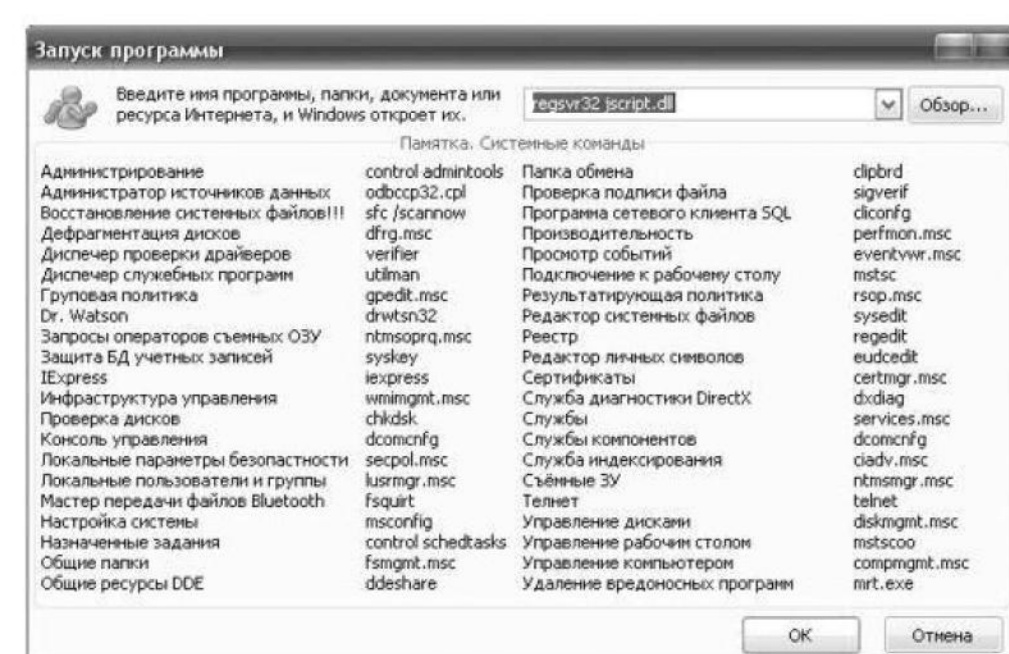
нее открытые окна «Мой компьютер» и «Проводник». Если поиск не заработал, проверяю следующий файл.

3. Если компьютер выдает сообщение: «\*.dll была загружена, но найти точку входа для DllRegisterServer не удалось. Зарегистрировать этот файл невозможно», то проблема не с этим файлом. Проверяем следующий файл.

4. Если ПК выдает сообщение: «Ошибка при вызове LoadLibrary (\*.\*.dll) – не найден указанный модуль», то необходимо скопировать этот файл из папки Windows\system32\ другой нормально работающей операционной системы Windows XP на свой компьютер в такую же папку. Можно также восстановить этот файл, используя загрузочный



**Рис.2**



**Рис.3**

диск Windows XP, командой EXPAND из директории i386 этого диска.

Напомню, что команда EXPAND – это команда, позволяющая распаковывать архивы (сжатые файлы). Эта команда записывается так:

- EXPAND [-r] <источник> <результат>;
- EXPAND -r <источник> [<результат>];
- EXPAND -D <источник>.CAB [-F:<файлы>];
- EXPAND <источник>.CAB -F:<файлы> <результат>.

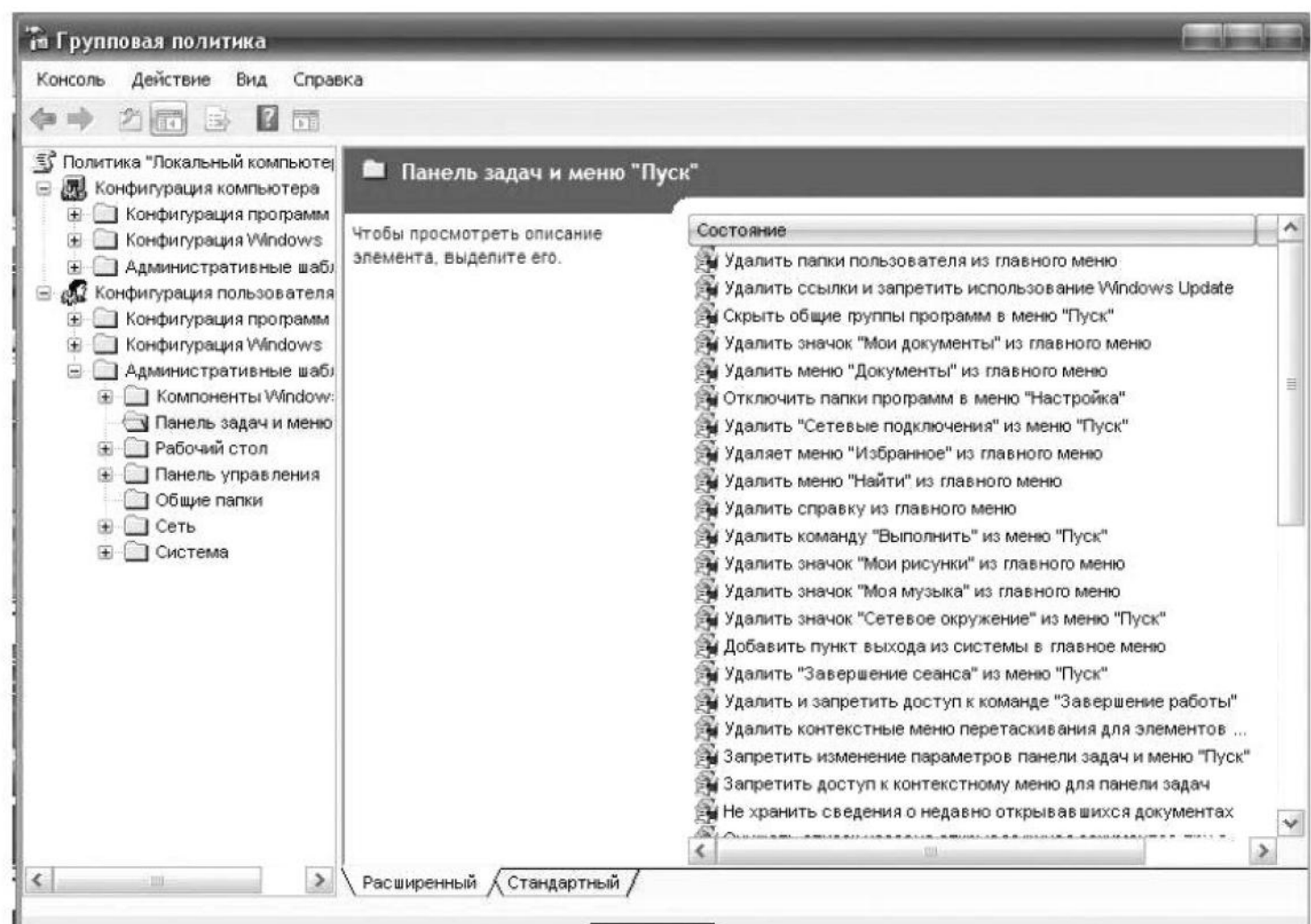
Надписи справа от команды расшифровываются так:

- r – переименование распакованных файлов;
- D – отображение всех файлов источника;
- <источник> – имя и путь к исходному файлу, допускаются подстановочные знаки;
- F:<файлы> – имена файлов для извлечения из CAB-файла;
- <результат> – имя и путь к конечному файлу.

Еще одна причина неработоспособности системы «Поиск» в Windows XP – это нарушения, так называемой, «групповой политики». Для восстановления ее параметров, связанных с поиском, необходимо в меню «Пуск» выбрать строку «Выполнить». В открывшемся окне «Запуск программы», в окошко «Обзор», следует ввести системную команду gredit.msc (групповая политика). Эту команду можно скопировать, не набирая, из шпаргалки «Памятка. Системные команды», которая расположена в окне «Запуск программы» (**рис.4**). После клика левой кнопкой «мыши» кнопки «OK» откроется окно «Конфигурация пользователя», в котором надо кликнуть левой кнопкой «мыши» по строке «Административные шаблоны». Затем кликнуть по строке «Панель задач и меню «Пуск». В открывшемся окне (**рис.5**) следует выбрать строку «Удалить меню «Найти» из главного меню». Открыв это ок-

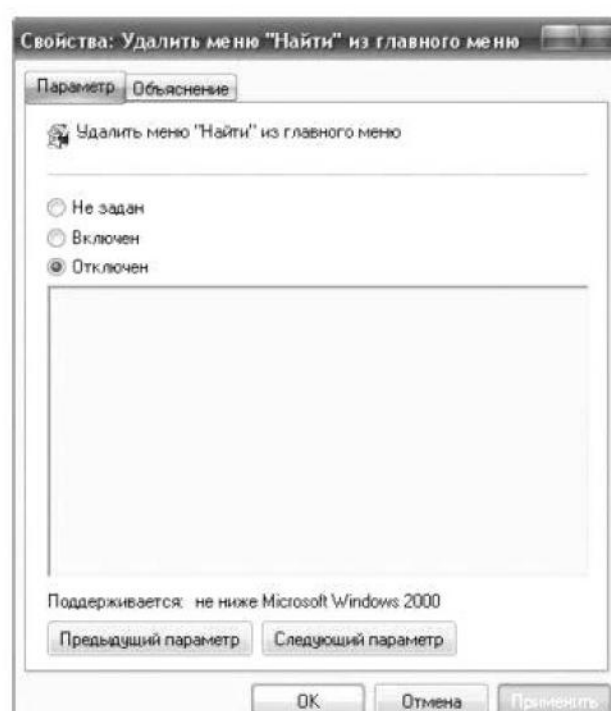


**Рис.4**



**Рис.5**

но, надо поставить точку или галочку возле пункта «Отключен» (**рис.6**). Затем надо закрыть все окна. Установив курсор на рабочем столе, нажимают правую кнопку «мыши». В открывшемся контекстном меню выбирают строку «Обновить». Поиск должен заработать. В некоторых случаях манипулировать с «Удалить меню «Найти» из главного меню» приходится дважды. Надо установить точку (птичку) возле строки «Включен», а затем – против строки «Отключен», как описано выше.



**Рис.6**

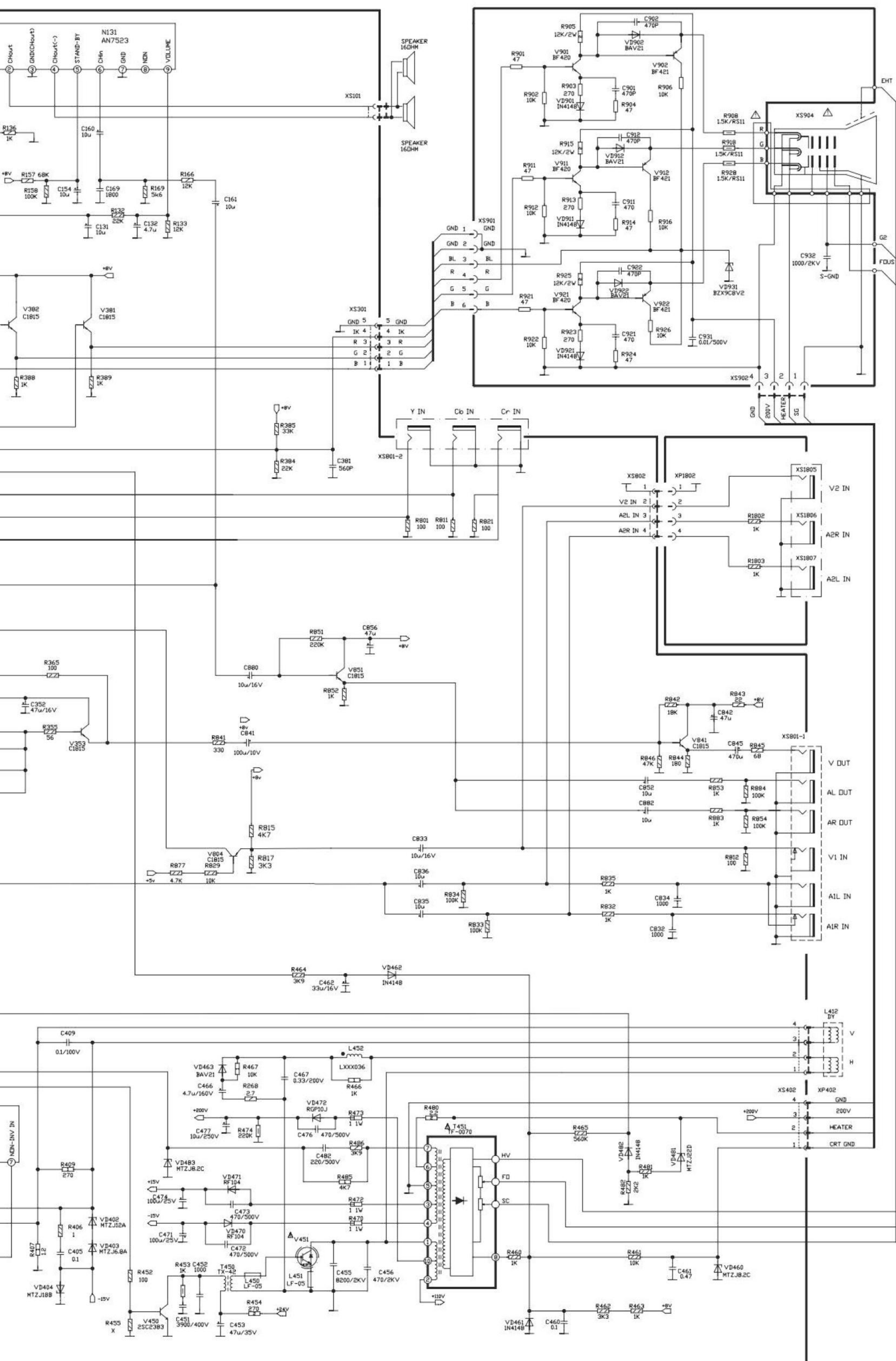
Если приведенные выше способы не привели к восстановлению поиска, то следует, используя загрузочный диск, переустановить систему Windows XP в режиме «Ремонт» (Repair).

В некоторых случаях сбои при поиске могут возникать из-за применения или смены некоторых версий браузеров.

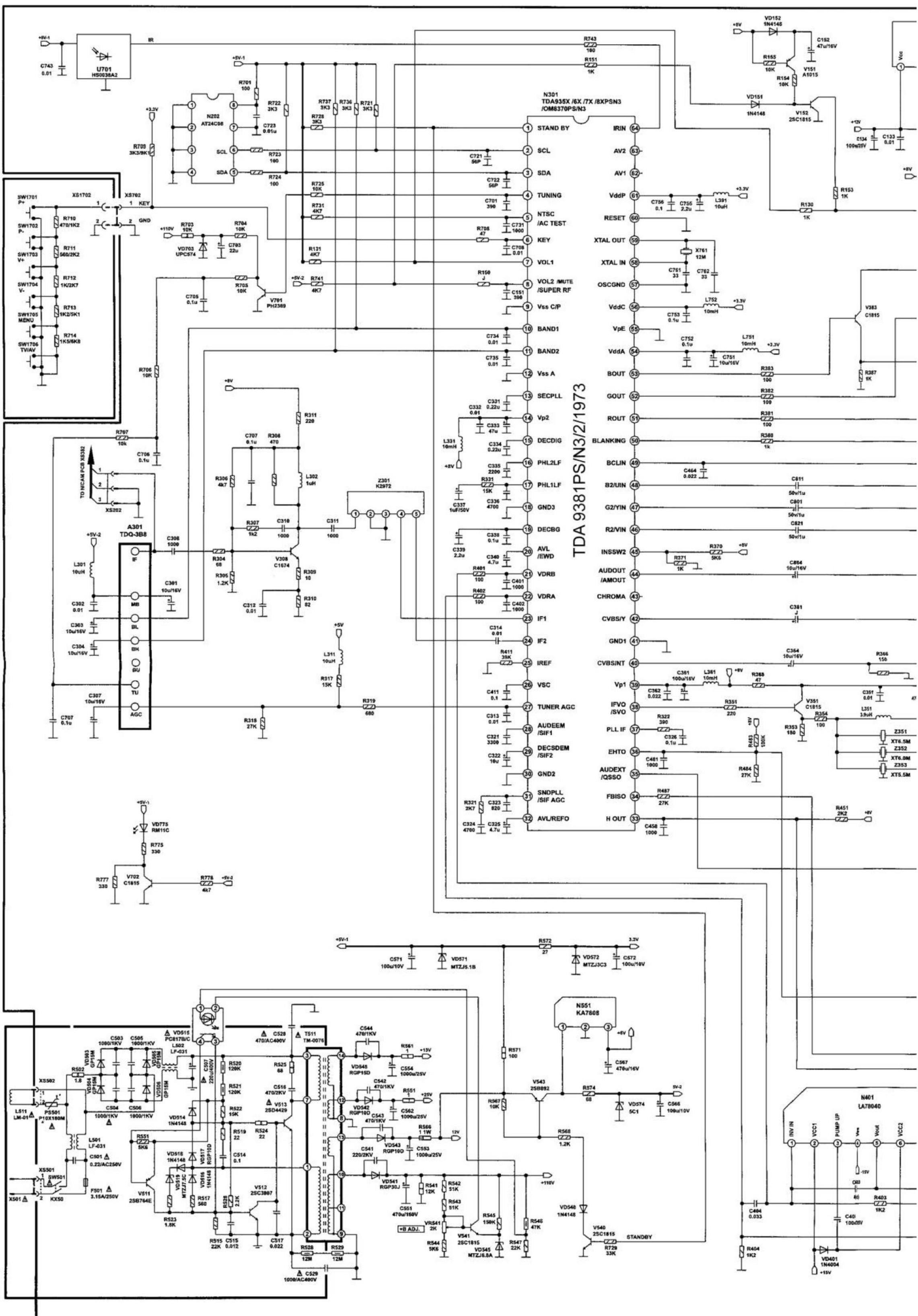
Много полезных советов по этой проблеме можно найти на сайте [1].

## Ссылки

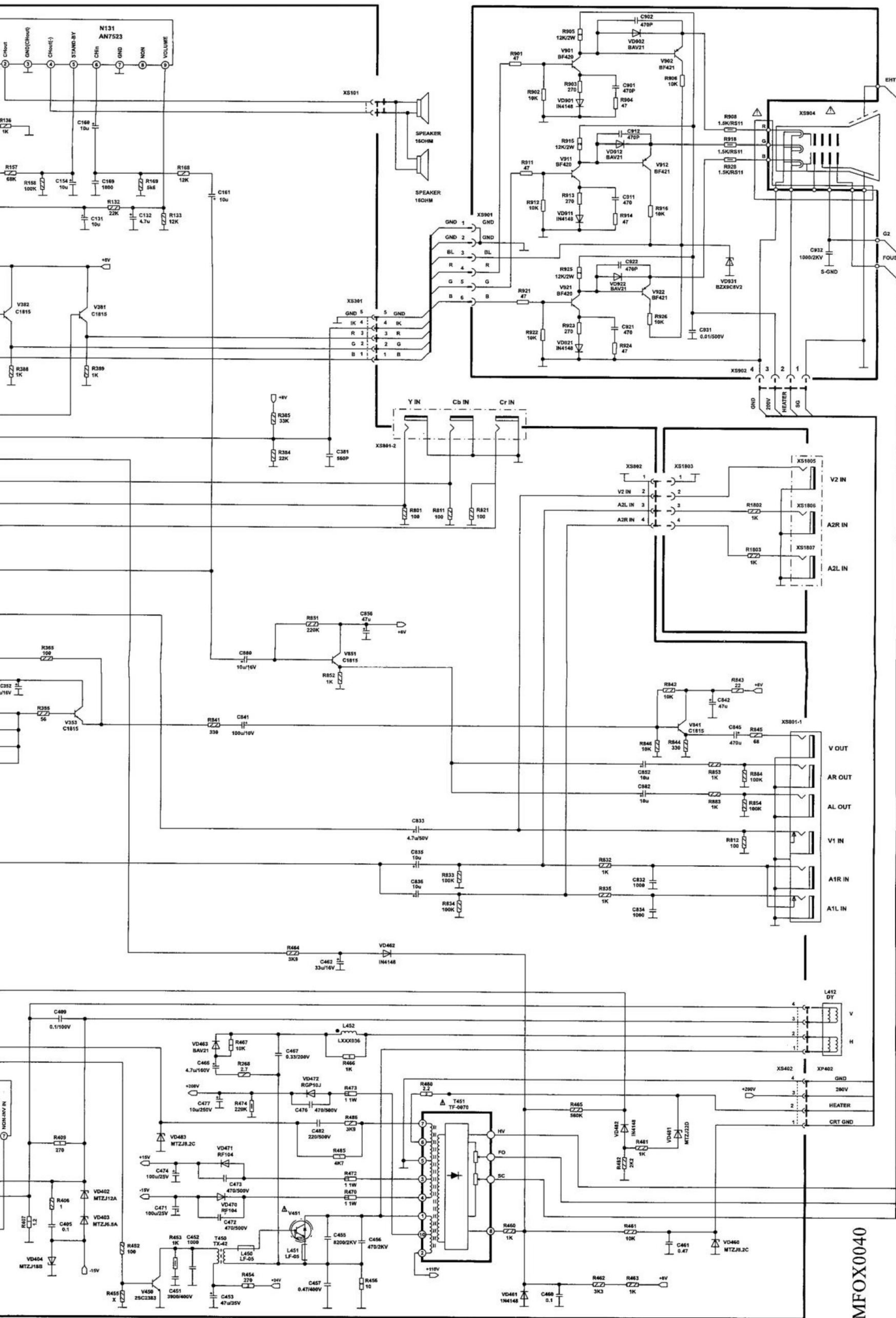
1. <http://www.sql.ru/> – сайт сообщества SQL.RU.



## Принципиальная схема телевизора SATURN-1402

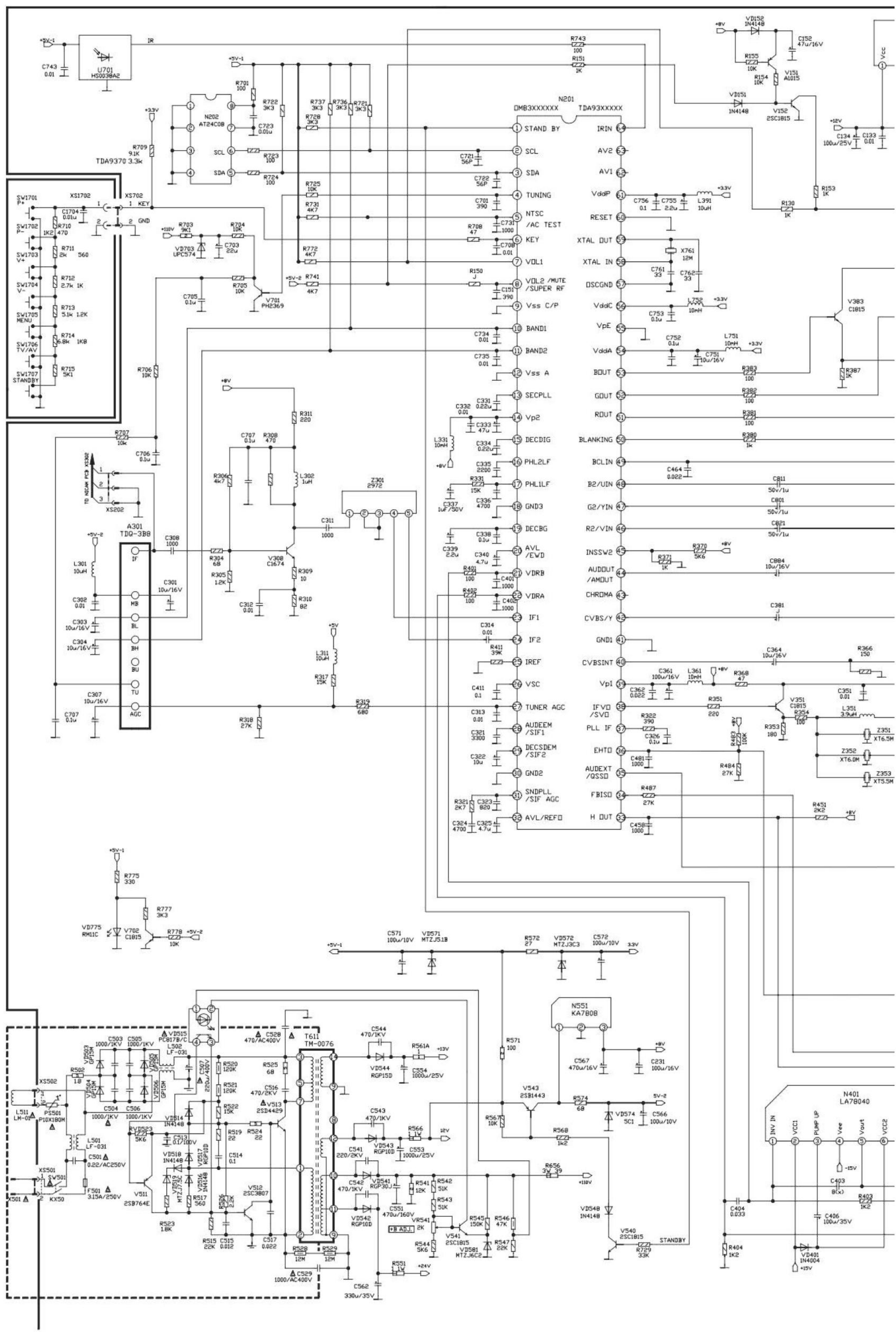


Принципиальная схема телевизора SATURN ST-2104 (шасси PX20043)



SUBJECT TO CHANGE WITHOUT NOTICE

MFOX0040



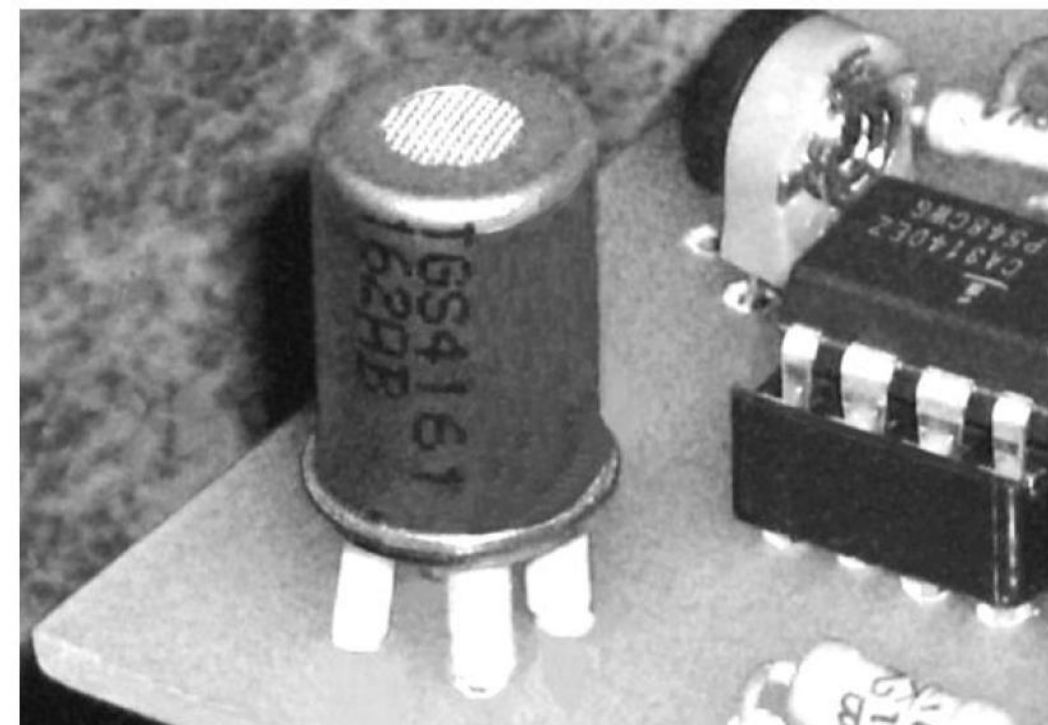
## Принципиальная схема телевизора SATURN-1402

# Прибор-приставка к мультиметру для контроля содержания углекислого газа

Е.Л. Яковлев, г. Ужгород

Для приборов контроля содержания углекислого газа в помещениях несколько крупных зарубежных фирм, в частности японские фирмы, выпускают датчики. Справочные листки этих датчиков размещены в сети Интернет, но сами датчики достать в Украине, России и Беларуси практически невозможно. Исключение составляют датчики фирмы FIGARO. Один из них и был приобретен для экспериментов.

Внешний вид датчика TGS 4161 показан на **фото** в начале статьи, габаритные размеры – на **рис. 1**. Принцип работы датчика основан на изменении ЭДС встроенного в него микроминиатюрного гальванического источника напряжения при колебаниях содержания углекислого газа в окружающей среде. Для повышения эффективности работы датчика, внутри корпуса установлен также электрический подогреватель. Если учесть, что все компоненты датчика размещены на стеклянной пластинке размерами 1,5x1,5 мм, то можно догадаться, почему стоимость датчика при его заказе весьма высока и достигает \$50.



Пока одна из киевских фирм выполняла заказ на поставку датчика из-за границы, можно было начать макетировать схему контроля. При этом было обращено внимание на тот факт, что при таких микроскопических размерах источника ЭДС датчика его можно нагружать только на очень высокоомный вход операционного усилителя (ОУ). Конечно, для этой цели непригодны широко распространенные бытовые ОУ, например, типа LM358N и аналогичные. Их входное сопротивление не превышает 200 кОм. Более рационально использовать ОУ с полевыми транзисторами во входных каскадах. Весьма недорогим и распространенным таким ОУ является CA3140EZ. Его входное сопротивление доходит до нескольких ГОм (гигаом).

Второй задачей при построении бытового измерителя CO<sub>2</sub> с датчиком TGS 4161 является линеаризация его выходной характеристики. Кстати, эта проблема характерна и для датчиков других фирм. Действительно, в тексте справочного листка датчика лишь одним кратким предложением отмечено, что его выходная характеристика логарифмическая. Пользоваться такой шкалой бытового прибора (измерителя концентрации CO<sub>2</sub> в помещении) обычайко крайне неудобно. Значит, надо линеаризовать передаточную характеристику прибора.

Именно на эти вышеуказанные особенности проектируемого бытового измерителя концентрации CO<sub>2</sub> и было обращено внимание при его построении.

До получения заказанного датчика CO<sub>2</sub> вместо него для макетирования схемы использовался

Габаритный чертеж TGS4161

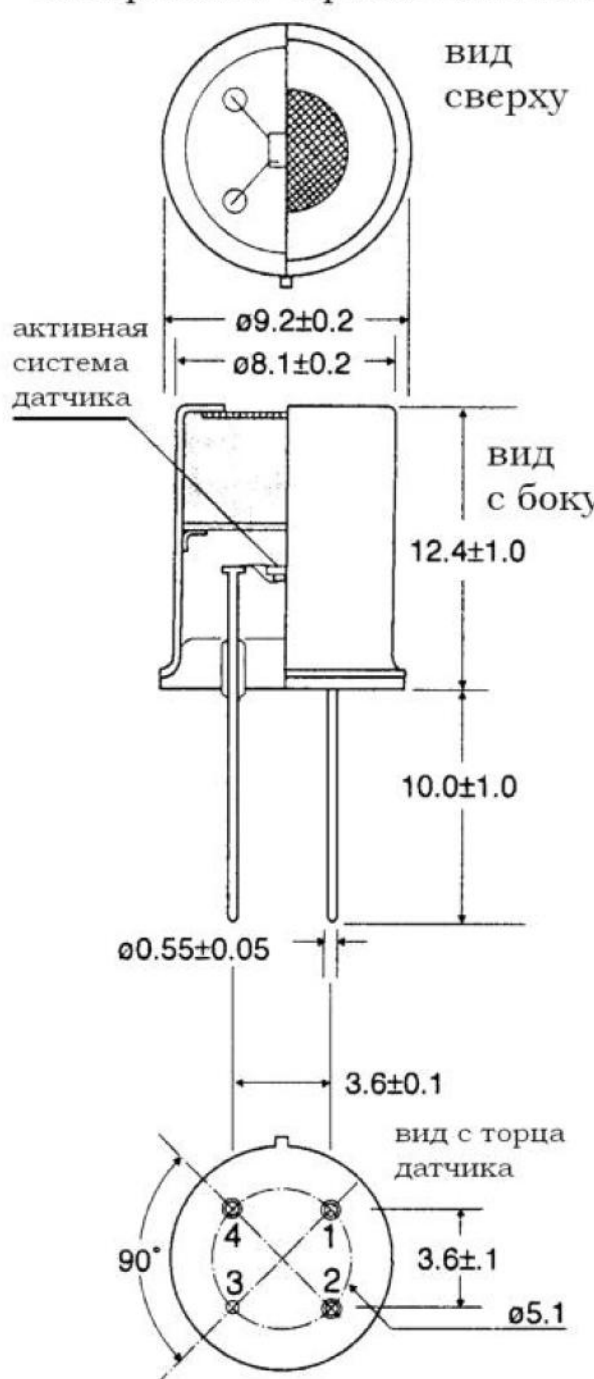


Рис. 1

его имитатор, схема которого показана на **рис.2**, а внешний вид – на **фото 1**. Напряжение (3 В) малогабаритной часовой батареи CR2023 понижается делителем имитатора примерно до 0,30...0,36 В. Конкретная величина выходного напряжения имитатора зависит от положения червячного микрометрического винта подстроекного резистора R3 и сопротивлений резисторов R1, R4, R5, R6.

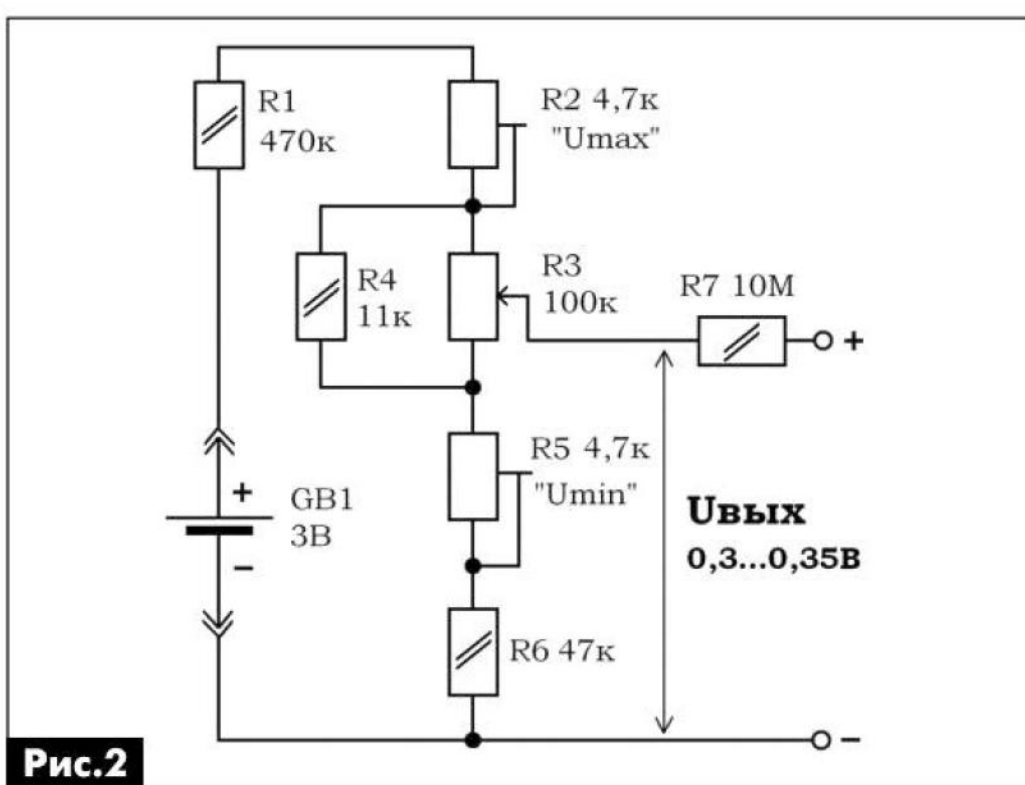


Рис.2

Резистор R7 является выходным токоограничивающим.

Принципиальная схема усилителя ЭДС датчика газа CO<sub>2</sub> показана на **рис.3**. Напряжение датчика подается на неинвертирующий вход ОУ DA1. Резисторы цепи обратной связи R1 и R2 задают небольшой коэффициент усиления каскада на ОУ. К выходу этого усилителя, как показано на **рис.3**, подключают цифровой мультиметр, например, DT-830B, подготовленный для измерения напряжений на пределе 200 мВ.

Первоначально при нулевом значении сопротивления между движком R3 и нижним по схеме **рис.2** выводом этого резистора выставляют подстроечными резисторами имитатора его выходное напряжение 300 мВ. Далее выставляют величину подстроечного резистора R2 в схеме **рис.3** поряд-

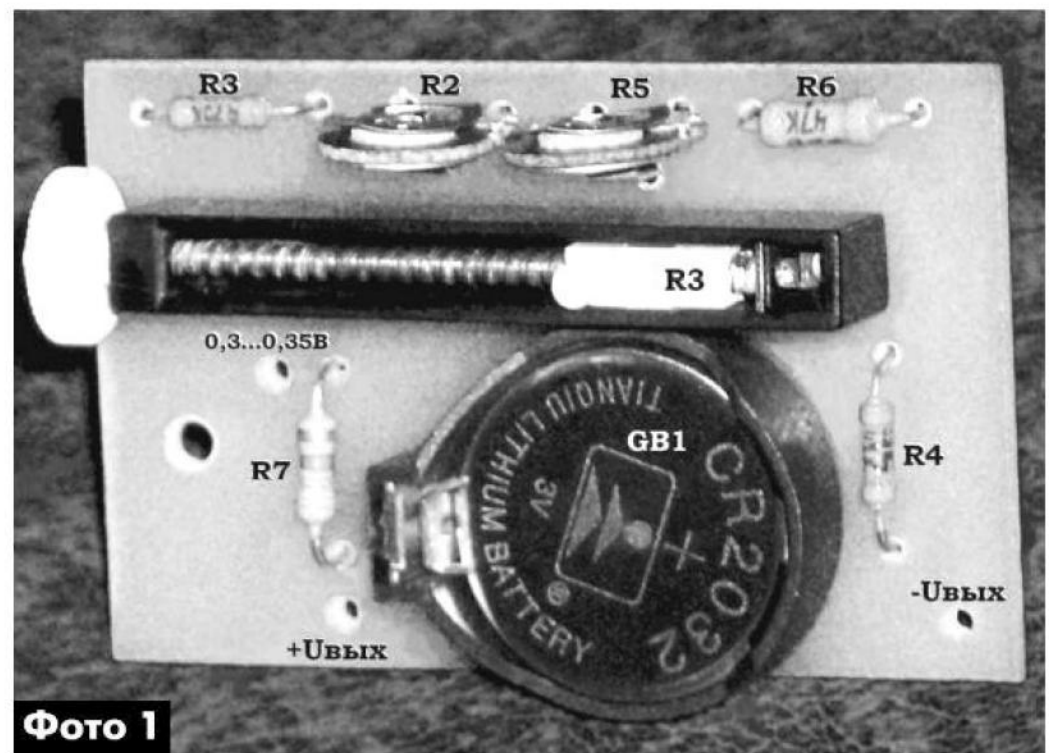


Фото 1

ка 9,1 кОм. Регулировкой положения движка подстроечного резистора R5 добиваются минимальных, практически нулевых, показаний мультиметра DT-830B, подключенного к контактам колодки XS2. Это оказывается возможным при включении (по схеме) измерительного милливольтметра между выходом ОУ DA1 и движком подстроечного резистора R5. Далее выставляют выходное напряжение имитатора порядка 350 мВ. Это должно имитировать подачу на вход устройства сигнала датчика газа при давлении CO<sub>2</sub> 2000 ppm.

Диод VD1 совместно с резистором R3 линеаризуют выходную характеристику всей схемы измерителя CO<sub>2</sub> на ОУ DA1. В качестве VD3 использован диод Шотки с относительно небольшим пороговым напряжением (порядка 0,3 В). При больших напряжениях (примерно с 0,4 В) диод Шотки резко переходит в насыщение. Это явление и использовано для линеаризации показаний прибора для измерения процентного содержания углекислого газа в воздухе. Дело в том, что согласно справочному листку фирмы FIGARO для датчика TGS 4161, линейные приращения выходного напряжения датчика происходят при изменениях давления CO<sub>2</sub> по логарифмическому закону (**рис.6**). Фактически, датчик имеет отклик при изменении парциального давления CO<sub>2</sub> от 350 до

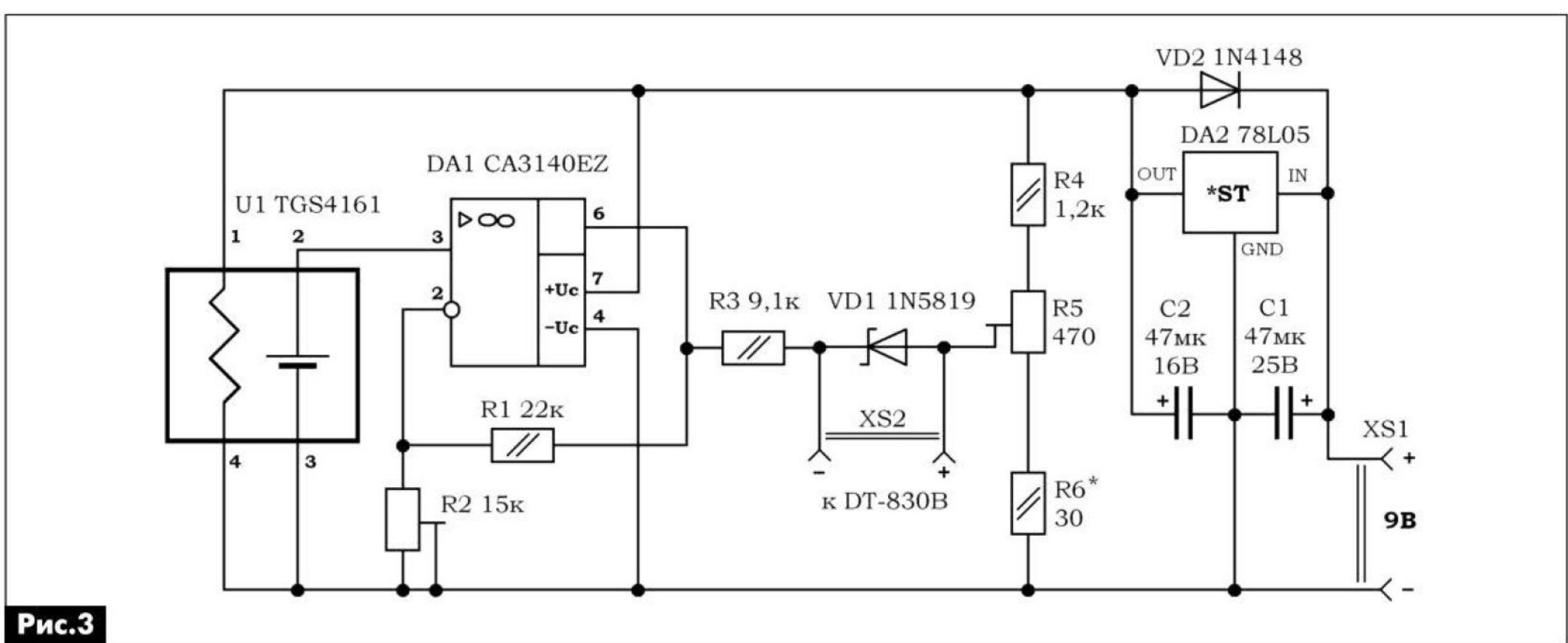
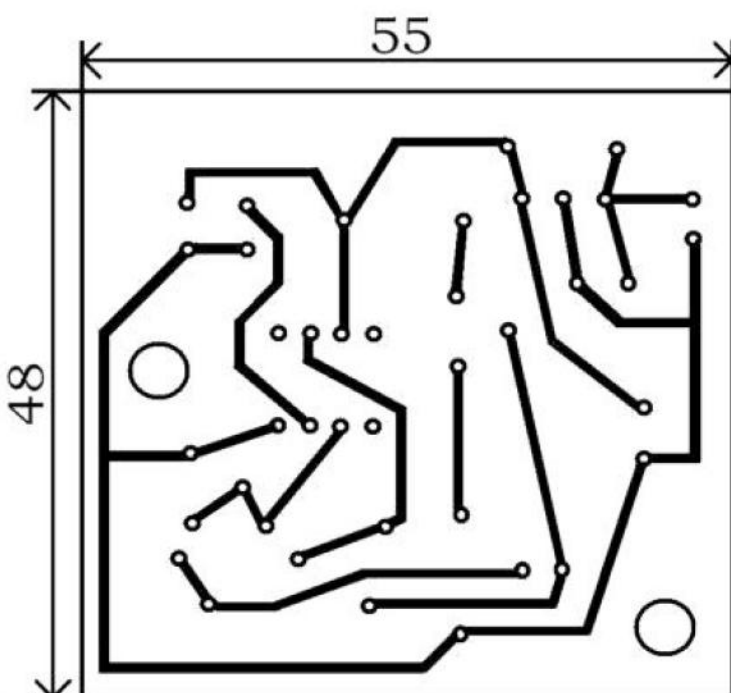


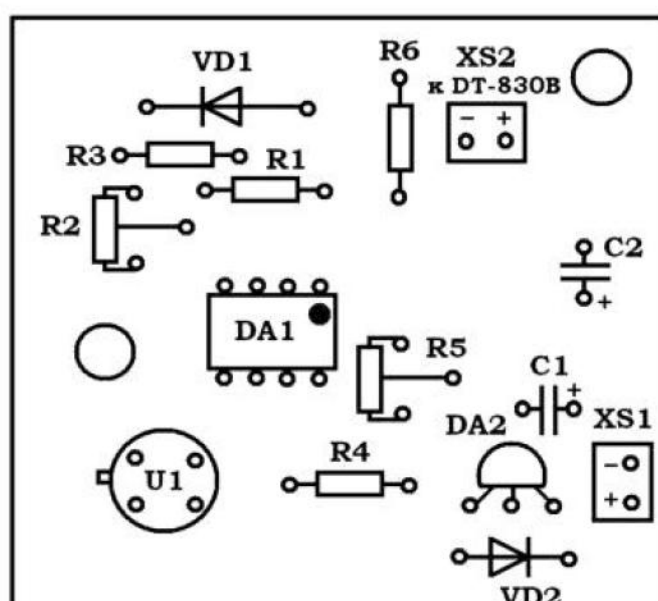
Рис.3

10000 ppm. По санитарным нормам допускается 10% содержание  $\text{CO}_2$  в воздухе жилых помещений, поэтому для бытовых целей достаточно ограничить диапазон парциального давления этого газа в воздухе 1000 ppm. Даже с двукратным превышением  $\text{CO}_2$  в контролируемом воздухе диапазон изменений этого газа описанным прибором составляет 350...2000 ppm.

На **рис.4** показана топография печатной платы макета, на **рис.5** – расположение радиокомпонентов на плате, а на **фото 2** – внешний вид макета.

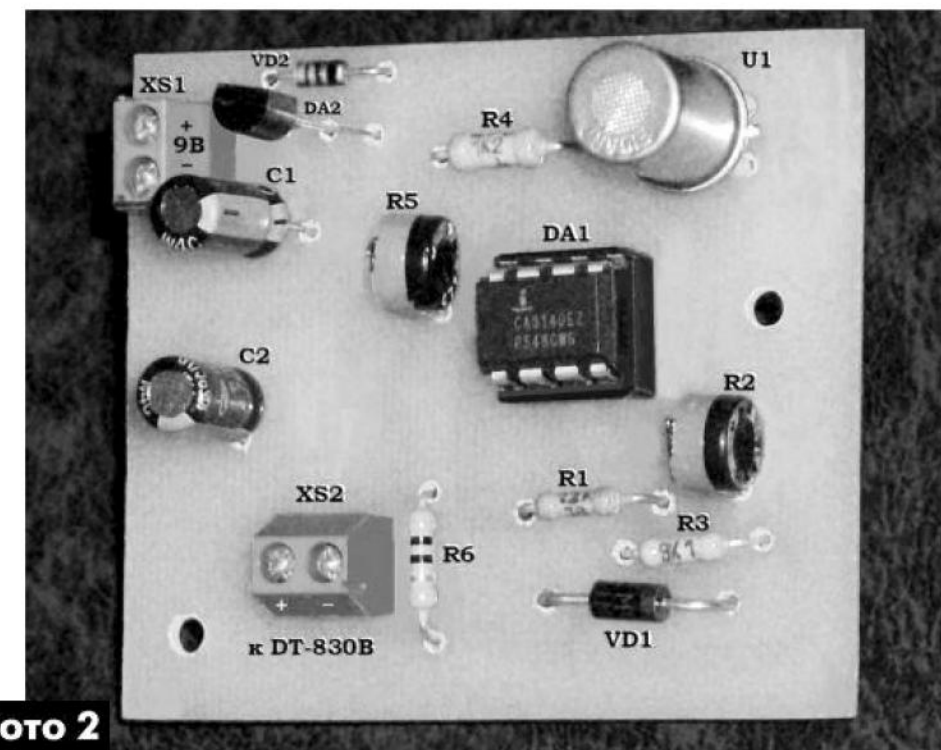


**Рис.4**



**Рис.5**

В заключение этой статьи хотелось бы поделиться с читателями своими сомнениями в правильности фирменной информации FIGARO в ча-

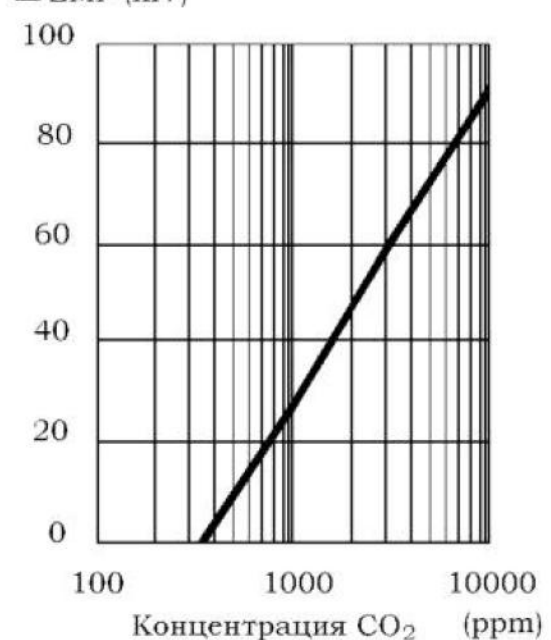


**Фото 2**

сти рисунка активного элемента датчика TGS 4161 (**рис.7**). Согласно этому рисунку электроды активного элемента датчика (Sensing electrode и Counter electrode) разделены между собой не только слоем электролита (Solid electrolyte), но и слоем стекла (Glass). Стекло – практически идеальный диэлектрик, через него «не проходят» электрические заряды (ток). Как же он «не мешает» работе гальванического элемента датчика  $\text{CO}_2$ ? Может быть, стекло на заводе-изготовителе датчиков TGS 4161 было легировано специальными примесями, которые и придали ему возможность проводить электрические заряды. Об этом остается только догадываться. Фактически, конструкция датчика  $\text{CO}_2$  – объективная реальность. Датчик TGS 4161 работоспособен и используется во многих странах мира, поэтому вопрос его «детальной» конструкции – риторический и в него, пожалуй, не стоит углубляться. Лучше обратить внимание читателей, что фирма FIGARO разработала и серийно выпускает аналогичный датчик  $\text{CO}_2$  – TGS 4160. В его корпусе дополнительно установлен терморезистор, что позволяет производить контроль температуры в «структуре» датчика. Поддержание температуры на постоянном уровне независимо от колебаний внешней температуры в помещении делает работу датчика  $\text{CO}_2$  более стабильной. Правда, стоит такой датчик на 10 дол. больше.

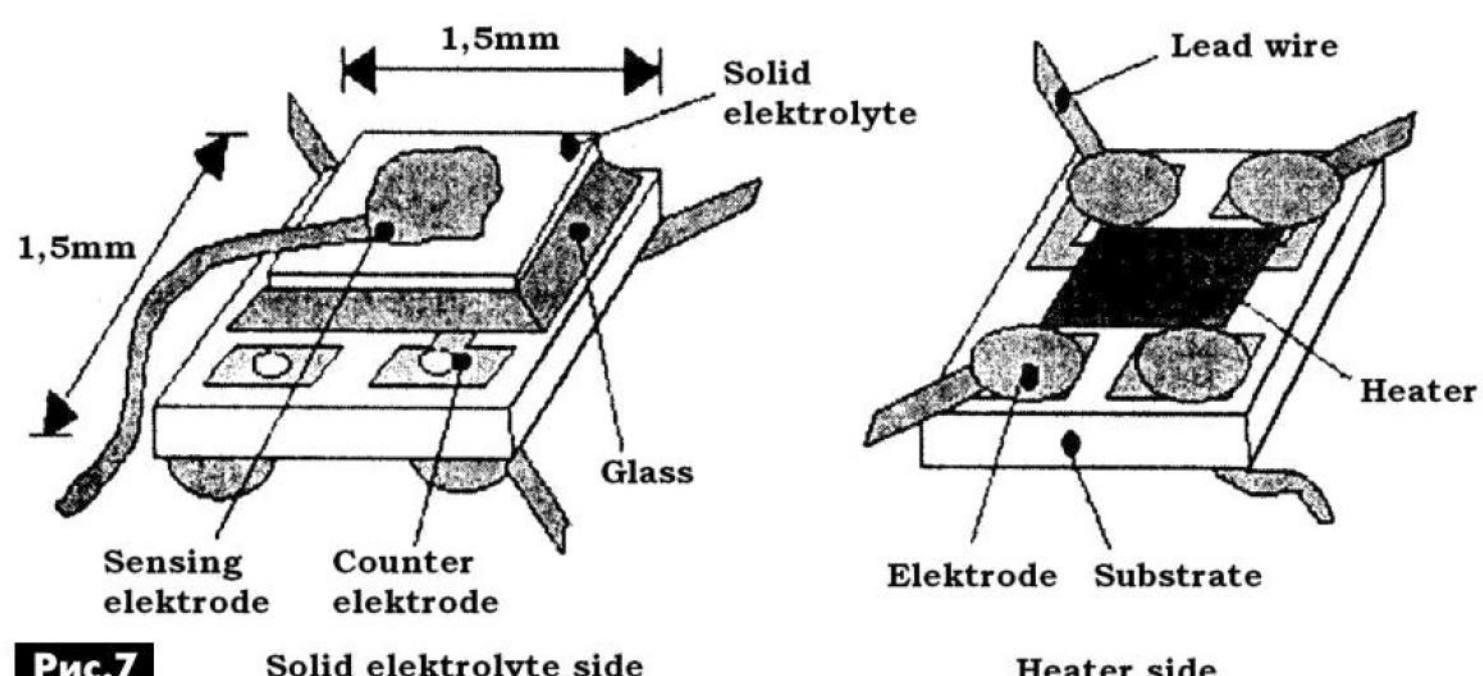
Чувствительность датчика TGS 4161

$\Delta \text{EMF}$  (mV)



**Рис.6**

### Sensing Element Structure:



**Рис.7**

**Solid electrolyte side**

**Heater side**

# Модернизация строительного фена для нужд радиолюбителя

Андрей Сахненко, г. Одесса

Строительный фен, в радиолюбительстве – вещь незаменимая. Не буду перечислять все возможности его использования. Я приобрел фен при изготовлении аппарата контактной сварки [1], когда возникла необходимость «упаковать» 3 м гибкой шины в термоусадочную трубку. Взял самый дешевый, потому что использовать его намеревался не в профессиональных, а любительских целях. Но вскоре фен начал барахлить, что и послужило толчком к его модернизации, описание которой приведено в этой статье.

Фен WYH-HAG II, о модернизации которого пойдет речь, произведен в Китае, но подобным образом можно доработать и любой другой строительный фен. С первой задачей («упаковка» гибкой шины) WYH-HAG II справился прекрасно, и я даже порадовался за удачную покупку. Потом были еще какие-то применения, и в один прекрасный момент было замечено плохое включение фена на повышенной мощности. Быстро разобрав его, убедился, что причина такой работы в переключателе. Из-за плохого контакта клемм корпус переключателя начал плавиться (**фото 1**). Замена переключателя не была проблемой, проблема была в другом. Перед глазами лежала «заготовка», которую можно было модернизировать под свои запросы и требования, а они были следующими:

- для использования внешних насадок, которые собирался применять в перспективе, необходима стабилизация температуры;
- при монтаже и демонтаже радиодеталей необходимо менять скорость (интенсивность) воздушного потока;
- для того чтобы после окончания работы можно было быстро сложить фен в коробку, его нужно принудительно охладить, иначе говоря, должна быть возможность отключения нагрева спирали без выключения вентилятора;

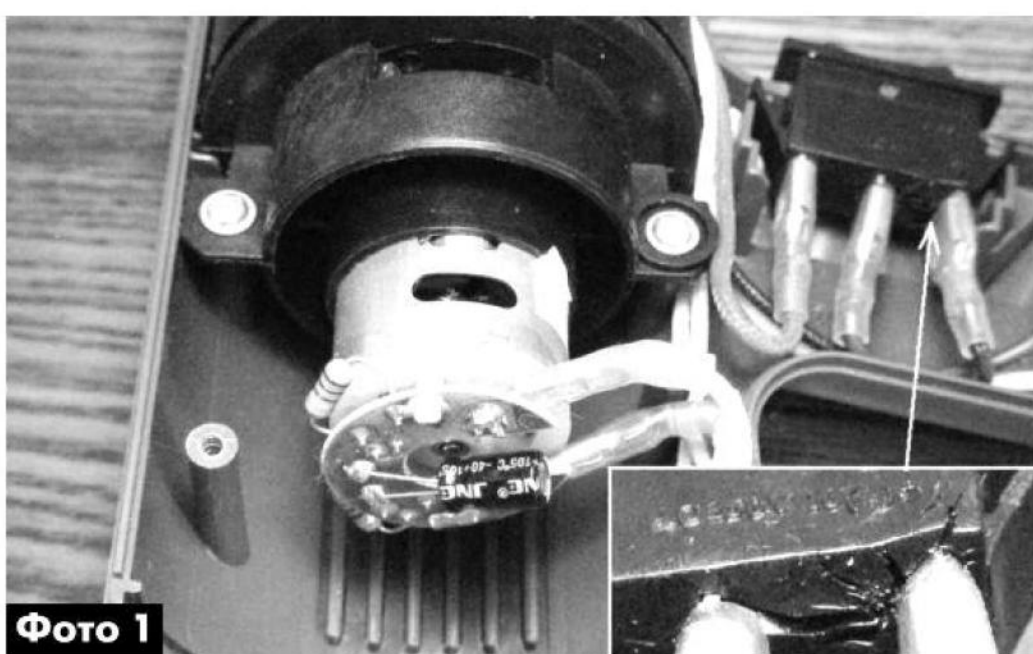
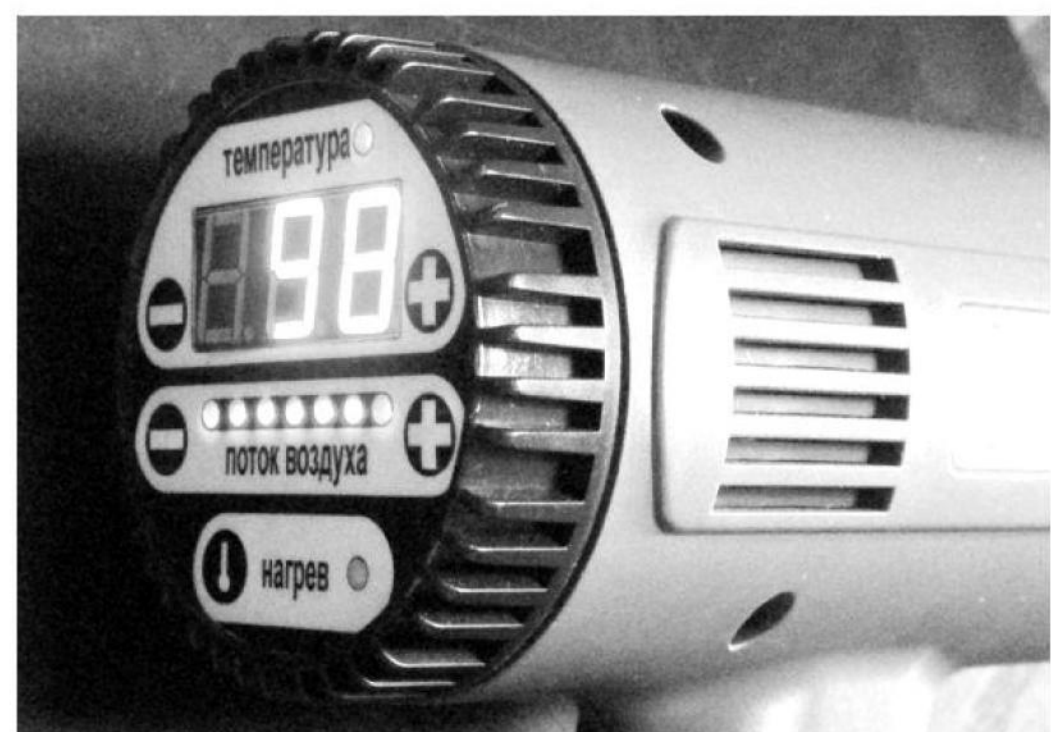


Фото 1



- в свою очередь, работа одного вентилятора дает возможность использования фена для охлаждения чего-либо и т.д.

Для реализации всех вышеизложенных требований было разработано и встроено в корпус фена WYH-HAG II устройство, описание которого приведено ниже. Кнопки управления, индикаторы температуры, нагрева и интенсивности (скорости) потока воздуха установлены на задней (торцевой) крышке фена (**фото 2**).

## Особенности (алгоритм) работы модернизированного фена

**Включение питания фена.** При включении питания устанавливается режим охлаждения, характерный тем, что:

- нагрев спирали отключен;
- вентилятор работает на минимальной скорости (первое положение на индикаторе);
- установлен нижний предел уставки температуры воздушного потока;
- на семисегментном индикаторе высвечивается температура воздушного потока;
- светодиодный индикатор «температура» показывает, что температура воздушного потока выше уставки (цвет свечения зеленый) или ниже ее (цвет свечения красный).



Фото 2

**Установка температуры воздушного потока** осуществляется кнопками «+» и «-», которые расположены справа и слева от индикатора температуры (**фото 3**).



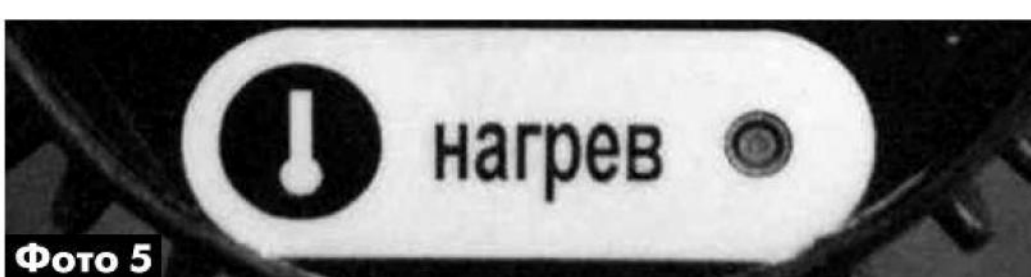
Минимальное значение уставки 60°C, максимальное 630°C. Изменение температуры происходит с шагом 10°. Первое кратковременное нажатие кнопок изменения температуры («+» или «-») включает режим изменения уставки температуры. Последующие кратковременные нажатия одной из кнопок «+» или «-» будут изменять уставку температуры с дискретностью 10°. В случае удержания кнопки более 1 с, включается ускоренная прокрутка значений уставки. Если кнопки не нажимались более 1 с, происходит автоматический возврат в режим индикации температуры воздушного потока.

**Изменение скорости воздушного потока** производится с помощью кнопок «+» или «-», которые расположены справа и слева от индикатора скорости воздушного потока (**фото 4**), имеющего 7 градаций (7 светодиодов). Количество светящихся светодиодов пропорционально скорости воздушного потока. При удержании кнопки «+» или «-» более 1 с, включается прокрутка – ускоренное изменение скорости воздушного потока.



**Включение нагрева спирали** производится с помощью кнопки «нагрев» (**фото 5**).

Каждое нажатие кнопки будет включать или отключать нагрев спирали. Свечение светодиода показывает, что нагрев спирали включен, а отсутствие свечения – нагрев отключен.



### Схема, конструкция и детали

Все устройство (регулятор температуры и скорости воздушного потока) собрано на двух платах и установлено в корпусе фена (**фото 6**). На одной из этих плат (**фото 7**) размещены:

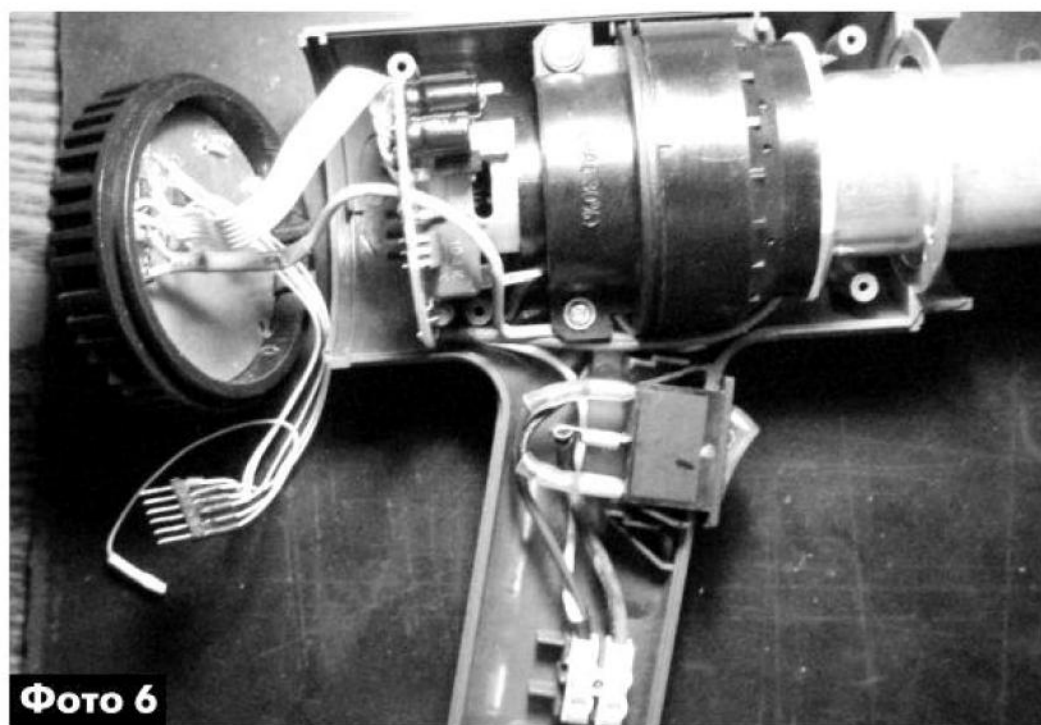


Фото 6



Фото 7

- импульсный блок питания, на выходе которого имеется +16 В для питания мотора вентилятора, и два напряжения по +5 В, для питания цифровой и аналоговой частей регулятора;
- симисторный регулятор мощности нагрева спирали фена (используется метод пропуска периодов сетевого напряжения с равномерным распределением во времени);
- силовой ключ ШИМ-регулятора оборотов мотора вентилятора.

На второй плате (**фото 8**) расположены:

- блок управления и индикации, который включает в себя пять кнопок управления, один трехразрядный семисегментный индикатор температуры воздушного потока, а также ее уставок, десять светодиодов (из них семь – это линейка индикации скорости воздушного потока, два – индикаторы

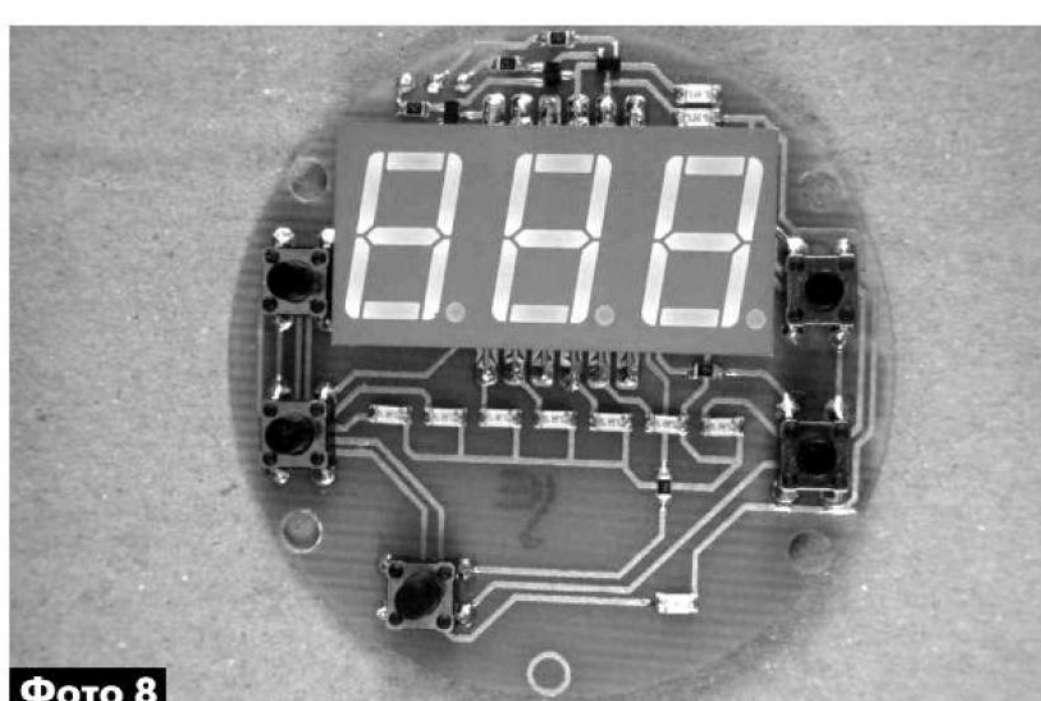


Фото 8

ухода температуры за предельные значения (выше и ниже уставки), еще один светодиод – индикатор включения нагрева спирали);

- усилитель термопары и микроконтроллер (**фото 9**).

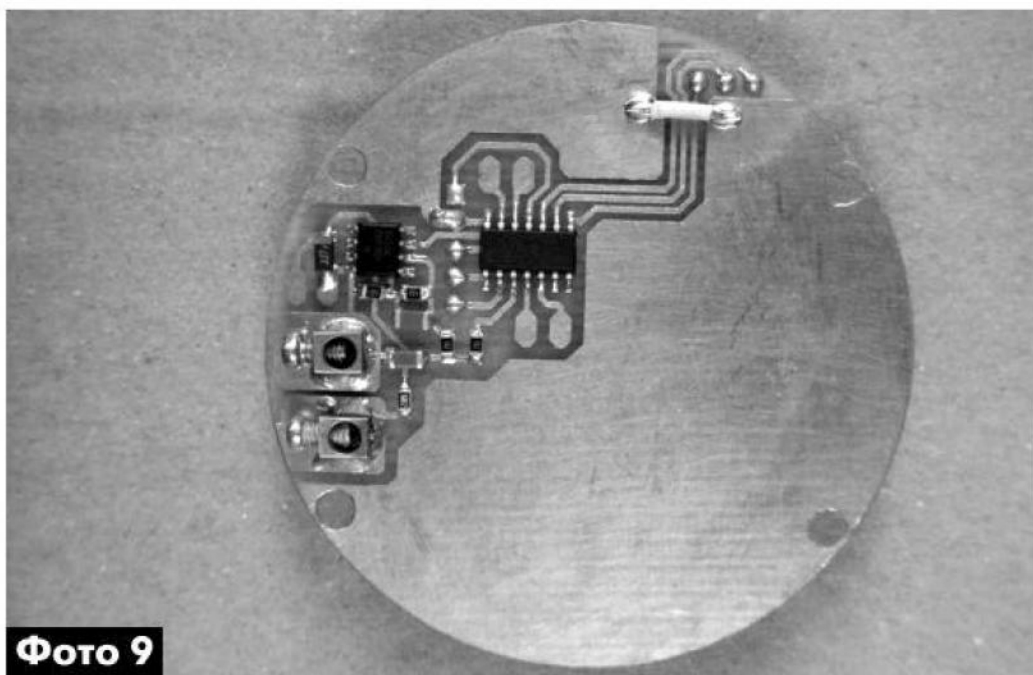


Фото 9

Обе платы изготовлены методом лазерно-утюжной технологии. Первая плата с односторонним монтажом радиодеталей крепится пайкой на клеммах мотора вентилятора. Вторая плата с двухсторонним монтажом крепится с помощью четырех саморезов к крышке корпуса фена, в которой прорезаны отверстия для индикаторов и кнопок управления. Она прикрыта декоративной фальшпанелью.

Функциональная схема модернизированного фена показана **рис.1**.

Вся схема условно разбита на семь функциональных узлов:

1. Импульсный блок питания.
2. Блок управления нагревом спирали.
3. Блок усилителя термопары.
4. Нагревательный элемент и термопара.
5. Блок управления двигателем вентилятора.
6. Микроконтроллер.
7. Модуль ввода-вывода.

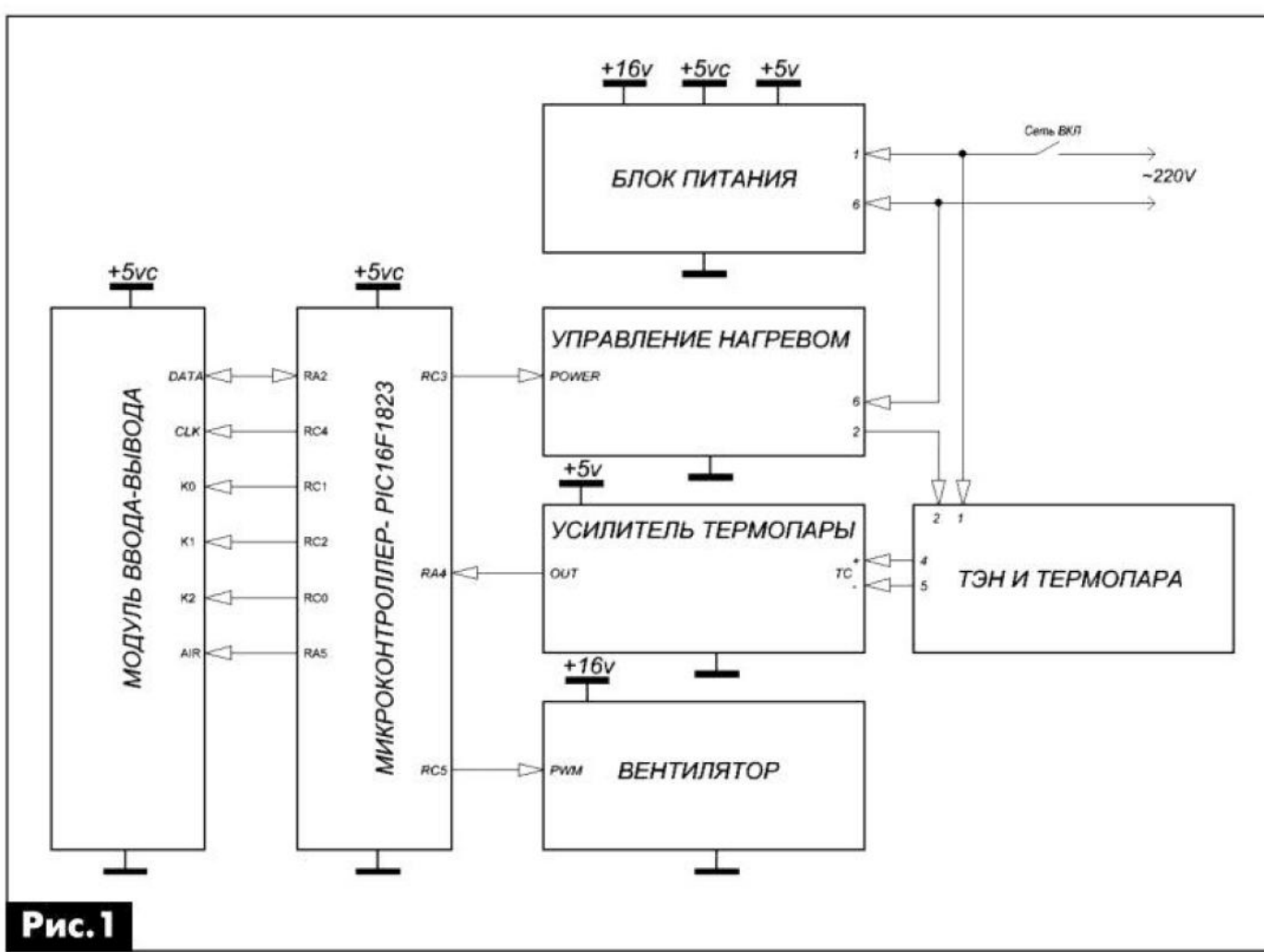


Рис.1

## Импульсный блок питания

Блок питания (БП) устройства импульсный. Он собран на микросхеме TOP224 по стандартной схеме, взятой из технического описания импульсного трансформатора POL-12017 фирмы Premier Magnetics [2] (**рис.2**).

БП обеспечивает схему тремя напряжениями:

- 16 В (точка 16v) для питания мотора вентилятора, максимальный ток 1 А;
- 5 В (5vc) для питания цифровой части схемы, ток до 0,5 А;
- 5 В (5v) для питания аналоговой части схемы, ток до 0,05 А.

БП имеет узлы самостоятельного изготовления: дроссель L1 и трансформатор TV1. Дроссель L1 намотан на каркасе от катушек индуктивности типоразмера RCH-895 (см. [3]) фирмы SUMIDA проводом ПЭЛ 0,4 до заполнения и имеет индуктивность порядка 5 мГн. Сердечник трансформатора TV1 взят из отслужившей свой срок 20-ваттной лампы «энергосберегайки». Центральная часть (керн) сердечника имеет сечение 5x5 мм. Первичная обмотка TV1 имеет 72 витка, намотана проводом диаметром 0,23 мм. Вторичная обмотка и обмотка связи намотаны тем же проводом, но сложенным вчетверо. Вторичная обмотка имеет 8 витков, а обмотка обратной связи – 7 витков.

При максимальной нагрузке БП, когда вентилятор питается полным напряжением 16 В, начинает нагреваться трансформатор и микросхема TOP224. Однако ввиду пропорционального увеличения охлаждения (потоком воздуха) температура этих деталей не превышала 45°C при температуре окружающей среды 32°C. Измерения проводились инфракрасным термометром DT8220, кстати, очень удобным в этом отношении.

## Блок управления нагревом спирали

Основой блока управления нагревом спирали является симистор VD7 типа BTA41-600 (**рис.3**).

Схема этого блока взята из даташита на МОС3063, который можно скачать по ссылке [4], и особенностей не имеет. Оптрон с детектором нуля сетевого напряжения обеспечивает мягкое (без помех) управление нагрузкой.

## Блок усилителя термопары

Блок усилителя термопары собран на операционном усилителе AD8551 (**рис.4**).

Назначение этого блока – усилить медленно изменяющуюся ЭДС термопары. Он представляет собой усилитель постоянного тока (УПТ). Поэтому емкость конденсатора ООС С10 имеет боль-

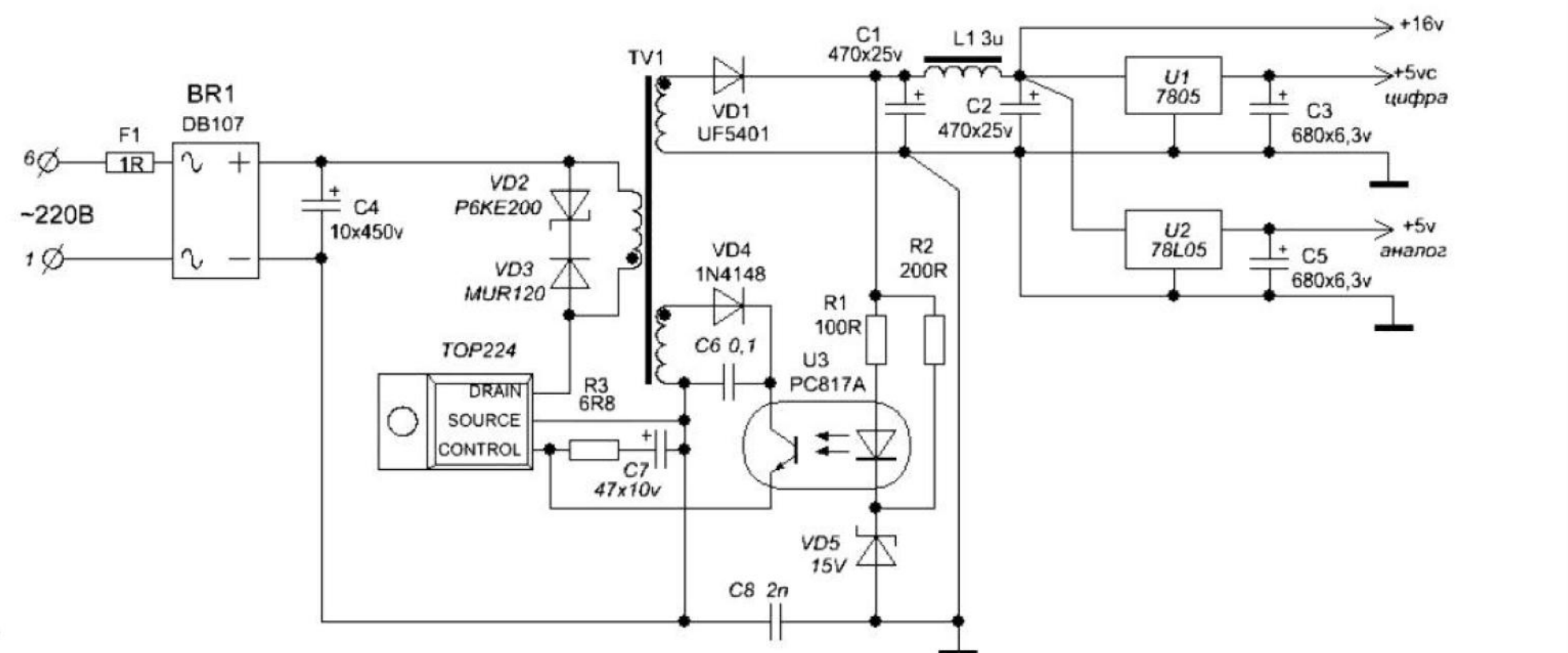


Рис.2

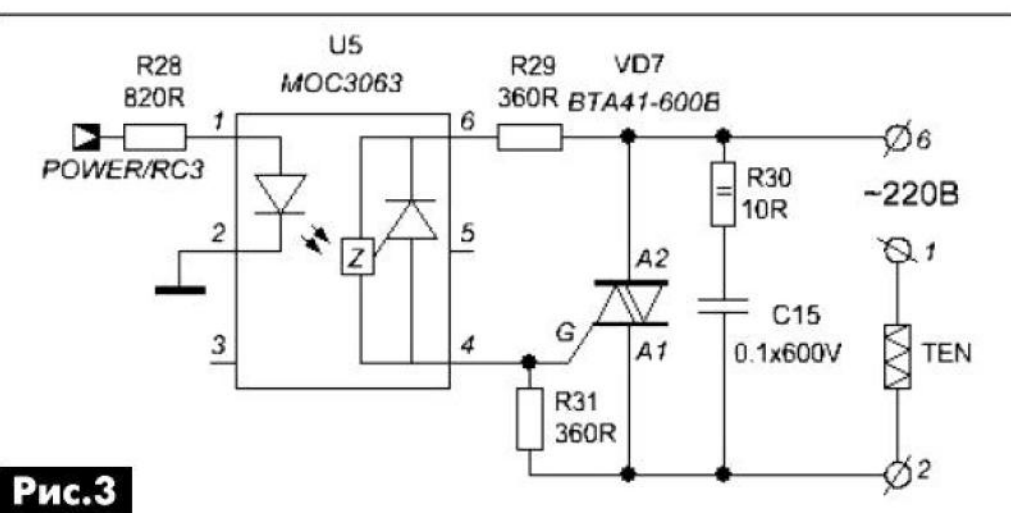


Рис.3

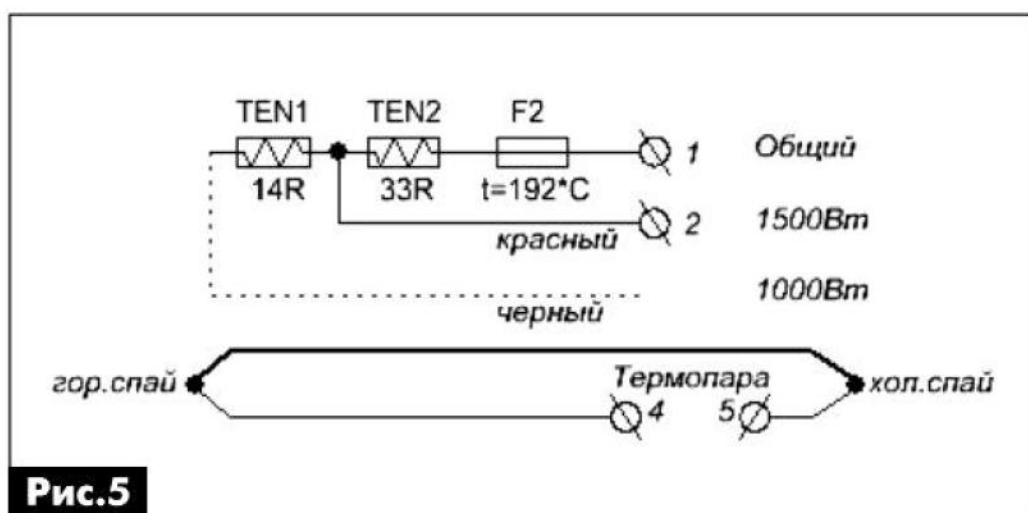


Рис.5

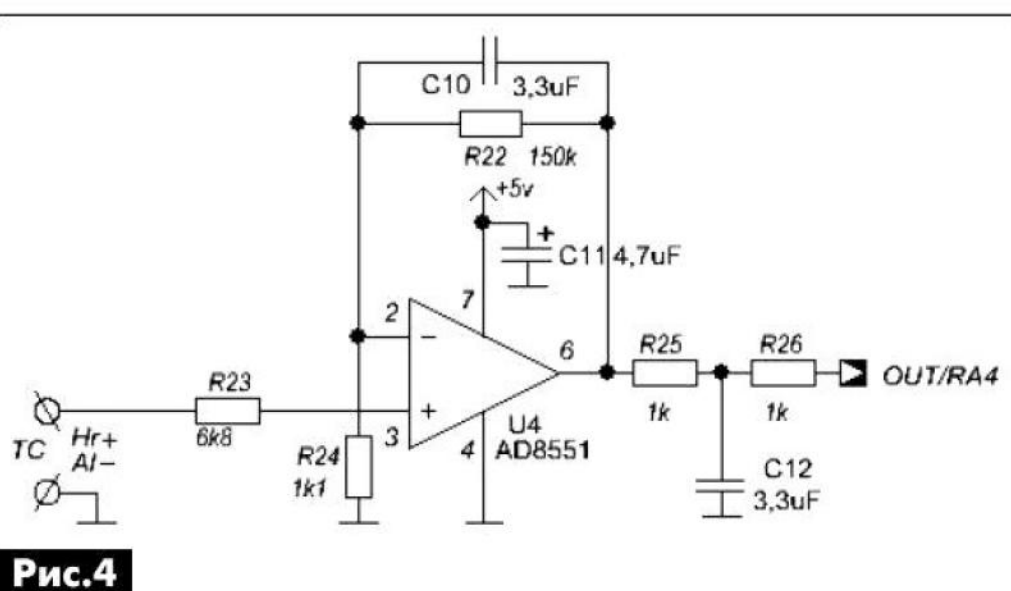


Рис.4

шую величину, что необходимо для фильтрации импульсных помех. Фильтр низких частот R25C12R26 на выходе U4 подавляет 50-герцовую составляющую выходного сигнала. Коэффициент усиления каскада подбирают резистором R24 (грубо), а более точно компенсируют программно.

### Нагревательный элемент и термопара

Конструкцию нагревательного элемента (**фото 10**) пришлось несколько изменить (**рис.5**). Была удалена спираль питания двигателя вентилятора и вставлена термопара. Делают это так:

1. Белые провода (**фото 10**), идущие на питание мотора, удаляют вместе с подключенной к ним спиралью.

2. Термопредохранитель F2 (**рис.5**) подключают с помощью обжимки (пайку использовать нельзя) к противоположному концу спирали, имеющей сопротивление 33 Ом.

3. Черный провод дополнительной спирали откусывают, а конец спирали оставляют в керамике. Красный провод (на черно-белом **фото 10** – это самый верхний провод серого цвета) не трогают.

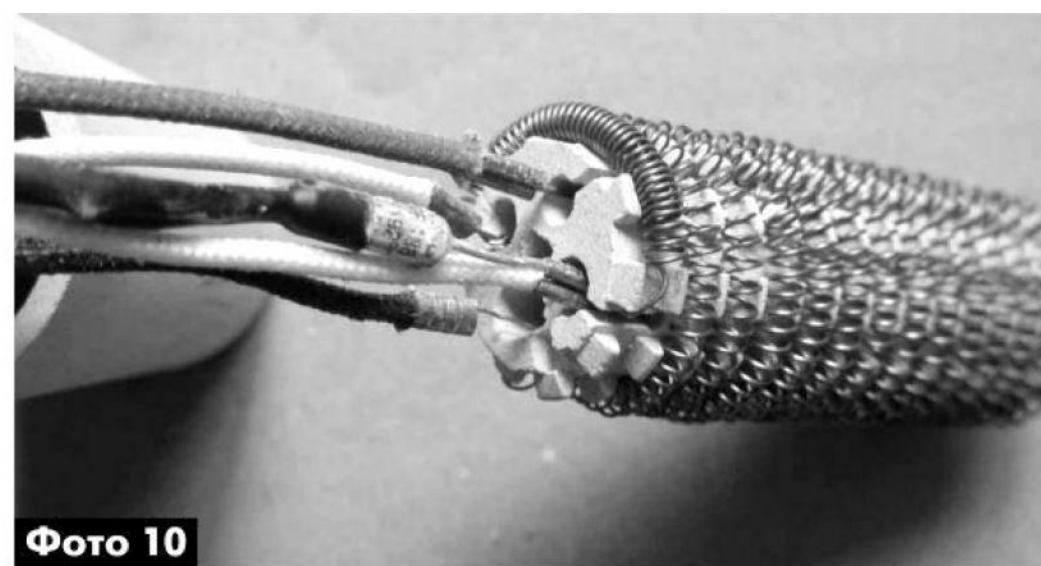


Фото 10

4. Термопару пропускают через освободившийся канал, где раньше был термопредохранитель.

5. Выводы термопары с холодным спаем подключают к плате с помощью винтов (**фото 6**). Холодные спай спрятаны в термоусадочную трубку. Температура холодного спая контролируется внутренним термометром микроконтроллера. По сути, термометр МК измеряет температуру всасываемого воздуха, в потоке которого и находится холодный спай термопары. Поэтому разница температур, если и есть, то незначительная.

### Блок управления двигателем вентилятора

Управление воздушным потоком происходит за счет изменения оборотов двигателя вентилятора

методом ШИМ (широкото-импульсной модуляции). В устройстве используется аппаратный ШИМ, который обеспечивается МК (см. ниже). Схема выходного ключа этого блока показана на **рис.6**. Частота работы ШИМ равна 30 кГц, что дает возможность обойтись без драйвера управления ключом. В качестве ключа использован транзистор типа BTS113A. Он может быть заменен полевым транзистором с «логическим входом» соответствующей мощности.

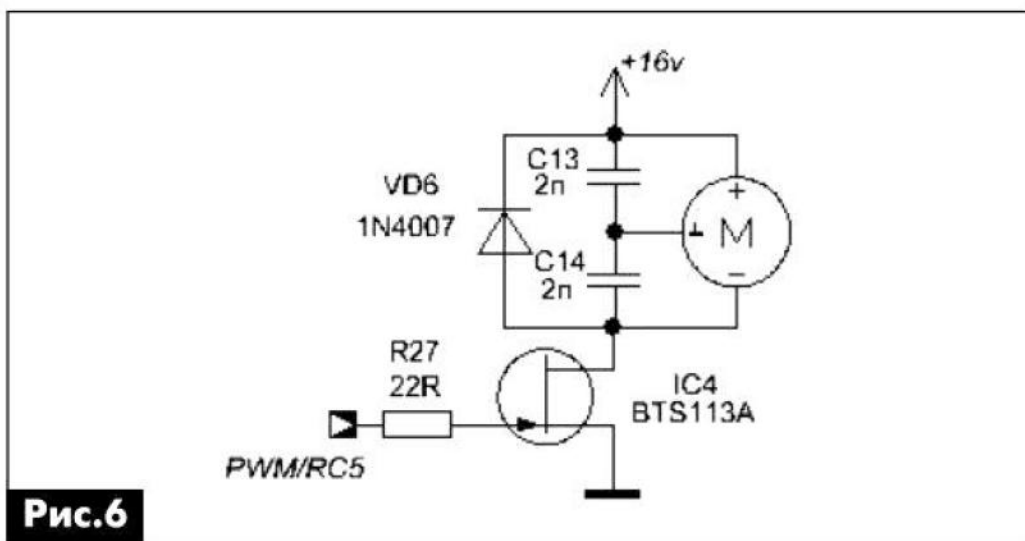


Рис.6

### Микроконтроллер

В устройстве (**рис.7**) использован микроконтроллер типа PIC16F1823 фирмы Microchip в корпусе SOIC-14. Тактовая частота этого МК программно выбрана 32 МГц (от внутреннего тактового генератора), что позволяет довольно быстро обрабатывать поступающую информацию. Назначение выводов МК (с учетом ПО) приведено в **таблице**.

№	Обозначение	Назначение выводов МК
1	+5V	Напряжение питания 5 В
2	RA5	Выход на ОК индикатор скорости воздушного потока
3	RA4	Вход АЦП (измерение температуры)
4	RA3	Резерв
5	RC5	Выход ШИМ на управление вентилятором
6	RC4	Выход CLK на 74HC164
7	RC3	Выход на управление нагревом (POWER)
8	RC2	Выход на ОК индикатора разряда единиц
9	RC1	Выход на ОК индикатора разряда десятков
10	RC0	Выход на ОК индикатора разряда сотен
11	RA2	Выход DATA на 74HC165, вход сигнала опроса от кнопок управления
12	RA1	Резерв
13	RA0	Резерв
14	GND	Корпус

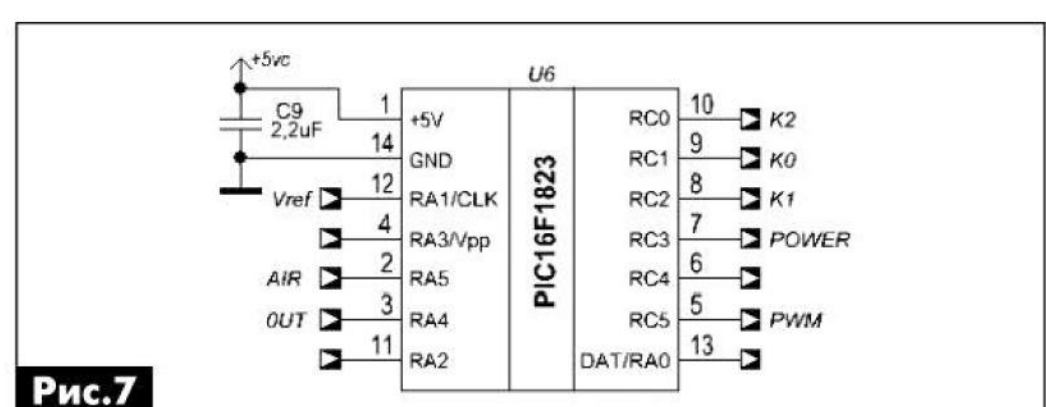


Рис.7

### Модуль ввода-вывода

Его схема показана на **рис.8**. Ввиду малого количества выводов у используемого МК и большого количества элементов индикации и ввода (кнопок), было решено использовать в этом модуле сдвиговой регистр типа 74HC164. В устройстве применен трехразрядный семисегментный индикатор с общими катодами GNT-5631AG-21. Транзисторы VT1–VT4 в корпусах SOT23 выпаяны из какой-то платы, и по маркировке соответствуют транзисторам BC817 и BC337. Светодиоды LED1–LED10 в SMD-исполнении, но они могут быть заменены обычными диаметром 3 мм без значительного изменения печатной платы. Файлы чертежей печатных плат в формате \*.lay и прошивки для МК можно скачать с сайта нашего издательства [5].

Модернизация этого строительного фена обсуждается на форуме [6] в разделе «Бытовые приборы».

### Ссылки

1. Сахненко А. Аппарат контактной сварки // Радиоаматор. – 2012. – №9. – С.37–40.
2. <http://www.premiermag.com/pdf/pol-12017.pdf> – техническое описание импульсного трансформатора POL-12017 фирмы Premier Magnetics Inc.
3. <http://www.sumida.com/products/pdf/RCH-895.pdf> – техническое описание катушек индуктивности RCH-895 фирмы SUMIDA.
4. <http://pdf1.alldatasheet.com/datasheet-pdf/view/5043/MOTOROLA/MOC3063.html> – техническое описание микросхемы MOC3063.
5. <http://www.ra-publish.com.ua> – сайт издательства «Радиоаматор».
6. <http://forum.chipmk.ru/> – форум по микроконтроллерам ChipMK.

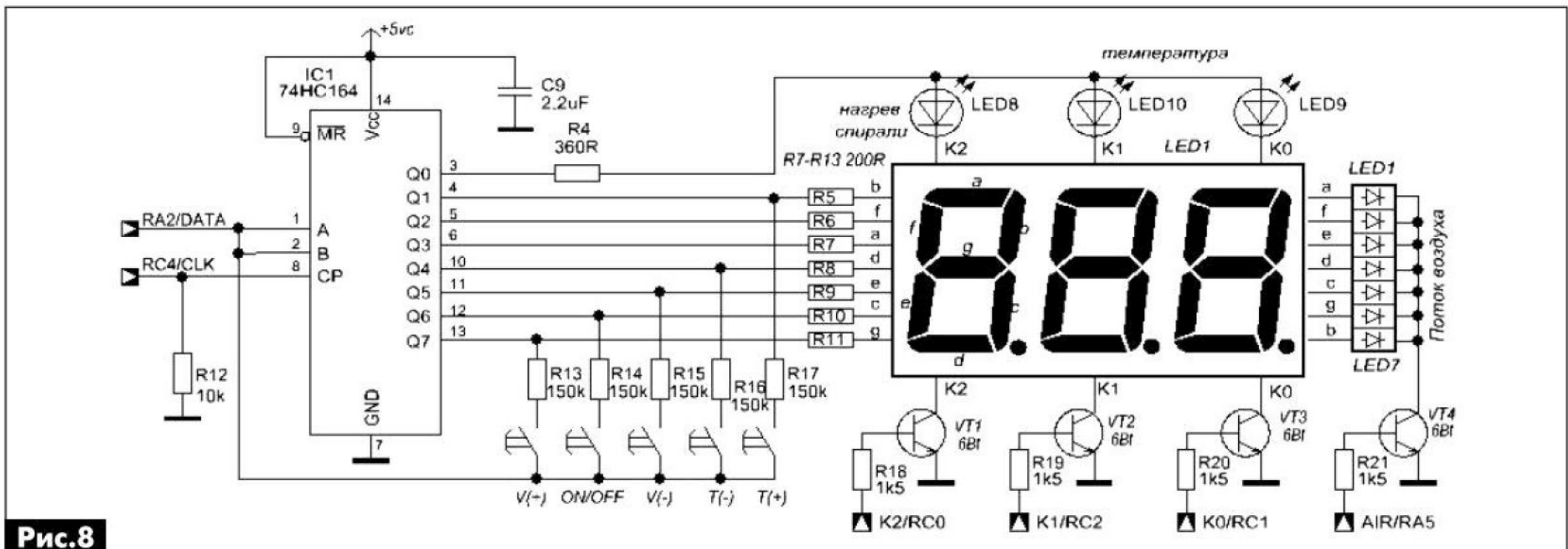


Рис.8

# Високовольтний тестер діодів та транзисторів

Я. І. Мамчур, м. Львів

В статті приведено опис тестера, який призначений для вимірювання напруги електричного пробою р-п переходів напівпровідників. Знаючи цю напругу можна оцінити, якою може та повинна бути робоча напруга даного напівпровідникового приладу. Амплітудне значення робочої напруги повинно бути хоча б на 10% меншим від напруги електричного пробою р-п переходу.

В даній конструкції тестера, як генератор високої напруги (більшої за 1000 В), використано газову електrozапальничку китайського виробництва, загальний вигляд якої показано на **фото**, а електрична схема – на **рис.1**. До запальнички додано випрямляч на високовольтному діоді D1 (див. **рис.2**) та фільтр на конденсаторі C1. В схемі **рис.2** використано також, авометр АВО-5М1 в режимі вимірювання напруги 1200 В. Вольтметр може бути інший, або ж саморобний.

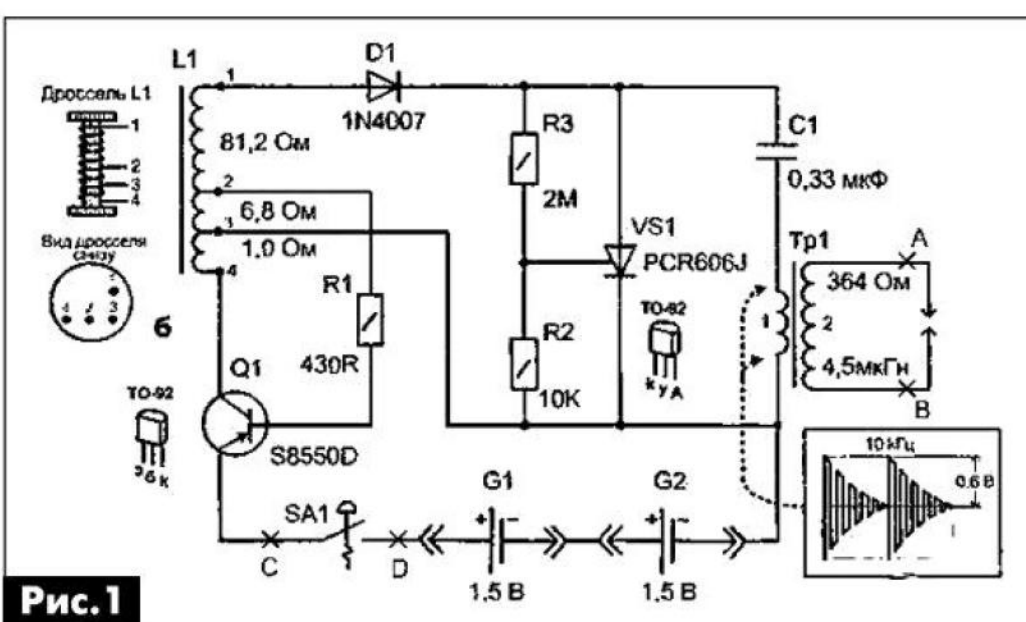


Рис.1

При підключенному вольтметрі та випробуваному діоді чи транзисторі, вмикаємо живлення запальнички. При цьому замикаються контакти SA1-1, і розмикаються контакти SA1-2. Електричні імпульси, які виробляє генератор запальнички, заряджають конденсатор C1, і напруга на ньому зростає до моменту електричного пробою р-п переходу напівпровідника. При настанні пробою починає протікати струм через р-п переход. В цьому режимі (режимі відновлюємого електричного про-



бою) р-п переход працює як стабілітрон, і напруга на C1 майже не змінюється при деякому зростанні струму через р-п переход. В цей момент вольтметр буде показувати максимально допустиму напругу для даного напівпровідникового приладу.

Струм, який протікає через р-п переход, не щодить напівпровідниковому приладу і не може досягнути величини небезпечної для р-п переходу, оскільки потужність генератора запальнички дуже мала і струм визначається ємністю конденсатора C1 на **рис.2**. Конденсатор C1 повинен бути на робочу напругу більше 1500 В.

## Налагодження високовольтного тестера

Після того як схема зібрана, до тестера під'єднуємо тільки вольтметр. Вмикаємо живлення тестера, фіксуємо показ вольтметра. Вимикаємо тестер і міняємо місцями під'єднання точок A і B. Слід вибрати те підключення, де вольтметр покаже більшу напругу.

Вольтметр слугує навантаженням для малопотужного генератора високої напруги, тому повинен мати внутрішній опір 20 кОм/В (всього 24 МОм). При меншому внутрішньому опорі вольтметра генератор може не розвинути напругу 1000 В, а при більшому внутрішньому опорі вольтметра або без нього напруга на конденсаторі C1 може перевищити допустиму робочу напругу для C1. Живити тестер можна і від окремого джерела напругою 3 В при струмі 250 – 300mA. При вимкненні тестера контакти перемикача SA1-2 замикаються і конденсатор C1 розряджається через резистор R1, р-п переход напівпровідникового приладу виходить зі стану електричного пробою і напівпровідниковий прилад, надалі, придатний до застосування.

В **таблиці** наведено результати вимірювань напруги пробою деяких діодів і транзисторів.

Діоди	Напруга (В)	Транзистори	Напруга (В)
КД104Д	1100	КТ940А	570
КД226Б	300	КТ611БМ	500
КД7Б	600	КТ604АМ	400
КД212А	380	КТ805А	200
КД213А	320	КТ818БМ	100
КД220А	115	КТ801	60
КД18А	110	КТ315А	50
		МП25А	35

## Література

- Мороз К. Испытатель высоковольтных приборов // Радио. – 2008. – №12. – С. 23.
- Бутов А. Устройство для проверки высоковольтных транзисторов // Радио – 2003. – №3. – С. 22.

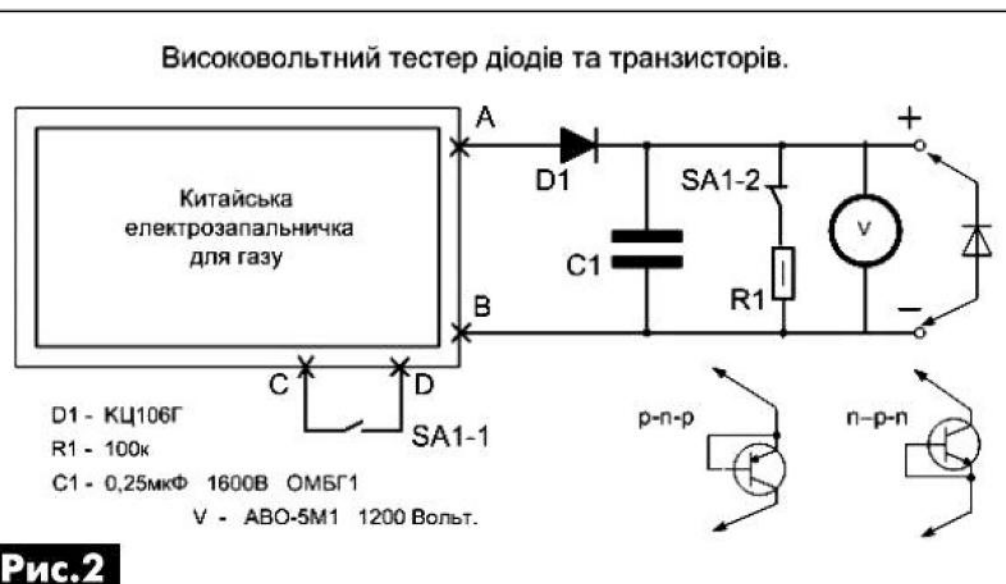


Рис.2

О.В. Белоусов, г. Черкассы

Общеизвестно, что триггер – один из самых распространенных узлов цифровых устройств. Широкое применение триггера связано с тем, что он имеет два состояния устойчивого равновесия и способен под действием управляющих сигналов скачком переходить из одного состояния в другое. Триггеры могут быть собраны на дискретных компонентах, на логических элементах в интегральном исполнении, а также выпускаются как готовые изделия в виде микросхем. Надо отметить, что в настоящее время на схемах практически не увидишь классический триггер, но в микросхемах памяти, микроконтроллерах их на одном кристалле может быть сформировано методами современной планарной технологии десятки тысяч и даже миллионы штук. Но иногда у радиолюбителей и специалистов может возникнуть необходимость в создании триггеров с необычными возможностями. К таким триггерам можно отнести триггеры на оптронах, о которых рассказано в этой статье.

Как известно, наиболее распространёнными логическими элементами в интегральном исполнении являются элементы «И-НЕ». На рис. 1 показана схема простейшего триггера на этих элементах. Управляется триггер по входу 1 и входу 2. Эти входы называют установочными и обозначают латинскими буквами S (от англ. Set – устанавливать) и R (от англ. Reset – восстанавливать, сбрасывать). Соответственно, такой триггер называют RS-триггером. Надо отметить, что для данного триггера входными активными уровнями являются низкие уровни (лог. «0»). Поэтому над буквами R и S на схемах стоят черточки (знаки инверсии).

Для микросхем ТТЛ логики питающее напряжение равно +5 В, а для микросхем, выполненных по КМОП-технологии, максимальное напряжение питания может достигать 18 В. А как быть, если питание электрон-

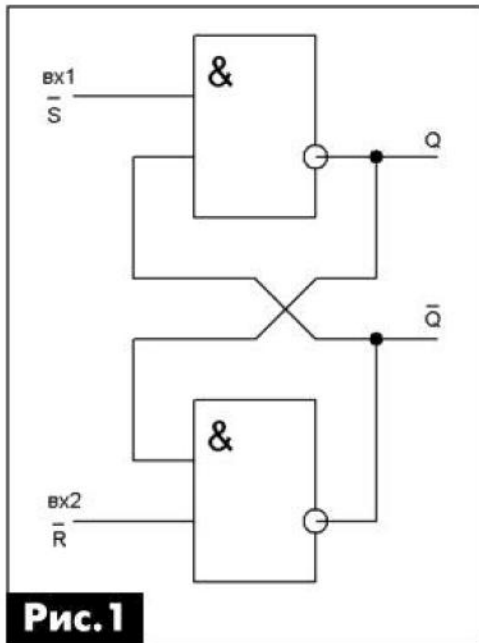


Рис.1

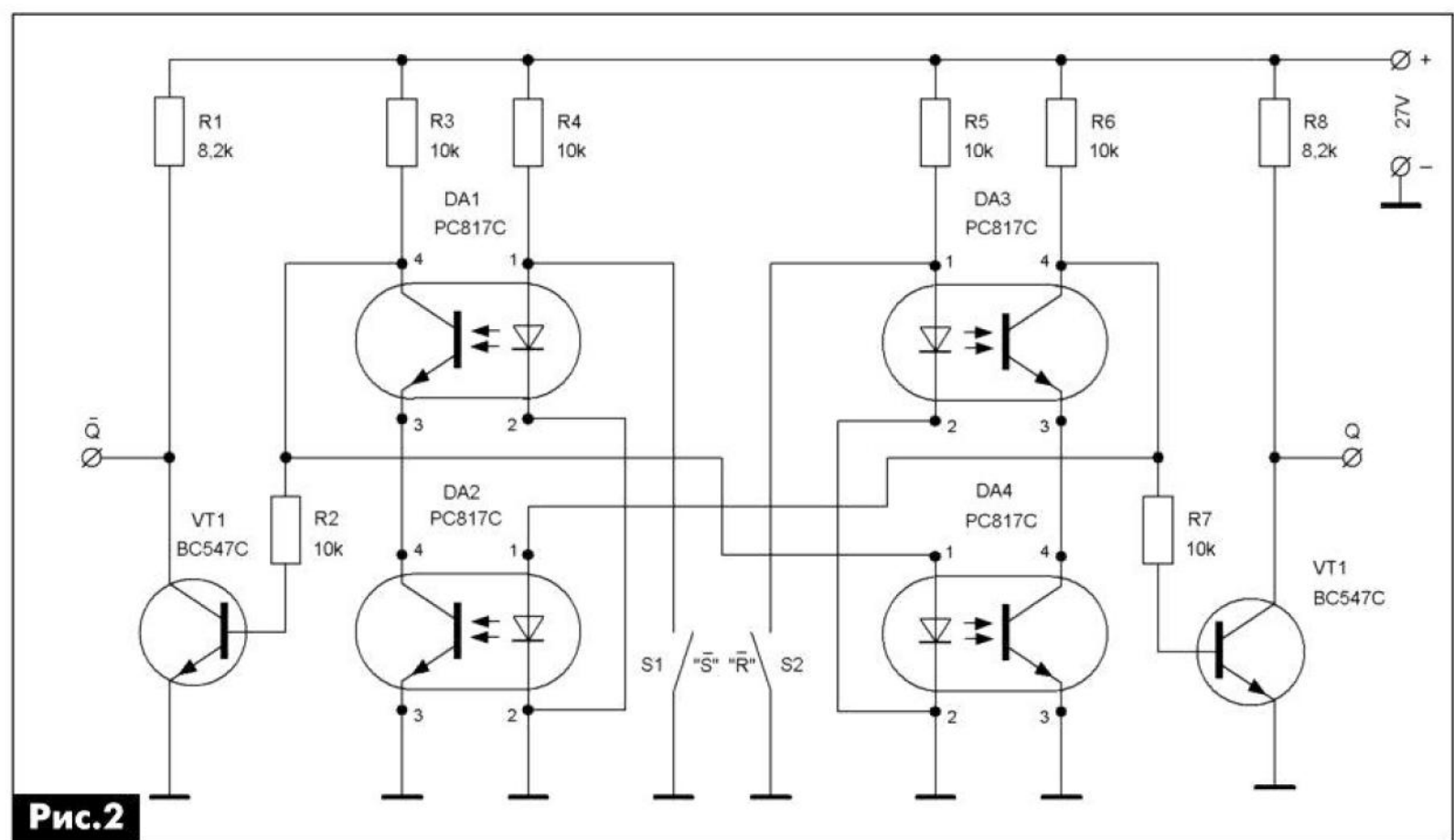


Рис.2

ного блока составляет, допустим, 27 В? Для КМОП-логики можно установить стабилизатор напряжения на 18 В. А если к тому же необходимо произвести гальваническую развязку входных цепей? Тогда на входе необходимо установить оптравы. Получается громоздкая схема. Можно, немного поразмыслив, собрать триггер на оптравах. Один из вариантов RS-триггера на транзисторных оптравах показан на рис.2.

Как видно из рис.2, фототранзисторы оптравов DA1, DA2 (так же, как DA3, DA4) включены последовательно. Это значит, что они выполняют функцию «И-НЕ». С выхода одного такого элемента «И-НЕ» на один из входов другого элемента «И-НЕ» осуществляется обратная связь, т.е. схема охвачена перекрёстными обратными связями, аналогично схеме, показанной на рис.1.

Резисторы R3, R6 служат нагрузкой, а R4, R5 задают ток светоизлучающих диодов оптравов DA1, DA3. Проблемой данного схемотехнического решения являются выходные уровни триггера. Низкий уровень отличается от потенциала общей шины на напряжение насыщения выходных транзисторов оптравов. А вот высокий уровень не превышает 1,0 В, так как к выходу подключен светоизлучающий диод оптрава противоположного плеча.

Это в большинстве случаев является недопустимым. Простой метод преодоления этой проблемы – подключить к выходу оптравов DA1, DA3 транзисторные ключи VT1 и VT2 соответственно. При этом происходит дополнительно инвертирование сигнала. Чтобы логика схемы полностью соответствовала показанной на рис.1, необходимо к выходам логических элементов DD1 и DD2 подключить дополнительно инверторы. Резисторы R1, R8 служат нагрузкой ключей и задают выход-

ной ток приблизительно 3,3 мА. Последовательно с ними или параллельно выводам К-Э транзисторов можно включить сверхъяркие светодиоды для индикации работы триггера.

Этот триггер работает следующим образом. Допустим, что на выходе оптрана DA1 присутствует низкий логический уровень, так как через светодиод DA1 протекает ток, а на выходе оптрана DA3 – высокий, и через светодиод DA2 протекает ток. При кратковременном замыкании ключа S1, шунтируется вход оптрана DA1, и он закрывается. Через обратную связь высокое напряжение подается на вход оптрана DA4, и он открывается, также открыт оптран DA3, так как через входной светодиод протекает ток от источника питания через R5. Следовательно, на выходе оптрана DA3 устанавливается низкий логический уровень. Ключи на транзисторах VT1, VT2 инвертируют выходные сигналы, приводя выходной уровень к потенциалу общей шины и потенциальному источнику питания соответственно. Далее, сколько бы раз не замыкали ключ S1, состояние триггера не изменится. Чтобы вернуть триггер в исходное состояние, необходимо кратковременно замкнуть ключ S2. Процессы происходят аналогично описанному выше, только закрывается оптран DA3, и открывается DA1. На коллекторах VT1, VT2 устанавливаются низкий и высокий логический уровень соответственно. Необходимо отметить, что вытекающий выходной ток триггера составляет приблизительно 3,3 мА, а втекающий выходной ток должен быть ограничен внешней схемой и не должен превы-

шать максимальный ток коллектора примененного типа транзистора.

Для макетирования схемы использовался односторонний фольгированный стеклотекстолит толщиной 1,5 мм и размерами 60x40 мм. Расположение электронных компонентов на плате показано на **рис.3**. Трассировка проводников с обратной стороны платы показана на **рис.4**.

Ещё один вариант триггера показан на **рис.5**. Здесь оптраны попарно включены по схеме «ИЛИ». Оптраны DA1, DA2 составляют одно плечо триггера, а DA3, DA4 – второе плечо. В этом триггере на выходе оптранов максимальное напряжение также не превышает 1,0 В. Поэтому к выходам оптранов подключены ключи на биполярных транзисторах VT1, VT2, обеспечивающих выходные уровни, близкие к потенциальному общей шины (лог. «0») и к напряжению питания (лог. «1»).

Описываемый триггер работает следующим образом. Допустим, на выходе оптрана DA1 присутствует высокий логический уровень, а на выходе оптрана DA4 – низкий логический уровень. При кратковременном размыкании ключа S1, через вход оптопары DA1 начинает протекать ток. На выходе оптрана устанавливается низкий логический уровень. При этом оптран DA3 закрывается, и на выходе устанавливается высокий логический уровень. Ключ на транзисторе VT2 инвертирует напряжение, устанавливая на коллекторе напряжение, близкое к потенциальному «земли». В то же время на коллекторе VT1 устанавливается напряжение источника питания. В дальнейшем, сколько ни размыкай ключ S1, триггер не переключится. Чтобы произвести восстановление исходного состояния триггера, необходимо кратковременно разомкнуть ключ S2. Выходной ток триггера также выбран 3,3 мА.

Схема была смонтирована на печатной плате из одностороннего фольгированного стеклотекстолита толщиной 1,5 мм, размерами 60x40 мм. Размещение радиоэлементов на плате показано на **рис.6**. Трассировка проводников на обратной стороне платы показана на **рис.7**.

Важной характеристикой транзисторного оптрана является параметр current transfer ratio (коэффициент передачи по току). У применённых оптранов он по справочным данным составляет от

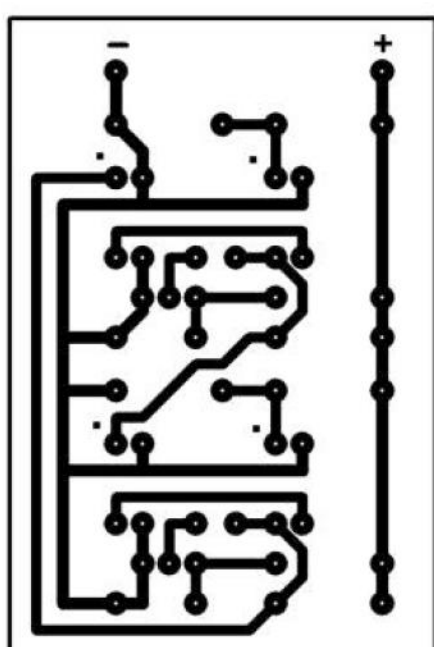


Рис.3

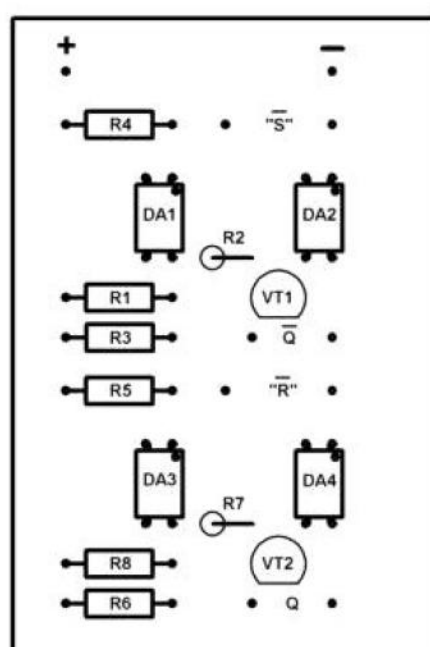


Рис.4

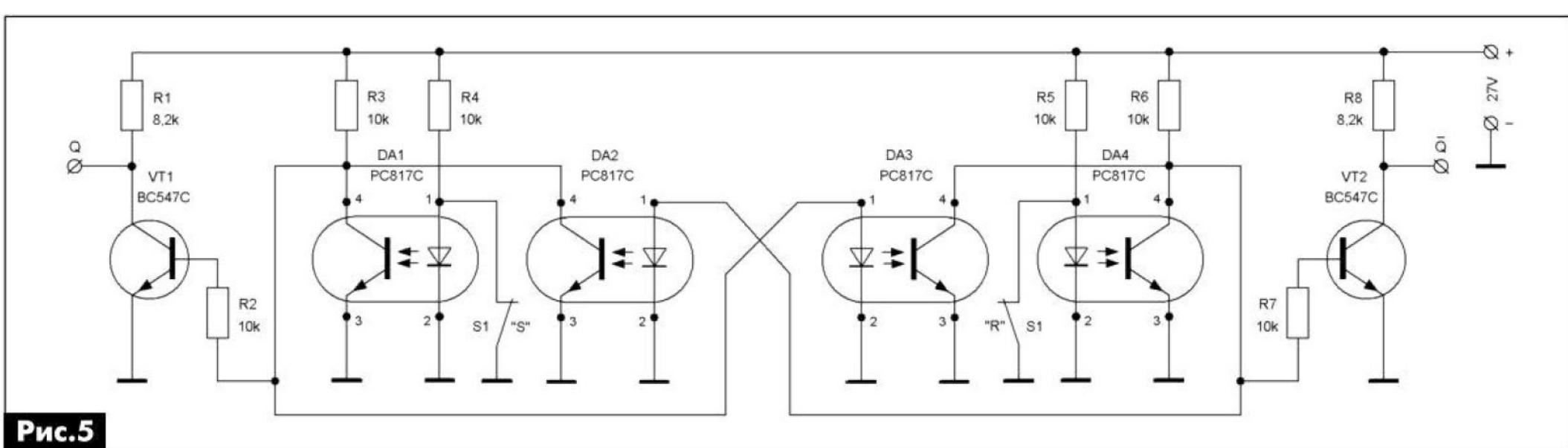


Рис.5

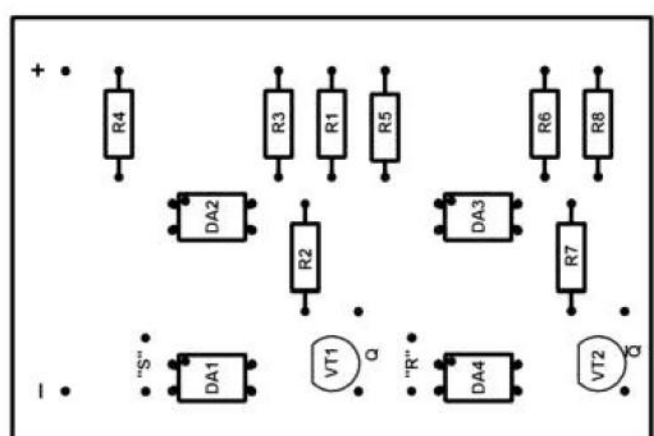


Рис.6

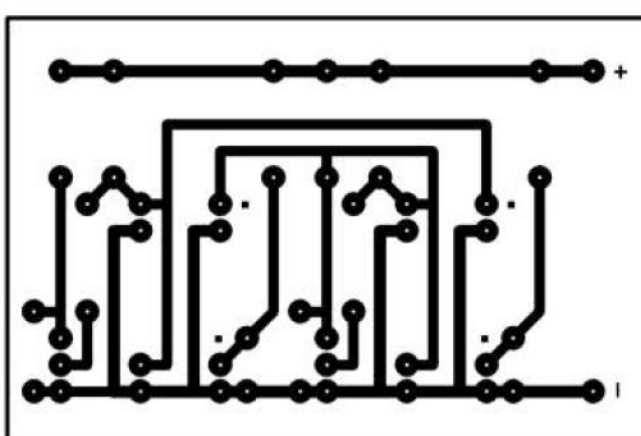


Рис.7

200 до 400%. При замене другим типом необходимо в соответствии с этим параметром пересчитать номиналы резисторов. Кроме одиночных оптронов выпускаются и счетверённые оптрыны в одном корпусе, например, PC847С. В этом случае плата становится компактнее и проще.

## Симисторный таймер

**В.Г. Никитенко, О.В. Никитенко, г. Киев**

Таймер, или реле времени, – это одна из самых распространенных радиолюбительских конструкций. Подобные самоделки можно встретить на кухне, в гараже и на даче у радиолюбителя. В свое время они широко использовались фотографами. Сейчас они незаменимы в домашней лаборатории радиолюбителя при изготовлении печатных плат и т.д. Об одной такой конструкции рассказано в настоящей статье.

Таймер, схема которого показана на **рис. 1**, позволяет включать довольно мощные нагрузки (до 2,2 кВт), варьируя время выдержки, в зависимости от используемой в схеме емкости конденсатора С1. Так, при емкости 150 мкФ таймер включается на время 1,5...10 мин, 330 мкФ – 3...22 мин, 470 мкФ – 5...35 мин. Таймер включают кнопкой SA2. Время выдержки задают переменным резистором R7. Для задания нового временного интервала достаточно кратковременно нажать кнопку SA2.

Таймер питается от маломощного трансформатора 220/15 В с выпрямительным мостом (на **рис. 1** не показаны), подключенного к вилке ±15 В.

### Схема и принцип действия

После включения в сеть 220 В, если переключатель SA1 установлен в положении «Включено», загораются светодиоды HL1–HL3. Затем временно (на 7...10 с) SA1 переводят в положение «Выключено», чтобы конденсатор С1 быстрее зарядился через небольшое сопротивление резистора R5. После чего снова включают SA1. При этом светодиоды HL1 и HL3 гаснут, сигнализируя, что симистор VS1 выключен (контакт K1 разомкнут). Переменный резистор R7 задает требуемое время включения симистора VS1.

Для включения таймера (с подключенной нагрузкой или без нее) необходимо кратковременно нажать кнопку SA2 (конденсатор С1 быстро разрядится). При нажатии кнопки SA2 светодиоды HL1, HL3 синхронно загораются. Симистор VS1 включается – контакт реле K1 замкнут. При этом время горения светодиодов HL1, HL3 (до их погасания) и есть время включения симистора VS1.

Схема **рис. 1** содержит истоковый повторитель на полевом транзисторе VT1, операционный усилитель DA1.1, включенный по схеме усилителя постоянного тока, который управляет триггером Шmittта [1], собранном на DA1.2, и эмиттерный пов-

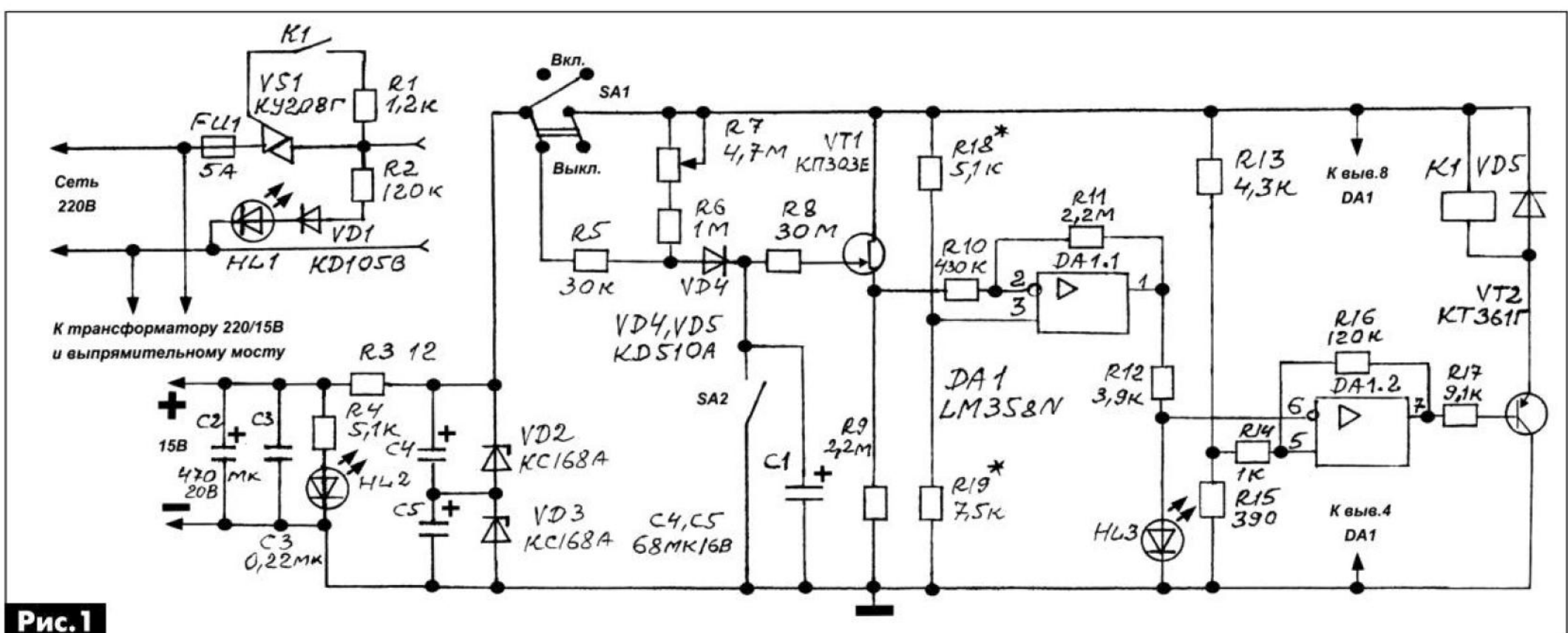


Рис.1

торитель (ЭП) на р-п-р-транзисторе VT2. Этот ЭП нагружен маломощным реле K1, контакты которого управляют включением симистора VS1. Индикация включеного состояния симистора VS1 обеспечивается светодиодом HL1. Светодиод HL3 – индикатор состояния усилителя постоянного тока.

#### Детали

Все резисторы МЛТ-0,25, МЛТ-0,5 (R1, R2), МЛТ-2 (R3). Резистор R8 малогабаритный номиналом 27...33 МОм типа С3-13. В качестве K1 применено реле РКГ15, которое хорошо себя зарекомендовало в [2], поэтому авторы на оптронное (бесконтактное) реле не перешли. Вместо указанного реле можно применить другое герконовое реле с сопротивлением обмотки 700...900 Ом. Вместо DA1 можно использовать TL082 или компаратор LM393. В последнем случае открытые коллекторы DA1 [1] необходимо нагрузить (контакты 1, 7 DA1). Кроме указанных можно использовать и другие сдвоенные ОУ, например КР574УД2Б, который имеет другое расположение выводов.

Светодиоды HL1–HL3 любого типа. Вместо КП303Е можно использовать КП303Д. Транзистор KT361Г можно заменить любым другим транзистором структуры р-п-р с близкими параметрами. Высоковольтный диод VD1 типа КД105 с буквенными индексами Б, В, Г. Вместо него можно также использовать КД109В, КД209А-В или другой высоковольтный. Низковольтные диоды типа КД510А, КД503, Д223, КД522 и др. Переменный резистор R7 типа СП3-9А. Переключатель SA1 типа ПТ5-1, П2Т-1-1В

или аналогичный. В качестве SA2 использована макрокнопка МПК1-4В, МПЗ-1 или аналогичная. Симистор VS1 может быть на ток 5 А (2У208Г, КУ208Г) или 10 А (TC2-10, TC106-10-6, TC112-10-6), установленный на радиатор и смонтированный корпусом к нагрузке [2]. Стабилитроны VD2, VD3 – типа КС168А; можно заменить на КС468А в металлическом корпусе. Конденсаторы малогабаритные на рабочее напряжение 16...25 В любого производителя.

#### Наладка

Перед налаживанием следует проверить правильность монтажа и напряжение питания (13,5...15 В) таймера. Затем подбором номинала резисторов R18, R19 добиваются требуемого времени выдержки.

Если при наладке окажется, что номиналы резисторов R18, R19 одинаковые по величине, то указанные резисторы можно не устанавливать, а вывод 3 микросхемы DA1 подключить к общей точке VD2, VD3, C4, C5. После указанных операций необходимо проверить работу таймера включением кнопок SA1 и SA2, как указано выше.

При наладке и эксплуатации таймера необходимо соблюдать правила техники безопасности.

#### Литература

- Медуховский Д. Стабилизатор тока для светодиодного фонаря // Радио. – 2011. – №8. – С.21.
- Никитенко В., Никитенко О. Симисторный регулятор мощности для теплоинерционных нагрузок // Радиоаматор. – 2011. – №4. – С.35.

## ОДНО- И ТРЕХФАЗНЫЕ СЧЕТЧИКИ ЭЛЕКТРИЧЕСКОЙ ЭНЕРГИИ

ПРОИЗВОДСТВА КОМПАНИИ СЭА

**Самые низкие цены!**



Счетчики соответствуют классу точности 1,0 по ГОСТ 30207 и ДСТУ IEC 61036 - при измерении активной энергии, и классу точности 2,0 по ДСТУ IEC 61268 - при измерении реактивной энергии, а также - СОУ-Н МПЕ 40.1.35.110-2005.



Счетчик соответствует требованиям ГОСТ 30207-94 и СОУ-Н МПЕ 40.1.35.110-2005. Номер в Государственном реестре средств измерительной техники: У2802-08



Украина, 02094, г. Киев, ул. Krakovskaya, 13-Б  
тел.: (044) 291-00-41, факс: (044) 291-00-42

Региональные представительства:  
Донецк, Харьков, Днепропетровск, Одесса, Львов, Севастополь

e-mail: info@sea.com.ua

[www.sea.com.ua](http://www.sea.com.ua)

С.М. Рюмик, г. Чернигов

(Продолжение. Начало см. в РА 3-9/2012)

В очередной статье цикла будет завершен рассказ о конструировании музыкального звонка «Pianobell», начатый в РА9 /2012. Кроме того, речь пойдет про системы дистанционного управления на основе телевизионных пультов с кодированием по системе RC-5. Фирма STM для своих микроконтроллеров рекомендует применять сложные алгоритмы распознавания кода RC-5 с использованием таймеров ([http://www.st.com/internet/com/TECHNICAL\\_RESOURCES/TECHNICAL\\_LITERATURE/APPLICATION\\_NOTE/CD00267896.pdf](http://www.st.com/internet/com/TECHNICAL_RESOURCES/TECHNICAL_LITERATURE/APPLICATION_NOTE/CD00267896.pdf)). Однако все это можно сделать проще, без прерываний и на обычных линиях портов GPIO.

Динамиков в «Pianobell» пять, при этом они располагаются веером, чтобы получилось оригинальное пространственное звучание (рис.61). Звук

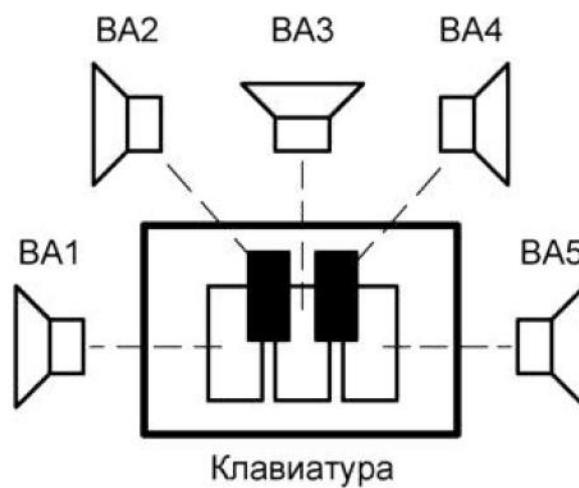


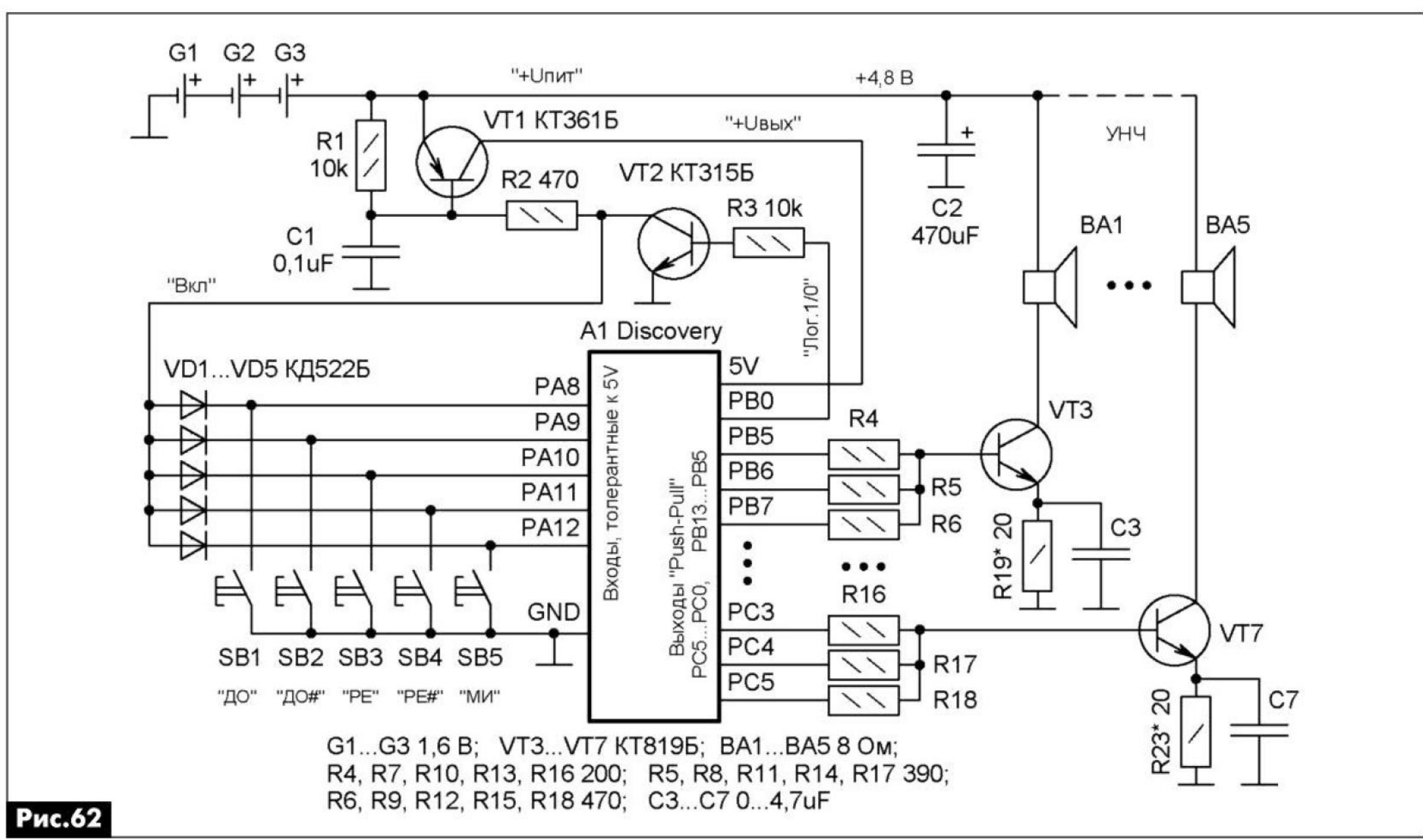
Рис.61



каждой ноты формируется трехчастотным способом со сдвигом частоты на одну и две октавы вниз, примерно так, как у органа.

Электрическая схема музыкального звонка показана на рис.62. Назначение элементов:

- A1 – модуль Discovery или аналогичный ему самодельный «девайс»;
- SB1...SB5 – кнопки клавиатуры пианино. Токи через них задаются Pull-Up резисторами внутри MK;
- VD1...VD5 – логический элемент «5ИЛИ» для включения питания MK при нажатии на любую из кнопок SB1...SB5. Диоды могут быть как кремниевыми, так и с барьером Шоттки;
- VT1, VT2, R1...R3, C1 – блок коммутации, аналогичный приведенному в [7]. Конденсатор C1 повышает помехоустойчивость. Транзисторы – мало мощные, их тип не критичен;
- C2 – накопительный конденсатор емкостью 220...1000 мкФ, обязательный при батарейном питании звонка;



- VT3...VT7, BA1...BA5, R19\*...R23\*, C3...C7 – пятиканальный УНЧ с транзисторами средней или большой мощности. Сопротивление громкоговорителей 4...16 Ом, мощность 0,5...4 Вт;
- R4...R18 – смесители сигналов основной и деленной на 2 и 4 частоты для каждой ноты;
- G1...G3 – батарейки «Alkaline» с низким током саморазряда во времени.

Клавиатуру можно применить от детского электронного пианино, доработав его корпус. Динамики должны быть расположены полукругом в очередности, совпадающей с порядком расположения кнопок клавиатуры.

Программа для МК приведена в **листеинге 7**. Ее структура похожа на листинг 3 (см. РА 7-8/2012), поэтому пояснения будут краткими.

### Листинг 7

```

1 //Музыкальный дверной звонок "Pianobell", РА9/2012
2 #include "stm32f10x_gpio.h" //Библиотека GPIO
3 #define CLOSE 0xb0000 //Самовыключение питания через 3 с
4 #define TIMES 2 //Константа задержки времени
5 void setup(void); //Начальная настройка линий портов
6 void delay(u32 tmp); //Функция задержки времени
7 //=====
8 int main(void) //Проект "pianobell", STM32VLDiscovery
9 { u32 pause=0; //Счетчик времени самовыключения питания
10    setup(); //PA8...12=Up; PB5...13=PC0...5=лог.0; PB0=лог.1
11    while(1) //Бесконечный цикл
12    { if(!GPIOA_ReadInputDataBit(GPIOA, GPIO_Pin_8)) //Клав.SB1
13      { delay(667); GPIOB->ODR ^= GPIO_Pin_5; //Fдо
14        delay(668); GPIOB->ODR ^= GPIO_Pin_5; //Fдо
15        GPIOB->ODR ^= GPIO_Pin_6; //Fдо:2
16        delay(667); GPIOB->ODR ^= GPIO_Pin_5; //Fдо
17        delay(668); GPIOB->ODR ^= GPIO_Pin_5; //Fдо
18        GPIOB->ODR ^= GPIO_Pin_6; //Fдо:2
19        pause=0;   GPIOB->ODR ^= GPIO_Pin_7; //Fдо:4
20      }
21      else //Проверка нажатия клавиши SB2 (нота "до#")
22      { if(!GPIOA_ReadInputDataBit(GPIOA, GPIO_Pin_9))
23        { delay(630); GPIOB->ODR ^= GPIO_Pin_8; //Fдо#
24          delay(631); GPIOB->ODR ^= GPIO_Pin_8; //Fдо#
25          GPIOB->ODR ^= GPIO_Pin_9; //Fдо#:2
26          delay(630); GPIOB->ODR ^= GPIO_Pin_8; //Fдо#
27          delay(631); GPIOB->ODR ^= GPIO_Pin_8; //Fдо#
28          GPIOB->ODR ^= GPIO_Pin_9; //Fдо#:2
29          pause=0;   GPIOB->ODR ^= GPIO_Pin_10; //Fдо#:4
30        }
31      else //Проверка нажатия клавиши SB3 (нота "ре")
32      { if(!GPIOA_ReadInputDataBit(GPIOA, GPIO_Pin_10))
33        { delay(594); GPIOB->ODR ^= GPIO_Pin_11; //Fре
34          delay(595); GPIOB->ODR ^= GPIO_Pin_11; //Fре
35          GPIOB->ODR ^= GPIO_Pin_12; //Fре:2
36          delay(594); GPIOB->ODR ^= GPIO_Pin_11; //Fре
37          delay(595); GPIOB->ODR ^= GPIO_Pin_11; //Fре:2
38          pause=0;   GPIOB->ODR ^= GPIO_Pin_13; //Fре:4
39        }
40      else //Проверка нажатия клавиши SB4 (нота "ре#")
41      { if(!GPIOA_ReadInputDataBit(GPIOA, GPIO_Pin_11))
42        { delay(560); GPIOC->ODR ^= GPIO_Pin_0; //Fре#
43          delay(561); GPIOC->ODR ^= GPIO_Pin_0; //Fре#
44          GPIOC->ODR ^= GPIO_Pin_1; //Fре#:2
45          delay(560); GPIOC->ODR ^= GPIO_Pin_0; //Fре#
46          delay(561); GPIOC->ODR ^= GPIO_Pin_0; //Fре#
47          GPIOC->ODR ^= GPIO_Pin_1; //Fре#:2
48          pause=0;   GPIOC->ODR ^= GPIO_Pin_2; //Fре#:4
49        }
50      else //Проверка нажатия клавиши SB5 (нота "ми")
51      { if(!GPIOA_ReadInputDataBit(GPIOA, GPIO_Pin_12))
52        { delay(529); GPIOC->ODR ^= GPIO_Pin_3; //Fми
53          delay(530); GPIOC->ODR ^= GPIO_Pin_3; //Fми
54          GPIOC->ODR ^= GPIO_Pin_4; //Fми:2
55          delay(529); GPIOC->ODR ^= GPIO_Pin_3; //Fми
56          delay(530); GPIOC->ODR ^= GPIO_Pin_3; //Fми
57          GPIOC->ODR ^= GPIO_Pin_4; //Fми:2
58          pause=0;   GPIOC->ODR ^= GPIO_Pin_5; //Fми:4
59        }
60      else //Если ни одна из клавиш не нажата
61      { if(pause++ > CLOSE) //Задержка самовыключения
62        { GPIOA->ODR = 0x00000000; //Линии порта "A"
63          GPIOA->CRL = 0x88888888; //настраиваются на
64          GPIOA->CRH = 0x88888888; //вход с Pull-Down
65          GPIO_ResetBits(GPIOB, GPIO_Pin_0); //Выкл.
66          } //Аппаратное выключение питания от линии PB0
67        }
68      }
69      }
70      }
71      }
72      }
73      }
74      }
75      void delay(u32 tmp) //tmp=0...0xFFFFFFFF
76      { u32 b; //Переменная задержки времени
77      for(; tmp > 0; tmp--) //Внешний цикл
78      { for(b=0; b < TIMES; b++); //Внутренний цикл
79      }
80      }
81      }
82      }
83      }
84      }
85      }
86      }
87      }
88      }
89      }
90      }
91      }
92      }
93      }
94      }
95      }
96      }
97      }
98      }
99      }
100     }
101     }
102     }
103     }
104     }
105     }
106     }
107     }
108     }
109     }
110     }
111     }
112     }
113     }
114     }
115     }
116     }
117     }
118     }
119     }
120     }
121     }
122     }
123     }
124     }
125     }
126     }
127     }
128     }
129     }
130     }
131     }
132     }
133     }
134     }
135     }
136     }
137     }
138     }
139     }
140     }
141     }
142     }
143     }
144     }
145     }
146     }
147     }
148     }
149     }
150     }
151     }
152     }
153     }
154     }
155     }
156     }
157     }
158     }
159     }
160     }
161     }
162     }
163     }
164     }
165     }
166     }
167     }
168     }
169     }
170     }
171     }
172     }
173     }
174     }
175     }
176     }
177     }
178     }
179     }
180     }
181     }
182     }
183     }
184     }
185     }
186     }
187     }
188     }
189     }
190     }
191     }
192     }
193     }
194     }
195     }
196     }
197     }
198     }
199     }
200     }
201     }
202     }
203     }
204     }
205     }
206     }
207     }
208     }
209     }
210     }
211     }
212     }
213     }
214     }
215     }
216     }
217     }
218     }
219     }
220     }
221     }
222     }
223     }
224     }
225     }
226     }
227     }
228     }
229     }
230     }
231     }
232     }
233     }
234     }
235     }
236     }
237     }
238     }
239     }
240     }
241     }
242     }
243     }
244     }
245     }
246     }
247     }
248     }
249     }
250     }
251     }
252     }
253     }
254     }
255     }
256     }
257     }
258     }
259     }
260     }
261     }
262     }
263     }
264     }
265     }
266     }
267     }
268     }
269     }
270     }
271     }
272     }
273     }
274     }
275     }
276     }
277     }
278     }
279     }
280     }
281     }
282     }
283     }
284     }
285     }
286     }
287     }
288     }
289     }
290     }
291     }
292     }
293     }
294     }
295     }
296     }
297     }
298     }
299     }
300     }
301     }
302     }
303     }
304     }
305     }
306     }
307     }
308     }
309     }
310     }
311     }
312     }
313     }
314     }
315     }
316     }
317     }
318     }
319     }
320     }
321     }
322     }
323     }
324     }
325     }
326     }
327     }
328     }
329     }
330     }
331     }
332     }
333     }
334     }
335     }
336     }
337     }
338     }
339     }
340     }
341     }
342     }
343     }
344     }
345     }
346     }
347     }
348     }
349     }
350     }
351     }
352     }
353     }
354     }
355     }
356     }
357     }
358     }
359     }
360     }
361     }
362     }
363     }
364     }
365     }
366     }
367     }
368     }
369     }
370     }
371     }
372     }
373     }
374     }
375     }
376     }
377     }
378     }
379     }
380     }
381     }
382     }
383     }
384     }
385     }
386     }
387     }
388     }
389     }
390     }
391     }
392     }
393     }
394     }
395     }
396     }
397     }
398     }
399     }
400     }
401     }
402     }
403     }
404     }
405     }
406     }
407     }
408     }
409     }
410     }
411     }
412     }
413     }
414     }
415     }
416     }
417     }
418     }
419     }
420     }
421     }
422     }
423     }
424     }
425     }
426     }
427     }
428     }
429     }
430     }
431     }
432     }
433     }
434     }
435     }
436     }
437     }
438     }
439     }
440     }
441     }
442     }
443     }
444     }
445     }
446     }
447     }
448     }
449     }
450     }
451     }
452     }
453     }
454     }
455     }
456     }
457     }
458     }
459     }
460     }
461     }
462     }
463     }
464     }
465     }
466     }
467     }
468     }
469     }
470     }
471     }
472     }
473     }
474     }
475     }
476     }
477     }
478     }
479     }
480     }
481     }
482     }
483     }
484     }
485     }
486     }
487     }
488     }
489     }
490     }
491     }
492     }
493     }
494     }
495     }
496     }
497     }
498     }
499     }
500     }
501     }
502     }
503     }
504     }
505     }
506     }
507     }
508     }
509     }
510     }
511     }
512     }
513     }
514     }
515     }
516     }
517     }
518     }
519     }
520     }
521     }
522     }
523     }
524     }
525     }
526     }
527     }
528     }
529     }
530     }
531     }
532     }
533     }
534     }
535     }
536     }
537     }
538     }
539     }
540     }
541     }
542     }
543     }
544     }
545     }
546     }
547     }
548     }
549     }
550     }
551     }
552     }
553     }
554     }
555     }
556     }
557     }
558     }
559     }
560     }
561     }
562     }
563     }
564     }
565     }
566     }
567     }
568     }
569     }
570     }
571     }
572     }
573     }
574     }
575     }
576     }
577     }
578     }
579     }
580     }
581     }
582     }
583     }
584     }
585     }
586     }
587     }
588     }
589     }
590     }
591     }
592     }
593     }
594     }
595     }
596     }
597     }
598     }
599     }
600     }
601     }
602     }
603     }
604     }
605     }
606     }
607     }
608     }
609     }
610     }
611     }
612     }
613     }
614     }
615     }
616     }
617     }
618     }
619     }
620     }
621     }
622     }
623     }
624     }
625     }
626     }
627     }
628     }
629     }
630     }
631     }
632     }
633     }
634     }
635     }
636     }
637     }
638     }
639     }
640     }
641     }
642     }
643     }
644     }
645     }
646     }
647     }
648     }
649     }
650     }
651     }
652     }
653     }
654     }
655     }
656     }
657     }
658     }
659     }
660     }
661     }
662     }
663     }
664     }
665     }
666     }
667     }
668     }
669     }
670     }
671     }
672     }
673     }
674     }
675     }
676     }
677     }
678     }
679     }
680     }
681     }
682     }
683     }
684     }
685     }
686     }
687     }
688     }
689     }
690     }
691     }
692     }
693     }
694     }
695     }
696     }
697     }
698     }
699     }
700     }
701     }
702     }
703     }
704     }
705     }
706     }
707     }
708     }
709     }
710     }
711     }
712     }
713     }
714     }
715     }
716     }
717     }
718     }
719     }
720     }
721     }
722     }
723     }
724     }
725     }
726     }
727     }
728     }
729     }
730     }
731     }
732     }
733     }
734     }
735     }
736     }
737     }
738     }
739     }
740     }
741     }
742     }
743     }
744     }
745     }
746     }
747     }
748     }
749     }
750     }
751     }
752     }
753     }
754     }
755     }
756     }
757     }
758     }
759     }
760     }
761     }
762     }
763     }
764     }
765     }
766     }
767     }
768     }
769     }
770     }
771     }
772     }
773     }
774     }
775     }
776     }
777     }
778     }
779     }
780     }
781     }
782     }
783     }
784     }
785     }
786     }
787     }
788     }
789     }
790     }
791     }
792     }
793     }
794     }
795     }
796     }
797     }
798     }
799     }
800     }
801     }
802     }
803     }
804     }
805     }
806     }
807     }
808     }
809     }
810     }
811     }
812     }
813     }
814     }
815     }
816     }
817     }
818     }
819     }
820     }
821     }
822     }
823     }
824     }
825     }
826     }
827     }
828     }
829     }
830     }
831     }
832     }
833     }
834     }
835     }
836     }
837     }
838     }
839     }
840     }
841     }
842     }
843     }
844     }
845     }
846     }
847     }
848     }
849     }
850     }
851     }
852     }
853     }
854     }
855     }
856     }
857     }
858     }
859     }
860     }
861     }
862     }
863     }
864     }
865     }
866     }
867     }
868     }
869     }
870     }
871     }
872     }
873     }
874     }
875     }
876     }
877     }
878     }
879     }
880     }
881     }
882     }
883     }
884     }
885     }
886     }
887     }
888     }
889     }
890     }
891     }
892     }
893     }
894     }
895     }
896     }
897     }
898     }
899     }
900     }
901     }
902     }
903     }
904     }
905     }
906     }
907     }
908     }
909     }
910     }
911     }
912     }
913     }
914     }
915     }
916     }
917     }
918     }
919     }
920     }
921     }
922     }
923     }
924     }
925     }
926     }
927     }
928     }
929     }
930     }
931     }
932     }
933     }
934     }
935     }
936     }
937     }
938     }
939     }
940     }
941     }
942     }
943     }
944     }
945     }
946     }
947     }
948     }
949     }
950     }
951     }
952     }
953     }
954     }
955     }
956     }
957     }
958     }
959     }
960     }
961     }
962     }
963     }
964     }
965     }
966     }
967     }
968     }
969     }
970     }
971     }
972     }
973     }
974     }
975     }
976     }
977     }
978     }
979     }
980     }
981     }
982     }
983     }
984     }
985     }
986     }
987     }
988     }
989     }
990     }
991     }
992     }
993     }
994     }
995     }
996     }
997     }
998     }
999     }
1000     }
1001     }
1002     }
1003     }
1004     }
1005     }
1006     }
1007     }
1008     }
1009     }
1010     }
1011     }
1012     }
1013     }
1014     }
1015     }
1016     }
1017     }
1018     }
1019     }
1020     }
1021     }
1022     }
1023     }
1024     }
1025     }
1026     }
1027     }
1028     }
1029     }
1030     }
1031     }
1032     }
1033     }
1034     }
1035     }
1036     }
1037     }
1038     }
1039     }
1040     }
1041     }
1042     }
1043     }
1044     }
1045     }
1046     }
1047     }
1048     }
1049     }
1050     }
1051     }
1052     }
1053     }
1054     }
1055     }
1056     }
1057     }
1058     }
1059     }
1060     }
1061     }
1062     }
1063     }
1064     }
1065     }
1066     }
1067     }
1068     }
1069     }
1070     }
1071     }
1072     }
1073     }
1074     }
1075     }
1076     }
1077     }
1078     }
1079     }
1080     }
1081     }
1082     }
1083     }
1084     }
1085     }
1086     }
1087     }
1088     }
1089     }
1090     }
1091     }
1092     }
1093     }
1094     }
1095     }
1096     }
1097     }
1098     }
1099     }
1100     }
1101     }
1102     }
1103     }
1104     }
1105     }
1106     }
1107     }
1108     }
1109     }
1110     }
1111     }
1112     }
1113     }
1114     }
1115     }
1116     }
1117     }
1118     }
1119     }
1120     }
1121     }
1122     }
1123     }
1124     }
1125     }
1126     }
1127     }
1128     }
1129     }
1130     }
1131     }
1132     }
1133     }
1134     }
1135     }
1136     }
1137     }
1138     }
1139     }
1140     }
1141     }
1142     }
1143     }
1144     }
1145     }
1146     }
1147     }
1148     }
1149     }
1150     }
1151     }
1152     }
1153     }
1154     }
1155     }
1156     }
1157     }
1158     }
1159     }
1160     }
1161     }
1162     }
1163     }
1164     }
1165     }
1166     }
1167     }
1168     }
1169     }
1170     }
1171     }
1
```

## Декодирование импульсов кода RC-5

Идея использования телевизионных пультов для удаленного управления аппаратурой не нова. По инфракрасному каналу можно посыпать команды на расстояние примерно до 6 м. Для приема информации, как правило, используют интегральные фотомодули, напрямую подключенные к МК (рис.63).

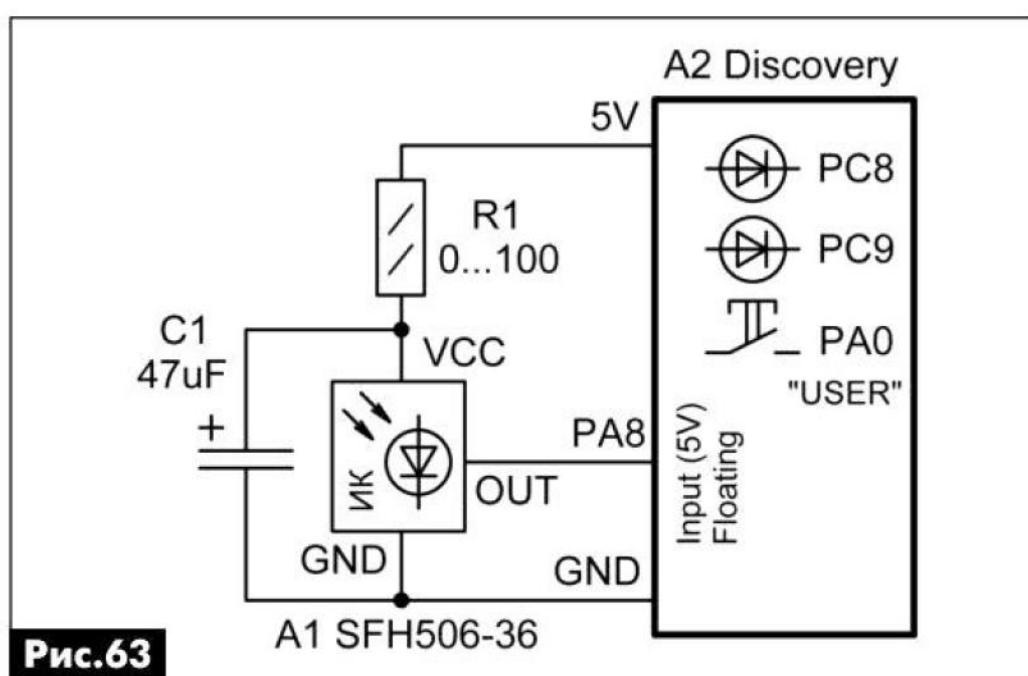


Рис.63

Фотоприемник A1 – это малогабаритный трехвыводной интегральный модуль, применяемый в системах ДУ телевизоров, видеоплееров и т.д. Элементы R1, C1 фильтруют питание. В некритичных случаях они могут отсутствовать [1]. Между выводами VCC и OUT модуля A1 находится внутренний резистор сопротивлением 80...100 кОм. В связи с этим сигнал OUT должен поступать в МК на линию, толерантную к напряжению 5 В.

Формат посылок приведен на рис.64, технические подробности освещены в [8]. Каждый пульт имеет свой адрес, который определяет его функциональное назначение. Например, адрес телевизионных пультов 0x00, 0x01, адрес пультов видеомагнитофонов – 0x05, 0x06 и т.д. Каждая кнопка пульта имеет свою команду. Например, кнопки 0...9, соответственно, 0x00...0x09, кнопки «+», «-» – 0x10, 0x11.

Для декодирования посылок в МК обычно применяют программные алгоритмы, основанные на таймерах и прерываниях. Но зачем же так сложно? Пульт, как правило, используют для эпизодического изменения режимов. Это не игровой джойстик, кнопки которого нажимают быстрее, чем думают. То есть, можно обойтись периодическим опросом линии OUT без системы прерываний. Кроме того, задержки времени в коде RC-5 допускают разброс длительностей, что позволяет использовать программные таймауты, предусмотрев их визуальную регулировку при тестировании.

Программа для МК приведена в листинге 8. Алгоритм декодирования заимствован из авторской разработки для AVR-контроллеров ([http://rh.qrz.ru/ZIP/audio2\\_list1.rar](http://rh.qrz.ru/ZIP/audio2_list1.rar)). Тем, кто не

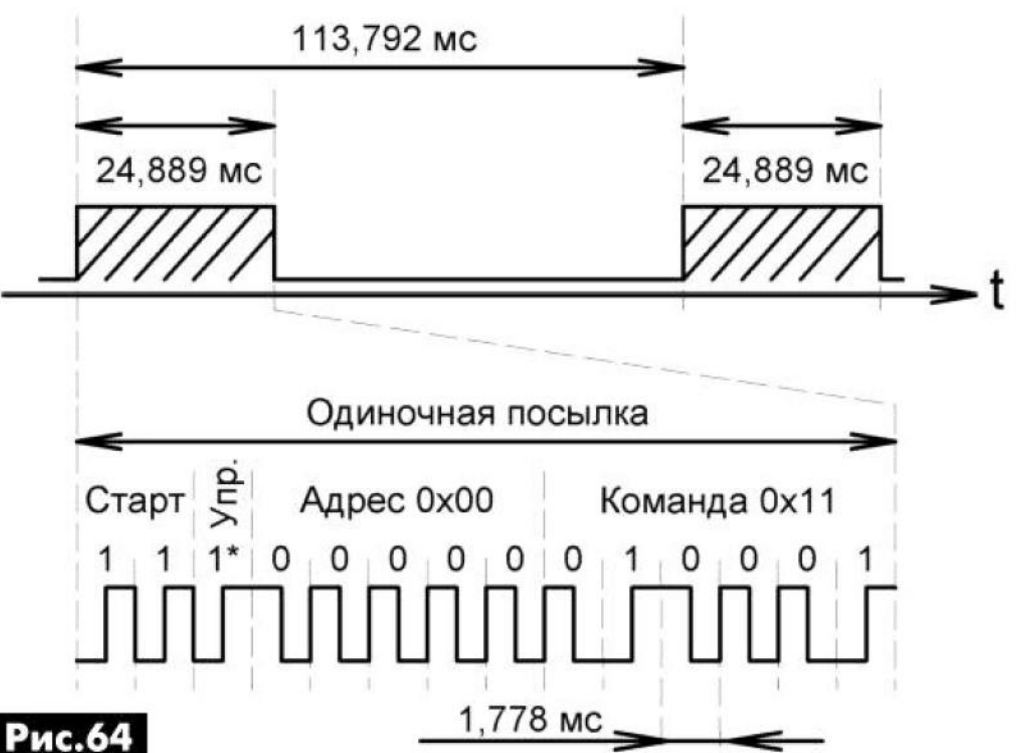


Рис.64

собирается применять код RC-5 на практике, будет полезным сравнить листинги и посмотреть, каким образом обходятся стороной таймеры и прерывания.

### Краткие пояснения.

Строка 3. Все измерения в алгоритме декодирования RC-5 построены на базовом отрезке времени 111 мкс. В заимствованном листинге этот отрезок формировался таймером. В данном слу-

### Листинг 8

```

1 //Прием сигналов от ИК-пульта (код RC-5), PA10/2012
2 #include "stm32f10x_gpio.h" //Библиотека GPIO
3 #define TIMES 0x109 //Регулирование задержки времени 111 мкс
4 #define RC5addr 0x00 //0x00 или 0x01 - адрес ТВ-пульта RC-5
5 #define RC5p 0x10 //Код команды "+" на пульте RC-5
6 #define RC5m 0x10 //Код команды "-" на пульте RC-5
7 #define WAIT { delay111(); count++; } //Сокращение текста
8 void setup(void); //Начальная настройка линий портов
9 void delay111(void); //Функция задержки времени 111 мкс
10 unsigned char rc5decoder(void); //Декодирование импульсов RC-5
11 //=====
12 int main(void) //Проект "rc5", STM32VLDiscovery
13 { vu32 a; //счетчик
14   setup(); //PA0=PA8=вход Floating; PC8=PC9=выход с лог. "0"
15   while(1) //Бесконечный цикл
16   { if(GPIO_ReadInputDataBit(GPIOA, GPIO_Pin_0)) //Опрос кнопки
17     { while(1) //Тестовое мигание синего светодиода (2 с)
18       { GPIO_SetBits(GPIOC, GPIO_Pin_8); //Включение светодиода
19         for(a=0; a<9009; a++) delay111(); //Задержка 1 с
20         GPIO_ResetBits(GPIOC, GPIO_Pin_8); //Выключ. светодиода
21         for(a=0; a<9009; a++) delay111(); //Задержка 1 с
22       } //При тесте по секундомеру измеряется период 2 с
23     }
24   //Включение/выключение зеленого светодиода кнопками ПДУ "+"/-
25   if(rc5decoder() == RC5p) GPIO_SetBits(GPIOC, GPIO_Pin_9);
26   if(rc5decoder() == RC5m) GPIO_ResetBits(GPIOC, GPIO_Pin_9);
27 }
28 //-----функция декодирования импульсов RC-5-----
29 unsigned char rc5decoder(void) //0...0x3F - команда, 0xFF - сбой
30 { unsigned char count=0, h=0, j=0; //Вспомогательные счетчики
31   unsigned int data=0x0001; //Пакет данных из 14 бит
32   while((!GPIO_ReadInputDataBit(GPIOA, GPIO_Pin_8))&&
33     (count<11)) WAIT //Разбивка длинного оператора на 2 строки
34   if((count > 6)&&(count < 11)) //Проверка фронта
35   { while(count < 14) WAIT //Переход к следующему биту
36     for(h=0; h<13; h++) //Цикл обработки 13 битов
37     { data = data << 1; //Сдвиг влево пакета данных
38       if(GPIO_ReadInputDataBit(GPIOA, GPIO_Pin_8)) //Если бит="1"
39       { data |= 0x0001; //Установка в "1" младшего разряда
40         count=0; //Обнуление счетчика
41         while((GPIO_ReadInputDataBit(GPIOA, GPIO_Pin_8))&&
42           (count<16)) WAIT //Ожидание низкого уровня
43       } //Переход к следующему биту пакета данных
44     else //Если бит равен "0"
45     { data &= 0xFFFF; //Установка в "0" младшего разряда
46       count=0; //Обнуление счетчика
47       while((!GPIO_ReadInputDataBit(GPIOA, GPIO_Pin_8))&&
48         (count<16)) WAIT //Ожидание высокого уровня
49     } //Переход к следующему биту пакета данных
50   if(count == 16) //Если слишком долгое ожидание
51   { data = 0; break; //Досрочный выход из цикла при
52     //сбое информации в пакете RC-5
53     for(j=0; j < 12; j++) WAIT //Ожидание
54   } //Окончание сбора информации в пакет данных
55   if(((data >>6) & 0x1F) != RC5addr) data=0; //ошибка
56 } //Окончание сбора и проверки информации
57 if(data <= 1) return(0xFF); //Выход при ошибке
58 return(data & 0x3F); //Выход с кодом команды 0...0x3F
59 }
60 //-----функция задержки времени 111 мкс-----
61 void delay111(void) //Функция без входных и выходных параметров
62 { vu32 b; //Счетчик времени
63   for(b=0; b < TIMES; b++); //Цикл задержки времени
64 } //COIDE-1.5.0, GCC-4.6-20120614, -O2, 2404 байтов (1,8%)

```

чае вместо таймера используется программная задержка времени в строках 61-64. Подбирается она константой TIMES по секундомеру при нажатии тестовой кнопки USER в модуле Discovery (строки 16-23). В строке 17 специально сделан бесконечный цикл мигания, чтобы человеку удобнее было запустить секундомер на своих наручных часах. Выход из цикла осуществляется нажатием кнопки сброса на плате Discovery.

Подобный прием «визуального регулирования» отрезков времени надо запомнить и применять на практике. Тестовая кнопка будет очень полезна, в частности, при смене тактовой частоты МК, когда все программные задержки времени пропорционально «уплывают».

Строки 4-7, 29-59 практически «один к одному» взяты из AVR-листинга. Единственное, что в процедуре WAIT используется программная (а не аппаратная) задержка времени. И еще одно. Поскольку в данном листинге могут использоваться любые кнопки пульта, в том числе «0» и «1», то предусмотрена соответствующая замена кодов в строке 57, иначе получаются накладки.

Строки 24-26. Учебный пример включения/выключения зеленого светодиода на плате Discovery нажатием кнопок пульта «+» и «-». Следует обратить внимание, что плюсом и минусом в пультах обозначаются как кнопки регулирования громкости, так и переключения каналов. Вывод – надо экспериментально подобрать нужную пару.

В реальной конструкции пользователя на этом

месте должна находиться своя программа опроса и управления. Например, в предварительном усилителе звука на микросхеме TDA7314/TDA7318 здесь можно разместить строку опроса механических кнопок и за ней строку с функцией «rc5decoder( )». Строки будут очень быстро выполняться во времени, что позволит обойтись без прерываний.

В более сложных случаях, если МК постоянно выполняет какие-либо вычисления или прием/передачу информации, то можно предложить другой алгоритм опроса фотоприемника RC-5. К примеру, проверять низкий уровень на выходе OUT каждые 25 мс, при этом в течение 2 мс производить быстрый поиск лог.0, а оставшееся время заниматься «своими делами». Если лог. 0 найден, то не следует спешить декодировать результат, он будет заведомо ложным. Надо сделать паузу до прихода второй ИК-посылки (113,792 мс на рис.64) и затем функцией «rc5decoder( )» получить верный код команды.

### Литература

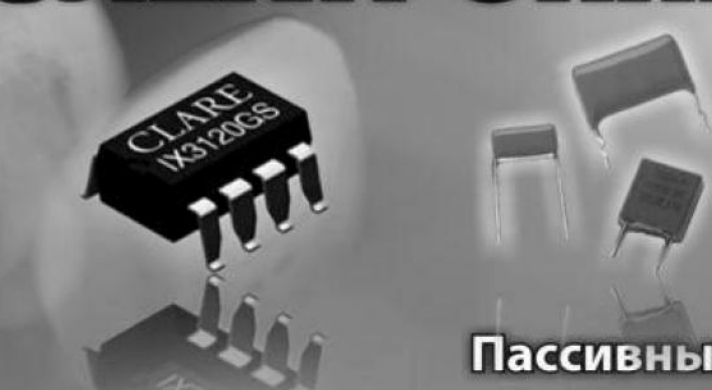
7. Рюмик, С. М. Микроконтроллеры DUINO. Сборка 6 / Сергей Рюмик // Радиоаматор. – 2010. – № 9. – С. 56-61.

8. Применение кода RC-5 [Электронный ресурс] / Леонид Ридико, 2001. – Режим доступа : <http://www.530.ru/electronics/projects.php?do=p036>.

**От редакции.** Листинги программ можно скачать с сайта издательства «Радиоаматор» <http://www.ra-publish.com.ua>.

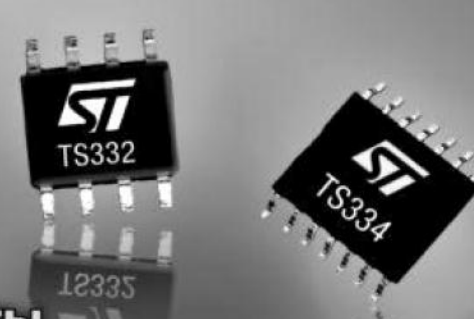


## ЭЛЕКТРОННЫЕ КОМПОНЕНТЫ



Пассивные компоненты  
Дискретные полупроводниковые компоненты  
Силовые полупроводниковые приборы, модули

Интегральные микросхемы  
Оптоэлектроника  
Электромеханика



Компания СЭА

электроника электротехника компоненты оборудование

Украина, 02094, г. Киев, ул. Krakovskaya, 13-Б,  
тел.: (044) 291-00-41, тел./факс: (044) 291-00-42  
[www.sea.com.ua](http://www.sea.com.ua) | [info@sea.com.ua](mailto:info@sea.com.ua)



# **Модуль дистанционной коммутации нагрузок по GSM-каналу связи**

**Антон Слободчук, г. Харьков**

В век информационно-телекоммуникационных технологий все чаще приходится организовывать дистанционное управление различными устройствами (нагрузками), такими, как компьютер, сервер, сигнализация и т.д. По этой причине автором был разработан модуль дистанционной коммутации нагрузок по GSM-каналу связи, описание которого приведено в этой статье.

Одна из особенностей модуля заключается в том, что в нем использована микросхема декодера DTMF-команд. Основное его преимущество – это дистанционное кодированное управление нагрузками с почти неограниченной дальностью действия.

На **рис. 1** показана блок-схема устройства.



**Рис. 1**

Алгоритм работы с модулем следующий:

1. Человек звонит со своего мобильного телефона на мобильный терминал устройства, в котором включена функция автоподъема трубки и набирает код.
  2. Мобильный терминал, поднявши трубку, начинает передавать принятые DTMF-посылки отправителя декодеру команд.
  3. Декодер команд, распознавши по DTMF-посылке нажатую клавишу на телефонном аппарате отправителя, передает исполнительному устройству номер нажатой клавиши.
  4. Исполнительное устройство, распознавши принятую комбинацию удаленно нажатых клавиш (код), коммутирует (включает/выключает) опреде-



ленное реле, которое, в свою очередь, управляет включением нагрузки.

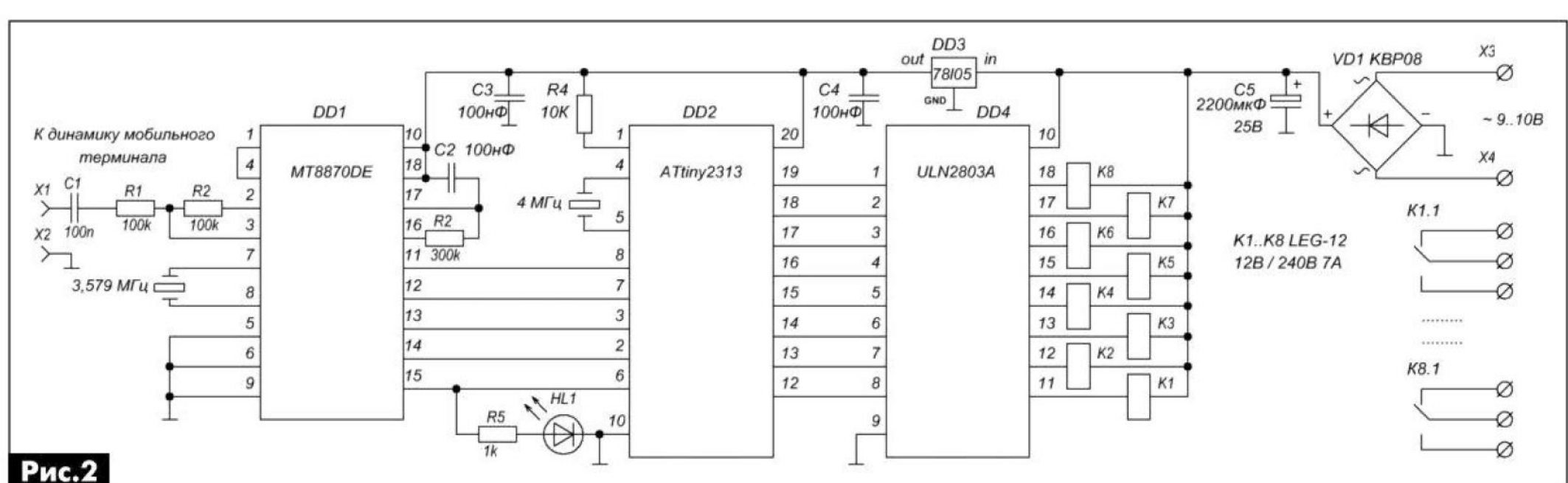
Принципиальная схема модуля показана на **рис.2**.

DTMF-посылка через разделительный конденсатор C1 и делитель напряжения R1R2 поступает на вход декодера DTMF-команд DD1. Микросхема DD1, распознав посылку, передает микроконтроллеру DD2 двоичный код нажатой клавиши. При этом включается светодиод HL1. Используя коды от DD1 микроконтроллер DD2 определяет комбинацию нажатых клавиш на телефоне и меняет логическое состояние определенного своего выхода (подключенного к DD4) на противоположное. Транзисторная сборка DD4, состоящая из составных транзисторов Дарлингтона, при этом включает определенное реле.

Максимальный ток, потребляемый модулем, составляет приблизительно 240 мА.

Соответствие кодов команд, набранных на телефоне и коммутируемых реле, представлены в таблице.

Код команды	Коммутируемое реле
*111#	K1
*222#	K2
*333#	K3
*444#	K4
*555#	K5
*666#	K6
*777#	K7
*888#	K8



**Рис.2**



Мобильный терминал к модулю можно подключить через гарнитуру или же, если терминал не жалко, подпаять непосредственно к динамику терминала.

Микроконтроллер ATtiny2313 «прошивается» обычным программатором и имеет биты конфигурации (fuses), показанные на **рис.3**. Внешний вид устройства показан на **фото** в начале статьи.

Файлы прошивки и чертежа печатной платы можно скачать с сайта нашего издаельства [1].

#### Ссылки

1. <http://www.ra-publish.com.ua> – сайт издательства «Радиоаматор».

#### Биты конфигурации

Бит	LOW	HIGH
7	<input type="checkbox"/> CKDIV8 Деление тактовой частоты на 8	<input type="checkbox"/> RSTDISBL External reset disable
6	<input type="checkbox"/> CKOUT Clock output	<input type="checkbox"/> DWEN debugWIRE Enable
5	<input checked="" type="checkbox"/> SUT1 Выбор времени запуска	<input checked="" type="checkbox"/> SPIEN Разрешить внутрисхемное программирование
4	<input type="checkbox"/> SUTO Выбор времени запуска	<input type="checkbox"/> WDTON Watchdog Timer Always On
3	<input type="checkbox"/> CKSEL3 Выбор тактового сигнала	<input type="checkbox"/> EESAVE Сохранять содержимое EEPROM при отключении кристалла
2	<input type="checkbox"/> CKSEL2 Выбор тактового сигнала	<input type="checkbox"/> BODLEVEL2 Порог мониторинга плавает
1	<input checked="" type="checkbox"/> CKSEL1 Выбор тактового сигнала	<input type="checkbox"/> BODLEVEL1 Порог мониторинга плавает
0	<input checked="" type="checkbox"/> CKSEL0 Выбор тактового сигнала	<input type="checkbox"/> BODLEVEL0 Порог мониторинга плавает

Рис.3

## Распродажа электромонтажного инструмента Piergiacomi и Velleman со склада в Киеве!

Компания СЭА объявляет о полной распродаже электромонтажного инструмента фирм Piergiacomi и Velleman.

Внимание! Количество товара ограничено.



Цены на отвертки, плоскогубцы, бокорезы, инструменты для снятия изоляции, ножи монтажные, инструменты обжимные, инструменты для формовки выводов, а также их количество –смотрите на сайте <http://www.sea.com.ua/news/view1340.html>

За дополнительной информацией и по вопросу приобретения обращайтесь в отдел паяльного оборудования компании СЭА по телефону в Киеве (044) 291-00-41 или по электронной почте [info@sea.com.ua](mailto:info@sea.com.ua)



# БЮЛЛЕТЕНЬ КВ+УКВ

## Любительская связь и радиоспорт

Ведущий рубрики А. Перевертайло, UX7UN

(tnx HL4CEL, F6AJA, PA0RRS, JI3DST, LA8DW, DF8AN, I1JQJ, LZ1ZF, OZ6TL, MM0DFV, NG3K, CT1GZB, G3TXF, TA1HZ, PA4JJ, OK1DRQ, YT7WA, F4EZG, UA0ZAM, SM1TDE, VE3DZ, VK3HJ, VA3RJ)

Особая благодарность за постоянную помощь радиолюбителям г. Омска RW9MC и UA9MHN

**CLIPPERTON 2013** – Намеченная на март 2013 г. DX-экспедиция на остров Clipper-ton находится на последнем этапе формирования команды. Еще есть несколько свободных мест, и операторы с опытом работы в DX-экспедициях приглашаются войти в состав группы. Состав группы на данный момент, а также описание проекта см. на сайте DX-экспедиции ([www.cordell.org/CI/](http://www.cordell.org/CI/)). Тех, кто хочет присоединиться к экспедиции, просьба связаться с Bob'ом, KK6EK ([kk6ek@cordell.org](mailto:kk6ek@cordell.org)) или Chris'ом, DL1MGB ([chris@dl1mgb](mailto:chris@dl1mgb)).

**3B8, MAURITIUS** – Alex, IW5ELA, будет активен позывным 3B8/IW5ELA с Маврикия (AF-049). Он будет работать в «отпусканном стиле» в основном CW на диапазонах 20, 17, 15 и 12 метров.  
QLS via IW5ELA.

**4O, MONTENEGRO** – Chab, YT7WA, будет активен позывным YT7WA/4O из Buljarice, Черногория. Он будет работать BPSK и QPSK.

**5R, MADAGASCAR** – Moise, F4EZG, будет активен позывным 5R8VE из Nosy Alana (остров Ile aux Prunes, AF-090). Он планирует работать на диапазонах 40, 20, 15 и 10 метров SSB.  
QLS via F4EZG.

**5T, MAURITANIA** – SP2EBG, SP3CYY, SP3FXY, SP3GEM, SP6EQZ и SP6IXF, с участием Jean'a, 5T0JL, будут активны позывным 5T0SP из Мавритании с 24 ноября по 10 декабря. Они будут работать на диапазонах 160-10 метров CW, SSB, RTTY.

**5Z, KENYA** – Eric, SM1TDE, будет активен позывным 5Z4/SM1TDE из г. Момбаса, Кения, в течение 5-22 ноября. Он будет работать на диапазонах 40-10 метров CW. QSL via SM1TDE.

**6W, SENEGAL** – Enrico, IK2FIL, будет активен позывным 6V7X из Сенегала, в том

числе в CQ WW RTTY Contest. QSO будут подтверждены через бюро via Global QSL, а также будут ежедневно загружаться в LoTW и eQSL.  
QLS via IK2FIL.

**8Q, MALDIVES** – Juergen, OE4JHW, будет активен позывным 8Q7OE с Мальдивских островов (AS-013). Он будет работать в основном SSB и BPSK на диапазонах 40-10 метров. QSL via OE4JHW.

**9A, CROATIA** – Jan, PA4JJ, будет активен позывным 9A/PA4JJ из Porec (континентальная часть Хорватии). Он будет работать RTTY и PSK31.  
QLS via PA4JJ.

**9H, MALTA** – IK0PEA будет активен в «отпусканном стиле» позывным 9H3EA из Bugibba, Мальта (EU-023). Он будет работать цифровыми видами и SSB на КВ-диапазонах и диапазоне 6 метров.  
QLS via IK0PEA.

**9M2, WEST MALAYSIA** – Rich, PA0RRS, снова будет активен позывным 9M2MRS с острова Penang (AS-015) с 30 октября по 26 декабря. Он будет работать CW, RTTY и PSK (плюс SSB по просьбе).  
QLS via PA0RRS.

**C2, NAURU** – Yuki, JH1NBN, будет активен позывным C21BN и специальным позывным с Науру (OC-031). Он будет работать в эфире мощностью 100 Вт на проволочную антенну.  
QLS via JH1NBN.

**CT7, PORTUGAL** – CT1GZB, CT1CSY и CT2JXT будут активны позывным CR6LH с маяка Cabo da Roca. Они планируют работать SSB, RTTY, PSK31 и QRS CW на максимально возможном числе диапазонов.  
QLS via CT1GZB.

**CT9, MADEIRA ISL.** – CT9/DG3FAW, CT9/DJ6KS и CT9/DJ8OG будут актив-

ны с Мадейры (AF-014). Они будут работать SSB, RTTY и PSK на диапазонах 80-10 метров, а также, возможно, и на диапазоне 6 метров. QSL via home calls. Matthias, DJ8OG, примет участие в WAE SSB Contest, работая позывным CR3L.  
QLS via DJ8OG.

**CY0, SABLE ISL.** – WA4DAN и AA4VK получили все необходимые разрешения для работы позывными WA4DAN/CY0 и AA4VK/CY0 с острова Sable (NA-063). В их разрешении на работу содержится ряд новых ограничений в отношении антенн, направленные на минимизацию ущерба, который может быть нанесен охраняемым видам птиц.

**DL, GERMANY** – Mike, DG5LAC, будет активен позывным DG5LAC/p с острова Amrum (EU-042). Он будет работать на диапазонах 80-10 метров SSB.  
QLS via DG5LAC.

**E5\_nc** – Andy, E51AND (AB7FS), будет находиться на атолле Palmerston (OC-124), Северные острова Кука. Andy работает на простом ключе QRS CW в районе частоты 14048 kHz и часто отмечается в ANZA net, которая ежедневно проходит в 05:15 UTC на частоте 14183 kHz.  
QLS via AB7FS.

**E6, NIUE ISL.** – Lance, W7GJ (E6M), проведет 6 м EME DX-экспедицию на Ниуэ.  
QLS via W7GJ.

**EA, SPAIN** – EA2TA, EA3NT, EA3OR и EA5KA будут активны позывным EG5INT с островов Columbretes (EU-069).  
QLS via EA5KA.

**EA6, BALEARIC ISL.** – Alessandro, EA6/IZ4WNA, и Giuliano, EA6/IZ4WNP, будут активны с острова Ибица, Балеарские острова (EU-004). Они планируют работать на диапазонах 40-6 метров





SSB и PSK63.  
QSL via home calls.

**F, FRANCE** – Операторы из Radio Club du Bassin d'Arcachon (F5KAY) будут активны позывным TM5O с острова Ile aux Oiseaux (не засчитывается для IOTA, DIFM AT-028). Они будут работать двумя станциями на диапазонах 80, 40 и 20 метров SSB, CW и цифровыми видами. QSL via F8IHE.

**F, FRANCE** – F4BKV/p и F4FET/p будут активны с острова Er (EU-107), острова Raguenes (EU-074) и с острова Batz (EU-105). Каждая станция будет работать мощностью около 300 Вт и располагать антеннами для диапазонов 40, 20, 17, 15 и 10 метров. QSL via F4BKV.

**FO, FRENCH POLYNESIA** – Didier, F6BCW, будет активен из Французской Полинезии с 2 октября по 8 ноября. 2-6 октября он будет на Таити (OC-046), откуда будет работать очень мало или вообще не будет. Затем он отправится на группу IOTA OC-067, и будет работать только CW мощностью 100 вт на диполи с островов Huahine (6-15 октября, на диапазонах 40-10 метров), Raiatea (15-19 октября, на диапазонах 30, 20 и 17 метров), Tahaa (19-22 октября, на диапазонах 40, 30, 20 и 17 метров), Maupiti (22-26 октября, на диапазонах 30, 20 и 17 метров) и снова Huahine (27 октября – 8 ноября, на диапазонах 40-10 метров). Если он не получит специальный позывной, который он запросил, он будет работать как FO/F6BCW. QSL via F6BCW.

**FR, REUNION ISL.** – Michael, DF8AN, будет активен, в основном CW, позывным FR/DF8AN с острова Реюньон (AF-016). QSL via DF8AN.

**G, ENGLAND** – Russell, G5XW, будет активен позывным G5XW/p с острова Wight (EU-120). QSL via G5XW.

**G, ENGLAND** – John/M5JON, Pete/M0ILT, Ant/MW0JZE и Chris/G1VDP будут активны позывным MX0LDG с острова Lundy (EU-120). Они будут каждый день работать двумя станциями с 6 часов до полуночи (когда на острове прекращается электроснабжение) SSB и, возможно, цифровыми видами. QSL via M0URX.

**GD, ISLE OF MAN** – Члены Dundee Amateur Radio Club'a будут активны позывным GT4AAF/p с острова Мэн (EU-116). QSL via GM0BKC.

**GM, SCOTLAND** – Члены Black Country DX & Contest Group будут активны позывным MS00XE с острова Tiree (EU-008). Планируется работа двумя станциями на диапазонах 160-6 метров CW, SSB и RTTY. QSL via M0URX.

**HL, REPUBLIC OF KOREA** – операторы из Gwangju DX Club'a будут активны позывным D7G с острова Kogum (AS-060). Они будут работать на диапазонах 80-6 метров SSB, CW и RTTY. QSL via HL4CEL.

**HS, THAILAND** – Tana, E27EK, примет участие в All Asian DX SSB Contest, работая позывным E27EK/p с острова Si Chang (AS-107). QSL via E27EK.

**HZ, SAUDI ARABIA** – IOTA-экспедиция 7Z7AB на остров Al-Dhahrah (AS-190, new one) будет проходить 5-11 октября. Работа будет вестись на диапазонах 160-10 метров SSB, CW и RTTY. QSL via 7Z1CQ.

**I, ITALY** – Paolo, IZ5NFD, будет активен позывным IA5/IZ5NFD с острова Эльба (EU-028). Он будет работать в основном CW около 5 UTC и после 21 UTC на диапазонах 40-2 метров. QSL via IZ5NFD.

**I, ITALY** – Операторы из ARI Genova (IQ1GE) снова примут участие в International Lighthouse/Lightship Weekend. В этом году они будут работать позывным II1PV с маяка Punta Vagno, т.к. их традиционный QTH (маяк La Lanterna в Генуе) ремонтируется и закрыт для доступа. QSL via IZ1BZS.

**IS0, SARDINIA ISL.** – Massimo, I0PNM, будет активен позывным IM0/I0PNM с острова San Pietro (EU-165). Он будет работать SSB, RTTY и PSK31 на диапазонах 20, 15 и 10 метров. QSL via I0PNM.

**JA, JAPAN** – Take, JI3DST, будет активен позывным JI3DST/JI1 с острова Shikine (AS-008). Он будет работать CW, SSB, FM, RTTY и PSK31 на диапазонах 40-10 метров. Он примет участие в Scandinavian Activity Contest позывным JI3DST/1. QSL via JI3DST.

**JW, SVALBARD** – Karl, LA8DW, и Kjell, LA9HH, будут работать CW и SSB позывным JW8DW из Longyearbyen (EU-026), Шпицберген. Они примут участие в SAC Contest (CW) позывным JW5E. QSL via LA8DW.

**KH0, MARIANA ISL.** – Mike, JA6EGL, и Yu, JE6DND, будут активны позывными KK6WW/KH0 и KH0R с Сайпана (OC-086). Они будут работать CW и SSB на диапазонах 30-10 метров. QSL via home calls.

**KH0, MARIANA ISL.** – JQ2WTT будет активен позывным KH0XW (QSL direct via JQ2WTT), а JE1XUZ - KH0XH (QSL direct via JE1XUZ) с Сайпана (OC-086). Они примут участие в All Asian DX SSB Contest позывным AH0BT (QSL via 7L1FPU).

**KL, ALASKA** – KL7/KJ4OAP, KL7/W2NAF и KL7/K8GU будут активны с острова

Adak (NA-039). Они планируют работать в эфире на диапазонах 40-6 метров в основном CW и цифровыми видами. QSL via home calls и LoTW.

**LX, LUXEMBOURG** – Anne, OH2YL, будет активна позывным LX/OH2YL из Люксембурга. Она будет работать CW на диапазонах 80-10 метров. QSL via OH2YL.

**OJ0, MARKET REEF** – Pasi, OH3WS, будет активен время позывным OJ0W с острова Маркет (EU-053). QSL via OH3WS.

**OX, GREENLAND** – Henning, OZ1BII, будет активен позывным XP2I из Гренландии (NA-018). Он будет работать только CW с коллективной радиостанцией XP1AB в Kangerlussuaq и примет участие в Scandinavian Activity Contest. К нему присоединятся Jorgen, OX/OZ0J, и Jens, OX3JI. QSL XP2I via OZ1BII (direct или через бюро и LoTW), QSL OX/OZ0J via home call (direct или через бюро и LoTW), QSL OX3JI via OZ2JI (через бюро и eQSL).

**OZ, DANMARK** – Harry, PA1H и Nico, PA7PA, снова будут активны как OZ/homecall с острова Lang (EU-172). Они будут работать на диапазонах 80-10 метров (возможно, также на диапазоне 160 метров), в основном на диапазоне 30 метров и цифровыми видами. QSL via PA1H.

**PA, NETHERLANDS** – По случаю Всемирного фестиваля статуй, который пройдет в г. Арнем (Arnhem), Fred/PA0FAW будет активен позывным PC12WSF. QSL via PA0FAW.

**PJ2, CURACAO ISL.** – Anja, DH2AK, и Torsten, DL1THM, снова будут активны позывными PJ2/DH2AK и PJ2/DL1THM с острова Кюрасао (SA-099). Они будут работать в «отпусканном стиле» в основном SSB на диапазонах 20 и 15 метров. QSL via DL1THM .

**SM, SWEDEN** – Tomas, SM3DMP, будет активен позывным SF2CW с острова Holmon (EU-135). QSL via SM3DMP.

**SU, EGYPT** – Специальный позывной SU30ASR будет использоваться по случаю проведения 30-го арабского слета скаутов в Abu Quear, Александрия. Said/SU1SK, Atef/SU1AO и Ayman/SU1AR планируют работать SSB, CW и цифровыми видами на диапазонах 160-10 метров. QSL via SM5AQD.

**SV, GREECE** – Dirk, ON5CT, будет активен позывным SV8/ON5CT/p с острова Корфу (EU-052). Он будет работать SSB и RTTY на диапазонах 20, 17, 15, 12, 10 и 6 метров. QSO будут подтверждены via eQSL и LoTW, бумажных QSL не будет.



**SV9, CRETE ISL.** – Silvia, SV9/EA1AP, и Alberto, SV9/EA1SA, будут активны с Крита (EU-015). Они будут работать SSB, CW и RTTY на диапазонах 80-6 метров. QSL via EA1SA.

**SV9, CRETE ISL.** – Luc, ON6DSL, будет активен по-зывным SV9/ON6DSL/p с Крита (EU-015). Он будет работать только SSB мощностью 5 Вт. QSL via ON6DSL.

**T6, AFGANISTAN** – Ilian, LZ1CNN (ex YI9LZ), будет активен по-зывным T6LG из Афганистана с сентября 2012 г. по февраль 2013 г. Он планирует работать на всех диапазонах SSB и CW. QSL via LZ1ZF.

**T8, PALAU** – Ulf, DL5AXX, будет активен по-зывными T8XX (CW) и T88UE (RTTY) с Палау. Он будет работать на диапазонах 160-10 метров. QSL via DL5AXX.

**TA, TURKEY** – Операторы из TC Special Wireless Activity Team и Giresun Radio Amateurs and Nature Sports Club будут работать по-зывным TC6GLH с маяка Gerze. QSL via TA1HZ.

**TK, CORSICA ISL.** – Jack, IZ3DBA, будет активен по-зывным TK/IZ3DBA с Корсики. Он будет работать в «отпусковом стиле» 80% CW и 20% SSB. QSL via IZ3DBA.

**TT, CHAD** – Silvano, I2YSB, и операторы из Italian DXpedition Team будут активны по-зывным TT8TT из Чада. Они планируют работать CW, SSB и RTTY на диапазонах 160-6 метров, используя три станции, уделяя особое внимание станциям из Японии и западного побережья Северной Америки. Форма опроса для выявления нужных слотов band/mode размещена на сайте экспедиции ([www.i2ysb.com](http://www.i2ysb.com)).

**UA, RUSSIA** – RA0ZJ/p, RU0ZM/p, UA0ZAM/p и UA0ZC/p будут активны с острова Старичкова (AS-095). QSL via home calls.

**UA, RUSSIA** – Gennady/R3BY, Maxim/RU5D и Oleg/R7LP будут активны по-зывным RI0FM с острова Монерон (AS-149). Они будут работать CW и SSB на диапазонах 40-10 метров. QSL via R3BY.

Они также планируют работать по-зывным R10RLHA/0 с маяка, расположенного на этом острове. QSL via RA1QY.

**VK, AUSTRALIA** – VK3VCE, VK5KC, VK5LOL, VK5PAS, VK5SN, VK5VW и VK5YX будут активны по-зывным VI5CW с маяка Cape Willoughby на острове Kangaroo (OC-139). Они будут работать на диапазонах 80-10 метров. QSL via VK5PAS.

**W, USA** – W1S будет активен с маяка на острове Se-guin (NA-137). QSL via AK4KP.

**W, USA** – Специальная мемориальная станция N3U работала 8-13 сентября в память рейса United Flight 93 и трагических событий 11 сентября 2001 г. QSL via W3PN.

**XE, MEXICO** – Manuel, XE2HUQ, и другие операторы будут активны по-зывным XF1F с острова San Francisco (NA-124). Они планируют работать на диапазонах 160-10 метров SSB, CW, RTTY и PSK31. QSL via XE2HUQ.

## IOTA-news (tnx UY5XE) ОСЕННЯЯ АКТИВНОСТЬ

EUROPE		AS-008	JI3DST/1	NA-063	WA4DAN/CY0
EU-001	SV5/DJ7RJ	AS-008	JI3DST/JI1	NA-069	W4LX/p
EU-003	CU2/G7VJR	AS-013	8Q7OE	NA-124	XF1F
EU-003	CU1ARM	AS-015	9M2MRS	NA-137	W1S
EU-003	CU2ARA	AS-060	D7G	NA-143	K5KUA/5
EU-004	EA6/IZ4WNA	AS-092	RI0K/p	NA-177	VE2/F8BMG
EU-015	SV9/EA1AP	AS-095	RA0ZJ/p	NA-200	4A3RCC
EU-015	SV9/EA1SA	AS-095	UA0ZAM/p		S.AMERICA
EU-015	SV9/ON6DSL/p	AS-095	UA0ZC/p	SA-002	VP8DMN
EU-023	9H3EA	AS-097	9M2/R6AF/p	SA-003	PY0FO
EU-026	JW5E	AS-105	DS2NMJ/2	SA-014	PT0S
EU-026	JW6TMA	AS-106	VU7M	SA-012	YV7/UA9YAB
EU-026	JW6VJA	AS-107	E27EK/p	SA-018	3G7C
EU-026	JW8DW	AS-146	BD4KRB/4	SA-035	YV5/UA9YAB
EU-028	IA5/IZ5NFD	AS-149	RI0FM	SA-037	YW5B
EU-032	F/ON5GQ	AS-190	7Z7AB	SA-088	PS5F
EU-038	PA/IZ3GNG			SA-099	PJ2/DH2AK
EU-042	DG5LAC/p			SA-099	PJ2/DL1THM
EU-043	SB6HL	AF-003	ZD8UW		OCEANIA
EU-045	IB0E	AF-003	ZD8D	OC-002	VK9X/G6AY
EU-052	SV8/IZ7FLQ	AF-014	CT9/I2DPX	OC-003	VK9CI
EU-052	SV8/ON5CT/p	AF-006	VQ9XP	OC-009	T88FK
EU-053	OJ0W	AF-014	CT9/DG3FAW	OC-002	VK9XM
EU-064	F6HQF/p	AF-014	CT9/DJ6KS	OC-013	E51TLA
EU-064	TM1NOI	AF-014	CT9/DJ8OG	OC-031	C21BN
EU-069	EG5INT	AF-016	FR/DF8AN	OC-046	FO/F6BCW
EU-074	F4BKV/p	AF-029	ZD9UW	OC-054	FW0NAR
EU-074	F4FET/p	AF-030	ZD9KX	OC-067	FO/F6BCW
EU-076	LA/DM2AUJ	AF-037	9L0W	OC-078	V63PR
EU-084	SC0UT/5	AF-049	3B8/IW5ELA	OC-086	AH0BT
EU-088	OZ0AV	AF-090	5R8VE	OC-086	KH0R
EU-089	CU8ARF			OC-086	KH0XH
EU-089	CU9AC			OC-086	KH0XW
EU-105	F4BKV/p	NA-005	KF4VTT/VP9	OC-086	KK6WW/KHO
EU-105	F4FET/p	NA-008	AD0XA/VY0	OC-086	FW0NAR/p
EU-107	F4BKV/p	NA-008	KC0VEU/VY0	OC-118	ANTARCTICA
EU-107	F4FET/p	NA-018	OX/OZOJ		
EU-116	GT4AAF/p	NA-018	OX3JI	AN-001	VP8DJB
EU-120	G5XW/p	NA-018	XP2I	AN-005	VK0TH
EU-120	MX0LDG	NA-039	KL7/K8GU	AN-007	VP8SGK
		NA-039	KL7/KJ4OAP	AN-008	AD0AX/VY0
		NA-039	KL7/W2NAF	AN-010	RI1ANF
AS-003	4S7ULG	NA-046	K4KGG/1	AN-012	LU4ZS
AS-006	VR2JN	NA-063	AA4VK/CY0		

## СОРЕВНОВАНИЯ

CONTESTES  
Календарь соревнований по радиосвязи на KB  
Ноябрь

ДАТА	ВРЕМЯ UTC	CONTEST	MODE
1- 7	0000 - 2400	HA-QRP Contest	CW
2	1800 - 2200	10 meter NAC	CW/SSB/FM/Digi
3	0600 - 1000	IPA Radio Club Contest (1)	CW
3- 4	1200 - 1200	Ukrainian DX Contest	CW/SSB/RTTY
3	1400 - 1800	IPA Radio Club Contest (2)	CW
3- 5	2100 - 0300	ARRL Sweepstakes	CW
3- 5	2100 - 0300	NA Collegiate ARC Championship	CW
4	0600 - 1000	IPA Radio Club Contest (3)	SSB
4	0900 - 1100	High Speed Club CW Contest (1)	CW
4	1100 - 1700	DARC 10 m Digital Contest "Corona"	DIGI
4	1400 - 1800	IPA Radio Club Contest (4)	SSB
4	1500 - 1700	High Speed Club CW Contest (2)	CW
6	0200 - 0400	ARS Spartan Sprint	CW
10-11	0000 - 2359	Worked All Europe DX-Contest	RTTY
10-11	0700 - 1300	Japan International DX Contest	Phone
10	1100 - 1200	SL Contest	CW
10-11	1200 - 1200	OK/OM DX Contest	CW
10	1230 - 1330	SL Contest	SSB
16	1600 - 2200	YO International PSK31 Contest	PSK31
17-18	1200 - 1200	INORC Contest	CW
17-18	1200 - 1200	LZ DX Contest	CW/SSB
17	1500 - 1700	EUCW Fraternizing CW QSO Party (1)	CW
17-18	1600 - 0700	All Austrian 160 m Contest	CW
17	1800 - 2000	EUCW Fraternizing CW QSO Party (2)	CW
17-19	2100 - 0300	ARRL Sweepstakes	SSB
17-19	2100 - 0300	NA Collegiate ARC Championship	SSB
17-18	2100 - 0100	RSGB 1.8 MHz Contest	CW
18	0700 - 0900	EUCW Fraternizing CW QSO Party (3)	CW
18	1000 - 1200	EUCW Fraternizing CW QSO Party (4)	CW
18	1300 - 1700	HOT Party	CW
24-25	0000 - 2400	CQ WW DX Contest	CW
24-25	0000 - 2359	CQ WW SWL Challenge	CW
30-02.12	2200 - 1600	ARRL 160 meter Contest	CW

# ДИПЛОМЫ AWARDS

НОВОСТИ ДЛЯ  
КОЛЛЕКЦИОНЕРОВ ДИПЛОМОВ

ЮБИЛЕЙНЫЙ ДИПЛОМ  
UR100RU\_БМ



Юбилейный диплом UR100RU\_БМ учрежден в ознаменование 100-летия начала работы в 1912 году из города Жмеринка на Украине двух любительских станций искрового телеграфа. Станции были построены надсмотрщиком Жмеринского станционного телеграфа Сергеем Степановичем Жидковским и работали в течении двух лет (1912 – 1914 год), проводя двухсторонние радиосвязи.

Период работы на диплом установлен с 1-го мая 2012 года по 31 декабря 2012 года. Для получения диплома необходимо за указанный период набрать 100 баллов.

Балы за связи отдельно по категориям:

- с СПС (EM100RU, EM100M, EM100N) и радиолюбителями-ветеранами ВОВ – 5 баллов;
- с радиостанциями, работающими из города Жмеринки и района – 4 бала;
- с радиостанциями, работающими из Винницкой области – 3 бала;
- с членами клубов «Волна», «Клуба мандриників ефіром», «6ПЗС», «Морзе клуб UCWC» – 2 бала;
- с ветеранами радиолюбительского движения (стаж работы в эфире не менее 40 лет) и радиолюбителями-инвалидами – 2 бала.

Очки за проведенные связи с радиолюбителями, отнесенными к разным категориям, могут складываться (например, связь с винничанином, являющимся членом двух клубов, дает в сумме 7 баллов). За связи, проведенные на диапазоне 160 метров, очки удваиваются, а проведенные на УКВ – утраиваются. За связи, проведенные в период совместных дней активности клубов КМЕ и «Волна» 29-30 сентября 2012 года, очки по каждой категории будут утраиваться.

Повторы засчитываются в разные дни, другим видом работы и на разных диапазонах. Радиолюбителям-инвалидам (подтверждается копией пенсионного удостоверения) для получения диплома достаточно набрать 30 баллов из 100. Ветеранам радиолюбительского движения (стаж работы в эфире не менее 40 лет, который подтверждается копиями разрешений, копией страницы

из колбука, копией QSL-карточки) для получения диплома достаточно набрать 50 баллов. Диплом бумажный, полноцветный (пометка БМ).

Заявки на получение дипломов необходимо пересыпать по адресу: 21021, г. Винница, а/я 2147, Марценюку Валерию Пантелеимоновичу (можно по e-mail walmar@email.ua при оплате на баланс одного из телефонов редакции). Стоимость дипломов по Украине составляет 15 грн., для зарубежья – 5 IRC.

Участники ВОВ, радиолюбители-инвалиды, ветераны радиолюбительского движения (не менее 40 лет стажа работы в эфире), коллективные молодежные р/ст. оплачивают только стоимость пересылки диплома заказным отправлением.

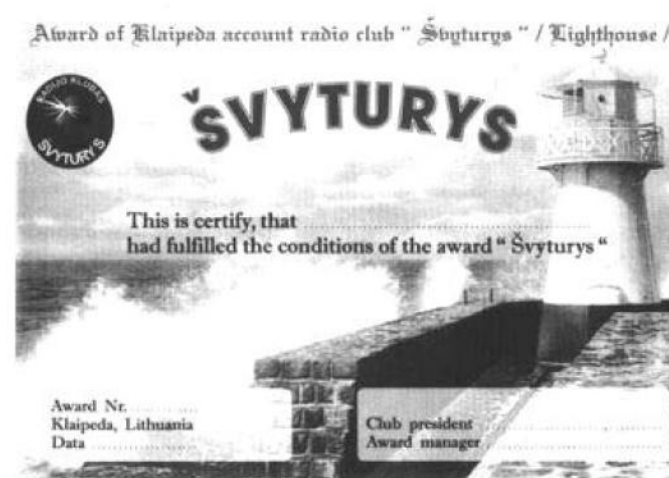
## Примечания:

1. Список радиолюбителей из г. Жмеринки и района: UT9NT, UT3NO, US5NDS, UR5NND, US5NCI, UR5NGQ, US5NCF, UR5NKK, US5NEL.

2. Список членов клуба КМЕ: UT8NV, UR3GI, UT0NT, UT1KY, UR5LKY, UR4LYN, UW5HC, UT9NT, US7GH, UR5NKC, UR3VCU, UT9NF, UR5NBC, UT0NB, UT0NN, UR8EF, UR5YBP, UT5EJJ, UT2ZA.

3. Список членов клуба «Волна» находится в Интернете по адресу: [www.radioinform.vn.ua/volna.htm](http://www.radioinform.vn.ua/volna.htm)

## SVYTURYS



Настоящий диплом учрежден в связи с возрождением радиоклуба г. Клайпеда. Для получения диплома следует набрать необходимое количество очков за радиосвязи с членами клуба. Количество очков от каждого конкретного оператора соответствует стажу его работы в радиолюбительском эфире на момент проведения радиосвязи. Радиолюбителям Литвы необходимо набрать 250 очков, радиолюбителям Европы – 150 очков, других континентов – 100 очков. К диплому выдаются наклейки за выполнение условий диплома одним видом излучения и за отдельный диапазон. Наблюдателям диплом выдается на тех же условиях. Связи через репитер не засчитываются. С каждым позывным засчитывается связь только на одном диапазоне. Для получения диплома необходима заявка (QSL не нужны). Засчитываются радиосвязи с момента возобновления деятельности радиоклуба, т.е. после 23 февраля 1999 г. Стоимость диплома: для радиолюбителей Литвы – 10 лт., для других стран – 5 IRC.

Заявки и оплату за диплом следует высыпать менеджеру диплома LY3BE по адресу: а/я – 70, Клайпеда, LT-5800, Литовская Республика, Е. Вайсман.

## LITHUANIANS IN THE WORLD AWARD



Диплом выдается за связи с литовскими радиостанциями и с литовцами, покинувшими страну и переехавшими в другие страны, засчитываются QSO, проведенные после 11 марта 1990 года.

Диплом выдается в двух классах:

Класс Silver – европейским станциям необходимо провести QSO с 25 LY станциями и 3 LY в других странах.

DX-станциям – 10 и 1.

Класс Gold – европейским станциям необходимо провести QSO с 35 LY станциями и 5 LY в других странах.

DX-станциям – 25 и 3.

Стоимость диплома 10 IRC.htm

Заверенную заявку направлять по адресу: Valentinas Liukpetris LY3KB, PO Box 2, LT-5280 Birzai, Lithuania.

## SALA (SOUTH AMERICAN LIGHTHOUSE AWARD)



Учредитель: Amateur Radio Lighthouse Society (ARLHS).

Диплом выдается всем радиолюбителям мира и наблюдателям, за проведение радиосвязей с маяками, расположенным на территории южноамериканских стран: Аргентина, Боливия, Бразилия, Чили, Колумбия, Эквадор, Французская Гвиана, Гайана, Парагвай, Перу, Суринам, Уругвай, Венесуэла и острова, относящиеся к Южной Америке (по списку DXCC, не IOTA).

Засчитываются связи с маяками, включенными в официальный список ARLHS. Список можно найти на сайте [arlhs.com/awards/arlhs-numbers.html](http://arlhs.com/awards/arlhs-numbers.html).

С заявкой необходимо прислать QSL-карточки или их ксерокопии (должны быть видны даты связей). Присланные QSL-карточки возвращаются заявителю вместе с дипломом.

Диапазоны: 160, 80, 40, 20, 17, 15, 12, 10 и 6 м.

Виды модуляции – любые (включая через спутники и репитеры). Связи кросс-банд не засчитываются.

Ограничений по времени нет. На QSL-карточках должны быть указаны или название маяка или его номер по списку ARLHS.

DX станциям необходимо провести QSO с 4 маяками из различных южноамериканских стран по списку DXCC (пример: Эквадор и Галапагосы считаются отдельными странами).

Стоимость диплома: 4 IRC для членов ARLHA, 6 IRC для не членов ARLHA.

Заявку, оплату и QSL-карточки (или ксерокопии) направлять по адресу:

Award Manager, Claudio Sylwan (LU7CC), Av. Las Heras 3892 (dto. 29), 1425 BUENOS AIRES, ARGENTINA.

KB + UKV

БЮЛЛЕТЕНЬ



# Условия соревнований Ukrainian DX Contest

**Организаторы:** Украинский контест клуб UCC и Лига радиолюбителей Украины UARL.

**Дата и время проведения:** 1-й полный weekend ноября (3-4 ноября 2012). Время проведения: 12:00 UTC – 12:00 UTC (суббота – воскресенье).

**Диапазоны работы:** 160, 80, 40, 20, 15, 10 м в соответствии с IARU Band Plan для KB соревнований.

**Виды работы:** CW и SSB.

**Контрольные номера:** Радиолюбители Украины передают RST(RS) + две буквы, обозначающие область. Все остальные участники передают RST(RS) + NR, начиная с 001. Список сокращений, обозначающих области Украины: CH CN CR DN DO HA HE HM IF KI KO KR KV LU LV NI OD PO RI SL SU TE VI VO ZA ZH ZP

**Очки:**

- украинские станции;
- QSO с Украиной – 1;
- с Европой – 2;
- с другим континентом – 3;
- остальные станции:
- QSO со своей страной – 1;
- QSO со своим континентом – 2;
- QSO с другим континентом – 3;
- QSO с Украиной – 10.

**Множители:** Каждая страна по спискам DXCC и WAE, а также области Украины дают одно очко для множителя на каждом диапазоне, независимо от рода работы. Для иностранных участников Украина также является множителем, как страна по DXCC, т.е. первое QSO на диапазоне дает 2 множителя. Для украинских станций множителем являются только страны, включая Украину. Окончательное количество очков получается путем перемножения суммарного количества очков за QSO на суммарный множитель.

**Зачетные группы (категории):**

A – один оператор – все диапазоны – HP – MIXed (CW,SSB);

A-CW – один оператор – все диапазоны – HP – CW;

A-SSB – один оператор – все диапазоны – HP – SSB;

B – один оператор – все диапазоны – LP (выходная мощность до 100 Ватт) – MIXed (CW,SSB);

B-CW – один оператор – все диапазоны – LP (выходная мощность до 100 Ватт) – CW;

B-SSB – один оператор – все диапазоны – LP (выходная мощность до 100 Ватт) – SSB;

C – один оператор – все диапазоны – QRP (выходная мощность до 5 Ватт) – MIXed (CW,SSB);

D – один оператор – один диапазон – MIXed (CW,SSB);

E – много операторов – все диапазоны – один TX – MIXed (CW,SSB);

**Общие правила:** Для всех зачетных групп переход с диапазона на диапазон разрешается производить не чаще, чем один раз в 10 минут, но в то же время

разрешено проведение связей, дающих новый множитель на других диапазонах. Нет ограничений на переход из CW в SSB и наоборот на одном диапазоне. Связи, не дающие новый множитель и проведенные ошибочно на другом диапазоне, дают 0 очков, но не штрафуются и будут засчитаны вашим корреспондентам. Начало работы на новом диапазоне определяется по времени первой связи, проведенной в разрешенное для перехода время с корреспондентом, не дающим новый множитель на этом диапазоне. Для всех зачетных групп разрешено использование систем оповещения (клUSTERов), но использование режима селф-спотинг (информирование о самом себе) строго запрещено. Разрешается проводить по одному QSO CW и SSB с одним и тем же корреспондентом на каждом диапазоне. Запрещено проводить телеграфные связи в SSB участках и наоборот. Повторными считаются радиосвязи, проведенные на одном и том же диапазоне одним и тем же видом работы. Такие связи оцениваются в 0 очков, если была зачтена первая связь между корреспондентами. Если первая связь не была засчитана, то засчитывается первая подтвержденная связь из числа повторных. Проведение повторных связей не штрафуется, удалять их из отчета не рекомендуется. При работе в однодиапазонных зачетах, разрешается проводить связи на других диапазонах, такие связи следует указать в отчете (в этом же файле), они не оцениваются, но будут засчитаны вашим корреспондентом. Судейство URDXC осуществляется программными методами. Все связи проходят UBN (unique, bad, not in log) проверку. Связи с уникальными позывными к зачету не принимаются. Связь с неправильно принятым позывным или номером (bad), а также отсутствующая в другом отчете (not in log) не засчиты-

вается. Связь также не засчитывается в случаях, если:

- позывной участника неверно принят корреспондентом;
- контрольный номер участника неверно принят корреспондентом;
- при расхождении времени (кроме систематических) более 3 минут;
- при несовпадении диапазонов и видов работ (кроме систематических);
- связь не подтверждена в отчете корреспондента, но фактически является повторной.

Начиная с URDXC 2009 Категории А и В теперь делятся на три: MIXed, CW, SSB для всех и World и Ukraine а также отменены штрафные очки (penalty).

**Дипломы:** Абсолютные победители в своих подгруппах награждаются памятными плакетками или призами спонсоров согласно перечню. Дипломами награждаются первые 10 мест в каждой подгруппе участников.

**Отчеты за соревнования:** Файловые отчеты рекомендуется представлять в формате CABRILLO. КонTEST поддерживается большинством конTEST-программ :

#	Soft	Website
1	5MContest	<a href="http://5mcontest.qrz.ru">http://5mcontest.qrz.ru</a>
2	MixW	<a href="http://www.mixw.net">http://www.mixw.net</a>
3	TR4W	<a href="http://www.tr4w.com">http://www.tr4w.com</a>
4	TRlog	<a href="http://www.qth.com/tr">http://www.qth.com/tr</a>
5	SD	<a href="http://www.ei5di.com">http://www.ei5di.com</a>
6	N1MM	<a href="http://www.n1mm.com">http://www.n1mm.com</a>
7	AAtest	<a href="http://www.dxsoft.com">http://www.dxsoft.com</a>
8	Writelog	<a href="http://www.writelog.com">http://www.writelog.com</a>
9	RCKlog	<a href="http://www.rcklog.de">http://www.rcklog.de</a>
10	Win-Test	<a href="http://www.win-test.com">http://www.win-test.com</a>
11	UR5EQF	<a href="http://www.ur5eqf.com">http://www.ur5eqf.com</a>

Электронные отчеты формата Cabrillo в течение 30 дней после окончания соревнований необходимо высылать на e-mail.

Файл Cabrillo должен быть вложением, а в теме письма необходимо указать позывной. Заявляемая категория участника указывается в шапке Cabrillo файла.

Бумажные отчеты написанные вручную в течение 30 дней после окончания соревнований необходимо высыпать на адрес штаб-квартиры UCC : **P.O. Box 4850, Zaporozhye, 69118, Ukraine.**

За каждый отчет, присланный по e-mail, будет высыпаться подтверждение получения или причина отказа в приеме отчета. Информация о полученных отчетах будет также отражена на сайте конTESTа: <http://www.urdxc.org>

UBN файл высыпается по запросу на e-mail.

**Дисквалификация:** нарушение правил регламентирующих радиолюбительство, неспортивное поведение во время соревнований либо нарушение этого положения являются достаточным поводом для дисквалификации.



# Отвечаем на вопросы и письма наших читателей



Второй месяц осени характерен резким увеличением количества звонков и писем в редакцию. Мы стараемся ответить на них как можно быстрее письменно или по телефону. В этой редакторской статье мы хотим дать ответы на вопросы, которые, как нам кажется, могут заинтересовать не только задавших их, но и более широкий круг читателей.

Наш читатель **Олег Николаевич Павлов** из г. Белая Церковь (Киевской обл.) пишет: «Несколько лет назад приобрел небольшой телевизор Saturn-1402 для дачи с 14-дюймовым кинескопом. Он меня полностью устраивает, так как имеет потребляемую мощность всего 60 Вт, настройку на 150 каналов, телетекст, 2 встроенных динамика мощностью 2 Вт. На задней панели телевизора есть входные и выходные разъемы аудио/видео. Присутствуют несколько дополнительных функций: таймер сна, календарь и игра. Начиная с весны этого года, экран телевизора начал временно гаснуть, а в середине сентября погас окончательно. Хочу восстановить его самостоятельно, тем более что ближайшая мастерская расположена в 30 км от дачи в г. Белая Церковь, а везти его туда и обратно в переполненном маршрутном автобусе проблематично. Хотелось бы найти его схему и получить рекомендации по ремонту. Кроме того, у моей сестры в Фастове вышел из строя телевизор Saturn ST-2104. Нужна схема и этого аппарата».

Уважаемый Олег Николаевич, схемы обоих телевизоров мы публикуем на вкладке этого номера. На стр. 32–33 напечатана принципиальная схема телевизора Saturn ST-2104, а на стр. 31–34 – схема Saturn-1402. По поводу рекомендаций по ремонту замечу, что для конкретных рекомендаций крайне мало информации. Начать надо с того, что следует проверить исправность блока питания (БП). Если БП хоть как-то работает, то надо определить, в каком именно режиме он работает: в дежурном или в рабочем. Если телевизор не выходит из дежурного в рабочий режим, то следует проверить напряжение на выводе 1 процессора UOC N201 (см. схему Saturn-1402 на вкладке). В дежурном режиме там должен быть уровень лог. «0», а в рабочем – лог. «1». Если БП переходит в рабочий режим, то следует проверить наличие высокого напряжения (по электризации экрана кинескопа). Для этого достаточно поднести к экрану кинескопа кисть руки. Если высокого напряжения нет, то неисправность следует искать в строчной развертке, а если есть, то следует проверить накал и режим кинескопа. Очень характерные дефекты – это плохие контакты в панельке кинескопа и сухие пайки на плате кинескопа. Это,

пожалуй, все, что можно рекомендовать проверить, не видя аппарата. Замечу, что много телевизоров этой модели были собраны по бесцинковой технологии, что может значительно усложнить ремонт в домашних условиях.

Многие наши читатели просят опубликовать какую-либо схему в журнале, так как она получается довольно высокого качества, которое трудно получить при ксерокопировании и даже при печати на принтере. К сожалению, мы не все найденные нами схемы по просьбам читателей можем опубликовать из-за невысокого качества найденных исходников.

К нам обратился наш постоянный подписчик **Анатолий Антонович Блалуца** из г. Южноукраинск, Николаевской обл., с просьбой выслать или опубликовать принципиальную схему радиоприемника «Ишим-003». К сожалению, качество схемы в заводском паспорте этого аппарата не очень высокое, что не позволяет опубликовать ее на страницах нашего журнала. Копию этой схемы выслали Анатолию Антоновичу по почте.

Подобных примеров можно привести множество.

Около года мы собираем и обрабатываем информацию с предложениями читателей по оптимизации нашего журнала. Один из результатов анализа поступивших предложений – это изменение наименования рубрик журнала. В новом году мы хотим ввести следующие рубрики:

1. Аудио-Видео.
2. Промышленная аппаратура.
3. Схемотехника.
4. РА для начинающих.
5. Измерительная техника.
6. Обмен опытом ремонта РЭА.
7. Технологии.
8. Светотехника.
9. Источники питания.
10. Компьютеры в радиолюбительской практике.
11. Микроконтроллеры в радиолюбительской практике.
12. Современные телекоммуникации.
13. КВ + УКВ.
14. Новости, информация, комментарии.

Список не окончательный. Редакционная коллегия рассмотрит и другие предложения, если такие будут. Свои статьи, вопросы и пожелания присылайте, как обычно, на адрес редакции: а/я 50, 03110, Киев-110, Украина, или на электронный адрес: ra@sea.com.ua.

От имени редакции на вопросы отвечал  
главный редактор Игорь Безверхний



### «СКТВ»

#### ЗАО «РОКС»

Украина, 03148, г. Киев,  
ул. Г. Космоса, 2Б  
т/ф: (044) 407-37-77;  
407-20-77, 403-30-68  
e-mail: pks@roks.com.ua  
<http://www.roks.com.ua>

Спутниковое, эфирное ТВ. Многоканальные цифровые системы с интегрированной системой условного доступа МИТРИС, MMDS. Телевизионные и цифровые радиорелейные линии. Модуляторы ЧМ, QPSK, QAM 70 МГц, RF, L-band. Охранная сигнализация, видеонаблюдение.

#### НПФ «Видикон»

Украина, 02099, Киев, ул. Зрошувальна, 6  
тел.: 567-74-30, 567-83-68,  
факс: 566-61-66  
e-mail: vcb@vidikon.kiev.ua  
<http://www.vidikon.kiev.ua>

Разработка, производство, продажа для КТВ усилителей домовых и магистральных, фильтров и изоляторов, ответвлений магистральных и разъемов, головных станций и модуляторов.

#### «ВИСАТ» СКБ

Украина, 03115, г. Киев,  
ул. Святошинская, 34,  
т/ф: (044) 403-08-03,  
тел: 452-59-67, 452-32-34  
e-mail: visat@i.kiev.ua  
<http://www.visatUA.com>

Спутниковое, кабельное, радиорелейное 1,5...42ГГц. МИТРИС, MMDS-оборудование. МВ, DMB, FM передатчики. Кабельные станции BLANKOM. Базовые антенны DECT; PPC; 2.4 ГГц; MMDS 16-dBi; GSM, DMB 1 кВт. СВЧ модули: гетеродины, смесители, МШУ, усилители мощности, приемники, передатчики. Проектирование и лицензионный монтаж ТВ сетей. Спутниковый интернет.

#### «Влад+»

Украина, 03134, г. Киев,  
ул. Булгакова, 18, т/ф: (044) 458-56-68,  
тел.: (044) 361-22-89, (044) 383-87-13.  
e-mail: vlad@vplus.kiev.ua  
[www.vlad.com.ua](http://www.vlad.com.ua)

Оф. представитель фирм ABE Elettronika-AEV-CO. EI-ELGA-Elenos, ANDREW. ТВ аналоговые и цифровые передатчики, FM транзисторные передатчики, радиорелейные линии, студийное оборудование. Антенны передающие для ТВ и FM, фидер для тракты ТВ и FM, модернизация и ремонт ТВ передатчиков. Доставка оборудования из-за границы и таможенная очистка груза. Услуги таможенно-лицензионного склада. Монтаж печатных плат.

#### Beta tvcom

Украина, 83004, г. Донецк,  
ул. Гаражная, 39,  
т/ф. (062) 381-81-85, 381-98-03,  
381-87-53, 386-36-33, 386-36-45  
<http://www.betatvcom.dn.ua>,  
e-mail: office@betatvcom.dn.ua

Производство сертифицированного оборудования: полный спектр оборудования для цифрового ТВ; ГС на цифровых

и аналоговых модулях для КТВ, цифровые и аналоговые ТВ и FM передатчики 1 – 2000 Вт, системы MMDS, МИТРИС, ЦРРС диапазона 7-40ГГц до 155 Мбит/с, оптические передатчики 1310 и 1550 нм. Измерительные приборы 5-26000 МГц.

#### РаТек-Киев

Украина, 03056,  
г. Киев, пер. Индустриальный, 2  
тел: (044) 277-67-41,  
т/ф: (044) 277-66-68  
e-mail: ratek@torsat.kiev.ua  
Спутниковое, эфирное, кабельное ТВ. Производство радиопультов, усилителей, ответвлений, модуляторов, фильтров. Программное обеспечение цифровых приемников. Спутниковый интернет.

### ЭЛЕКТРОННЫЕ КОМПОНЕНТЫ

#### ООО НПП «ПРОЛОГ-РК»

Украина, 04212, г. Киев,  
ул. Маршала Тимошенко, 4а, к.74  
тел: (044) 451-46-45, 451-85-21,  
факс: 451-85-26  
e-mail: prolog@ipnet.ua  
Оптовые и мелкооптовые поставки импортных и отечественных р/электронных компонентов, в том числе с приемкой «1», «5», «9». Техническая и информационная поддержка, гибкая система скидок, поставка в кратчайшие сроки.

#### ООО «АМел»

02098, м. Киев,  
прт. Тичини, буд. 4, оф. 9  
тел: (044) 294-26-84  
факс: (044) 294-24-66  
<http://www.amel.com.ua>  
e-mail: info@amel.com.ua  
Активные и пассивные радиоэлектронные компоненты импортного производства (NXP, Atmel), коннекторы, кабельно-проводниковая продукция, изготовление и монтаж печатных плат. Гибкие цены, доставка.

#### «РКС КОМПОНЕНТЫ»

Украина, 03087, г. Киев,  
ул. Чоколовский бульвар, 42а, 1-й этаж.  
тел./факс: (044) 220-01-72  
e-mail: rcs1@rcs1.relc.com  
[www.rcscomponents.kiev.ua](http://www.rcscomponents.kiev.ua)  
Склад ЭЛЕКТРОННЫХ КОМПОНЕНТОВ в Киеве. Прямые поставки от производителей.

#### ООО «РТЭК»

Украина, 04119, г. Киев,  
ул. Дегтяревская, 62, офисный центр  
«Ферммаш», оф. 46.  
тел: (044) 456-98-69, (044) 456-51-27,  
(044) 520-04-77, 520-04-78, 520-04-79  
e-mail: chip@rainbow.com.ua  
<http://www.rainbow.com.ua>

Официальный дистрибутор на Украине ATTEL, MAXIM/DALLAS, INTERNATIONAL RECTIFIER, NATIONAL SEMICONDUCTOR, ROHM.

#### ООО «Никс-Электроникс»

02002, г. Киев,  
ул. Раисы Окипной, 3, офис 2

т/ф: (044) 516-85-13, 516-59-50

e-mail: chip@nics.kiev.ua

[www.nics.kiev.ua](http://www.nics.kiev.ua)

Комплексные поставки электронных компонентов. Более 20 тыс. наименований со своего склада: Analog Devices, Atmel, Maxim, Motorola, NXP, Texas Instruments, STMicroelectronics, International Rectifier, Power-One, PEAK Electronics, Meanwell, TRACO, Powertip.

#### Компанія СЕА

Україна, 02094, м. Київ,  
вул. Krakivs'ka, 13Б.  
тел.: (044) 291-00-41 (багатоканальний)  
т/ф: 291-00-42  
e-mail: info@sea.com.ua  
<http://www.sea.com.ua>

Регіональні представництва:  
Дніпропетровськ: dnipro@sea.com.ua;  
Харків: kharkiv@sea.com.ua  
Львів: lviv@sea.com.ua;  
Севастополь: sevastopol@sea.com.ua;  
Одеса: odessa@sea.com.ua;  
Донецьк: den@sea.com.ua.  
Електронні компоненти;  
електротехнічна продукція;  
промислові комп'ютери;  
бездротові компоненти;  
світлотехнічна продукція;  
AC/DC-, DC/DC-, DC/AC- перетворювачі;  
вимірювальні пристрой;  
лічильники електроенергії;  
паяльне обладнання;  
контрактне виробництво.

#### МАСТАК ПЛЮС

Украина, 04080, г. Киев,  
ул. Межигорская, 83, оф. 610,  
тел: (044) 537-63-22, ф. 537-63-26  
e-mail: info@mastak-ukraine.kiev.ua  
<http://www.mastak-ukraine.kiev.ua>  
Поставка электронных компонентов Xilinx, Atmel, Grenoble, TI-BB, TI-RFID, IRF, AD, Micron, NEC, Maxim/Dallas, IDT, Altera, AT. Регистрация и поддержка проектов, гибкие условия оплаты, индивидуальный подход.

#### VD MAIS

Украина, г. Киев, 03061,  
ул. М. Донца, 6  
тел: (044) 492-88-52 (многокан.),  
220-0101, факс: 220-0202  
e-mail: info@vdmais.kiev.ua  
<http://www.vdmais.kiev.ua>  
Эл. компоненты, системы промавтоматики, измерительные приборы, шкафы и корпуса, оборудование SMT, изготовление печатных плат. Дистрибутор: Agilent Technologies, AIM, ANALOG DEVICES, ASTEC POWER, Cree, DDC, ELECTROLUBE, ESSEMTEC, FILTRAN, GEYER ELECTRONIC, IDT, Hameg, HARTING, KINGBRIGHT, Kroy, LAPPKABEL, LPFK, MURATA, PACE, RECOM, Rittal, Rohm, SAMSUNG, Siemens, SCHROFF.

#### «ТРИОД»

Украина, 03194, г. Киев - 194,  
ул. Зодчих, 24  
т/ф: (044) 405-22-22, 405-00-99  
e-mail: ur@triod.kiev.ua  
<http://www.triod.kiev.ua>  
Радиолампы пальчиковые 6Д.., 6Н..,  
6П.., 6Ж.., 6С и др. Генераторные лампы  
Г, ГИ, ГМ, ГМИ, ГУ, ГК, ГС и др.  
Тиратроны, кенотроны. Магнетроны, лам-



пы бегущей волны, кистроны, разрядники. Электронно-лучевые трубы, видиконы, ФЭУ. Контакторы ДМР, ТКС, ТКД и др. Автоматы защиты АЗР, АЗСГК и др. СВЧ модули 1ГИ.., 1УИ.., 1УСО и др. Сельсины, двигатели. Высоковольтные конденсаторы К15-11, К15У-2 и др. Гарантия. Доставка. Скидки. Продажа и закупка.

#### ООО «Дискон»

Украина, 83008, г. Донецк, ул. Умова, 1  
т/ф: (062) 385-49-09, (062) 385-48-68  
e-mail: sales@discon.ua  
<http://www.discon.ua>

Поставка эл. компонентов (СНГ, импорт) со склада. Всегда в наличии СПЗ-19, СП5-22, АОТ127, АОТ128, АОТ101. Пьезоизлучатели и звонки. Стеклотекстолит фольгированный одно и двухсторонний. Трансформаторы, корпуса и аккумуляторы.

#### ООО «ПАРИС»

01013, г. Киев,  
ул. Промышленная, 3  
тел: (044) 286-25-24, 284-58-24/25,  
т/ф: 285-17-33  
e-mail: paris@mail.paris.kiev.ua  
[www.parisgroup.com.ua](http://www.parisgroup.com.ua)

Разъемы, соединители, кабельная продукция, сетевое оборудование, выключатели и переключатели. Электрооборудование: шкафы, щиты, короба, лотки, пускатели. ЖКИ, светодиодная продукция. Инструмент.

#### ООО «ЛЮБКОМ»

Украина, 03035. г. Киев,  
ул. Соломенская, 1, оф. 205-211  
т/ф: (044) 496-59-08 (многокан),  
248-80-48, 248-81-17, 245-27-75  
e-mail: dep\_sales@lubcom.kiev.ua  
Поставки эл. компонентов – активные и пассивные, импортного и отечественного производства. Со склада и под заказ. Информационная поддержка, гибкие цены, индивидуальный подход.

#### GSM СТОРОЖ

Украина, г. Ровно,  
Тел.: (097) 48-13-665  
<http://www.gsm-storozh.com.ua>  
e-mail: info@gsm-storozh.com,  
mapic@mail.ru

Охранные устройства с оповещением по каналу сотовой связи – охрана объектов с оповещением на телефон (звуковое, SMS и GPRS сообщения), дистанционное управление устройствами, определение координат автотранспорта (GSM и GPS навигация), возможность дистанционного контроля группы объектов (DTMF, CSD, GPRS диспетчер). Разработка, производство, внедрение. Гибкие цены, гарантия, доставка по СНГ.

#### ООО «НЬЮ-ПАРИС»

01013, г. Киев, ул. Промышленная, 3  
Тел.: (044) 277-35-87, 277-35-89  
факс: (044) 277-35-88  
e-mail: newparis@newparis.kiev.ua  
<http://www.newparis.kiev.ua>  
Электронные компоненты: соединители, оптические компоненты, шкафы и распределительные элементы, кроссовое оборудование, источники бесперебойного питания.

#### «ЭлКом»

Украина, 69000, г. Запорожье,  
пр. Ленина, 152, (левое крыло), оф. 309  
т/ф: (061) 220-94-11,  
тел: 220-94-22  
e-mail: elcom@elcom.zp.ua  
<http://www.elcom.zp.ua>

Эл. компоненты отечественного и импортного производства со склада и под заказ. Спец. цены для постоянных покупателей. Доставка почтой. Продукция в области проводной связи. электроники и коммуникаций. Разработка и внедрение.

#### ТОВ «Бриз ЛТД»

Украина, г. Киев, ул. Шутова, 16  
тел: (044) 599-32-32, 599-46-01  
e-mail: briz@nbi.com.ua

Радиолампы 6Д, 6Ж, 6Н, 6С, генераторные ГИ, ГС, ГУ, ГМИ, ГК, ГМ, тиратроны ТР, ТГИ, магнетроны, кистроны, разрядники, ФЭУ, лампы бегущей волны. Проверка и перепроверка. Закупка и продажа.

#### ОЛЬВИЯ-Электро

Украина, 03113, г. Киев,  
ул. Дружковская, 10, оф. 711  
тел.: (044) 503-33-23, 599-75-50,  
(067) 504-76-54, (099) 738-01-28  
e-mail: korpus@oe.net.ua, andrey@oe.net.ua  
<http://www.olv.com.ua>  
Корпуса пластиковые для РЭА, кассетницы. Пленочные клавиатуры. Кабельно-проводниковая продукция.

#### ООО «РЕКОН»

Украина, 03168, г. Киев,  
ул. Авиаконструктора Антонова, 5, оф. 108  
e-mail: rekon@rekon.kiev.ua  
<http://www.rekon.kiev.ua>  
Поставки электронных компонентов.  
Гибкие цены, консультации, доставка.

#### НПКП «Техекспо»

Україна, 79015, м. Львів,  
вул. Героїв УПА, 71д  
тел.: (032) 295-21-65, (032) 245-25-24,  
т/ф: (032) 244-04-62  
Електронні компоненти. Контрольно-вимірювальна техніка. Паяльне обладнання та аксесуари. Виготовлення друкованих плат. Прямі поставки зі складів TME, MICROS, TRIM-POT (Польща).

#### ООО «СерПан»

Украина, г. Киев, бул. И. Лепсе, 8  
тел.: (044) 594-29-25,  
454-13-02, 454-11-00  
e-mail: cerpan@cerpan.kiev.ua  
<http://www.cerpan.kiev.ua>  
Предлагаем со склада и под заказ:  
разъемы 2PM, СШР, ШР и др.;  
Конденсаторы, микросхемы, резисторы;  
Предохранители, диоды, реле и другие  
радиокомпоненты.

#### ООО «Имрад»

Украина, 04112, г. Киев, ул. Шутова, 9  
т/ф: (044) 490-2195, 490-21-96,  
495-21-09/10  
e-mail: imrad@imrad.kiev.ua  
<http://www.imrad.kiev.ua>  
Высококачественные импортные электронные компоненты для разработки, производства и ремонта электронной техники со склада в Киеве.

#### ООО «КОМИС»

Украина, 03150, г. Киев,  
пр. Краснозвездный, 130  
т/ф: (044) 525-19-41, 524-03-87  
e-mail: gold\_s2004@ukr.net  
<http://www.komis.kiev.ua>

Комплексные поставки всех видов отечественных эл. компонентов со склада в Киеве. Поставка импорта под заказ. Спец. цены для постоянных клиентов.

#### ДП «ЭЛФА Электроникс»

04071, г. Киев, ул. Оболонская, 47  
тел: +38 (044) 221-29-66, 221-29-67  
e-mail: office@elfaelectronics.com.ua  
[www.elfaelectronics.com.ua](http://www.elfaelectronics.com.ua)

ДП «ЭЛФА Электроникс» официальный представитель компаний ELFA, Visaton, Keystone в Украине. Осуществляет поставку импортных (от более 600 производителей) электрокомпонентов, акустических систем и электрооборудования общим объемом ассортимента 65 000 наименований. Срок поставки 10-14 дней.

#### «СИМ-МАКС»

Украина, г. Киев,  
пр. Лесной, 39 А, 2 этаж  
тел: (044) 502-69-17, 568-09-91,  
(063) 568-09-91, (095) 777-77-63,  
(067) 909-77-73  
e-mail: simmaks.5680991@gmail.com  
<http://www.simmaks.com.ua>

Радиолампы, 6Н, 6П, 6Ж, 6С и др. Магнетроны, тиратроны, кистроны, разрядники, ЛБВ. Проверка, гарантия, доставка.

#### ООО «Радар»

Украина, 61058, г. Харьков,  
(для писем а/я 8864)  
ул. Данилевского, 20 (ст м. «Научная»)  
тел.: (057) 754-81-50,  
факс: (057) 715-71-55  
e-mail: radio@radar.org.ua

Радиоэлементы в широком ассортименте в наличии на складе: микросхемы, транзисторы, диоды, резисторы, конденсаторы, элементы индикации, разъемы, установочные изделия и многое другое. Возможна доставка почтой и курьером.

#### ООО «РАДИОКОМ»

Украина, 21021, г. Винница,  
ул. Келецкая, 60, к. 1  
тел.: (0432) 53-74-58, 65 72 00, 65 72 01,  
(050) 523-62-62, (050) 440-79-88,  
(068) 599-62-62  
e-mail: radiocom@svitonline.com  
<http://www.radiocom.vinnitsa.com>  
Радиокомпоненты импортного и отечественного производства. Керамические, электролитические и пленочные конденсаторы. Резисторы, диоды, мосты, стабилизаторы напряжения. Стабилитроны, супрессоры, разрядники, светодиоды, светодиодные дисплеи, микросхемы, реле, разъемы, клеммники, предохранители.

#### WWW.RADIODETALI.COM.UA

Киевский радиорынок «Караваевы дачи»  
Павильон 9В  
тел.: (044) 362-04-24, (044) 242-20-79,  
(067) 445-77-72, (095) 438-82-08  
Высококачественные импортные электронные компоненты для разработки, производства и ремонта электронной техники.



# Электронные наборы и приборы почтой

Уважаемые читатели, в этом номере опубликован сокращенный перечень электронных наборов и модулей «МАСТЕР КИТ», а также измерительных приборов, инструментов, журналов и книг, которые вы можете заказать с доставкой по почте наложенным платежом. Каждый набор состоит из печатной платы, компонентов, необходимых для сборки устройства, и инструкции по сборке. Все, что нужно сделать, это выбрать из каталога заинтересовавший Вас набор и с помощью паяльника собрать готовое устройство. Если все собрано правильно, устройство заработает сразу без последующих настроек. Если в названии набора стоит обозначение «модуль» (МК, МР, МТ), или «готовый блок» (ВМ) значит, набор не требует сборки и готов к применению. Вы имеете возможность заказать эти наборы, измерительные приборы, инструмент и паяльное оборудование через редакцию. Стоимость, указанная в прайс-листиах, не включает в себя почтовые расходы, что составляет при общей сумме заказа от 1 до 99 грн. – 20 грн., от 100 до 199 грн. – 25 грн., от 200 до 500 грн. – 35 грн.

Для получения заказа Вам необходимо прислать заявку на интересующий Вас набор, или книгу по адресу: Издательство «Радиоаматор» («МАСТЕР КИТ»), а/я 50, Киев-110, индекс 03110, или по факсу (044) 291-00-29. В заявке разборчиво укажите кодовый номер изделия, его название и Ваш обратный адрес. Заказ высылается наложенным платежом (оплата заказа при получении на почте). Срок получения заказа по почте 2-4 недели с момента получения заявки. Номер телефона для справок, консультаций и оформления заказов: с 12.00 до 18.00 по тел. (044) 291-00-31, (067) 796-19-53, (050) 187-62-20, e-mail: val@sea.com.ua, http://www.ra-publish.com.ua. Ждем Ваших заказов. **Более подробную информацию по комплектации набора и его техническим характеристикам Вы можете узнать из каталога «МАСТЕР КИТ-2010-2» стоимостью 35 грн.**

Код	Наименование набора	Цена в грн.
NR01	Набор начинающего радиолюбителя (инструмент, паяльник, припой, 2 платы с компон.	395
EK001	Электронный конструктор «Чудо КИТ» FM радиоприемник	140
EK001P	Электронный конструктор «Чудо КИТ» FM радиоприемник (набор для пайки)	129
EK002P	Радиоконструктор «Твое радио» №2. (FM, с жк диспл., часами и встроен. таймером)	195
EK003	Электронный конструктор «Твое радио №3» Стереофон. УКВ, FM тюнер с пультом ДУ	335
EK004	Радиоконструктор «Твое радио» №4	295
EK007	Радиоконструктор «Твое радио» №1. (Цифр. FM-радиопр.+цифр. усилитель D-класса	239
EK35	Электронный конструктор «Чудо КИТ» на 35 электронных схем для детей от 4 до 9 лет	125
EK39	Электронный конструктор «Чудо КИТ» на 39 схем для детей от 5 до 12 лет	200
EK501	Робот-конструктор (для детей от 5 до 12 лет)	785
EK502	Робот-конструктор (для детей от 5 до 12 лет)	635
EK503	Робот-конструктор (для детей от 5 до 12 лет)	635
EK9889	<b>Электронный конструктор «Чудо КИТ» с солн. батар. на 9889 схем для дет. от 5 до 14 лет</b>	495
RA005	Адаптер 2K-L-USB-LPG (для авто с инж. и газовым двигателем) гор. устр-во USB + CD с прогр.	295
RA006	Каталог «Мастер КИТ-2010». Бумажная версия 2010 год, выпуск 2	35
RA008	Книга «Собери сам 55 электр. устр. из наборов «МАСТЕР КИТ». Схемы для самостоятельной сборки	35
RA012	Адаптер 2K-L-USB-LPG (инж. и газ двигат.) гор. устр. USB + CD с прогр. + колодка OBDII	475
RA021	Металлоискатель «IMPULSE» (прототип м/и «KLON PIV» платы спаяна, самоопр. катушек)	695
RA022	GSM сигнализация SEA G12 (базовый блок+2 беспр. датч.+2 брелока+сирена+блок пит.)	1680
RA023	Беспроводной магнито-контактный датчик для SEA G12	50
RA024	Беспроводной датчик движения для SEA G12	180
RA026	Беспроводной датчик разбития стекла с адаптером для SEA G12	220
RA027	Датчик дыма для SEA G12	180
RA028	Датчик газа для SEA G12	180
RA032	<b>Аппарат «Витафон» (Виброякустический аппарат для лечения различных заболеваний)</b>	395
AK059	Высокочастотный пьезоизлучатель	59
BM005	Сумеречный переключатель на SMD(220В, 800Вт., регулир. порог срабат.) гор. блок	295
BM037	Регулируемый стабилизатор напряжения 1,2...30В/3А (готовый блок)	145
BM037M	<b>Импульсный регулируемый стабилизатор напряжения 1,2...30В/3А (готовый блок)</b>	145
BM038	Сетевой адаптер с регулируемым выходным напряжением 1,5...15В/1А (гор. блок)	265
BM057	Усилитель НЧ 22 Вт (TDA2005) с радиатором	100
BM071	Регулятор мощности 220В/3кВт	178
BM083	Инфракрасный барьер 50 м	145
BM137	Микрофонный усилитель (готовый блок)	69
BM146	Исполнительный элемент (готовый блок)	74
BM238F	Таймер 2сек...3 час/300Вт (готовый блок)	165
BM245	Регулятор мощности 500 Вт/220В	69
BM246	Регулятор мощности 1000 Вт/220В	75
BM247	Регулятор мощности 2500 Вт/220В	165
BM250F	Устройство управления насосом (готовый блок)	145
BM251F	Циклический таймер 1...180 мин/сек/220В/200Вт	225
BM404F	Цифровой вольтметр (готовый блок)	295
BM408F	Цифровой счетчик (подсчет кол-ва посетителей, товара и пр.) (готовый блок)	245
BM409F	Датчик движения с звуковым сигналом (зоны действия до 7м.) (готовый блок)	225
BM706F	Охранная сигнализация (5 независимых зон) (готовый блок)	255
BM707F	Термореле цифровое (-20...+100С)нагр. 500Вт, точность 0,1С (готовый блок)	295
BM708F	Датчик движения с фотодиодом (сумеречным переключ.) (готовый блок)	255
BM709F	Цифровые часы с таймером (10 программ) (готовый блок)	265
BM710F	Регулятор мощности 12/24В 30A(готовый блок)	255
BM711F	Цифровые часы-секундомер-таймер (готовый блок)	359
BM945F	Цифровой контроллер температуры с жк диспл. (гор. блок 0-99град, нагрузка 220В 1А)	285
BM1043	<b>Устройство плавного включения ламп накаливания 220В/800Вт, 5 сек.</b>	89
BM1707	Цифровой USB-термометр MP707. (Подкл. до 32 датч. 2 независ. каналов упр. нагрузками)	145
BM2032	Усилитель НЧ 4x40 Вт (TDA7386, авто, готовый блок)	179
BM2033	Усилитель (модуль) НЧ 100 Вт (TDA7294, готовый блок)	120
BM2034	Усилитель (модуль) НЧ 70 Вт (TDA1562, авто), (готовый блок)	185
BM2039	Усилитель НЧ 2x40 Вт (TDA8560Q/TDA8563Q)	115
BM2042	Усилитель (модуль) НЧ 140 Вт (TDA7293, Hi-Fi, готовый блок)	148
BM2043	Мощный автусилитель мостовой 4x77 Вт (TDA7560, авто) готовый блок	215
BM2051	2-канальный микрофонный усилитель (готовый блок)	58
BM2061	Электронный ревербератор (эффект «Эхо»/ «Объемный звук»)	178
BM2071	Цифровой усилитель D-класса мощностью 315 Вт	365
BM2072	Цифровой усилитель D-класса мощностью 315 Вт с цифровым процессором звука	995
BM2073	2-х канальный звуковой усилитель (2x210Вт) D-класса с возмож. расширения до 6 каналов	695
BM2073N	<b>2(6)-канальный цифровой усилитель «D-класса 2x210 Вт</b>	750
BM2111	Стереофонический тембропр. (20...20000 Гц; Rbx>30 кОм, Rvых=20 Ом)	189
BM2115	Активный фильтр НЧ для сабвуфера (готовый блок)	79
BM2118	Предвар. стереофонич. регулир. усилитель с балансными входами 2-х канальный	80
BM2412	Преобразователь напряжения 24В-12В (вх.20-30В; вых.12-13В, 10А) (готовый блок)	225
BM4012	Датчик уровня воды	59
BM4022	Термореле 0...150 (готовый блок)	95
BM4511	Регулятор яркости ламп накаливания 12 В/50 А	80
BM6020	Светодиодный модуль	200
BM6031	Лампа светодиодная 150 люмен (потребление 3Вт)	198
BM6032	Лампа светодиодная 300 люмен (потребление 6Вт)	245
BM6120	Светильник на мощных светодиодах	310
BM6501	USB-осциллограф (с функциями частотомера и генератора)	3295
BM8009	<b>GPS-GPRS трекер автомобильный.</b>	945
BM8009L	<b>GPS-GPRS трекер автомобильный.</b>	900
BM8010	Двухдиапазонный частотомер с ж/к дисплеем (1,1Гц - 12 МГц, 100-960 МГц)	545
BM8020	USB-осциллограф (2-х канальный, 100Гц - 200КГц)	665
BM8021	Цифровой запоминающий осциллограф (2 канальный)	2095
BM8023	Запоминающий USB логический анализатор	985
BM8036	8-кан микропр.таймер, термостат, часы «Умный дом» с возмож. подкл. до 32 датчиков.	775
BM8037	Цифровой термометр (до 16 датчиков)	265
BM8038	Охранное устройство GSM-автономное (GSM-сигнализация) (готовый блок)	345
BM8039	GSM интеллектуальное управляющее охранное устройство «Гардиан» (охр.+тепл. датчики)	995
BM8039S	Датчики дыма и устройства согласования	385
BM8040	ДУ на ИК-лучах + приемн.-плата на 10 выходов 12-24В по 2А. Дальность 10-15 м.	200
BM8042	Универсальный импульсный металлоискатель Кошкой-5И (блок). Глубина - 1,5-3м.	435
BM8043	Селективный металлоискатель «КОШЕЙ-18М» с ж/к дисплеем (блок). Глубина - 2м.	2195
NM8043	Печатный датчик-катушка включая кабель, разъемы и гермеввод для BM8043	1195
BM8044	Импульсный металлоиск. «Кошкой-5ИМ» с ж/к дисплеем (блок). Глубина 1,5-3м.	995
NM8044	Печатный датчик-катушка включая кабель, разъемами и гермеввод для BM8044,BM8042	465
DK001	<b>Глубинный зонд (металлоискатель для поиска под водой глуб. до 10м. Р обнар-1м.)</b>	1100
DK015	Пинпоинтер (целеуказатель). (Для точного обнаруж.мелких предм. в грунте и воде 25-180мм.)	845
DK020	<b>Селективный металлоискатель «КОШЕЙ-20М» с ж/к дисплеем, электронный блок</b>	2550
DK021	<b>Кольцевая катушка для «Кошкой-20М», гор. устройство диаметр 19,5 см.</b>	1595
DK023	Металлоиск. BM8043 «Кошкой-18М» в сборе-блок, штанга, АКБ, печ. датч. (гар.12 мес.)	4690
DK026/1	Пластиновый корпус катушки для BM8041-44 с кронштейном, гермов. и шпильками	195
DK033	Глубинный датчик-катушка 1,2м. х 1,2м.(глуб. до 3 метров) для BM8044,DK017	1495
DK034	Кольцевая катушка для BM8043 «КОШЕЙ-18М» (готовое устройство, диаметр 19,5 см.)	1580
DK037	<b>Импульсный металлоиск. «Кошкой-5ИМ»+ штанга+АКБ+зарядн. устр-во + катушка</b>	2590
KIT-штанга+АКБ	Штанга телескопическая для металлоискателя + АКБ с зарядным устройством	1095
BM8049	Включатель освещения с дистанц. управлением от телевизионного пульта (нагр.150 Вт)	145
BM8049M	Включатель освещения с дистанционным управлением до 1,5 кВт от любого пульта ДУ	165
BM8050	<b>Переходник USB в COM (интерфейс: USB1.1, USB2.0)</b>	120
BM8051	Переходник USB-UART адаптер (готовое устройство)	110
BM8060	Бытовая ч/б видеокамера-глазок (с ИК диапазоном, матрица CCD 1/3, разъемы RCA)	345
BM8079D	Источник бесперебойного питания 12В/0.4А	415
BM9009	Внутриструмный программатор AVR микроконтроллеров (LPT-адаптер)	125
BM9010	USB внутриструмный программатор AVR	195
BM9213	Универсальный автомобильный адаптер K-Lинии USB	259
BM9215	Универсальный программатор (базовый блок) (готовый блок)	215
BM9221	Устройство для ремонта и тестирования компьютеров - POST Card PCI	315
BM9222	Устройство для ремонта и тестирования компьютеров - POST Card LCD	495
BM9225	Видеорегистратор (PC плата для цифров. видеонабл. на 4 канала -до 24 видеокамер)	715
BM9230	DMX контроллер (3-х канальный с дисплеем, 12-30В, 0,35/0,7/1А)	385
MA601A	Зарядное устройство для цифровых устр-в miniUSB,3 в 1 (с резервным АКБ 550mA)	155
MA802	PIR детектор движения (крепление стена/потолок). Готовое устройство	115
MA901	USB-FM радио с пультом ДУ	225
MA1238B	Электронный бейджик (8 разных цветов свечения)	415
MA3401	Автономная GSM сигнализация	515
MA8050	<b>Переходник USB - COM (RS232) Prolific</b>	110
MA8052	<b>Переходник USB - LPT</b>	95
M9213	<b>Уни</b>	

MP326	Модуль дистанционного управления 433 МГц (кнопки/триггер, четыре реле) . . . . .	300
MP501F	Цифровой счетчик с возможн. подкл. индикаторов большого разм. (зн. 0-9999, до 14см) . . . . .	295
MP503	Двухканальный термометр с анимированным светодиодным индикатором 5x7 (блок) . . . . .	165
MP507	Вольтметр -10...+15В . . . . .	225
MP508	Вольтметр ±100 В . . . . .	245
<b>MP601</b>	<b>Повышающий DC/DC преобразователь. 12B/24B . . . . .</b>	<b>150</b>
MP701	Релейный блок коммутации (4 канала) . . . . .	245
MP707	Цифровой USB-термометр MP707. (Подкл. до 32 датч., 2 нез. канала упр. нагрузками) . . . . .	145
MP707R	Цифровой USB-термометр/термостат. (Подкл. до 32 термодатч., 2 нез. кан упр. нагр.) . . . . .	215
MP708	USB-ИК приемник MP708 (блок+пульт ДУ) . . . . .	175
MP709	USB-реле с управлением через интернет . . . . .	165
<b>MP730</b>	<b>USB самописец, вольтметр . . . . .</b>	<b>170</b>
MP731	USB генератор импульсов и логический генератор . . . . .	125
<b>MP732</b>	<b>USB частотомер, цифровая шкала и логический анализатор . . . . .</b>	<b>170</b>
MP800A	Блок управления УМ34 с обычным потенциометром и цифровым дисплеем . . . . .	265
MP800D	Блок управления УМ34 с цифровым потенциометром и цифровым дисплеем . . . . .	295
<b>MP8037R</b>	<b>Цифровой термометр/термостат до 8 кВт . . . . .</b>	<b>250</b>
MP903	Цифровой стереофонический УКВ/FM тюнер с пультом ДУ(65-108 МГц) . . . . .	195
MP910	Брелок для систем ДУ 433МГц со сдвигающейся защитной крышкой 12В. . . . .	75
MP911	Приемник для пульта ДУ 433 МГц (MP910). 12В, нагр. 1200Вт . . . . .	95
MP913	Приемник ДУ 433 МГц (кнопка, 2 реле) для пульта MP910 . . . . .	145
<b>MP9011</b>	<b>AVR программатор . . . . .</b>	<b>270</b>
<b>MP9012</b>	<b>Программатор-отладчик PIC-контроллеров . . . . .</b>	<b>520</b>
MP1089	Встраиваемый цифровой FM-приемник. (готовый модуль) . . . . .	98
MP1115	Цифровой усилитель D-класса 15 Вт. Проект «Китайский синдром» (восточная сторона) . . . . .	135
MP1181DI	Многофункциональный USB-MP3/WMA плеер . . . . .	160
MP1181DIF	Многофункциональный USB-MP3/WMA плеер с FM-приёмником . . . . .	200
MP1203	Модуль усилителя 2x2 Вт с питанием от USB (LN4088) . . . . .	45
MP1205	Цифровой индикатор спектра звукового сигнала (10 - полос) . . . . .	420
MP1215	Цифровой усилитель D-класса мощностью 2x15 Вт. Проект «Китайский синдром» . . . . .	115
MP1225	Цифровой усилитель D-класса мощностью 2x25 Вт (TPA3123) . . . . .	115
MP1229	Предварительный усилитель-темброблок с микроконтролл. еправл. и ЖКИ (TDA7313) . . . . .	175
MP1230	Аудиорегулятор 1 канал . . . . .	210
<b>MP1231</b>	<b>Аудиорегулятор 2 канала . . . . .</b>	<b>215</b>
<b>MP1232</b>	<b>Аудиорегулятор 4 канала . . . . .</b>	<b>240</b>
MP1233	Высококачественный предварит. усилитель-темброблок. 4-канала, ЖКИ, ДУ (TDA7313) . . . . .	198
<b>MP1234</b>	<b>Предв. усилитель-темброблок с сабвуф. каналом, МК управлением, ЖКИ и пультом ДУ . . . . .</b>	<b>245</b>
MP1251	Цифровой 5.1 Dolby Digital AC-3, Dolbi Pro Logik, DTS аудио декодер (ресивер) . . . . .	725
MP1252	Домашний кинотеатр. Аналог и цифр вх/ых 5.1, ДУ. Темброблок. Dolbi Digital DTS, PCM . . . . .	995
<b>MP1291</b>	<b>Цифровой усилитель Т-класса (технология Tripath), 2 x 15 Вт . . . . .</b>	<b>210</b>
<b>MP1292</b>	<b>Цифровой усилитель Т-класса (технология Tripath), 2 x 25 Вт «Китайский синдром» . . . . .</b>	<b>215</b>
<b>MP1325</b>	<b>Полный усилитель НЧ (100 Вт). 2 x 25 Вт + 1 x 50 Вт (сабвуфер) + темброблок . . . . .</b>	<b>250</b>
<b>MP1901</b>	<b>Цветная CMOS камера . . . . .</b>	<b>255</b>
MP2103DI	Встраиваемый BLUETOOTH/USB/SD-MP3/WMA плеер . . . . .	465
MP2103DIF	Мультимедийная микросистема MP3/WMA/FM/BLUETOOTH . . . . .	495
MP2151	Hi-Fi. Цифровой усилитель D - класс , 2 x 300 Вт 1 x 600 Вт (мост) . . . . .	1195
MP2201	Hi-Fi. Цифровой усилитель D - класс. 2 x 400 Вт 1 x 800 Вт (мост) . . . . .	1440
MP2281	Hi-Fi. Цифровой усилитель D - класс, 2 x 530 Вт 1 x 1060 Вт (мост) . . . . .	1495
MP2503	Встраиваемый USB-MP3/WMA плеер (блок) . . . . .	105
MP2503RL	Встраиваемый USB-MP3/WMA плеер с пультом ДУ и ЖК дисплеем (блок) . . . . .	180
MP2603DI	Встраиваемый USB-MP3/WMA плеер с пультом ДУ и ЖК дисплеем . . . . .	175
MP2606	Встраиваемый USB-MP3 плеер с ЖК дисплеем . . . . .	190
<b>MP2704</b>	<b>Внешний ЦАП . . . . .</b>	<b>145</b>
MP2803DI	Встраиваемый USB-MP3/WMA плеер с пультом ДУ и ЖК дисплеем (блок) . . . . .	195
MP2866	Встраиваемая микросистема: FM, USB, SD, ДУ, часы/будильник, LED дисплей . . . . .	165
MP2896	Встраиваемая микросистема: FM, USB, SD, ДУ, часы/будильник, LED дисплей . . . . .	165
<b>MP2897</b>	<b>Встраиваемая микросистема с возможностью уст-ки внешнего усилителя Мастер Кит. . . . .</b>	<b>175</b>
MP2902	Цветной монитор 2,5 дюйма . . . . .	440
MP2904	Цветной 4' TFT-LCD модуль разрешением 320 x 240 с видеоконтроллером. . . . .	440
MP2905	Цветной 5,6' TFT-LCD модуль разрешением 320 x 240 с видеоконтроллером . . . . .	440
MP2907	Цветной 7' TFT-LCD модуль разрешением 480 x 240 с вид-м . . . . .	440
<b>MP2907M</b>	<b>Цветной 7' TFT-LCD видеорегистратор с разрешением 800 x 480 модуль (4 Гб) . . . . .</b>	<b>695</b>
MP29035	Цветной 3,5' TFT-LCD видеорегистратор с разрешением 320 x 240 с видеоконтроллером. . . . .	440
<b>MP29035M</b>	<b>Цветной 3,5' TFT-LCD видеорегистратор с разрешением 800 x 480 модуль (4 Гб) . . . . .</b>	<b>565</b>
<b>MP3001</b>	<b>Цифровой усилитель D-класса мощностью 2 x 20 Вт (двойное моно) . . . . .</b>	<b>230</b>
MP3100	Датчик движения (для управл. освещ. порог 150 люкс) . . . . .	178
<b>MP3123 21</b>	<b>Цифровой усилитель D-класса (100 Вт) 2 x 25 Вт + 1 x 50 Вт (сабвуфер) . . . . .</b>	<b>220</b>
<b>MP31PC</b>	<b>Платформа для компьютерного усилителя НЧ . . . . .</b>	<b>115</b>
MP3503I	Микросистема - USB-MP3/WMA плеер с пультом ДУ . . . . .	150
<b>MP3503DAI</b>	<b>Микросистема: AM / FM тюнер, USB MP3 / WMA (плеер), темброблок, пульт ДУ . . . . .</b>	<b>245</b>
MP3503DAIS	Микросистема - FM-тюнер, USB-MP3/WMA плеер, темброблок, пульт ДУ . . . . .	295
MP3503DFI	Микросистема - USB-MP3/WMA плеер, темброблок, пульт ДУ . . . . .	215
<b>MP5613</b>	<b>Цифровой усилитель D-класса мощностью 2 x 150 Вт. Технология PurePath™ HD . . . . .</b>	<b>485</b>
<b>MP5613D</b>	<b>Драйвер для цифрового усилителя D-класса мощностью 300 Вт. . . . .</b>	<b>255</b>
<b>MP5630C2</b>	<b>Конфигуратор для построения мощного двухканального усилителя НЧ . . . . .</b>	<b>335</b>
<b>MP9744</b>	<b>Цифровой усилитель D-класса мощностью 2x20 Вт. (20-20000 Гц. + 4...14B) . . . . .</b>	<b>190</b>
MT1001	USB адаптер 5B (220В/5B, 1A) . . . . .	95
MT1010	Гибкая видеокамера-эндоскоп + кейс (1/6 VGA CMOS: 680x480 pix, 6 см.-беск., 30 к./с.) . . . . .	565
MT1011	«Ручка-массажер» с футляром . . . . .	148
MT1020	Звуковой информатор с датчиком движения (автономное устр-во, дальн. Зм., длит. 10с.) . . . . .	325
MT1040	Охранник зрения и осанки (устр-во устан. на монитор и подкл. через USB-порт) . . . . .	355
MT1060	Анализатор детского плача. (голосен,хочу спать,стресс,раздражен,скуячу)+тепм. влажн. . . . .	955
MT1070	Брелок антистатик (прибор для снятия статического напряжения с LCD-дисплеем) . . . . .	110
MT1080	USB-ионизатор воздуха (в виде флэшки, плотн. анионов 1 млн/см³, вес 22г. гор. устр-во) . . . . .	145
MT1081	USB-ароматизатор воздуха (в виде флэшки, вес 22г. гор. устр-во) . . . . .	169
MT2010	Антисон (устройство для автомобилистов, крепление на ухе) . . . . .	65
MT3031	Возвращатель 5 «целей», модель для путешествий (брелок с GPS модулем и ЖК диспл.) . . . . .	635
MT3032	Возвращатель «Актив» (12 маршрутов, 500 точек, 130гр., с GPS модулем и ЖК диспл.) . . . . .	775
<b>MT3033</b>	<b>GPS часы-возвращатель . . . . .</b>	<b>1030</b>
MT4011	Измеритель мощности и контроля качества электрознегрии с ЖК дисплеем . . . . .	315
MT4012	Тройник «220В+2 USB» (Для зарядки USB-девайсов от сети 220В) . . . . .	195
MT4013	Цифровой термометр с ЖК дисплеем для душа (проточный с насадкой на шланг) . . . . .	105
MT4020	Электронный безмен с Ж/К дисплеем. Измеряемый вес 0-5 кг., точность 10г. Вес 42г. . . . .	175
MT4025	Весы-безмен для багажа с ЖК дисплеем. Измеряемый вес 0-50кг. Вес 120г. . . . .	275
MT4060	Электронный шагомер (фитнес-шагомер) с Ж/К дисплеем . . . . .	115
MT4075	Кухонный таймер-магнит с Ж/К дисплеем (с выбором блюд и звуковым сигналом) . . . . .	98
MT4080	Калькулятор учета расходов (на 8 категорий с USB) . . . . .	220
MT5001	Сверкающая рюмка-стакан (включ. подсветки при наличии жидкости) 4 цв. - кр.ж.з.синий, 60мл. . . . .	49
MT5002	Сверкающий стакан с подставкой, 7 вариантов подсветки, 400мл. . . . .	95
MT5010	Гибкая светод. лампа-фонарь с магнитами (для часов мастерских и радиомонтажн.) . . . . .	190
MT5060	Автономный светильник на светодиодах с датчиком движения . . . . .	155
MT6021	Влагозащитный динамик. (герметич. короб для MP-3 плееров) . . . . .	198
MT6022	Оптическая мышь на палец (надевается на указательный палец - для ПК и ноутбуков) . . . . .	125
MT6030	Вибродинамик (3Вт, 60дБ с USB адаптером и ист. пит.) . . . . .	445
MT6034	Светодиодная фитолампа для подсветки домашних растений . . . . .	245
MT6050	MP3-плеер 2 Гб на солнечной батарее (MP3, WMA) . . . . .	395
MT6080	Цифровая авторучка (пишите и рисуйте от руки в память ПК - более 100 листов А4) . . . . .	965
MT8030	Автоматическая защита компьютера от любопытных коллег (блокировка при дист. 2м) . . . . .	285
MT8045	Мобильная защита от непрошеных гостей (автономная ИК сигнализ. пр-перед. до 20м.) . . . . .	405
MT8055	Сигнализация утечки газа. (с цифр. индикатором уровня утечки газа и звук. оповещ.) . . . . .	295
MT9000	Квартирная SMS-сигнализация (блок+ 2 беспр. датч. на откр., темп., протечку, утеч. газа) . . . . .	1495
<b>MT9000 BOX</b>	<b>Беспроводная квартирная SMS сигнализация . . . . .</b>	<b>1575</b>
MT9002	Многофункциональный беспроводной датчик для MT9000 (открытие, темпер, протечки) . . . . .	285
<b>MT9021</b>	<b>Автономная дачная SMS сигнализация . . . . .</b>	<b>1360</b>
NT801/2	Электронный идентификатор (5 электронных ключей+1 приемник считыватель) . . . . .	235
NT1217	Цифровой блок обраб. сигн. для сабвуф. канала. Аудиопроцессор 2.1 (стерео+сабвуф) . . . . .	130
<b>NT1291</b>	<b>Набор для сборки цифрового усилителя Т-класса (Tripath), 2 x 15 Вт. . . . .</b>	<b>200</b>
<b>NT1292</b>	<b>Набор для сборки цифрового усилителя Т-класса (Tripath), 2 x 25 Вт . . . . .</b>	<b>225</b>
NT5002	Частотомер, таймер . . . . .	98
NT8048 AC220V	Электромагнитный водопроводный клапан. (управление: 220В перем. напряжение) . . . . .	85
NT8048 DC12V	Электромагнитный водопроводный клапан. (управление: 12В постоян. напряжение) . . . . .	85
NT8048 DC24V		

Альтернативные источники энергии. Практические конструкции по использованию энергии солнца, воды, земли, биомассы. НИТ, Германович А., 2011г., 320с.  
**Сборник лучших публикаций журнала «Электрик». Инженерные решения + CD с журналами за 10 лет**  
 Бытовые и автомобильные кондиционеры. Монтаж, установка, эксплуатация. Брошюра  
 Металлоискатели, конструкции. Мастерская радиолюбителя. Брошюра  
**GSM сигнализации из старой мобилки. (Простые конструкции без программаторов). Брошюра**  
 Трехфазный электродвигатель в однофазной сети. Способы подключения. Брошюра  
 Изготовление бензина из воды и бытового газа. Конструкция и описание устройства. Брошюра  
 Высокочастотный сварочный аппарат. Мастерская радиолюбителя. Брошюра -схемы, конструкции  
 Домашний практик. Сварочный полуавтомат. Брошюра -схемы, конструкции, 2010г.  
 Монтаж и эксплуатация электропроводки. Справочное пособие. Брошюра - практик. руководство 2010г.  
 Охранные и пожарные системы сигнализации. Брошюра - схемы, конструкции, 2010г.  
 Электрошокеры. Брошюра -схемы, конструкции, 2011г.  
 Самодельный микроплазменный сварочный аппарат. Брошюра - схемы, конструкции, 2010г.  
 Самодельный электролизный сварочный аппарат. Брошюра - схемы, конструкции, 2010г.  
 Самодельный электростатический воздухоочиститель. Брошюра - схемы, конструкции, 2010г.  
**Самодельные установки для промывки инжекторных систем. Брошюра - схемы, конструкции, 2010г.**  
 Самодельная установка для изготовления пенобетона. Брошюра - схемы, конструкции, 2010г.  
 Самодельная установка системы безинерционного отопления. Брошюра, конструкция, 2010г.  
**Самодельная электростатическая коптильня. Брошюра, конструкция, 2010г.**  
 Самодельная печь на жидкое топливо. Брошюра, конструкция, 2010г.  
 Печи для бани. В помощь домашнему мастеру. Конструкции, проекты. Брошюра  
 Системы современного отопления. Теплогенераторы, газовые камины. Брошюра  
 Теплицы, парники. Проекты и технология строительства. Брошюра.  
 Установка сантехники в загородном доме и квартире. В помощь домашнему мастеру. Брошюра.  
**Экономное строительство загородного дома. Расчеты, выбор оптимальных вариантов. Брошюра.**  
 Электронный регулятор сварочного тока. Брошюра.  
 Сварочный аппарат из компьютерного блока питания. Брошюра - схема-конструкция, 2010г.  
 Сварочный инвертор - это просто. В помощь домашнему мастеру. Брошюра -схемы, конструкции, 2008г.  
 Краткий справочник сварщика. Корякин-Черняк, НИТ, 2010г., 288с.  
 Справочник по современным автосигнализациям том 1 и том 2. Корякин-Черняк, 2009г., по 320с.  
 Самоучитель по установке систем защиты автомобиля от угона. Найман В.С., НИТ, 384с  
**Содержание ценных металлов в компонентах радиоэлектронной аппаратуры. Справочник, 208с.**  
**Вся радиоэлектроника Украины 2012. Каталог. К.Радиоаматор, 2011г., 80 с. А4**  
 Мастер КИТ. Электронные наборы, блоки и модули. Описание и характеристики. Каталог 2010г. Бумажная версия.  
 Собери сам 55 электронных устройств из наборов «МАСТЕР КИТ». Схемы для самостоятельной сборки., 272с.  
 Импульсные источники питания от А до Z. (+CD). Санджай Маникатала, 2008г., МК, 256с.  
**Источники питания. Москатов Е. МК, 2012г., 208с.**  
 Источники питания. Расчет и конструирование. Мартин Браун., МК-Пресс, 2007г., 288с.  
 Современные источники питания ПК и периферии. Полное руководство. Кучеров Д., НИТ, 2007г., 346с.+CD  
 Активные SMD-компоненты. Маркировка, характеристики, замена. Турута Е.Ф., НИТ, 2006г., 542с.  
**Энциклопедия радиолюбителя. Современная элементная база. Шмаков, НИТ, 2-е изд-е, 384с, 2012г.**  
 Справочник по цветовой, кодовой маркировке и взаимозаменяемости элементов + цв. вклейки. 2010г., 320с.  
 Зарубежные микросхемы, транзисторы, триисторы, диоды + SMD от А до Z. Том 1.(A...M), изд 4 доп. 816с.  
 Зарубежные микросхемы, транзисторы, триисторы, диоды + SMD от А до Z. Том 2.(N...Z), изд 4 доп. 816с.  
 Зарубежные микросхемы, транзисторы, диоды 0...9. Справочник. Изд. 4-е переработанное и доп., 664с.  
 Транзисторы. Справочник. Том 1.2. Турута Е.Ф., НИТ, по 538с.  
 Транзисторы в SMD исполнении. Справочник. Авраменко А.Ф., Т.1, т.2 МК-Пресс., 544с.+640с.  
 Мощные транзисторы для телевизоров и мониторов. Справочник. НИТ, 444с.  
 Микропроцессорное управление телевизорами. Виноградов А.В., НИТ, 144с.  
 Микросхемы для CD-проигрывателей. Сервисные схемы. Справочник. НИТ, 268с.  
 5000 современных микросхем УМНЧ и их аналоги. Справочник. Турута Е. Ф., НИТ, 560с.  
 Измерение, управление и регулирование с помощью AVR микроконтроллеров. В. Трамперт, 2006г., 208с.+CD  
 Измерение, управление и регулирование с помощью PIC микроконтроллеров. Д. Коцц, МК, 2006г., 302с.+CD  
 Измерение, управление и регулирование с помощью макросов VBA в Word и Excel. Г. Бернит, 2008г., 256с.+CD  
 Микроконтроллеры PIC и встроенные системы. Применение Ассемблера и С для PIC18. МК, 2010г. 752с.  
**Микроконтроллеры ARM7. Семейство LPC2000 компании Philips. Т. Мартин, М.Додека, 240с.+CD**  
**Микроконтроллеры фирмы PHILIPS семейства x51. Фрунзе А.В., М.Скидмен, 336с.А4**  
 Микроконтроллеры AVR в радиолюбительской практике. Белов А.В. НИТ, 346с.  
 Программирование микроконтроллеров для начинающих. Визуальное проектирование, языки С, ассемблер + СД., МК, 2010г.  
**Программирование искусственного интеллекта в приложениях. М.Тим Джонс. М.ДМК, 312с.**  
 Проектирование интеллектуальных датчиков с помощью Microchip dsPIC. К. Хадлстон, МК, 2008г. 320с.+CD  
**Семейство микроконтроллеров MSP430. Рекомендации по применению. Компл., 544с.**  
 Одноплатные микроконтроллеры. Проектирование и применение. К.: МК-Пресс, 304с.  
**Ремонт. Современные копировальные аппараты. Секреты эксплуатации и ремонта. Вып. 98. 296с.А4**  
**Ремонт. Программный ремонт сотовых телефонов Samsung и Motorola (более 220 моделей). Вып.106,184с.**  
 Электронная лаборатория на IBM PC. т.1,2. М.:Солон, 672с. + 640с.+ CD  
 10 практических устройств на AVR микроконтроллерах. Кравченко А., МК, 2011г., 416с.  
 1001 секрет телемастера. Энциклопедия секретов ремонта телевизоров (А....R), Рязанов М.Г., 2007г., 288с.  
 1001 секрет телемастера. Энциклопедия секретов ремонта телевизоров (S....Э), Рязанов М.Г., 2007г., 208с.  
 1001 секрет телемастера. Энциклопедия секретов ремонта телевизоров. Новые мод. Рязанов М.Г., 2007г.  
 ГИС - помощник телемастера для ремонта и настройки ТВ. Справочное пособие. Гапличук Л.С., 160с.  
**Телевизоры LG. Шасси MC-51B, MC-74A. Серия Телемастер, НИТ, Пльянов Г., 140с.+схемы**  
 Диагностика и поиск неисправностей электрооборудования и схем управл. Марк Браун, М.Додека, 328с.  
 Электротехнический справочник + DVD. Корякин-Черняк С.Л., 2009г. 464с.+ DVD  
 Справочник по ремонту электрооборудования. Книга+CD,. Парталя О.Н., 2010г., 416с.+CD  
 Типовая инструкция по эксплуатации линий воздушных электропередач напряж. 35-800 кВ.,200с.  
 Теория и практика проведения электротехнических расчетов в среде MATHCAD и MULTISIM., 400с.+DVDНИТ, 2012г.  
**Справочник электрика для профи и не только. 3-е изд-е. Корякин-Черняк С., 576с.**  
 Справочник домашнего электрика. Изд-е 7-е дополн. и исправл. Корякин-Черняк С., СПб:НИТ,400с.  
 Справочник дачного электрика. Бессонов В.В., НИТ, 2010г., 384с.  
 Справочник дачного мастера: вода, газ, электричество, отопление, охрана и не только..., НИТ, 2010, 352с.  
 Зарубежные резидентные радиотелефоны.(SONY,SANYO,BELL,HITACHI,FUNAI и пр.),176с.A4+сх.  
 Настольная книга разработчика роботов + CD. Бишен О., МК, 2010г., 400с.  
 Металлоискатели своими руками. Как искать что бы найти монеты, украшения, клады. Корякин-Черняк  
 Как собрать металлоискатели своими руками (33конструкции). Дубровский С.Л., НИТ, 2010г., 256с.  
 Как сделать сварочные аппараты своими руками. Кобелев, НИТ, 2011г., 304с.  
**Как создать ламповый усилитель своими руками. Торопкин, НИТ, 2012г., 288с.**  
 Как собрать антенны для связи, видеовидения, WI-Fi своими руками. Массорин, НИТ, 2010г., 320с.  
**Антенны. Практическое руководство. Миллер А., НИТ, 2012г., 480с.**  
 Справочник по ремонту и настройке спутникового оборудования. Книга+CD. НИТ, 2010г., 240с.+CD  
 Энциклопедия спутникового телевидения. Выбор, установка, настройка, работа, схемот.,ремонт.,2010г.,416с.+CD  
 Квартирный вопрос. Домашняя электрость, шлюзовые штучки, освещение, сварка и не только.2009г.,320с.  
 500 схем для радиолюбителей. Радиостанции и трансиверы. Семьянов А.П., НИТ, 2008г., 264с.  
 500 схем для радиолюбителей. Электронные датчики. Кашкаров А.П., НИТ, 208с.  
 500 схем для радиолюбителей. Усилители мощности любительских радиостанций., 2008г., 248с.  
 500 схем для радиолюбителей. Современные передатчики. (1.8-430 МГц + DB, СВ, УКВ, FM) Семьянов А., 2008г., 352с.  
 500 схем для радиолюбителей. Современная схемотехника в освещении. Эффективное электропитание люминесцентных ламп, светодиодов, элементов «Умного дома». Давиденко А., НИТ, 2008г., 320с.+CD  
**Шлюзовые штучки своими руками. Корякин-Черняк, НИТ, 2012г.,304с.**  
 Энциклопедия начинающего радиолюбителя. Никулин А., НИТ, 2011г., 384с.  
**Настольная книга радиолюбителя коротковолнника. Вербицкий А., НИТ, 2012г., 400с.**  
 Искусство схемотехники. Просто о сложном. Гаврилов А., НИТ., 2011г., 352с.  
**Искусство ламповой схемотехники. Гаврилов А., НИТ, 2012г., 304с.**  
 Лампово-транзисторные усилители своими руками. Гапоненко, НИТ, 2012г.,352с.  
 Радиохобби. Лучшие конструкции усилителей и сабвуферов своими руками. Сухов Н., НИТ, 2012г., 272с.  
 Радиохобби. Лучшие констр. аудиотехники акуст. систем сх. руками. Сухов Н., НИТ, 2012г., 288с.+ тест-CD  
 Радиолюбительские конструкции на PIC-микроконтроллерах. Заец Н., МК, 2008г., 336с.+CD  
 Цифровая обработка сигналов в трактах звукового вещания. Учебное пособие. Попов О.Б.,Гл-т, 344с.  
 Основы цифровой схемотехники. Бабич, МК, 2007г., 480с.  
 Абонентские терминалы и компьютерная телефония . Эко-Трендз., 236 с.  
 Монтер связи стационарного оборудования. Баранов В.П., 166с.  
 Методы компьютерной обработки сигналов радиосвязи. Степанов А.В.,М:Солон,208с.  
 Технологии измерений первичной сети.(Системы синхронизации, B-ISDN, ATM.) М.:Эко-трендз.,150с.А4  
 25 лучших программ для работы с жестким диском. Форматирование, восстанов. поврежд. данных и пр. НИТ  
**150 полезных программ для Вас и вашего компьютера. Будрин А., НИТ, 2012г., 256с.**  
 Англо-русский словарь-справочник для польз. ПК, ноутбуков, планшетов компьютеров., НИТ,2011г.,304с.

Бесплатные антивирусы+ бесплатное использование платных антивирусов. НИТ, 2010г., 192с.+CD	59.00
Беспроводная компьютерная сеть WI-FI своими руками. Установка, настр., использование. Самоучитель	118.00
Все для работы с жестким диском, файлами и данными. Полное руков. + DVD. НИТ,416с.+DVD	85.00
Глюки, сбои и ошибки компьютера. Решаем проблемы сами. Просто о сложном. НИТ, 2012г., 240с.	56.00
Домашний фото/видеоальбом на DVD. Богданов М.В., НИТ, 2008г., 160с.	30.00
<b>Цифровая реставрация фотографий. Методики восстан. старых и поврежд. снимков. МК,2012г.,416с.+DVD</b>	105.00
Цифровое фото, видео, аудио. Практич. самоучитель от Computer Bild. НИТ, 2009г., 384с.+DVD	75.00
Железо 2011. Путеводитель по компьютерным устройствам и комплектующим. Казимов А., 2011г, НИТ, 400с.	100.00
Захист комп'ютера от вірусів (книга + видеокурс на DVD). В.Вулф, НИТ,160с.+ DVD	58.00
Золотая сборная операционных систем на вашем ПК. Как установить 25 систем на одном ПК + CD	115.00
<b>Как закалять сайт. Практическое руководство для непрофессионалов. НИТ, 2012г., 192с.</b>	75.00
Как пользоваться компьютером. Краткий курс с видеоуроками на CD. Самоучитель. Лобанов, 2011г.	89.00
Как восстановить файлы и данные с жесткого диска, флешки, поврежденных CD/DVD., 2009г., 256с.+ DVD	98.00
Компьютер. Полное руководство. Книга+игровой DVD (более 50 игр). Антоненко, 2011г., 560стр.+DVD	115.00
<b>Компьютер для женщин. Самоучитель + DVD. Соколовская, НИТ, 2012г., 368с.+DVD</b>	85.00
Компьютер: инструкция по применению для начинающих. Книга + DVD с видеокурсами и прогр., 2010г.,НиТ	100.00
Компьютер. Полное руководство. Книга+игровой DVD (более 50 игр). Антоненко, 2011г., 560стр.+DVD	95.00
<b>Мой любимый КОМПЬЮТЕР. Самоучитель для женщин. Трубникова Н., НИТ, 2012г., 368с.</b>	69.00
Мой любимый ноутбук. Самоучитель для женщин. Трубникова Н., НИТ, 2012г., 352с.	95.00
Полезный компьютер для ваших родителей. НИТ, 2012, 336с.	85.00
Полезный интернет для ваших родителей. НИТ, 2012, 272с.	75.00
Реестр Windows 7. Книга готовые рецепты. Самоучитель. НИТ, 2011г., 224с.	85.00
<b>Сайт на 1С-Битрикс: создание, поддержка и продвижение. Базовое практическое руководство. Растиоргев,2012г</b>	100.00
<b>Самоучитель работы на ноутбуке с Windows 7, 3-е изд.НиТ, Юдин, 2012г., 512с.</b>	120.00
Самоучитель Интернет. Интернет. Лапунов А., НИТ, 2010г., изд-е 2-е, 224с.	59.00
Самоучитель Windows 7. Установка, настройка, использование.,Тихомиров, НИТ, 2010, 304с.	80.00
Самоучитель Linux. Установка, настройка, использование. Колисниченко Д.Н. НИТ, 368с.	89.00
Самоучитель полезных программ для ноутбука + DVD. Румянцев А., 448с.+DVD	75.00
Суперфлешка.150 лучших программ, игр и утилит, работающих прямо с флашкой. 2009г.252с.+CD с прогр.	92.00
Суперкомпьютер из вашего ПК. Как одновр. работать в нескольких сист. на 1 ПК. Виртуальные машины + DVD	105.00
Тайны BIOS. Якуевич В., МК, 2009г., 336с.	50.00
<b>Толстый самоучитель работы на Интернете. Все самое интересное, полезное и нужное... НИТ, 2012г.,560с.</b>	115.00
<b>Толстый самоучитель работы на компьютере , 6-е изд. Антоненко, НИТ, 2012г., 560с.</b>	110.00
Фотошоп. Самоуч. Adobe Photoshop CS3 на практике. Обраб.,фотомонтаж и фотоприколы. НИТ.,224с.	49.00
Excel 2010. Пошаговый самоучитель + справочник пользователя. Серогородский, НИТ, 2011г., 400с.	60.00
<b>MATLAB. Самоучитель. Практический подход. НИТ, 2012г.,448с.</b>	175.00
Windows XP. Установка, обновление, настройка и восстановление. 2-е изд. Ковтанюк А., МК., 304с	40.00
<b>Windows 7 с обновлениями 2012. Все об использовании и настройках. Самоучитель. 2-е изд., 2012г., 640с.</b>	115.00
Windows+Linux+MacOS на одном компьютере. Книга + DVD. Романенко А., НИТ, 2011г., 256с+DVD	125.00
Windows Vista. Установка, настройка, использование. Просто о сложном. Кузнецова Н.А., НИТ, 234с.	2